Q.591.945
N16f
V.20
ATLAS

UNIVERSITY OF ILLINOIS
LIBRARY

Class q591.945 Book N16f Volume 20 Atlas

F 11-20M

Digitized by the Internet Archive
in 2019 with funding from
University of Illinois Urbana-Champaign Alternates

https://archive.org/details/gammarinidelgolf2018vall

GAMMARINI

DEL

GOLFO DI NAPOLI.

MONOGRAFIA

DI

ANTONIO DELLA VALLE.

ATLANTE.

HERAUSGEGEBEN

VON DER

ZOOLOGISCHEN STATION ZU NEAPEL.

BERLIN

VERLAG VON R. FRIEDLÄNDER & SOHN

1893.

q 551.245
N164
v.20 atlas

SPIEGAZIONE DELLE TAVOLE.

Significato delle lettere adoperate in tutte le tavole per indicare il capo, i segmenti del tronco e le varie appendici.

A	Addome	ms	Mascelle	pt^3	Piedi toracici del 3.° paio
A^{I}	1.° segmento dell' addome	ms^1	Mascelle anteriori	pt^4	— — 4.° —
A^{II}	2.° — —	ms^2	— posteriori	pt^5	— — 5.° —
A^{III}	3.° — —	pa	Piedi addominali	pt^6	— — 5.° —
a	Antenne	pa^1	Piedi addominali anteriori	pt^7	— — 7.° —
a^1	Antenne anteriori	pa^2	— — medi	r	Rostro frontale
a^2	— posteriori	pa^3	— — posteriori	t	Telson
C	Coda	pc	Piedi codali	T	Torace
C^{I}	1.° segmento della coda	pc^1	Piedi codali anteriori	T^{I}	1.° segmento del torace
C^{II}	2.° — —	pc^2	— — medi	T^{II}	2.° — —
C^{III}	3.° — —	pc^3	— — posteriori	T^{III}	3.° — —
K	Capo	pm	Piedi mascellari	T^{IV}	4.° — —
li	Labbro inferiore	pt	Piedi toracici	T^{V}	5.° — —
ls	— superiore	pt^1	Gnatopodi anteriori	T^{VI}	6.° — —
md	Mandibole	pt^2	— posteriori	T^{VII}	7.° — —

Tavola 1.

Aspetto generale. — Gammarini del Porto e delle Alghe sommerse.

		Ingr.	Pagina del testo
Fig. 1.	*Nicippe pallida.* Varietà del Porto Militare	15	657
» 2.	*Maera truncatipes.* Varietà col margine unguicolare dei gnatopodi posteriori inciso. — Dalle alghe delle scogliere di Posilipo	13	725
» 3.	*Microdeutopus algicola* ♂. — Dalle alghe delle scogliere di Mergellina	18	418
» 4.	*Elasmopus pocillimanus* ♂. — Dalle alghe delle scogliere di Mergellina	10	733
» 5.	*Lysianax bispinosus* ♀. Due individui sopra una colonia di *Protula intestinum,* uno in atto di camminare e l'altro seminascosto, come è solito costume. In entrambi è evidente il mimetismo co' tubi bianchi e col ciuffo branchiale fiammeggiante dei vermi. — Dalla carena di una nave nel Porto Militare	10	792
» 6.	*Melita palmata* ♂. — Dalle Alghe delle scogliere del Chiatamone	12	713
» 7.	*Melita obtusata* ♂. — Dal Porto Militare	13	711
» 8.	*Melita fucicola* ♂. — Dal Porto mercantile	15	709
» 9.	*Elasmopus affinis* ♂. — Dalle banchine del Porto mercantile	9	734
» 10.	*Erichthonius difformis* ♂ e ♀. Due individui mezzo nascosti in uno stesso tubo. In basso il maschio, in alto la femmina in atto di prendere con le antenne posteriori delle zollette di fango per accomodare il tubo guasto (cf. p. 260). — Dalle banchine del Porto mercantile	20	381
» 11.	*Corophium acherusicum* ♂ e ♀. Tre individui con tre ricettacoli. L' animale che si vede intero è un maschio; i due mezzo nascosti sono due femmine in atto di riattare il tubo. La femmina che è in basso stende le antenne posteriori per prendere una zolletta di fango (cf. p. 260). — Dalle banchine del Porto mercantile	20	364
» 12.	*Microdeutopus gryllotalpa* ♂. — Dalle banchine del Porto mercantile	20	411

183577

Tavola 2.

Aspetto generale. — Gammarini delle Alghe sommerse e semisommerse, e della sabbia del littorale.

		Ingr.	Pagina del testo
Fig. 1.	*Gammarus locusta.* ♂ e ♀. Il maschio trasporta a nuoto una femmina (cf. p. 280). — Dalle alghe delle scogliere del Chiatamone	5	759
» 2.	*Amphithoe rubricata.* ♂. Varietà rossa. — Dalle alghe sommerse delle scogliere di Posilipo.	6	456
» 3.	*Hyale pontica.* ♂ e ♀. Un maschio che porta a nuoto una femmina. — Dalle alghe delle scogliere di Mergellina.	13	523
» 4.	*Ampelisca rubella.* Dalle Alghe delle scogliere di Mergellina	15	482
» 5.	*Orchestia Deshayesii.* ♂. In atto di spiccare il salto. — Dalla sabbia del littorale di Posilipo.	8	507
» 6.	*Hyale Prevostii.* ♂ e ♀. Una coppia nuotante. — Dai cespi di *Ulva lactuca* semisommersi attaccati alle scogliere di Mergellina	10	519
» 7.	*Platophium brasiliense.* ♂. Un maschio assiso nella sua maniera ordinaria di atteggiamento. — Dalle Alghe sommerse delle scogliere di Posilipo	20	329
» 8.	*Orchestia chilensis.* ♂. — Dalla sabbia del littorale di Posilipo	5	498
» 9.	*Aora gracilis.* ♂. — Dalle alghe sommerse delle scogliere di Posilipo	13	407
» 10.	*Maera grossimana.* ♂. — Dai vecchi cespi di *Posidonia* di S. Pietro a due Frati	18	727
» 11.	*Orchestia gammarellus.* ♂. — Dalla sabbia del littorale di Mergellina, presso ad uno scolo di fogna	6	499
« 12.	*Grubia crassicornis.* ♀. Una femmina nel tubo gelatinoso fabbricato in un bicchiere (cf. p. 259). — Dalle Alghe sommerse delle scogliere di Posilipo	10	464

Tavola 3.

Aspetto generale. — Gammarini di profondità e di alghe sommerse.

Fig. 1.	*Ichnopus taurus.* — Dalle Tartanelle	8	801
» 2.	*Haploops tubicola.* — Dai fondi corallini, alla profondità di 20-40 m.	8	486
» 3.	*Photis Reinhardi.* Varietà con le antenne crasse. — Dalle alghe degli scogli di Nisida.	20	395
» 4.	*Leucothoe Richiardii.* — Dai cespi di *Posidonia* a S. Pietro a Due Frati	12	654
» 5.	*Acanthozone bispinosa.* — Dalle alghe sommerse delle scogliere di Posilipo	20	609
» 6.	*Lysianax longicornis.* — Dai materiali portati su dalle Tartanelle	12	790
» 7.	*Pereionotus testudo.* — Dalle alghe delle scogliere di Posilipo.	25	559
» 8.	*Eusiroides Caesaris.* — Dalle alghe sommerse di Posilipo, Cala di 30 remi	7	672
» 9.	*Megaluropus agilis.* — A 200 metri dalla Stazione Zoologica, alla profondità di 12 metri, fondo sabbioso	18	695
» 10.	*Cerapopsis longipes.* ♀. — Col precedente	28	388
» 11.	*Biancolina algicola.* — Dalle alghe sommerse della scogliera Principe Luigi a Posilipo.	70	562
» 12.	*Atylus Swammerdamii.* — Dalla pesca pelagica con la rete di profondità.	13	698
» 13.	*Autonoe longipes.* ♂. — Dalle alghe sommerse delle scogliere intorno al Castello dell'Uovo.	20	403
» 14.	*Melita obtusata.* ♂ juv.? — Dal fondo sabbioso innanzi alla Stazione Zoologica, 10-20 m..	20	713
» 15.	*Kröyera haplocheles.* — Fra le alghe sommerse delle scogliere di Posilipo	18	553

Tavola 4.

Aspetto generale. — Gammarini che si dragano dal fondo sabbioso e dal fangoso, a 10-30 metri di profondità, ad alcune centinaia di metri dalla Via Caracciolo.

		Ingr.	Pagina del testo
Fig.	1. *Kröyera arenaria.* ♂. — Dal fondo sabbioso-fangoso	25	554
»	2. *Ampelisca diadema.* — Dal fondo prevalentemente sabbioso	15	479
»	3. *Oediceros affinis.* ♂. — Dal fondo sabbioso-fangoso	18	548
»	4. *Ampelisca brevicornis.* — Dal fondo prevalentemente sabbioso. Le antenne anteriori, per errore, sono state qui riprodotte troppo lunghe. Le proporzioni esatte sono invece disegnate nella Tav. 38, Fig. 3	15	473
»	5. *Amphilochus brunneus.* — Dal fondo prevalentemente sabbioso	25	596
»	6. *Halimedon rectirostris.* — Dal fondo prevalentemente fangoso	25	537
»	7. *Corophium runcicorne.* ♂. — Dal fondo prevalentemente sabbioso	25	369
»	8. *Stimpsonella armata.* ♀. — Dal fondo prevalentemente sabbioso	35	422
»	9. *Oediceros longimanus.* ♂. — Dal fondo sabbioso-fangoso	25	547
»	10. *Leptocheirus pilosus.* — Dal fondo sabbioso-fangoso	15	427
»	11-13. *Siphonoecetes typicus.* — Dal fondo prevalentemente sabbioso. Nella fig. 11 l'animale visto di lato; in 12 un individuo nel suo atteggiamento ordinario nello stato di riposo; in 13 un individuo nel tubo.	15	358

Tavola 5.

Aspetto generale. — Gammarini che si dragano dal fondo sabbioso e dal fangoso, a 10-30 metri di profondità ad alcune centinaia di metri dalla Via Caracciolo.

Fig.	1. *Bathyporcia pilosa.* ♀. — Dal fondo sabbioso	20	752
»	2. *Microdeutopus Stationis.* ♂. — Dal fondo sabbioso	9	415
»	3. *Urothoe irrostrata.* ♀. Veduta dal dorso. — Dal fondo sabbioso	14	664
»	4. *Ichnopus Schmardae.* — Dal fondo sabbioso-fangoso	12	803
»	5. *Phoxocephalus oculatus.* — Dal fondo fangoso	35	740
»	6. *Harpinia neglecta.* — Dal fondo fangoso	20	747
»	7. *Autonoe spiniventris.* ♂. — Dal fondo sabbioso	18	400
»	8. *Urothoe irrostrata.* ♂. Veduta di lato. — Dal fondo sabbioso	18	664
»	9. *Dexamine spinosa.* Varietà grigia nello stato di riposo. — Dal fondo sabbioso	8	573
»	10. *Phoxocephalus chelatus.* ♀. — Dal fondo fangoso	50	742
»	11. *Leucothoe serraticarpa.* Veduta dal dorso. — Dal fondo sabbioso	12	656
»	12. *Dexamine spinosa.* Varietà rosea nello stato di riposo. — Dal fondo sabbioso	8	573

Tavola 6.

Aspetto generale. — Gammarini commensali, o subparassiti, e Gammarini di varia provenienza.

		Ingr.	Pagina del testo
Fig.	1. *Ceradocus fasciatus.* — Dai Faraglioni, presso Capri	8	721
»	2. *Colomastix pusilla.* — Dai canali gastro-vascolari di una spugna	20	854
»	3. *Chelura terebrans.* — Dai tronchi marciti galleggianti	15	347
»	4. *Leucothoe spinicarpa.* — Dalla cavità branchiale di una *Phallusia mentula* raccolta dalle Tartanelle	10	652
»	5. *Iphimediopsis Eblanae.* — Dalle Tartanelle	20	586
»	6. *Lysianax punctatus.* ♀. — Su gli ovari maturi dei Paguri delle Tartanelle	12	789
»	7. *Isaea Montagui.* — Dalla cavità branchiale della *Maia squinado*	20	679
»	8. *Lafystius Sturionis.* — Dal dorso del *Lophius piscatorius*	27	588
»	9. *Aristias neglectus.* — Dalla cavità branchiale della *Phallusia mentula*	12	844
»	10. *Dexamine gibbosa.* A destra una spugna (*Suberites domuncula*) in grandezza naturale che fa vedere le molte piccole fessure della superficie dove albergano i Gammarini. A sinistra un pezzettino di spugna sezionato e ingrandito $^{30}/_{1}$ per mostrare la cavità interna che segue ad ogni fessura e l'animale che vi è dentro nel suo atteggiamento ordinario (cf. p. 263).	30	576
»	11. *Callisoma Hopei.* Da un guscio vuoto di Spatango, raccolto dalle Tartanelle	8	839
»	12. *Acidostoma latieorne.* Due individui: quello a destra adagiato sul fondo sabbioso, ma con la coda già affondata in esso; l'altro a sinistra già scomparso nella sabbia per metà, col capo all'ingiù (cf. p. 287, in nota)	7	782

Tavola 7.

Sistematica. — Generi *Chelura, Siphonoecetes* e *Platophium.*

Figg. 1-22. *C. Chelura terebrans* 347

Le antenne e le parti boccali ingr. $^{100}/_{1}$; i gnatopodi $^{90}/_{1}$; i piedi toracici dei gruppi medio e posteriore e i piedi addominali $^{45}/_{1}$.

Fig. 15. Estremità posteriore del corpo di un maschio giovane co' piedi codali piccoli ingr. $^{45}/_{1}$.

Figg. 11, 16, 17 e 19. I piedi codali e il telson di un maschio adulto co' piedi codali posteriori grandi. Ingr. $^{30}/_{1}$ 350

Figg. 23-38. *S. Siphonoecetes typicus* 358

La parte anteriore del capo col rostro frontale (Fig. 24) ingr. $^{60}/_{1}$; le antenne $^{35}/_{1}$; le parti boccali $^{130}/_{1}$; i gnatopodi $^{100}/_{1}$; gli altri piedi toracici e i piedi addominali $^{70}/_{1}$; la coda con le appendici annesse (Fig. 38) $^{115}/_{1}$.

Figg. 39-58. *P. Platophium brasiliense.* 329

La parte anteriore del capo ingr. $^{62}/_{1}$; le antenne $^{70}/_{1}$; i piedi mascellari $^{115}/_{1}$; le altre parti boccali $^{170}/_{1}$; i gnatopodi $^{70}/_{1}$; tutte le altre appendici $^{62}/_{1}$.

Fig. 58. Parte posteriore della coda ingr. $^{190}/_{1}$.

Tavola 8.

Sistematica. — Genere *Corophium*.

Pagina del testo

Figg. 1-16 e 19. *Cr. Corophium runcicorne* 369

» 17-18 e 20-41. *Ca. Corophium acherusicum* 364

Le antenne (Figg. 1-8 e 19, *Cr.*, e Figg. 17-18, 20-25, 30-31, *Ca*) ingr. $^{42}/_{1}$; le parti boccali (Figg. 32, 33, 38, 39) $^{170}/_{1}$; i piedi toracici, addominali e codali (Figg. 9-16, *Cr.*, e 26-29, 35-37, 40-41, *Ca*) $^{75}/_{1}$. Le unghie dei gnatopodi del *C. runcicorne* (Figg. 9.ª e 12.ª) $^{170}/_{1}$. I retinacoli dei piedi addominali del *C. Acherusicum* (Fig. 40.ª) $^{550}/_{1}$.

Tavola 9.

Sistematica. — Generi *Erichthonius* e *Cerapopsis*.

Figg. 1-19. *E. Erichthonius difformis*. 381

La parte anteriore del capo (Fig. 3), l'epistoma col labbro superiore (Fig. 4) e le antenne ingr. $^{70}/_{1}$; i piedi mascellari $^{200}/_{1}$; tutte le altre parti boccali $^{107}/_{1}$; i piedi toracici e i codali $^{70}/_{1}$.

Fig. 5. Le spine incisive delle mandibole ingr. $^{300}/_{1}$.

Figg. 20-40. *C. Cerapopsis longipes*. 388

Le antenne e i piedi ingr. $^{100}/_{1}$, le parti boccali $^{250}/_{1}$.

Figg. 39, 40. Gnatopodi di un maschio in via di metamorfosi dei caratteri sessuali 388

Tavola 10.

Sistematica. — Generi *Photis, Autonoe* e *Microdeutopus*.

Figg. 1-19. *Ph. Photis Reinhardi*. Forma con le antenne gracili 395

Le antenne (Figg. 1, 2) ingr. $^{70}/_{1}$; le parti boccali $^{115}/_{1}$; i piedi toracici e i piedi addominali $^{70}/_{1}$; la coda $^{45}/_{1}$.

Fig. 9. Forma con le antenne crasse ingr. $^{45}/_{1}$.

Figg. 20-30. *A. Autonoe longipes* 403

Le antenne ingr. $^{100}/_{1}$; i piedi toracici $^{70}/_{1}$; la coda $^{100}/_{1}$.

Figg. 31-41. *M. Microdeutopus Stationis* 415

Tutte le appendici ingr. $^{27}/_{1}$.

Tavola 11.

Sistematica. — Generi *Microdeutopus* e *Stimpsonella*.

Pagina del testo

Figg. 1-12. *Mu. Microdeutopus algicola* 418
Tutte le appendici ingr. $^{90}/_{1}$.
Figg. 13-24. *Mv. Stimpsonella armata* 422
Figg. 13, 14, 16, 22. Appendici della femmina ingr. $^{70}/_{1}$.
Fig. 15. Profilo della superficie ventrale di alcuni segmenti del torace per mostrare gli uncini. Ingr. $^{100}/_{1}$.
Figg. 23, 24. Appendici del maschio ingr. $^{70}/_{1}$.
Figg. 25-43. *Mg. Microdeutopus gryllotalpa* 411
Le antenne ingr. $^{80}/_{1}$; le parti boccali $^{120}/_{1}$; i gnatopodi $^{60}/_{1}$; le altre appendici $^{80}/_{1}$.
Fig. 36. Le spine delle mandibole ingr. $^{600}/_{1}$.

Tavola 12.

Sistematica. — Generi *Leptocheirus* ed *Aora*.

Figg. 1-14. *Lp. Leptocheirus pilosus*. 427
Le antenne ingr. $^{45}/_{1}$; le parti boccali $^{120}/_{1}$; le altre appendici $^{60}/_{1}$.
Figg. 15-24. *Lg. Leptocheirus guttatus*. 430
Tutte le appendici ingr. $^{30}/_{1}$.
Figg. 25-39. *A. Aora gracilis* 407
Le antenne ingr. $^{40}/_{1}$; i piedi toracici $^{70}/_{1}$.
Figg. 27, 28. Processi incisivi delle mandibole ingr. $^{390}/_{1}$.
Fig. 29. Palpo della mascella anteriore sinistra ingr. $^{390}/_{1}$.
Fig. 30. Estremità del palpo destro dei piedi mascellari ingr. $^{390}/_{1}$.

Tavola 13.

Sistematica. — Generi *Amphithoe, Grubia* ed *Isaea*.

Figg. 1-17. *Al. Amphithoe rubricata* 456
Le antenne, i gnatopodi della femmina, i piedi toracici dei gruppi medio e posteriore ingr. $^{18}/_{1}$; le parti boccali $^{100}/_{1}$; i gnatopodi del maschio $^{40}/_{1}$; i piedi codali $^{71}/_{1}$.
Figg. 18-29. *Ad. Grubia crassicornis* 464
Le antenne ingr. $^{25}/_{1}$; le altre appendici $^{30}/_{1}$.
Fig. 19. Parte di una delle antenne anteriori per mostrare il flagello accessorio. Ingr. $^{75}/_{1}$.
Figg. 30-42. *I. Isaea Montagui* 679
Le antenne ingr. $^{60}/_{1}$; le parti boccali $^{100}/_{1}$; i gnatopodi $^{80}/_{1}$; gli altri piedi toracici $^{60}/_{1}$; i piedi codali $^{42}/_{1}$.

Tavola 14.

Sistematica. — Generi *Podocerus* e *Protomedeia*.

Pagina del testo

Figg. 1-10. *Pv. Podocerus falcatus.* 445

Le antenne e i piedi toracici ingr. $^{30}/_{1}$; i piedi codali $^{36}/_{1}$.

Figg. 11-27. *Po. Podocerus ocius.* 448

Le antenne ingr. $^{80}/_{1}$; la mandibola e la mascella $^{160}/_{1}$; i piedi mascellari $^{150}/_{1}$; le altre appendici $^{80}/_{1}$.

Fig. 19. Due spine incisive della mandibola ingr. $^{900}/_{1}$.

Fig. 26. Estremità del piede codale posteriore sinistro ingr. $^{320}/_{1}$.

Figg. 28-40. *Pm. Protomedeia maculata* 436

Tutte le appendici ingr. $^{70}/_{1}$.

Figg. 28-31 Appendici di un individuo più robusto dell' ordinario.

Fig. 29. Gnatopodi posteriori col margine unguicolare anomalo.

Tavola 15.

Sistematica. — Genere *Orchestia*.

Figg. 1-12. *Ol. Orchestia gammarellus* 499

Le antenne ingr. $^{18}/_{1}$; i gnatopodi $^{24}/_{1}$; le altre appendici $^{20}/_{1}$.

Figg. 13-30. *Od. Orchestia Deshayesii* 507

Le antenne ingr. $^{18}/_{1}$; le parti boccali $^{45}/_{1}$; i gnatopodi $^{30}/_{1}$; le altre appendici $^{18}/_{1}$.

Fig. 16. Estremità del flagello di una delle antenne anteriori ingr. $^{90}/_{1}$.

Fig. 17. Una delle spine ingr. $^{300}/_{1}$.

Fig. 18. Parte del flagello delle antenne posteriori ingr. $^{90}/_{1}$.

Fig. 25. Parte dei piedi mascellari ingr. $^{160}/_{1}$; accanto una setola ingr. $^{700}/_{1}$.

Figg. 31-38. *Om. Orchestia chilensis* 498

Le antenne ingr. $^{12}/_{1}$; i gnatopodi $^{18}/_{1}$; le altre appendici $^{12}/_{1}$.

Fig. 32. Estremità del flagello delle antenne anteriori ingr. $^{60}/_{1}$.

Figg. 39-43. *Oh. Orchestia gammarellus.* Varietà trovata in un giardino. 499

Tutte le appendici ingr. $^{24}/_{1}$.

Tavola 16.

Sistematica. — Genere *Hyale*.

Figg. 1-13. *Hp. Hyale pontica.* 523

Le antenne e i piedi ingr. $^{45}/_{1}$; le parti boccali $^{100}/_{1}$.

Figg. 14-22. *Hl. Hyale Lubbockiana* 526

Tutte le appendici ingr. $^{34}/_{1}$.

Pagina del testo

Figg. 23-42. *Hu.* e *Hf. Hyale Prevostii* 519
Le antenne e i piedi $^{35}/_{1}$; le parti boccali $^{200}/_{1}$.
Figg. 39-42. Appendici di un individuo notevole per le antenne posteriori tutte piene di alghe filamentose.
Figg. 43-47. *Hc. Hyale aquilina* 523
Tutte le appendici ingr. $^{35}/_{1}$.

Tavola 17.

Sistematica. — Generi *Atylus, Acanthozone* ed *Eusiroides.*

Figg. 1-21. *A. Atylus Swammerdamii*. 698
Le antenne ingr. $^{25}/_{1}$; le parti boccali $^{115}/_{1}$; i gnatopodi $^{60}/_{1}$; gli altri piedi $^{40}/_{1}$.
Figg. 22-36. *Ph. Acanthozone bispinosa* 609
Le antenne ingr. $^{35}/_{1}$; le parti boccali $^{130}/_{1}$; i gnatopodi e i piedi toracici del 3° paio $^{65}/_{1}$; gli altri piedi toracici $^{60}/_{1}$.
Figg. 37-48. *Ps. Eusiroides Caesaris* 672
Le antenne ingr. $^{18}/_{1}$; le parti boccali $^{150}/_{1}$; i gnatopodi e i piedi toracici del gruppo medio $^{25}/_{1}$; gli altri piedi $^{18}/_{1}$.

Tavola 18.

Sistematica. — Generi *Dexamine* ed *Eusirus.*

Figg. 1-19. *D. Dexamine spinosa* 573
Le antenne ingr. $^{25}/_{1}$; le parti boccali $^{70}/_{1}$; i gnatopodi $^{25}/_{1}$; gli altri piedi toracici $^{18}/_{1}$.
Fig. 18. Addome e coda di un individuo visto di lato. Ingr. $^{18}/_{1}$.
Fig. 19. Telson ingr. $^{40}/_{1}$.
Figg. 20-40. *T. Dexamine gibbosa* 576
Le antenne ingr. $^{60}/_{1}$; le parti boccali $^{200}/_{1}$; i gnatopodi $^{150}/_{1}$; gli altri piedi toracici $^{60}/_{1}$; i piedi codali e il telson $^{120}/_{1}$.
Fig. 34. Addome e coda di un individuo veduto di lato. Ingr. $^{60}/_{1}$.
Figg. 41-50. *E. Eusirus cuspidatus*. 659
Le antenne ingr. $^{25}/_{1}$; le parti boccali $^{110}/_{1}$; i gnatopodi, i piedi codali e il telson $^{25}/_{1}$. Cf. anche Tav. 59, Figg. 79-82, *E.*

Tavola 19.

Sistematica. — Generi *Leucothoe* e *Nicippe*.

Pagina del testo

Figg. 1-20. *Ls. Leucothoe spinicarpa* 652

Le antenne ingr. $^{50}/_{1}$; le parti boccali $^{115}/_{1}$; i gnatopodi $^{30}/_{1}$; gli altri piedi toracici $^{25}/_{1}$; i piedi codali e il telson $^{30}/_{1}$.

Fig. 20. Archi laterali del 2.° e 3.° segmento addominale ingr. $^{20}/_{1}$.

Fig. 21. *Lr. Leucothoe Richiardii* 654

Archi laterali degli ultimi due segmenti dell' addome ingr. $^{22}/_{1}$.

Figg. 22-23. *Lp. Leucothoe pachycera.* ♂ 651

Antenne ingr. $^{80}/_{1}$.

Figg. 24-28. *Lp. Leucothoe serraticarpa* 656

Gnatopodi ingr. $^{35}/_{1}$.

Fig. 28. Ultimi due segmenti dell' addome ingr. $^{25}/_{1}$.

Figg. 29-34. *Leucothoe pachycera* 651

Tutte le parti ingr. $^{80}/_{1}$.

Figg. 35-52. *Lb. Nicippe pallida* 658

Le antenne ingr. $^{45}/_{1}$; le parti boccali $^{100}/_{1}$; i gnatopodi $^{45}/_{1}$; gli altri piedi toracici $^{20}/_{1}$.

Fig. 38. Rostro frontale ingr. $^{45}/_{1}$.

Fig. 43. Addome e coda veduti dal dorso ingr. $^{45}/_{1}$.

Fig. 51. Parte inferiore del 2.° e 3.° segmento addominale ingr. $^{45}/_{1}$.

Tavola 20.

Sistematica. — Genere *Cheirocratus*.

In questa tavola sono aggruppate le appendici di 5 individui diversi, di cui alcuni apparivano normali, ed altri avevano qualche piede o qualche antenna rigenerata (cf. p. 690). Indicando questi individui con le lettere A, B, C, D, E, le varie parti disegnate sono distribuite come segue:

A Figg. 1, 2, 10-23, 26. *Ch. assimilis.* Giovane ♂ normale 688

B » 3, 4, 24, 25, 27, 30. *Ch. Sundevalli.* ♂ adulto 690

Il piede toracico del 7.° paio sembra anormale, almeno per le sue dimensioni relative. Forse anche le antenne non sono normali.

C » 5-7. *Ch. assimilis.* ♂ adulto. 689

Lo gnatopodo posteriore di sinistra (Fig. 5), in via di rigenerazione, riproduce la forma giovanile della Fig. 28.

D » 8, 9. *Ch. assimilis.* ♀ 688

E » 28, 29. *Ch. assimilis.* ♂ giovane 690

In tutte le figure le antenne e i piedi toracici sono ingr. $^{60}/_{1}$; le parti boccali $^{130}/_{1}$; i segmenti addominali e codali $^{40}/_{1}$.

Tavola 21.

Sistematica. — Generi *Maera* e *Ceradocus*.

Pagina del testo

Figg. 1-16. *Mg. Maera grossimana* 282

Le antenne e i piedi toracici ingr. $^{42}/_{1}$; la coda con le sue appendici $^{70}/_{1}$; le parti boccali $^{150}/_{1}$.

Fig. 12. Estremità dell' unghia dei piedi toracici del 5.° paio ingr. $^{330}/_{1}$.

» 14. Epimeri del 2.° e 3.° segmento addominale ingr. $^{42}/_{1}$.

» 15. Epimeri toracici del 3.°, 4.° e 5.° segmento toracico ingr. $^{50}/_{1}$.

Figg. 17-33. *Mo. Ceradocus fasciatus* 721

Le antenne ingr. $^{20}/_{1}$; le parti boccali $^{60}/_{1}$; i piedi toracici $^{20}/_{1}$; la coda con le appendici $^{18}/_{1}$.

Figg. 22, 23. Mano dei gnatopodi posteriori di un ♂. Una delle mani (Fig. 22) è in rigenerazione.

» 26 e 27. Epimeri del 3.° segmento addominale di uno stesso individuo. I denti dell' angolo postero-inferiore di destra sono diversi da quelli di sinistra. Ingr. $^{30}/_{1}$.

Tavola 22.

Sistematica. — Generi *Elasmopus* e *Maera*.

Figg. 1-15. *Er. Elasmopus affinis* 734

Le antenne e tutti i piedi ingr. $^{30}/_{1}$; le parti boccali $^{130}/_{1}$.

Figg. 16-22. *Ec. Elasmopus rapax* 736

Tutte le parti ingr. $^{30}/_{1}$.

Figg. 23-25. *Ep. Elasmopus pocillimanus* 733

Tutte le parti ingr. $^{30}/_{1}$.

Figg. 26-40. *M. Maera truncatipes* 725

Le antenne e i piedi toracici ingr. $^{35}/_{1}$. Il palpo della mandibola (Fig. 35) ingr. $^{110}/_{1}$.

Tavola 23.

Sistematica. — Genere *Melita*.

Figg. 1-19. *Mo. Melita obtusata* 711

Le antenne ingr. $^{30}/_{1}$; le parti boccali $^{115}/_{1}$; i gnatopodi $^{60}/_{1}$; gli altri piedi toracici e la coda $^{60}/_{1}$.

Fig. 19. Epimeri del 2.° e 3.° segmento addominale ingr. $^{40}/_{1}$.

Figg. 20-23. *Mm. Melita obtusata* juv. 713

Gnatopodi (ingr. $^{50}/_{1}$) della Varietà giovanile che si trova nel fondo sabbioso.

Figg. 24-40. *Mp. Melita palmata* 713

Le antenne ingr. $^{18}/_{1}$; le parti boccali $^{107}/_{1}$; i gnatopodi $^{48}/_{1}$; gli altri piedi toracici $^{40}/_{1}$; la coda $^{60}/_{1}$.

Figg. 33-35. Epimeri toracici del 5.° e 7.° paio del maschio, messi in riscontro con quelli (Figg. 36-38) del maschio, ingr. $^{40}/_{1}$.

Fig. 39. Epimeri degli ultimi due segmenti addominali ingr. $^{50}/_{1}$.

Tavola 24.

Sistematica. — Generi *Melita* e *Gammarus*.

Pagina del testo

Figg. 1-19. *Gb. Melita fucicola* 709

Le antenne ingr. $^{36}/_{1}$; le parti boccali $^{100}/_{1}$; i gnatopodi e i piedi toracici del gruppo medio $^{36}/_{1}$; i piedi toracici del gruppo medio $^{25}/_{1}$; i piedi addominali e i codali $^{36}/_{1}$.

Fig. 18. Parte di uno dei piedi addominali più ingrandita ($^{115}/_{1}$) per mostrare i muscoli interni e i retinacoli.

Figg. 20-34. *G. Gammarus locusta* 759

Tutte le appendici ingr. $^{18}/_{1}$.

Fig. 35. *Gp. Gammarus pungens* 762

Piedi codali posteriori e telson ingr. $^{18}/_{1}$.

Tavola 25.

Sistematica. — Genere *Lysianax*.

Figg. 1-15. *Ll. Lysianax longicornis* 790

Le antenne ingr. $^{40}/_{1}$; le parti boccali $^{60}/_{1}$; i piedi $^{30}/_{1}$.

Figg. 16-21. *Lb. Lysianax bispinosus* 792

Le parti boccali ingr. $^{60}/_{1}$; tutte le altre appendici $^{40}/_{1}$.

Figg. 22-32. *Lp. Lysianax punctatus* 789

Le parti boccali ingr. $^{110}/_{1}$; i piedi $^{50}/_{1}$.

Tavola 26.

Sistematica. — Generi *Callisoma, Aristias* e *Anonyx*.

Figg. 1-15. *S. Callisoma Hopei* 839

Le antenne ingr. $^{48}/_{1}$; le parti boccali $^{70}/_{1}$; i gnatopodi $^{30}/_{1}$; gli altri piedi toracici $^{20}/_{1}$; la coda e i piedi codali $^{48}/_{1}$.

Figg. 9 e 10. Estremità distale dei processi incisivi principali delle mandibole ingr. $^{220}/_{1}$.

Cf. anche Tav. 43, Fig. 19.

Figg. 16-31. *A. Aristias neglectus* 844

Le antenne ingr. $^{60}/_{1}$; le parti boccali $^{95}/_{1}$; i piedi toracici, la coda e i piedi codali $^{70}/_{1}$.

Fig. 19. Superficie esterna del 3.° articolo del palpo mandibolare ingr. $^{95}/_{1}$.

Figg. 32-37. *C. Anonyx humilis* 817

Le antenne ingr. $^{100}/_{1}$; i piedi toracici $^{45}/_{1}$; i piedi codali e il telson $^{60}/_{1}$.

Tavola 27.

Sistematica. — Genere *Ichnopus.*

Pagina del testo

Figg. 1-22. *I. Ichnopus taurus* 801

Le antenne ingr. $^{30}/_{1}$; le parti boccali $^{45}/_{1}$; i piedi toracici $^{20}/_{1}$; la coda e i piedi codali $^{40}/_{1}$.

Figg. 12, 13. Due forme diverse del 7.° articolo dei gnatopodi anteriori ingr. $^{100}/_{1}$.

Fig. 22. Ramo interno dei piedi codali medii ingr. $^{40}/_{1}$.

Figg. 23-32. *A. Ichnopus Schmardae.* 803

Tutte le appendici ingr. $^{50}/_{1}$.

Tavola 28.

Sistematica. — Generi *Acidostoma* e *Anonyx.*

Figg. 1-21. *A. Acidostoma laticorne* 782

Le parti boccali ingr. $^{45}/_{1}$; tutte le altre appendici $^{30}/_{1}$.

Figg. 22-35. *Ac. Anonyx pinguis* 821

Le antenne ingr. $^{115}/_{1}$; le parti boccali $^{250}/_{1}$; i gnatopodi $^{115}/_{1}$; gli altri piedi toracici $^{100}/_{1}$; i piedi codali e il telson $^{150}/_{1}$.

Figg. 36-42. *Al. Anonyx nanus* 820

I gnatopodi ingr. $^{115}/_{1}$; gli altri piedi toracici $^{62}/_{1}$; il telson e i piedi codali $^{115}/_{1}$.

Tavola 29.

Sistematica. — Generi *Amphilochus, Gitana* e *Hippomedon.*

Figg. 1-15. *Bb. Amphilochus brunneus* 596

Le antenne ingr. $^{100}/_{1}$; le parti boccali $^{230}/_{1}$; i piedi toracici $^{60}/_{1}$; i piedi codali $^{100}/_{1}$.

Fig. 3. Arco cefalico disteso per mostrare il rostro frontale; ingr. $^{60}/_{1}$.

Fig. 14. Parte dei gnatopodi posteriori maggiormente ingrandita ($^{100}/_{1}$).

Figg. 16-17. *Bn. Amphilochus neapolitanus* 595

Gnatopodi ingr. $^{100}/_{1}$.

Figg. 18-32. *A. Gitana Sarsii* 590

Le antenne ingr. $^{100}/_{1}$; le parti boccali $^{230}/_{1}$; le altre appendici $^{60}/_{1}$.

Figg. 33-42. *Hippomedon denticulatus* 808

Tutte le appendici ingr. $^{60}/_{1}$.

Tavola 30.

Sistematica. — Generi *Stenothoe* e *Peltocoxa*.

Pagina del testo

Figg. 1-18. S. *Stenothoe Antennulariae* 565

Le antenne ingr. $^{100}/_{1}$; la mandibola, le labbra e le mascelle $^{250}/_{1}$; i piedi mascellari $^{150}/_{1}$; i piedi toracici $^{100}/_{1}$; i piedi codali e il telson $^{250}/_{1}$.

Figg. 19-32. *G. Peltocoxa damnoniensis* 648

Le parti boccali ingr. $^{250}/_{1}$; tutte le altre appendici $^{170}/_{1}$.

Figg. 33-36. *U. Stenothoe*, sp.? 564

Tutte le appendici ingr. $^{170}/_{1}$.

Tavola 31.

Sistematica. — Generi *Pereionotus* e *Guernea*.

Figg. 1-19. *P. Pereionotus testudo* 559

Le parti boccali ingr. $^{300}/_{1}$; le altre appendici $^{50}/_{1}$.

Fig. 5. Profilo del dorso ingr. $^{36}/_{1}$.

Figg. 20-33. *M. Guernea coalita* 570

Le parti boccali ingr. $^{300}/_{1}$; le altre appendici $^{230}/_{1}$.

V. anche Tav. 58, Fig. 80.

Tavola 32.

Sistematica. — Generi *Iphimediopsis, Lafystius* e *Biancolina*.

Figg. 1-19. *I. Iphimediopsis Eblanae* 586

Le antenne e parti boccali ingr. $^{70}/_{1}$; tutte le altre appendici $^{50}/_{1}$.

Fig. 17. Parte dorsale dei segmenti addominali ingr. $^{20}/_{1}$.

Vedi pure Tav. 58, Fig. 93.

Figg. 20-37. *L. Lafystius Sturionis* 588

Le antenne ingr. $^{100}/_{1}$; le parti boccali $^{210}/_{1}$; i piedi $^{75}/_{1}$.

Figg. 38-53. *Biancolina algicola* 562

Le parti boccali ingr. $^{230}/_{1}$; le altre appendici $^{150}/_{1}$.

Tavola 33.

Sistematica. — Generi *Halimedon* e *Oediceros*.

Pagina del testo

Figg. 1-15. *Or. Halimedon rectirostris* 537
Le antenne ingr. $^{75}/_{1}$; le parti boccali $^{230}/_{1}$; i gnatopodi $^{75}/_{1}$; gli altri piedi $^{60}/_{1}$.

Figg. 16-26. *Og. Oediceros griseus* 551
Le parti boccali ingr. $^{100}/_{1}$; tutte le altre appendici ingr. $^{60}/_{1}$.

Figg. 27-31. *Oa. Oediceros affinis* 548
Tutti i piedi toracici ingr. $^{54}/_{1}$.

Figg. 32-36. *Ol. Oediceros longimanus* 547
Piedi toracici dei gruppi anteriore e medio ingr. $^{100}/_{1}$; gli altri piedi toracici $^{60}/_{1}$.

Tavola 34.

Sistematica. — Generi *Megaluropus* e *Kröyera*.

Figg. 1-17. *K. Megaluropus agilis* 695
Le parti boccali ingr. $^{230}/_{1}$; tutte le altre appendici $^{60}/_{1}$.

Figg. 18-34. *P. Kröyera arenaria* 554
Le antenne ingr. $^{75}/_{1}$; le parti boccali $^{230}/_{1}$; i gnatopodi $^{105}/_{1}$; le altre appendici $^{75}/_{1}$.

Figg. 35-39. *Pn. Kröyera haplocheles* 553
Tutti i piedi ingr. $^{70}/_{1}$.

Tavola 35.

Sistematica. — Generi *Harpinia* e *Phoxocephalus*.

Figg. 1-18. *H. Harpinia neglecta* 747
Le parti boccali ingr. $^{130}/_{1}$; tutte le altre appendici $^{60}/_{1}$.

Figg. 19-28. *Pl. Phoxocephalus oculatus* 740
Tutte le appendici ingr. $^{150}/_{1}$.

Figg. 29-35. *Po. Phoxocephalus chelatus* 742
Tutte le appendici ingr. $^{150}/_{1}$.

Tavola 36.

Sistematica. — Generi *Urothoe* e *Bathyporeia.*

Pagina del testo

Figg. 1-18. *U. Urothoe irrostrata* 664

Le antenne ingr. $^{70}/_{1}$; le parti boccali $^{130}/_{1}$; tutte le altre appendici $^{35}/_{1}$.

Figg. 19-32. *B. Bathyporeia pilosa* 752

Le antenne ingr. $^{60}/_{1}$; le parti boccali $^{230}/_{1}$; i gnatopodi $^{60}/_{1}$; gli altri piedi toracici $^{30}/_{1}$; i piedi codali $^{60}/_{1}$. Le dimensioni dei gnatopodi anteriori rispetto a quelle dei posteriori sono date dalla Fig. 24. Invece la Fig. 24* riproduce lo stesso gnatopodo anteriore ingr. $^{150}/_{1}$.

Tavola 37.

Sistematica. — Generi *Haploops* e *Ampelisca.*

Figg. 1-18. *H. Haploops tubicola* 486

Le parti boccali ingr. $^{60}/_{1}$; tutte le altre appendici $^{30}/_{1}$.

Figg. 19, 20, 22-28, 30-38. *Ad. Ampelisca diadema* 479

Le parti boccali $^{115}/_{1}$; le altre appendici $^{48}/_{1}$.

Fig. 21. *Aa. Ampelisca rubella* 482

Coda e piedi codali ingr. $^{50}/_{1}$.

Fig. 29. *Ampelisca brevicornis* 473

Mascella anteriore sinistra ingr. $^{115}/_{1}$.

Tavola 38.

Sistematica. — Generi *Ampelisca, Eriopisa* e *Niphargus.*

Figg. 1-16. *A.* Genere *Ampelisca* 469

Fig. 1. *A. rubella.* — Capo con le antenne ingr. $^{40}/_{1}$. 483

» 2. *A. diadema.* — Capo con le antenne ingr. $^{25}/_{1}$ 479

» 3. *A. brevicornis.* — Capo con le antenne ingr. $^{25}/_{1}$. 474

» 4. *A. rubella.* — Estremità distale di uno dei piedi toracici del 6.° paio ingr. $^{150}/_{1}$. . . . 482

» 5. *A. brevicornis.* — Piedi toracici del 6.° paio di destra ingr. $^{30}/_{1}$. In 5* l' unghia ingr. $^{150}/_{1}$. 474

» 6. *A. brevicornis.* — Piedi toracici del 5.° paio di destra ingr. $^{30}/_{1}$. 474

» 7. *A. diadema.* — Piedi toracici del 6.° paio di destra ingr. $^{30}/_{1}$. In 7* l' unghia ingr. $^{150}/_{1}$. 481

» 8. *A. diadema.* — Piedi toracici del 5.° paio di destra ingr. $^{30}/_{1}$. 481

» 9. *A. brevicornis.* — Piedi toracici del 7.° paio di destra ingr. $^{30}/_{1}$. In 9* gli articoli 3.° 4.° e 5.° veduti dal lato interno. 474

» 10. *A. rubella* — Piedi toracici del 7.° paio di destra ingr. $^{30}/_{1}$. 483

» 11. *A. diadema* — Telson ingr. $^{30}/_{1}$. 481

		Pagina del testo
Fig. 12.	*A. diadema* — Piedi toracici del 7.° paio di destra ingr. $^{20}/_{1}$.	481
» 13.	*A. brevicornis.* — I due ultimi segmenti dell' addome veduti di lato, ingr. $^{40}/_{1}$.	473
» 14.	*A. diadema.* — Profilo della linea ventrale toracica ingr. $^{30}/_{1}$	479
» 15.	*A. diadema.* — Gli ultimi due segmenti addominali ingr. $^{40}/_{1}$	479
» 16.	*A. rubella.* — Gli ultimi due segmenti dell' addome ingr. $^{40}/_{1}$	482
Figg. 17-30.	*E. Eriopisa elongata*	706
	Le parti boccali ingr. $^{115}/_{1}$; le altre appendici $^{25}/_{1}$.	
Figg. 31-34.	*M. Niphargus subterraneus*	704
Fig. 31.	Mandibola ingr. $^{62}/_{1}$.	
» 32.	Gnatopodi anteriore ingr. $^{29}/_{1}$.	
» 33.	» posteriore ingr. $^{29}/_{1}$.	
» 34.	Piedi codali posteriori e telson ingr. $^{18}/_{1}$.	

Tavola 39.

Anatomia. — Antenne. Parti boccali.

Antenne (pp. 12-18).

			Ingr.	Pag.
Figg.	1-2.	*Pereionotus testudo*	50	560
»	3-6.	*Corophium runcicorne*	42	369
»	7-8.	*Siphonoecetes typicus*	35	359
»	9-10.	*Podocerus falcatus*	30	446
»	11-12.	*Orchestia Deshayesii*	18	507
»	13-14.	*Ceradocus fasciatus*	20	721
»	15-18.	*Atylus Swammerdamii* ♂ *e* ♀	25	699
»	19.	*Anonyx pinguis*	115	822
»	20-21.	*Chelura terebrans*	100	348
»	22-23.	*Eusirus cuspidatus*	25	670
»	24.	*Bathyporeia pilosa*	60	752
»	25-26.	*Harpinia neglecta.*	60	747

Labbro superiore (p. 20).

»	27.	*Amphithoe rubricata*	100	457
»	28.	*Iphimediopsis Eblanae*	70	586
»	29.	*Stenothoe Antennulariae*	250	565
»	30.	*Leucothoe spinicarpa*	115	653

x Lobo maggiore; *y* lobo minore; *z* porzione membranosa.

Mandibole (pp. 20-22).

»	31.	*Lysianax bispinosus*	60	791
»	32.	*Amphithoe rubricata*	100	457
»	33.	*Leucothoe spinicarpa*	115	653
»	34.	*Pereionotus testudo*	300	560
»	35.	*Orchestia Deshayesii*	45	501
»	36.	*Ichnopus Taurus*	45	801

Labbro inferiore (p. 23).

			Ingr.	Pag.
Figg.	37.	*Orchestia Deshayesii*	45	502
»	38.	*Photis Reinhardii*	115	396
»	39.	*Ichnopus Taurus*	45	802
»	40.	*Iphimediopsis Eblanae*	70	586
»	41.	*Amphithoe rubricata*	100	457

Mascelle anteriori (pp. 24-25).

»	42.	*Bathyporeia pilosa*	230	753
»	43.	*Dexamine gibbosa*	200	577
»	44.	*Iphimediopsis Eblanae*	70	586
»	45.	*Orchestia Deshayesii*	45	502
»	46.	*Acidostoma laticorne*	45	783
»	47.	*Lafystius Sturionis*	210	588
»	48.	*Hyale Prevostii*	200	521
»	49.	*Eusirus cuspidatus*	110	670
»	50.	*Cheirocratus assimilis*	130	689
»	51.	*Pereionotus testudo*	300	560
»	52.ª	*Siphonoecetes typicus*	130	359

Mascelle posteriori (p. 25).

»	52.	*Pereionotus testudo*	300	560
»	53.	*Iphimediopsis Eblanae*	70	586
»	54.	*Acidostoma laticorne*	45	783
»	55.	*Orchestia Deshayesii*	45	502
»	56.	*Siphonoecetes typicus*	130	359
»	57.	*Aristias neglectus.*	95	845

Tavola 40.

Anatomia. — Parti boccali. Piedi toracici.

Piedi mascellari (pp. 25-27).

		Ingr.	Pag.
Fig.	1. *Lafystius Sturionis*	210	588
»	2. *Pereionotus testudo*	300	560
»	3. *Orchestia Deshayesii* . . .	45	502
»	4. *Bathyporeia pilosa*	230	753
»	5. *Iphimediopsis Eblanae* . . .	70	586
»	6. *Stenothoe Antennulariae* . .	150	565
»	7. *Leucothoe spinicarpa* . . .	115	654
»	8. *Corophium acherusicum* . .	170	365
»	9. *Elasmopus affinis*	130	735
»	10. *Ichnopus taurus*	45	802

Gnatopodi o Piedi toracici del gruppo anteriore (pp. 30-32).

»	11. *Cerapopsis longipes*	100	390
»	12. *Iphimediopsis Eblanae* . . .	50	587
«	13. *Bathyporeia pilosa*	60	753
»	14. *Callisoma Hopei*. Gnatopodo anteriore	30	840
»	15. *Callisoma Hopei*. Gnatopodo posteriore	30	840
»	16. *Chelura terebrans*	90	348
»	17. *Oediceros longimanus*. Gnatopodo anteriore	100	848
»	18. *Oediceros longimanus*. Gnatopodo posteriore	100	848
»	19. *Kröyera arenaria*	60	555
»	20. *Leptocheirus pilosus*	60	429
»	21. *Aora gracilis*	70	408
»	22. *Nicippe pallida*	45	660
»	23. *Eusirus cuspidatus*	25	670
»	24. *Orchestia Deshayesii*. Gnatopodo anteriore del ♂ adulto.	30	508
»	25. *Orchestia Deshayesii*. Gnatopodo posteriore di una ♀ .	30	507
Fig.	26. *Orchestia Deshayesii*. Gnatopodo posteriore di un ♂ adulto	30	508
»	27. *Melita obtusata*. Parte di gnatopodo posteriore di un ♂ adulto	60	713
»	28. *Stenothoe Antennulariae* . .	100	565
»	29. *Corophium acherusicum* . .	75	365
»	30. *Chelura terebrans*	90	348
»	31. *Phoxocephalus chelatus* . . .	150	742
»	32. *Amphilochus neapolitanus* . .	100	595
»	33. *Erichthonius difformis* . . .	70	386
»	34. *Lencothoe serraticarpa* . . .	35	656

Piedi toracici del gruppo medio (pp. 32-33).

»	35. *Platophium brasiliense* . . .	70	331
»	36. *Maera grossimana*	42	728
»	37. *Atylus Swammerdamii* . . .	40	700
»	38. *Siphonoecetes typicus* . . . *gl*^{II} - *gl*^{IV} Glandole del 2.°-4.° articolo.	70	360
»	39. *Ampelisca diadema*. Piede toracico del 3.° paio . . . . *gli* glandole interne; *gl*^{I}-*gl*^{IV} glandole dell' epimero, del 2.° del 3.° e del 4.° articolo	30	480
»	40. *Ampelisca diadema*. Piede toracico del 4.° paio . . . . *m* muscolo estensore del 2.° articolo. Le altre lettere come nella figura precedente.	30	481
»	41. *Harpinia neglecta*. Piede toracico del 4.° paio	30	748

Tavola 41.

Anatomia. — Piedi toracici, addominali e codali. Telson.

Piedi toracici del gruppo posteriore (pp. 33-34).

		Ingr.	Pag.
Fig. 1.	*Harpinia neglecta*	60	748
» 2.	*Urothoe irrostrata*	35	666
» 3.	*Bathyporeia pilosa*.	30	753
» 4.	*Callisoma Hopei*	20	840
» 5.	*Maera grossimana*	42	728
» 6.	*Isaea Montagui*	60	680
» 7.	*Corophium runcicorne*. . .	75	370
» 8.	*Haploops tubicola*	30	488
» 9.	*Ampelisca brevicornis* . . .	30	474
» 10.	*Oediceros longimanus* . . .	60	532

Piedi addominali o Pleopodi (pp. 34-35).

Fig. 11.	*Platophium brasiliense* . .	62	331
» 12.	*Corophium runcicorne*. . .	75	370
» 13.	*Orchestia Deshayesii* . . .	18	503
» 14.	*Chelura terebrans*	45	349
» 15.	*Percionotus testudo*	50	561

Piedi codali o Uropodi (pp. 36-37).
Segmenti addominali e codali. Telson (p. 246).

Fig. 16.	*Megaluropus agilis*	60	696
» 17.	*Grubia crassicornis*. . . .	30	465
» 18.	*Orchestia Deshayesii* . . .	18	503
Fig. 19.	*Podocerus ocius*	80	448
» 20.	*Erichthonius difformis* . .	70	385
» 21.	*Bathyporeia pilosa*	60	753
» 22.	*Atylus Swammerdamii*. . .	40	700
» 23.	*Ampelisca diadema*	48	481
» 24.	*Platophium brasiliense* . .	62	331
» 25.	*Pereionotus testudo*	50	561
» 26.	*Corophium acherusicum* . .	75	366
» 27.	*Chelura terebrans*	45	349
» 28.	*Anonyx humilis*	60	818
» 29.	*Microdeutopus algicola*. . .	90	419
» 30.	*Acanthozone bispinosa* . . .	60	611
» 31.	*Siphonoecetes typicus* . . .	115	361
» 32.	*Urothoe irrostrata*	35	666
» 33.	*Cheirocratus assimilis* . . .	40	689
» 34.	*Nicippe pallida*	45	660
» 35.	*Melita obtusata*	60	712
» 36.	*Dexamine spinosa*	18	575

Rapporti generali delle varie appendici.

Fig. 37.	*Maera grossimana*.	30	727

Un individuo veduto dal lato destro.

Tavola 42.

Anatomia. — Parti boccali. Dermascheletro e Articolazioni.

Figg. 1-11. *Gammarus locusta.* — Pagine del testo

Fig. 1. Parti boccali, come si vedono dopo che sono stati levati i piedi mascellari, i quali erano articolati nella fossetta *x*; — *ep* epistoma veduto in parte. Ingr. $^{13}/_{1}$. 18, 25

» 2. La preparazione precedente dopo che si sono levate anche le mascelle posteriori, le quali erano articolate nella fossetta *y*. Ingr. $^{13}/_{1}$ 24

» 3. La stessa preparazione quando sono state tolte anche le mascelle anteriori, le quali erano articolate in *z*. Ingr. $^{13}/_{1}$ 20, 23

» 4. Spine dentate falciformi *sp d*, e setole ciliate *s ci* d' una mandibola. Ingr. $^{65}/_{1}$ . . . 21, 53

Pagine del testo

Fig. 5. Parte del dermascheletro del torace e del capo ottenuto colla macerazione nella potassa. La figura è destinata a dimostrare specialmente le lamine endocefaliche che nel *Gammarus locusta* prendono la forma di un anello e poi si continuano in varie apofisi α, β. Ingr. $^{13}/_{1}$ 38, 42

» 6. Capo veduto di lato, per indicare la successione antero-posteriore delle varie appendici della bocca, il margine laterale inferiore del segmento cefalico e i varii articoli dei peduncoli delle antenne. Ingr. $^{13}/_{1}$ 5, 12, 18

» 7. Mandibola. — *pr i* Processo incisivo principale; — *pr i'* processo incisivo accessorio; — *sp d* spine dentate falciformi; — *tu m* tubercolo molare; — *y* superficie d'attacco dei muscoli adduttori; — *tm* tendine del muscolo adduttore principale. Ingr. $^{18}/_{1}$ 20

» 8. Piedi mascellari veduti dalla superficie superiore, perchè si noti meglio la loro conformazione generale a cucchiaio. Ingr. $^{13}/_{1}$ 25

» 9. Parti boccali esaminate dalla superficie inferiore. Oltre alla superficie inferiore dei piedi mascellari, si vede parte del labbro superiore, delle mandibole e le mascelle del 1.° paio. Nel fondo, tra il labbro superiore e le lamine esterne, corrisponde la bocca. Ingr. $^{13}/_{1}$ 25

» 10. Piedi mascellari veduti di lato, per mostrare specialmente la sporgenza formata dalla riflessione (x) delle lamine interne. Ingr. $^{13}/_{1}$ 10, 25

» 11. Labbro inferiore e mascelle anteriori, veduti dalla superficie dorsale. Al labbro inferiore si attaccano dei muscoli m' nella parte media, e dei muscoli m nelle parti laterali. Ingr. $^{13}/_{1}$ 23

Figg. 12-17. *Orchestia Deshayesii.*

Fig. 12. Capo veduto dalla superficie anteriore: i primi due articoli dell'antenna posteriore sono saldati al capo; l'epistoma *ep* si continua nei due pezzi x ed y, situati fra le antenne; — z parte che corrisponde al segmento mandibolare. Ingr. $^{30}/_{1}$. 7, 12, 43

» 13. Capo veduto di lato. Fa vedere specialmente quella parte della superficie inferiore (w) che si articola co' piedi mascellari. I due pezzi z z corrispondono rispettivamente ai segmenti mandibolare e mascellare. Ingr. $^{30}/_{1}$. 6, 41

» 14. Parte del dermascheletro del capo ottenuto con la macerazione nella potassa, veduta dalla superficie interna, per mostrare gli apodemi endocefalici separati: — x inspessimenti chitinosi corrispondenti alle divisioni esterne del capo. Ingr. $^{45}/_{1}$ 23, 41, 44

» 15. Mandibole e labbro superiore veduti dalla superficie inferiore. Ingr. $^{45}/_{1}$ 20, 43

» 16. Dermascheletro, ottenuto come sopra, di parte d'uno dei gnatopodi anteriori. Dimostra le varie inserzioni chitinose tendinee dei muscoli *tm*. Ingr. $^{45}/_{1}$ 44

» 17. Dermascheletro, ottenuto come sopra, di parte del piede toracico del 5.° paio: — y parte dell'epimero che è sottoposta alla porzione x del secondo articolo; — β e γ apofisi del 2.° articolo destinata alle inserzioni dei tendini. Ingr. $^{35}/_{1}$. 33, 45, 89

Fig. 18. *Lysianax longicornis.* Parte del dermascheletro ottenuto come sopra. Presenta l'epistoma *ep* con la sua appendice unguiforme x, e con l'apofisi y che entra nella cavità corrispondente della mandibola; — *tm* tendini dei muscoli che muovono la mandibola. L'esofago *es* è accennato dalle due linee più oscure, come pure le eminenze spinose *es*; — *yy* (in basso) parte laterale della superficie del capo. Ingr. $^{75}/_{1}$. 6, 21

Tavola 43.

Anatomia. — Muscoli. Dermascheletro e Articolazioni.

Pagine del testo

Figg. 1-3. *Lysianax longicornis.*

Fig. 1. Muscoli del labbro superiore. Ingr. $^{75}/_{1}$ 87

» 2. L' animale diviso con un taglio sagittale per mostrare i muscoli del tronco, del capo e delle appendici: — *est d* estensori del dorso (p. 83); — *fl v* flessori del ventre; — *fl c* flessori della coda; — *est c* estensori della coda; — *m p a* muscoli dei piedi addominali (p. 90); — *m p t* muscoli dei piedi toracici (p. 89); — *fl o* flessori obliqui; — *x* estensori del capo; — *fl c* flessori del capo; — *m md* muscoli della mandibola; — *m ms*[1] muscoli della mascella anteriore; — *m ms*[2] muscoli della mascella posteriore; — *m pm* muscoli adduttori dei piedi mascellari. Ingr. $^{20}/_{1}$. 83, 89, 90

» 3. Dermascheletro ottenuto colla macerazione nella potassa: *x* piega della cuticola per l' inserzione dei muscoli flessori del capo. Ingr. $^{20}/_{1}$ 37, 83

Fig. 4. *Bathyporeia pilosa.* Muscoli contenuti nel 1.° e 2.° articolo dell' antenna anteriore: — *e I, f I* estensori e flessori del 1.° articolo; — *e II, f II* estensori e flessori del 2.° articolo; — *e III, f III* estensori e flessori del 3.° articolo. Ingr. $^{170}/_{1}$ 86, 752

Figg. 5, 6. *Orchestia Deshayesii.*

Fig. 5. Muscoli delle antenne anteriori veduti dalla superficie esterna.

» 6. Gli stessi veduti dalla superficie interna: — *e I f I* estensori e flessori del 1.° articolo; — *e II, f II* estensori e flessori del 2.° articolo; — *lf III* lungo flessore del 3.° articolo. Ingr. $^{110}/_{1}$ 86

Fig. 7. *Maera grossimana.* Metà del capo ottenuta con taglio sagittale e disegnata dalla superficie interna. Fa vedere il muscolo grande adduttore (*g a*) delle mandibole, i muscoli delle altre parti boccali, gli estensori (*e a*[2]) e i flessori (*f a*[2]) delle antenne posteriori, gli estensori e i flessori dei varii articoli delle antenne anteriori e posteriori. Ingr. $^{60}/_{1}$ . . 86, 88, 89

» 8. *Vibilia Jeangerardii.* Dermascheletro ottenuto colla macerazione nella potassa. Si confronti con quello del *Lysianax longicornis* (Fig. 3). Ingr. $^{20}/_{1}$ 37

» 9. *Bathyporeia pilosa.* Estremità di un piede del 5.° paio toracico per mettere in evidenza il 7.° articolo (VII) rudimentale. Ingr. $^{360}/_{1}$. (Quest' articolo si vede solo con lenti di forte ingrandimento. Cf. p. 753).

» 10. *Aristias neglectus.* Apofisi (*a*) del 2.° articolo del piede toracico del 5.° paio: *tm*, *t*[1] *m*, *t*[2] *m* tendini muscolari. Ingr. $^{170}/_{1}$ 89

» 11. *Urothoe irrostrata.* Mandibole col muscolo estensore del 1.° articolo dal palpo (*e p*), racchiuso nel corpo. Ingr. $^{100}/_{1}$. 88

» 12. *Corophium acherusicum.* Piedi addominali per mostrare i muscoli (*a p*) contenuti nell' articolo basilare e destinati al movimento dell' articolo stesso; ed inoltre i vari muscoli motori dei due rami: — *p ad* piccolo adduttore; — *l ab* lungo abduttore; — *ab re* abduttore del ramo esterno. Ingr. $^{85}/_{1}$. 90

« 13. *Orchestia Deshayesii.* Parte del dermascheletro ottenuta colla macerazione nella potassa, veduto dalla superficie inferiore, la quale fa notare i vari inspessimenti chitinosi dei segmenti. Ingr. $^{15}/_{1}$. 39

Figg. 14-18. *Vibilia Jeangerardii.*

Fig. 14. Piedi addominali veduti dalla superficie posteriore per mostrare la profonda doccia (*d*) presentata da ciascuno di essi, e come il ramo esterno (*re*) rimanga indietro del ramo interno (*ri*). Ingr. $^{12}/_{1}$. 35

Pagine del testo

Fig. 15. Contorno del taglio trasversale d' un piede addominale: — *s a, s p* superficie anteriore e posteriore; — *d* doccia. Ingr. $^{12}/_{1}$. 35

» 16. Articolo basilare del piede addominale veduto di lato: — (*s a*) superficie anteriore Ingr. $^{12}/_{1}$ 35

» 17. Rami di un piede addominale: sul ramo esterno è l' apofisi (*x*) contro cui viene a battere il ramo interno. Ingr. $^{24}/_{1}$ 35

» 18. Dermascheletro ottenuto colla macerazione nella potassa, veduto dalla superficie ventrale. Si vede che in corrispondenza dei primi segmenti toracici non esistono inspessimenti. Ingr. $^{15}/_{1}$. 39

Fig. 19. *Callisoma Hopei.* Estremità di uno dei gnatopodi posteriori ingr. $^{300}/_{1}$, coll' unghia rudimentale (VII), munita di molte setole, le quali nondimeno non sono state tutte disegnate, per rendere più chiara la forma dell' unghia, la sua articolazione (*x*), e il tendine flessore (*tf*) 840

» 20. *Ampelisca brevicornis.* Taglio longitudinale del dermascheletro dell' addome: — *ech* prolungamenti chitinosi dell' ectoderma, che danno inserzione ai muscoli addominali. Ingr. $^{300}/_{1}$. . 90

» 21. *Phronima sedentaria.* Taglio sagittale del corpo per mostrare i muscoli flessori ed estensori del tronco. Ingr. $^{12}/_{1}$. 86

» 22. *Leucothoe spinicarpa.* Due segmenti dell' addome e il primo codale ingr. $^{35}/_{1}$. In *x* e *y* i punti dove avviene la rotazione dei segmenti. 39

Figg. 23-25. *Maera grossimana.*

Fig. 23. Muscoli dei piedi toracici del 7.° paio. 89

» 24. — — del 3.° paio. 89

» 25. — — del 2.° paio. 89

Tavola 44.

Anatomia. — Pelle e sue Appendici.

Figg. 1, 2. *Microdeutopus gryllotalpa.*

Fig. 1. Taglio longitudinale della glandola antennale: — *cut* estremità cuticolare del dotto escretore; — *egl* epitelio glandolare; — *t c* tessuto connettivo. Ingr. $^{450}/_{1}$. 72

» 2. Taglio trasverso della glandola antennale suddetta, per mostrare l' irregolarità dell' epitelio glandolare. Ingr. $^{450}/_{1}$. 72

Fig. 3. *Niphargus puteanus.* Estremità del tubercolo conico del 2.° articolo di un' antenna posteriore veduta sul vivente: — *s* sostanza, forse segregata, che usciva dal foro della glandola. Ingr. $^{450}/_{1}$. 72

» 4. *Ampelisca diadema.* Setole uditive impiantate sulla superficie inferiore del 1.° articolo d' una delle antenne anteriori: — *sug* setole uditive grandi; — *sup* setole uditive piccole. Qualcuna delle grandi è in connessione coll' ectoderma mediante un tenue filo che forse è la nuova setola, ma che simula un filetto nervoso. Ingr. $^{450}/_{1}$. 55

» 5. *Harpinia neglecta.* Setole uditive ingr. $^{450}/_{1}$ 55

» 6. *Leucothoe spinicarpa.* Cuticola del dermascheletro (*cutd*) e ipoderma dell' articolazione del 4.° arco dorsale toracico col 5.°, veduti in un taglio sagittale: — *x* inspessimento del segmento posteriore: — *ni* nuclei dell' ipoderma; — *c* cuore. Ingr. $^{450}/_{1}$. 63

» 7. *Microdeutopus gryllotalpa.* Taglio longitudinale della glandola del telson (*glt*): — *dv, dd* superficie ventrale e dorsale del dermascheletro; — *vi* ipoderma. Ingr. $^{450}/_{1}$ 133

Pagine del testo

Figg. 8, 9. *Ampelisca diadema.*

Fig. 8. Peli rudimentali della superficie del capo: — *z* un gruppo di peli per mostrare la loro disposizione irregolare. Ingr. $^{170}/_{1}$. — *y* Alcuni peli isolati, ingranditi più fortemente ($^{500}/_{1}$). 53

» 9. Margine esterno del ramo esterno d'uno dei piedi codali posteriori, sopra del quale sono le setole (*si*) della nuova cuticola separate da quelle (*sd*) dell'antica che si è distaccata insieme ai condottini delle glandole glutinifere di cui si vedono i fori di sbocco in *fdgl*. Ingr. $^{450}/_{1}$ 65, 275

Fig. 10. *Orchestia gammarellus.* Peli (*prc*) e condottini glandolari (*fdgl*) dell'epimero dei gnatopodi anteriori. Ingr. $^{450}/_{1}$ 65, 68

» 11. *Ampelisca diadema.* Concrezioni calcaree nel capo di una spoglia rigettata nella muda. Ingr. $^{300}/_{1}$. 50

» 12. *Orchestia Deshayesii.* Cellule del labbro superiore: — *re* ramificazioni dei condottini. Ingr. $^{550}/_{1}$. 64

Figg. 13, 14. *Orchestia Deshayesii.* Cuticola macerata con la potassa.

Fig. 13. Impressioni lasciate dalle cellule. Qui e là qualche foro (*fe*) dei canali escretori delle glandole. Ingr. $^{170}/_{1}$. 49

» 14. Alcune impressioni che mostrano i pori-canali. Ingr. $^{550}/_{1}$. 49

Fig. 15. *Aristias neglectus.* Cuticola macerata nella potassa: — *z* impressioni cellulari con pori-canali; — *x* canaletti glandolari sparsi; — *y* id. allineati Ingr. $^{1000}/_{1}$ 65

» 16. *Orchestia gammarellus.* Superficie esterna dell'epimero anteriore: — *gl* glandole glutinifere; — *cd* condottini di glandole lontane (?); — *i* cellule ordinarie dell'ipoderma; — *fcd* fasci di fili che riuniscono le due lamine della piega ipodermica rappresentata dall'epimero. Ingr. $^{700}/_{1}$. 63, 68

» 17. *Orchestia mediterranea.* Glandole glutinifere dell'epimero del 2.° paio: — *st* fascettini di fili che uniscono le due superficie interne. Ingr. $^{170}/_{1}$. 64, 68

» 18. Aspetto della sabbia dove sono annidate delle Orchestie. I fori corrispondono agli sbocchi dei cunicoli. Grandezza naturale. 65, 69

» 19. Aspetto laterale dei cunicoli suddetti, quando le Orchestie sono tenute per qualche giorno in un bicchiere. Grandezza naturale 65, 69

» 20. *Ichnopus taurus.* Calceolo: — *x* sommità che s'incava per formare il calceolo; — *cav* cavità centrale; — *sc* solco circolare. Ingr. $^{550}/_{1}$. 62

Figg. 21, 22. *Gammarus pungens.*

Fig. 21. Calceolo in espansione. Ingr. $^{550}/_{1}$ 62

» 22. Calceolo invaginato: — *teav* tubi di comunicazione fra la cavità interna e la superficie esterna: — *x* cavità d'invaginazione: — *m* alghe che crescono su'calceoli. Ingr. $^{550}/_{1}$. 62

Fig. 23. *Callisoma Hopei.* Epimero di uno dei gnatopodi anteriori per mostrare i cromatofori (?) che crescono nell'interno. Ingr. $^{30}/_{1}$ 64

» 24. *Chelura terebrans.* Estremità d'uno dei rami dei piedi addominali, che fa vedere le nuove setole nell'interno delle antiche (*ste*), e i cordoni tendiniformi (*sti*) che si continuano nell'interno: — *ni* nuclei dell'ipoderma; — *x* un nucleo presso all'inserzione di una setola. Ingr. $^{550}/_{1}$ 275

» 25. *Haploops tubicola.* Glandola del 2.° articolo dei piedi toracici del 3.° paio: — *cp* condotto principale; — *ce* condotto eccentrico; — *n* nucleo. Ingr. $^{300}/_{1}$. 64, 69

Figg. 26-28. *Ampelisca brevicornis.*

Fig. 26. Una cellula glutinifera dei piedi toracici del 7.° paio isolata, circondata da cellule connettivali, di cui alcune fanno vedere solamente i nuclei, e due sono separate (*cc*). Ingr. $^{450}/_{1}$. 69

» 27. Taglio longitudinale del 2.° articolo dei piedi toracici del gruppo medio per mostrare le cellule glandolari (*gl*): — *d* cuticola; — *ni* nuclei dell'ipoderma; — *cne* canaletti escretori. Ingr. $^{450}/_{1}$ 67, 69

» 28. Arco dorsale di un segmento toracico: — *x* sbocchi di canaletti glandolari; — *i* ipoderma. Ingr. $^{170}/_{1}$. 63, 65

Pagine del testo

Fig. 29. *Haploops tubicola.* Unghia di un piede toracico del 4.° paio, che fa vedere i fori dei condottini escretori che sboccano lateralmente in *fce*, e alla punta: — *fgc* piccola cavità presso la punta; — *ss* setola sensitiva. Ingr. $^{300}/_{1}$ 55, 67

» 30. *Grubia crassicornis.* Unghia di uno dei piedi toracici del 4.° paio: — *sb* seno comune di sbocco dei canaletti glandolari (*cgl*); — *tmf* setole prensili. Ingr. $^{450}/_{1}$ 67

» 31. *Orchestia gammarellus.* Superficie esterna dell' epimero anteriore per mostrare le cellule glutinifere (*gl*) e i peli a madrevite (*y*). Ingr. $^{170}/_{1}$ 53, 68

» 32. *Haploops tubicola.* Estremità posteriore del corpo con le glandole (*gl*) che sboccano nei piedi codali anteriori. Ingr. $^{36}/_{1}$. — 32.* Il ramo esterno dei piedi codali anteriori co' fori di sbocco (*fe*) dei condottini ingr. $^{300}/_{1}$. In *sglt* un grumo di sostanza glutinosa . . . 64, 68

Tavola 45.

Anatomia. — Sistema nervoso.

Figg. 1, 2. *Orchestia Deshayesii.*

Fig. 1. Cervello e catena gangliare: — ga^1-ga^3 gangli addominali; — *gc* (in alto) lobi cerebroidi; — *gc* (in basso) gangli codali fusi insieme; — *gi* gangli delle parti boccali fusi insieme in una massa biloba; — gt^1-gt^7 ganglio del 1.°-7.° segmento toracico. Ingr. $^{10}/_{1}$. 94, 96

» 2. Cervello messo a nudo mediante un taglio frontale che ha asportato l' arco dorsale del capo e dei primi segmenti toracici: — *dep* diverticoli anteriori dei ciechi epato-pancreatici; — *dad* cieco anteriore dorsale; — *es* pieghe cardiache; — *st* stomaco. Ingr. $^{16}/_{1}$ 94, 96

Figg. 3, 4. *Microdeutopus gryllotalpa.*

Fig. 3. Taglio sagittale, poco distante dalla linea mediana: — *ast* apodema endocefalico che sostiene lo stomaco; — *c* cuore; — *cep* uno dei ciechi epato-pancreatici; — *dad* cieco dorsale anteriore; — *es* pieghe cardiache; — *glls* glandole del labbro superiore; — *ga* ganglio delle antenne posteriori; — *nls* nervo del labbro superiore; — *gipm* ganglio interno dei piedi mascellari; — *ov* ovario; — *pgi*, *pgv* connettivo pigmentato. Ingr. $^{107}/_{1}$. 64, 95, 120

» 4. Parte della figura precedente più ingrandita per mostrare le relazioni del nervo del labbro superiore (*nls*) con le cellule gangliari (*cg*); — *il* ipoderma del labbro superiore. Ingr. $^{700}/_{1}$. 95

Figg. 5-10. *Ampelisca brevicornis.*

Fig. 5. Cervello veduto dal dorso: — *cc* capsula connettivale pericerebrale; — *go* gangli ottici; — *gc* lobi cerebroidi. Ingr. $^{75}/_{1}$. 93, 109

» 6. Cervello veduto di lato: — *ces* commessure paraesofagee; — *or* occhi rudimentali; — *gc* lobi cerebroidi; — *no* nervo ottico. Ingr. $^{45}/_{1}$. 93. 109

» 7. Parte della catena gangliare isolata. In *x* (in alto) il muscolo del labbro inferiore (*mli*) che attraversa la massa comune gangliare sottoesofagea (*gses*). Altri fori (*x*, *x*), situati anche nella parte inferiore, sono probabilmente vie sanguigne, residui degli spazi che dividevano i vari gangli nell' embrione. — *nic* Nervo intercommessurale. Ingr. $^{45}/_{1}$. 88, 94, 97

» 8. Taglio sagittale, quasi mediano, di parte del capo e del torace: — *aa* aorta anteriore; — *ep* epitelio endocardico; — *fm* fibre muscolari del cuore *c*; — *mdest* muscoli dilatatori dello stomaco; — *mdst* setole delle pieghe gastriche; — *mls* muscoli del labbro superiore. Ingr. $^{36}/_{1}$ 88 139, 140

Pagine del testo

Fig. 9. Taglio sagittale di un ganglio addominale: — *cg* cellule giganti; — *npa* nervo dei piedi addominali. Ingr. $^{450}/_{1}$. 97

» 10. Parte del taglio trasversale di un segmento toracico. Vi si nota la distribuzione del nervo corrispondente (*n*) e le sue relazioni con le cellule connettivali *ct*. Ingr. $^{107}/_{1}$. 96

Figg. 11-13. *Leucothoe spinicarpa.*

Fig. 11. Cervello e parte della catena gangliare veduti dal dorso: — *fcl* fibre longitudinali delle commessure. Ingr. $^{70}/_{1}$. 93, 95

» 12. Id. dal ventre: — ga^1, ga^2 gangli delle antenne anteriori e posteriori; — gp-gt^1 ganglio posteriore o sottoesofageo che risulta dalla fusione dei gangli delle parti boccali, ed è fuso a sua volta anche col 1.° ganglio toracico; — npt^1 nervo del 1.° paio toracico suddiviso in ramo anteriore (*za*) e posteriore (*rp*); — nc^2 nervo intercommessurale delle commessure del 2.° paio. Ingr. $^{70}/_{1}$. 93, 140

» 13. Id. di lato: — *i* intestino; — *f* uno dei ciechi epato-pancreatici. Ingr. $^{70}/_{1}$. . . . 93, 140

Figg. 14-16. *Vibilia Jeangerardii.*

Fig. 14. Sistema nervoso isolato: — ga^1-ga^3 gangli addominali; — $gc^{1\text{-}3}$ gangli codali fusi insieme. Ingr. $^{18}/_{1}$. 95

» 15. Taglio trasverso del flagello delle antenne anteriori: — gna^1 ganglio interno delle antenne anteriori; — *si* superficie interna del flagello; — *ci* bastoncelli ialini. Ingr. $^{71}/_{1}$. 59, 95

» 16. Parte del taglio precedente maggiormente ingrandita: — *ip* ipoderma stratificato; — *colf* bastoncelli ialini. Ingr. $^{550}/_{1}$. 60

Figg. 17, 18. *Ampelisca diadema.*

Fig. 17. Spina a madrevite. Ingr. $^{550}/_{1}$. 53

» 18. Setole terminate da un lungo ciglio. Ingr. $^{550}/_{1}$. 53

Tavola 46.

Anatomia. — Occhi.

Figg. 1, 2. *Orchestia Deshayesii.*

Fig. 1. Taglio di un occhio secondo un meridiano. Tre ommatidii, di cui due con le rispettive cellule nei loro rapporti naturali e il terzo (che nella figura è il 1.° a sinistra) rappresentato soltanto dal cono cristallino coll' ipoderma distaccato dalla cuticola: — *x* screpolatura della cuticola comune (*ct*) che passa sopra l' occhio; — *ip* ipoderma; — *cr* coni cristallini; — *r* cellule retiniche; — *no* nervo ottico. Ingr. $^{550}/_{1}$ 105, 107

» 2. Taglio trasverso di un occhio: — α, β, γ sono gli ommatidii incontrati dal taglio a diversa altezza; — *fcr* fessura che divide le due metà del cristallino. Ingr. $^{550}/_{1}$.

Fig. 3. *Leucothoe spinicarpa.* Taglio tangenziale di un occhio che ha incontrato alcuni ommatidii (*x*, *y*) trasversalmente, ed è riuscito parallelo ad alcuni altri (*cr*, *r*, *z*): — *cpo* capsula periottica; — *cr* coni cristallini; — *r* cellule retiniche; — *cct* capsula connettivale. Ingr. $^{550}/_{1}$. 106

Figg. 4-6. *Ampelisca diadema.*

Fig. 4. Taglio meridiano d' un occhio, insieme al ganglio ottico ed al lobo cerebrale corrispondenti: — *cl* cornea lenticolare; — *icg* ipoderma cheratogeno; — *boe* bastoncelli ottici esterni; — *cr* coni cristallini; — *gcr* gruppo di cellule produttrici del rabdoma; — *mf* membrana fenestrata; — *r* cellule retiniche; — *cpt* capsula periottica; — *no* nervo ottico; — *lc* lobo cerebroide. Ingr. $^{300}/_{1}$. 109, 110

» 5. Lente cuticolare veduta dalla superficie interna col suo epitelio produttore (*icg*) ingr. $^{300}/_{1}$ 109, 110

Pagine del testo

Fig. 6. Taglio meridiano della parte periferica dell' occhio, per mostrare le grandi cellule cheratogene, o corpo vitreo (*icg*). Ingr. $^{450}/_{1}$. 109

Figg. 7, 8. *Vibilia Jeangerardii.*

Fig. 7. Un ommatidio isolato: — *ip* ipoderma; — *ct* connettivo; — *ns* nuclei del Semper; — *boi* bastoncelli ottici interni o rabdomi; — *r* cellule retiniche; — *ct* connettivo. Ingr. $^{550}/_{1}$. 106

» 8. Taglio trasverso di tre ommatidii: — *gcr* gruppo di cellule generatrici del rabdoma (*boi*). Ingr. $^{550}/_{1}$ 106

» 9-13. *Leucothoe spinicarpa.*

Fig. 9. (a sinistra) Taglio meridiano di un occhio: — *ip* ipoderma; — *cpo* capsula periottica; — *ns* nuclei del Semper; — *cr* coni cristallini; — *ct* cellule connettivali pigmentate; — *boi* rabdoma; — *mf* membrana fenestrata; — *r* retina; — *go* ganglio ottico. Ingr. $^{450}/_{1}$ 107

» 9. (a destra) Taglio tangenziale a livello della membrana fenestrata (*mf*). Ingr. $^{450}/_{1}$. 107

» 10. Membrana fenestrata isolata. Qui e là, nelle maglie e fuori, il taglio trasverso di qualche ommatidio. Ingr. $^{450}/_{1}$. 107

» 11. Taglio sagittale del capo presso all' articolazione di una delle antenne anteriori, per mostrare l' organo frontale in tutta la sua lunghezza: — *ct* tessuto connettivo; — *gls* globuli sanguigni; — *cpo* capsula periottica che circonda l' organo frontale; — *cr* coni cristallini; — *rf* rigonfiamento fusiforme di un ommatidio. Ingr. $^{450}/_{1}$. . . 75

» 12, 13. Due tagli trasversali del capo per mostrare la posizione e i rapporti dei due organi frontali (*o*, *o'*): — *aa* aorta anteriore; — *c* cuore; — *m* muscoli. Ingr. $^{60}/_{1}$ . . . 75

» 14, 15. *Vibilia Jeangerardii.*

Fig. 14. Due ommatidii: — *boi* bastoncelli interni ancora incompleti. Ingr. $^{550}/_{1}$ 106

» 15. Taglio di un occhio diretto in guisa da incontrare la parte interna (a sinistra della figura) con gli ommatidii già completi, e l' esterna (a destra della figura) con quelli in via di formazione. Ingr. $^{550}/_{1}$. 106

» 16, 17. *Chelura terebrans.*

Fig. 16. Taglio meridiano dell' occhio: — *cr* cono cristallino; — *gcr* gruppo di cellule produttrici del rabdoma; — *go* ganglio ottico; — *lc* lobi cerebroidi. Ingr. $^{300}/_{1}$.

» 17. Ommatidio: — *boi* rabdoma; — *α* un cristallino isolato; — *ns* nuclei del Semper. Ingr. $^{550}/_{1}$ 104

Fig. 18. *Leucothoe spinicarpa.* A sinistra due ommatidii; a destra una cellula retinica isolata. — Disegno semischematico. Le lettere come nella Fig. 9 107

» 19. *Ampelisca brevicornis.* Tre ommatidii. — Disegno semischematico. Le lettere come nella Fig. 4. 109

Tavola 47.

Anatomia. — Sezioni trasversali di *Haploops, Ampelisca, Orchestia, Bathyporeia* e *Urothoe.*

Figg. 1-4. *Haploops tubicola.*

Fig. 1. Taglio trasverso del capo a livello degli occhi: — o^1 occhi superiori; — o^2 occhi inferiori. Ingr. $^{107}/_{1}$. 109, 111

» 2. La metà sinistra della figura precedente ingrandita maggiormente per mostrare alcuni particolari: — clo^1 lente cuticolare dell' occhio superiore; — clo^2 id. dell' inferiore; — *icg* ipoderma cheratogeno; — *poe* bastoncelli ottici esterni; — *cr* corpi cotiledonari corrispondenti al cristallino; — *r* cellule retiniche; — *no* nervo ottico; — *cpo* capsula connettivale periottica; — *x* fascetto connettivale. Ingr. $^{450}/_{1}$. 111

Pagine del testo

Fig. 3. Una lente biconvessa corneale distaccata da uno degli occhi, la quale presenta nella sua superficie interna le tracce delle cellule dell' ipoderma cheratogeno (*icg*). Ingr. $^{450}/_{1}$. 111

» 4. Elementi di un occhio. — In α ommatidio intero con tutte le sue parti: — *icg* ipoderma cheratogeno; — *boe* bastoncelli ottici esterni alquanto divaricati; — *cr* corpo cotiledonare o cristallino; — *r* cellule retiniche; — *no* nervo ottico. — In β due cellule retiniche un po' più gonfie, ma più brevi. — In γ un corpo cotiledonare con le due parti riunite. — In δ le due parti del corpo cotiledonare divise. — Tutte le figure sono semischematiche 11

Figg. 5-16. *Ampelisca brevicornis* ♀. (Tutte le figure ingr. $^{60}/_{1}$).

Fig. 5. Taglio trasverso del capo a livello delle antenne anteriori: — o^1 occhi superiori. Le lenti cuticolari biconvesse sono in sito 109

» 6. Taglio successivo al precedente: — *p* tessuto connettivo sotto-ipodermico carico di pigmento. 109

» 7. Taglio che ha incontrato i lobi cerebrali (*lc*) e gli occhi inferiori (o^2), di cui mancano le lenti 109

» 8. Taglio successivo che ha incontrato i gangli ottici (*go*). In *ct* il connettivo glandoliforme che ricorda quello del torace delle Orchestie (cf. Tav. 48, Fig. 16, *cgli*) 79, 94

» 9. Taglio che ha attraversato i nervi delle antenne anteriori (na^1) 79, 94

» 10. Taglio successivo, quasi presso ai gangli delle antenne anteriori 79, 94

» 11. Taglio che attraversa i gangli delle antenne anteriori (ga^1) 79, 94

» 12. Taglio che attraversa il capo a livello delle antenne posteriori. In *aa* l' aorta anteriore. 94, 140

» 13. Taglio trasverso del capo al davanti dell' inserzione del labbro superiore. Il taglio passa per lo stomaco (*st*), di cui si vedono, ai lati, due muscoli dilatatori (*md*); — *ces* commessure nervose paraesofagee 121

» 14. Taglio trasverso del capo a livello del labbro superiore: — *gl* glandole salivari; — *md* muscoli dilatatori dello stomaco e rotatori delle pieghe cardiache (qualche fascio di questi muscoli serve anche come adduttore delle mandibole, cf. p. 88); — *mde* muscoli dilatatori dell' esofago; — *mt* muscolo trasverso del labbro superiore (cf. anche Tav. 53, Figg. 6 e 9.) 121, 124

» 15. Taglio trasverso del capo a livello del labbro inferiore: — *mds* muscoli dilatatori dello stomaco; — *mli* muscoli del labbro inferiore che attraversa in *gp* la massa comune gangliare sottoesofagea (cf. anche Tav. 45, Figg. 7 e 8); — *ip* ipostoma 140

» 16. Taglio trasverso del 5.° segmento del torace a livello degli sbocchi degli ovidutti: — *i* intestino; — *f* tubi epato-pancreatici, circondati dalla loro tunica connettivale *tp*; — *ov* (in alto) ovarii; — *ov* (in basso) ovidutti, di cui quello a sinistra contiene verso lo sbocco uno zaffo di materia coagulata (p. 163); — *ccg* commessure longitudinali della catena gangliare; — *p* setto pericardico 125, 139, 142, 162, 163

» 17-19. *Orchestia Deshayesii.* Tagli trasversi del capo ingr. $^{42}/_{1}$.

Fig. 17. Taglio a livello delle mandibole. In mezzo la massa nervosa preesofagea co'suoi lobi cerebroidi (*lc*), e con i gangli delle antenne anteriori (ga^1) e delle antenne posteriori (ga^2); — *gl* glandole (le masse di cellule più piccole sono, forse, di tessuto connettivo glandoliforme, cf. p. 48, e Tav. 18, Figg. 15 e 16); — tma^2 sezione trasversa di un tendine. 97

» 18. Taglio a livello delle inserzioni delle mascelle posteriori: — *st* stomaco, co' suoi muscoli dilatatori (*mds*); — *ces* commessure paraesofagee 121

» 19. Taglio a livello dell' inserzione dei piedi mascellari: — *ag* lamine endocefaliche; — *gp* ganglio sottoesofageo; — *tr* trabecole che uniscono le due pagine della piega entodermica con cui il 1.° segmento toracico si addossa alla parte posteriore del capo.

» 20-22. *Urothoe irrostrata.* Tagli trasversi del capo ingr. $^{107}/_{1}$ 42, 94

Fig. 20. Taglio poco dietro dell' inserzione delle antenne posteriori: — *go* gangli ottici; — *lc* lobi cerebroidi; — *o* occhi. 142

Pagine del testo

Fig. 21. Taglio poco avanti del labbro superiore: — *cct* capsula comune pericerebrale di tessuto connettivo 93

» 22. Taglio a livello dell' inserzione del labbro inferiore: — *c* cuore; — *cc* cellule dell' ipoderma, forse glandolari; — *st* stomaco; — *gp* ganglio postesofageo. In 22* una delle cellule ipodermiche glandoliformi. Ingr. $^{300}/_{1}$ 94

Figg. 23, 24. *Haploops tubicola.*

Fig. 23. Taglio del capo poco dietro l' inserzione delle antenne posteriori: — *lc* lobi cerebroidi. Ingr. $^{107}/_{1}$ 93

» 24. Taglio d' uno dei segmenti toracici medii: — *c* cuore; — *p* setto pericardico; — *i* intestino; — *f* tubi epato-pancreatici; — *gl* glandole glutinifere co' rispettivi tubi escretori; — *gt* ganglio toracico. Ingr. $^{107}/_{1}$. 139

Fig. 25. *Niphargus puteanus.* Taglio trasverso del capo a livello del labbro superiore: — *aa* aorta anteriore; — *gll* glandole del labbro superiore; — *or* occhio rudimentale a cui va a finire il nervo ottico; — *m* fasci del muscolo adduttore-rotatore della mandibola. Ingr. $^{71}/_{1}$. 93, 108, 140

» 26. *Microdeutopus gryllotalpa.* Spine delle pieghe anteriori dello stomaco o cardiache. Ingr. $^{550}/_{1}$. . 121

» 27. *Orchestia Deshayesii.* Una cellula glandolare salivare col suo tubo escretore. Ingr. $^{300}/_{1}$. — In 27* la membrana crivellata da cui comincia il dotto escretore, ingr. $^{1000}/_{1}$. 120

» 28. *Bathyporeia pilosa.* Spine delle pieghe gastriche anteriori. In basso tre pieghe vedute di profilo; in alto una spina veduta dal margine seghettato per mostrare la doppia serie di denti. Ingr. $^{550}/_{1}$ 121

» 28* *Gammarus locusta.* Spine delle pieghe gastriche anteriori 120

» 29. *Ampelisca diadema.* Taglio trasverso delle pieghe esofagee: — *mr* muscoli rotatori delle pieghe cardiache. Ingr. $^{550}/_{1}$. 63, 121, 124

Figg. 30, 31. *Corophium acherusicum* ♀.

Fig. 30. Taglio del 3.° segmento toracico: — *c* cuore; — *p* setto pericardico; — *ov* ovario; — *st* stomaco; — *f* tubi epato-pancreatici; — *gt* ganglio toracico. Ingr. $^{107}/_{1}$. . . 142, 162

» 31. Taglio trasverso dell' intestino retto che fa vedere la piega del lato dorsale (*d*). Nel lato ventrale (*v*) non v' è piega di sorta. Ingr. $^{390}/_{1}$. 132

Tavola 48.

Anatomia. — Organi Riproduttori e Circolatori.

Figg. 1-3. *Gammarus pungens.*

Fig. 1. Filamenti spermatici maturi osservati in una stilla d' acqua dolce, senza l' aggiunzione di nessuna altra sostanza. Il flagello protoplasmatico è lungo e sottile. Ingr. $^{1000}/_{1}$. 160

» 2 e 3. Varie forme di filamenti spermatici immaturi ingr. $^{1000}/_{1}$. 160

» 4, 5. *Urothoe irrostrata.*

Fig. 4. Maschio veduto dal dorso: — *lc* lobi cerebroidi; — *st* stomaco; — *im* intestino medio; — *ip* intestino posteriore; — *cp* ciechi posteriori; — *cep* ciechi epato-pancreatici; — *gls* glandola spermatica; — *d* condotto eiaculatore. Ingr. $^{30}/_{1}$ 93, 158

» 5. Glandola spermatica e condotto eiaculatore: — *m* parte della glandola spermatica, dove gli elementi sono meno evidenti. Ingr. $^{100}/_{1}$. 158

» 6, 7. *Leucothoe spinicarpa.*

Fig. 6. Apparecchio riproduttore femminile, e parte dell' apparecchio digerente: — *ov, ov'* ovario; — *ov* uova quasi mature; — *ov'* uova giovani; — *ovd* ovidutti. Ingr. $^{20}/_{1}$. . . . 162

» 7. Apparecchio riproduttore maschile di un lato: — *gls* glandola spermatica; — *ss* serbatoio spermatico; — *d* condotto eiaculatore. Ingr. $^{35}/_{1}$. 158

Pagine del testo

Fig. 8. *Microdeutopus gryllotalpa.* Apparecchio maschile d' un lato: — *cs* cellule spermatiche poco mature; — *c's'* cellule spermatiche più mature; — *cgl* cellule probabilmente glandolari. Ingr. $^{60}/_{1}$ 158

Figg. 9-18. *Orchestia Deshayesii.*

Fig. 9. Apparecchio maschile d' un lato d' un giovane: — *glo* porzione della glandola sessuale che produce le uova; — *gls* porzione che produce lo sperma. Ingr. $^{15}/_{1}$. 159

» 10. Lo stesso in un altro individuo, e veduto con lente più forte: — *a, b, c* fasci di filamenti spermatici. Ingr. $^{15}/_{1}$. 159

» 11. Parte anteriore della figura precedente veduta con lente di maggiore forza. Ingr. $^{60}/_{1}$. 159

» 12. Uovo della parte anteriore dell' apparecchio maschile, che mostra i segni di degenerazione del nucleo. Ingr. $^{500}/_{1}$. (Debbo questo disegno alla cortesia del D.r F. Sanfelice). 159

» 13. Parte della parete del testicolo e del suo contenuto: — *c' s'* cellule spermatiche presso a maturità; — *sp* spermatozoi giovani; — *cgl* cellule probabilmente glandolari. Ingr. $^{550}/_{1}$ 159

» 14. *cgl* Tre cellule glandolari della parete suddetta vista dalla superficie interna. Ingr. $^{550}/_{1}$ 159

» 15. Una femmina aperta dal dorso. Gli ovari (*ov*) sono respinti su' lati; il connettivo glandoliforme (*cgl*) è molto sviluppato in forma di due masse irregolari laterali; — *cgv* catena gangliare ventrale. Ingr. $^{12}/_{1}$ 79, 81

» 16. Taglio trasverso d' una femmina, in cui il connettivo glandoliforme è molto sviluppato; — *cgle* corpi glandoliformi esterni; — *cgli* corpi glandoliformi interni; — *rc, rc'* rete di connettivo intraorganico che circonda il cuore (*c*), e sta fra gli ovari; — *stmd* stomodeo che si avanza nella cavità dell' intestino medio (*im*); — *gt* sezione di un ganglio toracico; — *p* pericardio; — *sp* seno o lacuna dorsale; — *sv* seno o lacuna ventrale. Ingr. $^{42}/_{1}$. 79, 162

» 17. Cellula del connettivo glandoliforme, con protoplasma reticolato. Ingr. $^{200}/_{1}$. 80

» 18. Ovario come resta quasi svuotato dopo il parto: — *a* uovo quasi maturo rimasto dentro dell' ovario, e probabilmente destinato a dissolversi; — *b* uova giovani; — *ovd* ovidutto. Ingr. $^{15}/_{1}$. 162

Fig. 19. *Ampelisca diadema.* Un individuo diviso da un taglio sagittale ed esaminato dal lato interno (disegno semischematico, destinato a rendere più evidenti la forma ed i rapporti dei varii organi): — *gc* lobo cerebroide; — *go* ganglio ottico; — *ga*[1] ganglio antennale anteriore; — *ga*[2] ganglio antennale posteriore; — *cgv* catena gangliare ventrale; — *md* superficie a raspa del tubercolo molare della mandibola; — *pc* piega cardiaca; — *pglm* piega gastrica laterale media; — *stmd* prolungamento dello stomodeo nell' interno dell' intestino medio (*im*); — *fcp* fondo cieco pilorico; — *c* cuore, che si prolunga nelle due aorte: anteriore (*aa*) e posteriore (*ap*); — *p* setto pericardico; — *sv* seno ventrale; — *sp* seno pericardico; — *gls* glandola spermatica; — *ss* serbatoio spermatico; — *d* condotto eiaculatore.

» 20. *Vibilia Jeangerardii.* Parte del dermascheletro degli archi ventrali. Si noti la differenza fra gl' inspessimenti (*x*) del 6.° e 7.° segmento toracico (T^{VI}, T^{VII}) e quello del 1.° segmento addominale (A^{I}), nonchè la posizione dei due orificii genitali maschili (*a*); — *y* parte non inspessita del dermascheletro. Ingr. $^{24}/_{1}$ 38, 159

» 21. *Leucothoe spinicarpa.* Estremità distale di un ovidutto (*ovd*) chiuso da un zaffo di sostanza coagulata (*z*): — *m* muscoli latero-dorsali del torace. Ingr. $^{35}/_{1}$ 163

Figg. 22, 23. *Orchestia Deshayesii.*

» 22. Dermascheletro del 7.° segmento toracico veduto di fronte: — *ad* arco dorsale; — *av* arco ventrale; — *d* condotto eiaculatore; — *p* prolungamenti tubolari del dermascheletro che portano l' estremità dei deferenti e somigliano ad organi copulatori. Ingr. $^{8}/_{1}$. 38, 159

» 23. Parte del dermascheletro ventrale del 6.° e 7.° segmento del torace. Le lettere come nelle Figg. 20 e 22. Ingr. $^{45}/_{1}$ 38, 159

Pagine del testo

Fig. 24. *Vibilia Jeangerardii.* Parte del cuore che fa vedere le fibre muscolari avvolte a spirale. Ingr. $^{100}/_{1}$. 138

» 25. *Ampelisca brevicornis.* Taglio trasverso del cuore: — *gs* globuli sanguigni; — *tr* trabecole connettivali. Ingr. $^{300}/_{1}$ 138

Figg. 26-28. *Atylus Swammerdamii.* Disegni di parte della superficie esterna del cuore (come si vede in un giovane vivente), presso agli orificii valvolari: — *sfm* sfinteri muscolari. La Fig. 26 è ingr. $^{300}/_{1}$; le Figg. 27 e 28 $^{550}/_{1}$ 139

» 29-31. *Niphargus puteanus.*

Fig. 29. Correnti circolatorie sanguigne in un epimero (le frecce indicano la direzione delle correnti): — *x* corrente media discendente; — *y* una delle correnti laterali. Ingr. $^{16}/_{1}$. 145

» 30. Correnti circolatorie sanguigne in una branchia: — *a* corrente discendente; — *b* corrente ascendente; — *c* una delle correnti trasversali; — *s* chiazze corrispondenti ai punti dove le cellule ipodermiche dei due foglietti si saldano insieme per formare i sepimenti. Ingr. $^{25}/_{1}$ 145

» 31. Globuli sanguigni veduti allo stato vivente. Ingr. $^{550}/_{1}$ 144

Tavola 49.

Sviluppo. — Segmentazione dell' Uovo. Forme esterne dell' Embrione rinchiuso nel guscio.

Tutte le figure si riferiscono all' *Orchestia Deshayesi.* Le figure 1-6 rappresentano uova viventi; le altre sono prese da uova scottate con la soluzione bollente di sublimato corrosivo.

Fig. 1. Stadio della segmentazione in 2 blastomeri. Ingr. $^{100}/_{1}$ 175, 176

» 2. » » 4 » Ingr. $^{100}/_{1}$ 175, 176

» 3. » » 8 » Ingr. $^{100}/_{1}$. I micromeri sono rivolti verso l' osservatore. Tre di essi mostrano, al pari dei macromeri, due nuclei che accennano alla segmentazione ulteriore mediante un solco longitudinale 176

» 4. La segmentazione è giunta a dare 6 micromeri ben distinti e 6 macromeri, di cui qualcuno ha due nuclei sovrapposti, corrispondenti ai due blastomeri che saranno separati dal successivo solco parallelo all' equatore dell' uovo. Ingr. $^{100}/_{1}$ 176, 178

» 5. Morula (forse non interamente normale), costituita tutta di micromeri. In *ag* i micromeri si vanno addensando per dare origine al primo abbozzo nervoso gangliare. Ingr. $^{100}/_{1}$. 178, 179

» 6. La maggior parte dell' uovo è costituita da macromeri, mentre i micromeri si sono moltiplicati rigogliosamente in *ag* per formare l' abbozzo gangliare nervoso che ha l' aspetto di una piastra bianchiccia. Questa è la forma che si trova più comunemente come principio dell' abbozzo degli organi. Ingr. $^{100}/_{1}$ 179, 180

» 7. Differenziamento della piastra germinativa. Apparizione dei gangli ottici (*go*), dei gangli per le antenne anteriori (ga^1) e per le antenne posteriori (ga^2). L' organo dorsale *od* si è pure formato ma in posizione eccentrica. Il telson (*t*) è appena accennato. Ingr. $^{120}/_{1}$. 183

» 8. Stadio successivo al precedente. Il telson è meglio sviluppato. 183

» 9. L' abbozzo degli organi si è esteso a quasi tutta la superficie di un emisfero, e mostra distinte le tre paia di gangli delle due figure precedenti, insieme a due altre paia, cioè a quelli delle mandibole (*gmd*) e dei piedi codali. A destra ed a sinistra degli abbozzi nervosi cominciano a comparire gli abbozzi delle antenne e delle mandibole. Fra la parte cefalica (terminata dall' abbozzo delle mandibole e dei gangli corrispondenti) e la codale (accennata assai meno chiaramente della cefalica) si vede un solco che è indizio di poca proliferazione cellulare in quella parte dell' uovo. Ingr. $^{120}/_{1}$ . . . 182

Pagine del testo

Fig. 10. L' asse longitudinale dell' abbozzo degli organi si distende per oltre un semicircolo meridiano. In *oa* è l' abbozzo degli occhi e delle antenne che è ancora poco distinto, mentre i gangli corrispondenti si vanno riunendo nella linea mediana: — *pt-pa* abbozzo dei piedi toracici e dei piedi addominali; — *i* solco fra la parte cefalica dell' abbozzo embrionale e la parte toracica. Ingr. $^{90}/_{1}$ 182

» 11. Lo stesso embrione della figura precedente veduto dalla metà posteriore in seguito di semirotazione dell' uovo. Il telson è molto largo ed evidente. Ingr. $^{90}/_{1}$ 182

» 12. Lo stesso embrione della Fig. 10 veduto di lato per mostrare i suoi limiti laterali. Ingr. $^{90}/_{1}$. 182

» 13. Superficie ventrale del capo di un abbozzo embrionale in cui è piuttosto progredito il differenziamento delle varie appendici e dei corrispondenti ganglii. Ingr. $^{90}/_{1}$ 182

» 14. Estremità posteriore dell' abbozzo della figura precedente. Il torace e l' addome sono ancora non differenziati l' uno dall' altro, ed insieme sono rappresentati da una larga fascia in cui molti solchi sottili e vicini accennano alla divisione in segmenti. Ingr. $^{90}/_{1}$ . . 182

» 15. L' abbozzo embrionale, veduto dalla superficie ventrale del capo, presenta ben distinte tutte le appendici e i relativi gangli: — *ls* labbro superiore; — *li* pieghe laterali dello stomodeo; — *ip* piega inferiore dello stomodeo (cf. Tav. 55, Figg. 6, 8, 13 ecc.); — *cm* abbozzi dei paragnati; — *go* gangli ottici; — ga^1 gangli per le antenne anteriori; — ga^2 gangli per le antenne posteriori; — *gmd* gangli per le mandibole; — gms^1 gangli per le mascelle anteriori; — gms^2 gangli per le mascelle posteriori; — *gpm* gangli per i piedi mascellari. Ingr. $^{80}/_{1}$ 185

» 16. Lo stesso embrione della figura precedente veduto dalla superficie ventrale del torace, dell' addome e della coda. Ingr. $^{80}/_{1}$ 185, 191

» 17. Lo stesso embrione della Fig. 15 veduto di lato per mostrare la sua curvatura sul dorso, per cui la superficie ventrale riesce convessa. Fra lo stadio rappresentato dalle Figg. 15-17 e quello delle Figg. 13-14 manca una forma di passaggio, che è invece disegnata nella Fig. 6 della Tav. 50 185

» 18. Stadio in cui, cominciando a diminuire la curvatura convessa della superficie ventrale del capo e del torace, le due serie parallele di gangli nervosi e le loro appendici si allontanano l' una dall' altra in guisa da incurvarsi come due parentesi ( ), che abbiano le loro concavità rivolte l' una contro l' altra. Ingr. $^{80}/_{1}$ 185, 189, 191

» 19. L' embrione precedente veduto di lato. Si noti la forma ad S della linea laterale secondo cui sono inserite le singole appendici, così che quelle del capo riescono su d' una linea curva con la convessità rivolta alla periferia dell' uovo. Ingr. $^{80}/_{1}$ 186, 187

» 20. Stadio del massimo incurvamento in fuori delle due serie di gangli ed appendici. Ingr. $^{80}/_{1}$. 185, 186, 189

» 21. Lo stesso abbozzo della figura precedente veduto di lato 185, 187, 190

» 22. L' embrione incurvato definitivamente sul ventre, veduto dalla superficie ventrale. Nel fondo della superficie ventrale del torace e del capo si vede la duplice catena gangliare. L' inserzione dei piedi mascellari è fortemente allontanata dalla linea secondo cui sono inserite le appendici toraciche; nondimeno i due abbozzi dei piedi mascellari sono ancora fra loro molto distanti. Ingr. $^{70}/_{1}$. 186, 189

» 23. Lo stesso embrione veduto di lato. Ingr. $^{70}/_{1}$ 186, 187, 190

» 24. Embrione presso a schiudere dal guscio. I due abbozzi dei piedi mascellari sono saldati sulla linea mediana; il 7.° articolo dei piedi toracici comincia a diventare unguiforme. Ingr. $^{60}/_{1}$. 186, 187

Tavola 50.

Sviluppo. — Abbozzo del Sistema Nervoso e delle Appendici. Foglietti embrionali.

Pagine del testo

Fig. 1. *Gammarus pungens.* Maschio e femmina nell' atto della fecondazione. Ingr. $^{6}/_{1}$ 279

» 2. *Orchestia Deshayesii.* Femmina rovesciata sul dorso per mostrare la tasca incubatrice ripiena d' uova: — *br* branchie; — *lm* lamine marsupiali. Ingr. $^{7}/_{1}$ 284

Figg. 3, 4. *Gammarus pungens.*

Fig. 3. La lamina marsupiale di uno dei piedi toracici del 5.° paio, insieme a parte della parete ventrale vicina e ad un pezzo dell' ovidutto. Queste parti sono state staccate da una femmina poco dopo la fecondazione, e mentre che durava ancora il parto delle uova: una certa massa di sperma (*m, sp*) è ancora aderente sulla lamina marsupiale (*lm*). Le uova già uscite sono raggruppate in un cumulo piriforme (*o*), avvolto nella massa gelatinosa, che continua a gemere dall' apertura esterna (*v*) dell' ovidutto (*ovd*). Del resto anche in questo stadio l' apertura stessa non è beante, perchè tutta occupata dalla massa gelatinosa. È sempre, nondimeno, chiara la cornice chitinosa (*c, ch*). Ingr. $^{20}/_{1}$ 173, 280

» 4. Uno dei piedi toracici del 5.° paio di una femmina uccisa con la soluzione di sublimato alcuni minuti dopo che si vedeva già attraverso degli epimeri una massa bruna sotto del ventre: — *o, o'* le due masse di uova uscite dai due ovidutti e ravvicinate sulla linea mediana fino a toccarsi insieme, per costituire poi più tardi una massa unica. La massa *o* aderisce ancora col suo peduncolo alla membrana timpaniforme che ha ormai suggellata di nuovo l' apertura (*v*) dell' ovidutto. In quest' ultimo sono contenute ancora due nova, che non sono state espulse. Ingr. $^{200}/_{1}$ 281

» 5-26. *Orchestia Deshayesii.* Tutte le figure da 6 a 16 sono prese da croste distaccate da uova in cui l' embrione era a diverso grado di sviluppo.

Fig. 5. Un gruppo di quattro uova avvolte ancora nella massa gelatinosa. Ingr. $^{45}/_{1}$ . . . 173, 280

» 6. Abbozzo delle appendici e dei gangli nervosi corrispondenti, preso da un embrione che si trovava in uno stadio di sviluppo intermedio fra quello rappresentato nelle Figg. 13, 14 della Tav. 49 e quello che è disegnato nelle Figg. 15-17 della stessa Tavola. L' abbozzo è supposto tutto disteso. Ingr. $^{80}/_{1}$ 187

» 6*. Parte anteriore dell' abbozzo della figura precedente, alquanto più ingrandito. La sporgenza delle appendici è appena sensibile; l' invaginazione dello stomodeo non è ancora stabilita, ma si capisce che avverrà nello spazio *stmd.* In *q* si vede un inspessimento anteriore dello stomodeo; — in *go* sono i gangli ottici. Ingr. $^{180}/_{1}$ 187

» 7. Crosta distaccata da un uovo in cui l' embrione si trovava ad uno stadio di sviluppo alquanto più progredito che in quello rappresentato dalla figura precedente. Compariscono due sporgenze laterali (*x*) dello stomodeo primitivo, e v' è pure un accenno all' inspessimento posteriore (*s*). Ingr. $^{160}/_{1}$ 187

» 8. Nello stomodeo le due eminenze laterali (*x*) sono divenute più distinte; e il margine anteriore è determinato da un arco preciso. Ingr. $^{160}/_{1}$ 187

» 9. Parte della crosta suddetta guardata dalla superficie distaccata dall' uovo, per mostrare la massa commessurale di cellule che unisce insieme in questo stadio i due gangli ottici primitivi e i gangli delle antenne posteriori, ma non quelli delle antenne anteriori, nè i gangli per le mandibole. Ingr. $^{150}/_{1}$ 187

» 10. Crosta veduta dall' esterno. Lo stomodeo ha acquistato precisione anche nel margine posteriore (*s*). Ingr. $^{120}/_{1}$ 187

Pagine del testo

Fig. 11. Comincia la formazione del labbro superiore *q* (*ls*). Ingr. $^{120}/_{1}$ 187

» 12. Il labbro superiore presenta una divisione nella sua parte anteriore. Cominciano a spuntare alla base delle mandibole gli abbozzi del labbro inferiore. Ingr. $^{120}/_{1}$ 187

» 13. Un' altra crosta presa da un uovo in cui l' embrione si trovava in uno stadio di sviluppo presso a poco eguale a quello della figura precedente. Il labbro superiore è stato distaccato, così che si vede tutta l' invaginazione dello stomodeo. Ingr. $^{120}/_{1}$. 187

» 14. Stadio corrispondente alla Fig. 18 della Tav. 49. Il labbro superiore, bifido, copre tutta la bocca. Le bozze del labbro inferiore sono già molto sviluppate ed avvicinate sulla linea mediana. Tra i gangli dei due lati si sono stabilite le commessure trasversali. Ingr. $^{80}/_{1}$ 187, 189

» 15. Stadio corrispondente alla Fig. 20 della Tav. 49. Distaccato il labbro superiore, si vede il fondo dello stomodeo. I gangli mandibolari e mascellari sono molto avvicinati fra loro; alquanto più lontani quelli dei piedi mascellari. I gangli dei piedi toracici si sono invece molto allontanati quelli di un lato da quelli dell' altro, sì che le commessure trasversali sono molto lunghe. Si vedono ancora le origini dei nervi (*n*) che vanno nelle singole appendici. Ingr. $^{80}/_{1}$ 187, 189

» 16. Crosta distaccata dall' estremità anteriore di un embrione già ripiegato sul ventre e quasi corrispondente allo stadio disegnato nella Fig. 22 della Tav. 49. La superficie rivolta all' osservatore è quella che aderiva al resto dell' uovo. Vi si vedono le due metà laterali del sistema nervoso centrale ancora distinte nelle singole loro parti, ma già molto ravvicinate sulla linea media per formare il cervello e il ganglio retroesofageo; — *stmd* la borsa della invaginazione dello stomodeo sporgente verso il vitello. Attraverso la borsa si vede trasparire il labbro superiore bifido; — *tc* cellule connettivali sparse. Ingr. $^{180}/_{1}$. 206, 215, 216

» 17. Estremità posteriore dell' embrione dello stesso stadio della figura precedente: — *prctd* invaginazione dell' intestino posteriore. Ingr. $^{140}/_{1}$. 192

Figg. 18, 19. Intestino medio e sue estroflessioni di due embrioni in diverso stadio di sviluppo corrispondenti un poco prima e un poco dopo a quello rappresentato nella Fig. 24 della Tav. 49. Le preparazioni si sono ottenute distaccando con gli aghi (ciò che in questo stadio succede relativamente con molta facilità) la pelle e tutti i suoi annessi, insieme al sistema nervoso ed ai muscoli. Nella Fig. 18 le estroflessioni epatiche (*cep*) sono appena abbozzate; invece nella Fig. 19 le appendici sono lunghe quasi quanto l' intestino (*im*). Si notino, su quest' ultimo, le tre depressioni della superficie anteriore (*i stmd*), dorsale (*i gld*) e posteriore (*i prctd*) corrispondenti all' invaginazione dello stomodeo, della glandola dorsale e dell' intestino posteriore. Ingr. $^{70}/_{1}$. . . . 220, 221

» 20, 21. Taglio di un uovo nello stadio rappresentato dalla Fig. 6 della Tav. 49, in cui la piastra embrionale, o abbozzo generale (*ag*), appare sotto forma di disco, ma non è ancora differenziata, ossia non mostra ancora traccia di eminenze. La Fig. 21 è quella di un taglio eseguito attraverso la piastra secondo un meridiano dell' uovo, e quindi passante pel centro di questo. Nella Fig. 20 invece il taglio è caduto presso il margine della piastra, dove ha incontrato una sola fila di cellule; — *a* cellula corrispondente ad una delle macchie sparse sulla superficie esterna dell' uovo che è disegnato nella Fig. 6 della Tav. 49. Ingr. $^{130}/_{1}$ 194

Fig. 22. Taglio meridiano di un altro uovo, in cui la proliferazione cellulare nella piastra embrionale è più progredita, sicchè vi è un accenno alla costituzione delle bozze comuni per le appendici e per i gangli, come nelle Figg. 7 e 8 della Tav. 49. Ingr. $^{130}/_{1}$. 194

Figg. 23-26. Sezioni d' un uovo in cui la piastra era differenziata, e si presentava dell' aspetto che è disegnato nelle Figg. 10-12 della Tav. 49: — *a* cellule come nella Fig. 20; — *me* merociti; — *mi* micromeri; — *cut* cuticola embrionale; — *prf* protoplasma

Pagine del testo

formativo che rimane imprigionato fra le zolle del vitello nutritivo. Nella Fig. 23 il taglio è passato attraverso la glandola dorsale *gld*, la quale è ancora alquanto laterale. Il taglio della Fig. 26 è caduto secondo la linea mediana antero-posteriore dell' abbozzo embrionale. Le altre due Figg. (24 e 25) corrispondono a tagli che vanno per direzioni intermedie a quelle delle Figg. 23 e 26. Ingr. $^{130}/_{1}$. 195

Tavola 51.

Sviluppo. — Foglietti embrionali. Organogenia.

Tutte le figure si riferiscono all' *Orchestia Deshayesii.*

Figg. 1-3. Tagli di un uovo, in cui lo sviluppo dell' embrione era giunto circa allo stadio rappresentato nelle Figg. 13 e 14 della Tav. 49. L' ectoderma (*ect*) è abbastanza differenziato sotto forma di cellule depresse; ma il resto della massa proliferata (*y*) consta di cellule ancora allo stato indifferente. Le ineguaglianze del contorno, che si vedono in vari punti, corrispondono agli abbozzi delle appendici esterne. Si noti il distacco dell' ecto-mesoderma già proliferato dallo strato interno del protoplasma formativo (*prf*) che limita il vitello nutritivo, e costituirà la futura parete dell' intestino medio; — *gl* glandola dorsale già ben distinta nei suoi elementi. Ingr. $^{130}/_{1}$. 195

» 4-11. Sezioni frontali dell' estremità anteriore di un embrione nello stadio rappresentato dalla Fig. 20 della Tav. 49. È già costituito un vero epitelio dell' intestino medio (*ep im*), e sono bene sviluppati gl' inspessimenti corrispondenti nei gangli ottici. Nelle cavità intermedie si nota la presenza di varie cellule connettivali migranti e attaccate qui e là co' loro estremi. Nella Fig. 6 a destra è un gruppo di cellule (*c o*) che pare accenni ad un principio d' invaginazione. Nelle Figg. 8-10 i due gangli ottici sono fusi sulla linea mediana. Nella Fig. 11 è il principio dello stomodeo (*stmd*), le antenne anteriori (*a'*) e i corrispondenti gangli (*ga'*). — *ct* Cellule connettivali. Ingr. $^{300}/_{1}$. 195

» 12-14. Sezioni frontali del ganglio ottico primitivo di un embrione che si trovava nello stadio di sviluppo corrispondente a quello disegnato nella Fig. 23 della Tav. 49: — *go* ganglio ottico primitivo; — *sc* scissura che si approfonda nell' organo; — *tc* cellule connettivali migranti; — *ect* ectoderma; — *ep. im* epitelio che limita l' intestino medio. Ingr. $^{550}/_{1}$ 207, 212

» 15-20. Sezioni trasversali del capo di un altro embrione che si trovava poco più avanti dello stadio della figura precedente. Queste sezioni sono fatte a diversa altezza, ma tutte attraversano lo stomodeo. 207, 215

Figg. 15, 16. Sezioni a livello del labbro superiore e delle antenne anteriori: — *cg* cellule giganti dei gangli ottici primitivi. Ingr. $^{300}/_{1}$.

» 17, 18. Sezioni a livello delle antenne posteriori (a^2): — ga^2 ganglio delle antenne posteriori; — *stmd* stomodeo. Ingr. $^{300}/_{1}$ . . . . . .

» 19, 20. Sezioni a livello delle mandibole e del labbro inferiore (*li*): — *gmd* i gangli mandibolari già riuniti da una commessura trasversale. Ingr. $^{300}/_{1}$.

Fig. 21. Parte latero-dorsale di una sezione trasversa di un giovane embrione che si trovava nello stadio rappresentato dalla Fig. 20 della Tav. 49. La figura è destinata a mostrare l' origine dell' entoderma per delaminazione e propriamente la maniera come le cellule ecto-mesodermiche (*ect-mes*), proliferate dall' ectoderma (*ect*), si separano successivamente dal protoplasma formativo (*prf*) che tiene imprigionato fra le sue

Pagine del testo

maglie il vitello nutritivo (*vn*). In alcuni punti le cellule sono già distaccate; in altri (*a*, *a'*) si vedono ancora delle briglie protoplasmatiche che uniscono insieme le cellule dell'ecto-mesoderma col futuro entoderma. Ingr. $^{550}/_{1}$ 197

Figg. 22, 23. Sezione trasversale dell'addome di un embrione dello stadio disegnato nella Fig. 22 della Tav. 49.

Fig. 22. Sezione trasversale dell'addome intero, che dimostra le abbondanti masse connettivali (*tc*) che si trovano in questa regione ai lati del corpo. A sinistra nella massa si vede una lacuna che è parte della cavità del corpo originata da scissione; — *y* è la sezione di quella striscia cellulare formata di grossi elementi, che corre lungo il mezzo del dorso degli embrioni che si trovano in questo stadio; — *x* grosse cellule cilindroidi dell'ectoderma, che si uniscono alle grosse cellule dell'entoderma mediante speciali prolungamenti, che possono dimostrare l'origine delle cellule dei due strati da uno strato comune (ma potrebbero ben essere di formazione posteriore alle cellule stesse, come le briglie che uniscono le cellule ectodermiche delle due pareti delle branchie od altre sottili pieghe della pelle; cf. Tav. 54, Fig. 24). Ingr. $^{300}/_{1}$ 220

» 23. La parte corrispondente alla striscia cellulare dorsale veduta con lente di maggiore forza ingranditiva. Ingr. $^{550}/_{1}$ 220

Figg. 24-29. Sezioni trasverse della coda di un embrione corrispondente alla Fig. 24 della Tav. 49. Dimostrano che le masse gangliari (*gc*) giungono fino all'estremo della coda: — *prctd* intestino posteriore circondato ai lati da due masse cellulari (*ct.m*), da cui deriveranno i muscoli circolari del retto e la membrana propria connettivale. Ingr. $^{130}/_{1}$. 210, 218

Tavola 52.

Sviluppo. — Organogenia.

Figg. 1-24. *Orchestia Deshayesii.*

Fig. 1. Sezione mediana antero-posteriore di un embrione corrispondente allo stadio disegnato nella Fig. 23 della Tav. 49: — *stmd* invaginazione dell'intestino anteriore; — *prctd* invaginazione dell'intestino posteriore; — *go* ganglio ottico primitivo; — *gmd*, *gms*^{1}, *gms*^{2}, *gpm*, *gpt*, *gpa*, *gpc*, gangli delle mandibole, delle mascelle anteriori e posteriori, dei piedi mascellari, dei piedi toracici, dei piedi addominali, e dei piedi codali; — *x* cellule entodermiche della striscia cellulare dorsale; — *y* cellule ectodermiche; — *gld* glandola dorsale; — *eim* epitelio dell'intestino medio già differenziato e distaccato. Ingr. $^{130}/_{1}$ 201, 207, 216

» 2. Parte di una sezione sagittale laterale dello stesso embrione, destinata a mostrare la costituzione intima della parte anteriore della catena gangliare, e i rapporti di essa con lo stomodeo. Ingr. $^{300}/_{1}$ 207, 217

» 3. Sezione trasversale del torace di un embrione nello stadio rappresentato dalla Fig. 24 della Tav. 49: — (*gt*) ganglio della catena toracica; — *npt* nervi dei piedi toracici; — *m* muscoli; — *y* striscia cellulare del dorso non differenziata. Ingr. $^{200}/_{1}$. 211

» 4. Parte di una sezione trasversale di un embrione corrispondente alla Fig. 22 della Tav. 49: — *x* cellule aggruppate entodermiche della striscia cellulare dorsale; — *ec* ectoderma dorsale. Ingr. $^{550}/_{1}$ 186, 189

» 5. Parte di sezione trasversale del capo di un altro embrione che si trovava nello stesso stadio che quello della figura precedente: — *stmd* stomodeo che adagia una delle sue pareti (α) contro l'epitelio dell'intestino medio (β); — *eim* epitelio bolloso dell'intestino medio; — *x* sepimento fra le cavità dell'intestino anteriore ed il posteriore che va sparendo. (Cf. gli schemi nelle Figg. 27-30.) Ingr. $^{300}/_{1}$ 217

Pagine del testo

Fig. 6. Glandola dorsale, le cui cellule sono piriformi, ed hanno un collo molto lungo e assottigliato: — *v* vacuoli nel corpo delle cellule glandolari; — *cut* cuticola che forma una cupola sopra degli sbocchi delle glandole. Ingr. $^{300}/_{1}$ 201

» 7. Glandola dorsale semiatrofizzata di un giovane presso a schiudere dal guscio: — *a* cellule basse del sacco; — *b* cellule munite ancora di un lungo collo. L' ectoderma (*ect*) forma due pieghe ($p^1 p^2$) prima di approfondarsi nel sacco glandolare; — *c* parte dorsale della parete cardiaca. Ingr. $^{300}/_{1}$ 202

» 8. Sezione frontale di un embrione che corrisponde a quello che è rappresentato nella Fig. 22 della Tav. 49 (la sezione è capitata in guisa da toglier via quasi soltanto la pelle del ventre, mettendo allo scoperto il sistema nervoso centrale, con i vari suoi gangli che circondano lo stomodeo): — ga^1 gangli delle antenne anteriori; — ga^2 gangli delle antenne posteriori; — *gmd* gangli mandibolari; — gms^1 e gms^2 gangli mascellari. Ingr. $^{100}/_{1}$. 208

» 9. Sistema nervoso centrale di un embrione che si trovava nello stadio della Fig. 24 della Tav. 49 (preparato ottenuto per dissezione): — *go* ganglio ottico primitivo da cui deriveranno i lobi cerebroidi da una parte, e il ganglio ottico definitivo (go^1) dall' altra; — ga^1, ga^2, *gmd*, *stmd'* ganglio, rispettivamente, per le antenne anteriori e posteriori, per le mandibole e per le mascelle anteriori; — *stmd* stomodeo. Ingr. $^{100}/_{1}$ . . . 209

» 10. Cervello di un giovane da poco uscito dal guscio: — *lc* lobo cerebroide derivato da ingrossamento dei gangli ottici primitivi (*go* della Fig. precedente); — *go'* ganglio ottico definitivo, seguito dal nervo ottico; — *gr* ganglio retinico. Ingr. $^{100}/_{1}$ . . . 209

Figg. 11-14. Sezioni trasverse del torace di un embrione dello stadio che è rappresentato nella Fig. 24 della Tav. 49. Serve a mostrare specialmente la costituzione del cuore e del diaframma pericardico dalle cellule connettivali sparse in diversi punti della parte dorsale: — *im* intestino medio; — *f* appendici epatiche. Ingr. $^{80}/_{1}$ 206, 224

» 15-16. Parte di sezione trasversa del torace d' un embrione presso a schiudere dall' uovo. Il cuore (*c*) ed il setto pericardico (*p*) sono già formati. L' intestino medio *im* contiene ancora qualche traccia del vitello nutritivo, non ancora interamente digerito. Le cellule parietali delle appendici epatiche sono relativamente molto voluminose, con protoplasma affatto bolloso. Le glandole sessuali *gs* si vanno distaccando dall' epitelio intestinale (*im*) ed epatico (*f*) nella parte anteriore del torace (Fig. 15), e sono già isolate nella parte posteriore (Fig. 16). Ingr. $^{170}/_{1}$. — In 16*, la sezione dell' abbozzo sessuale di un lato della Fig. 16 ingr. $^{550}/_{1}$ 206, 228

Le seguenti Figg. 17-22 rappresentano sezioni di uno stesso individuo giovane appena schiuso dall' uovo.

Fig. 17. Sezione trasversa del capo a livello del labbro superiore (*ls*): — *lc* lobo cerebroide; — *o* occhio in formazione; — *tga* tendine del muscolo grande adduttore-rotatore della mandibola. Ingr. $^{170}/_{1}$. 212

» 18. Sezione trasversale a livello del labbro inferiore (*li*): — *st* stomaco, intorno a cui si vanno formando i muscoli costrittori (*m*); — *mli* due fibre muscolari che danno origine ai muscoli interni del labbro inferiore; — *gmd* ganglio mandibolare; — *tga* tendine del muscolo grande adduttore-rotatore della mandibola. Ingr. $^{170}/_{1}$ 207

» 19. Taglio trasversale a livello dell' inserzione dei piedi mascellari (*pm*): — *ip* ipoderma, con varie briglie che connettono le due pareti della piega sottile; — *gl* cellule ingrandite e trasformate in glandole cutanee; — *st* stomaco, con le sue pieghe gastriche laterali posteriori (*pglp*) e ventrale (*pgv*); — *cep* estremità anteriore dei ciechi epato-pancreatici; — *mtr* muscolo trasverso gastrico in formazione; — *c* cuore; — *p* setto pericardico; — *gpm* ganglio dei piedi mascellari; — *gnpm* ganglio che è sul corso dei nervi dei piedi mascellari. Ingr. $^{170}/_{1}$. 198, 217

Pagine del testo

Fig. 20. Taglio trasversale a livello del primo anello toracico: — *nt* nervi toracici; — *stmd* sezione del prolungamento dello stomodeo nell' interno dell' intestino medio; — *x* sepimento tra la cavità dell' intestino anteriore e quella del medio, dovuto all' accollamento delle due membrane rispettive. (Cf. gli schemi disegnati nelle Figg. 27-30.) Ingr. $^{170}/_{1}$ 198, 218, 222

» 21. Taglio trasversale a livello della glandola dorsale: — *gls* abbozzo delle glandole sessuali; — *ceps* ciechi epato-pancreatici superiori primitivi; — *cepi* ciechi epato-pancreatici inferiori secondari, derivati dai primi (le cellule che contengono le pareti di questi ciechi si fanno notare per la loro costituzione bollosa); — gt^3 ganglii toracici del terzo segmento toracico. Ingr. $^{170}/_{1}$ 201, 222

» 22. Parte anteriore di una sezione sagittale mediana, destinata a mostrare specialmente il rapporto dello stomodeo (*stmd*) coll' intestino medio, e la consecutiva formazione del fondo cieco pilorico (*fcp*). L' adesione della base della glandola dorsale con la parete cardiaca è divenuta maggiore; nondimeno anche in questo stadio si possono distinguere abbastanza chiaramente le due membrane. — *x* Sepimento che divide la cavità dell' intestino medio da quella dell' intestino anteriore; — *y*, *y'* punto di adesione definitivo della parete dell' intestino anteriore al medio. (Cf. gli schemi nelle Figg. 27-30.) Ingr. $^{170}/_{1}$ 202, 223

» 23. Giovane Orchestia della lunghezza di 2 mm. tagliata per mezzo, con un taglio sagittale, e vista dal lato interno. Le lettere come nelle figure precedenti. Ingr. $^{170}/_{1}$ . . . 208

» 24. Intestino medio e posteriore di una giovane Orchestia presso a schiudere. Presenta l' origine dei ciechi posteriori (*cp*) dall' intestino medio (*im*); — *ip* intestino posteriore. Ingr. $^{170}/_{1}$ 223

Fig. 25. *Gammarus pungens* presso a schiudere. L' antenna posteriore è inviluppata nella cuticola (*cut*) della muda che precede la rottura del guscio dell' uovo. Ingr. $^{300}/_{1}$ 199

» 26. *Microdeutopus gryllotalpa*. Ramo esterno di uno dei piedi addominali del terzo paio: — *m* due cellule che si allungano per formare le fibre muscolari. Ingr. $^{170}/_{1}$ 206

Figg. 27-30. Figure schematiche destinate a mostrare i rapporti successivi che prendono lo stomodeo (*ia*) e l' intestino medio (*im*) nei diversi stadi della formazione dell' embrione, nonchè il ripiegamento dello stomodeo per costituire le diverse appendici mediane, cioè la piega gastrica ventrale (*pgv*), e quella (*stmd*) che si prolunga nell' interno dell' intestino medio: — *fcp* fondo cieco pilorico; — *x* sepimento formato dall' adesione della membrana dell' intestino anteriore con quella del medio (cf. Figg. 1 e 2); nella Fig. 29 il sepimento è quasi scomparso dopo di avere aderito, in *y y'*, alla parte anteriore e posteriore della piega gastrica (cf. Figg. 5, 20 e 22). Nella Fig. 30 lo schema corrisponde allo stato, quasi adulto, in cui ogni traccia di sepimento è sparita. 218

Tavola 53.

Anatomia. — Apparecchio digerente.

Fig. 1. *Vibilia Jeangerardii*. Parte anteriore del corpo: — *cg* rigonfiamento che fa il nervo delle antenne anteriori nell' interno del 1.° articolo del flagello; — *fcp* fondo cieco pilorico dell' intestino medio. Ingr. $^{30}/_{1}$ 95, 126

Figg. 2-4. *Orchestia Deshayesii*.

Fig. 2. Maschio aperto dal dorso per mostrare l' apparecchio digerente e il sessuale: — *st* stomaco; — *im* intestino medio, co' suoi annessi, cioè un fondo cieco pilorico (*fcp*), 4

Pagine del testo

ciechi epato-pancreatici (*cep*), e 2 ciechi posteriori (*cp*); — *ip* intestino posteriore; — *gls* glandola spermatica; — *ss* serbatoio spermatico; — *d* condotto eiaculatore. Ingr. $^{13}/_{1}$ 125, 129, 130

Fig. 3. Parte dell' apparecchio digerente dove si vedono i rapporti dei quattro ciechi epato-pancreatici fra loro e con la parte anteriore dell' intestino medio. Ingr. $^{13}/_{1}$ . . . 126

» 4. Apparecchio digerente isolato: — *es* esofago; — *tcg* tessuto connettivo adiposo. Le altre lettere come nella Fig. 2. In ambedue le figure i ciechi posteriori si vedono infarciti di concrezioni calcaree. Ingr. $^{13}/_{1}$ 126, 129

Fig. 5. *Hyale Prevostii.* Tunica muscolare dei tubi epato-pancreatici: — *fc* fibre circolari; — *fa* fibre anastomotiche. Ingr. $^{170}/_{1}$ 127

» 6. *Orchestia Deshayesii.* Intestino anteriore: — *ls* labbro superiore; — *li* labbro inferiore; — *es* esofago; — *pc* piega cardiaca; — *pgv* piega gastrica ventrale; — *pglm* piega gastrica laterale media; — *pglp* piega gastrica laterale posteriore; — *y* piega latero-ventrale; — *mge* muscoli elevatori dello stomaco; — *md* muscoli rotatori delle pieghe cardiache; — *mde* muscoli dilatatori dell' esofago. Ingr. $^{45}/_{1}$ 120, 124

» 7. *Hyale Prevostii.* Pezzo della tunica muscolare di un tubo epato-pancreatico visto a minore ingrandimento di quello della Fig. 5, per dare un' idea dell' aspetto generale. Ingr. $^{45}/_{1}$. 127

» 8. *Orchestia Deshayesii.* Stomaco aperto dalla parte dorsale e disteso su' lati in guisa da fare vedere tutta la superficie interna dell' organo: — *pgvs* piega gastrica ventrale secondaria rivestita di piccole setole; — *y* pieghe gastriche latero-ventrali; — *se, si* setole esterne e setole interne della piega ventrale; — *l* linguetta della piega ventrale. Ingr. $^{45}/_{1}$. 121, 122

» 9. *Corophium acherusicum.* Parte del capo (*K*) e i primi tre anelli del torace (T^{I}-T^{III}) visti dal dorso. Le lettere come nelle figure precedenti. Le frecce indicano la direzione secondo cui si muovono le pieghe cardiache. — *stmd* Stomodeo pendente nella cavità dell' intestino medio. Ingr. $^{70}/_{1}$ 121, 124

» 10. *Ampelisca brevicornis.* Parte dell' intestino medio (*im*) e del posteriore (*ip*): — *cp* ciechi posteriori rudimentali. (Per errore litografico la figura è capovolta.) Ingr. $^{60}/_{1}$ 129

Figg. 11, 12. *Hyale Prevostii.*

Fig. 11. Parte della superficie interna d' un cieco epato-pancreatico, trattato con soluzione osmica, distesa per dimostrare le strisce alterne chiare ed oscure. Ingr. $^{170}/_{1}$ . . . 127

» 12. Pezzo di appendice epato-pancreatica come si vede allo stato vivente dopo che è stata strappata dal corpo dell' animale, ed è divenuta moniliforme per azione delle fibre muscolari circolari. Ingr. $^{45}/_{1}$ 127

» 13, 14. *Orchestia Deshayesii.*

Fig. 13. Superficie laterale e ventrale dell' intestino anteriore diviso con un taglio quasi sagittale. Le lettere come nella Fig. 6. — *is, is'* Invaginazioni secondarie dell' ultima parte dello stomodeo che pende nell' intestino medio. Ingr. $^{45}/_{1}$ 127

» 14. Cresta della superficie interna di un cieco epato-pancreatico, gremita di gocce trasparenti oleose. Ingr. $^{700}/_{1}$ 127

Fig. 15. *Hyale Prevostii.* Taglio trasverso di un' appendice epato-pancreatica: — *rm* tunica muscolare; — *cep* cellule epato-pancreatiche, in talune parti cariche d' una grossa goccia oleosa; — *oc* orlo cuticolare omogeneo che riveste la superficie interna del tubo. Ingr. $^{170}/_{1}$. 132

» 16. *Microdeutopus gryllotalpa.* Parte d' un taglio longitudinale antero-posteriore d' una femmina per mostrare la valvola intestinale: — *im* intestino medio, cellule ordinarie basse; — *epv* cellule allungate; — *x* tratto senza epitelio dell' intestino fra l' intestino medio (*im*) ed il posteriore (*ip*); — *cr* cellule epiteliali ripiegate del retto; — *f* materie alimentari o feci; — *ov* ovario. Ingr. $^{230}/_{1}$ 132

Pagine del testo

Figg. 17, 18. *Hyale Prevostii.*

Fig. 17. Taglio trasverso dell' intestino medio ingr. $^{170}/_{1}$. — In 17* un pezzo dell' intestino suddetto ingr. $^{550}/_{1}$: — *im* epitelio, le cui cellule non presentano limiti distinti, ed hanno nel loro interno parecchie goccioline trasparenti; — *tc* tunica connettivale. Si noti il pieghettamento della parte della tunica che tocca l' epitelio 125

» 18. Taglio trasverso del retto: — *ip* epitelio; — *tm* tunica muscolare. Ingr. $^{170}/_{1}$ . . . 132

Figg. 19-21. *Orchestia Deshayesii.*

Fig. 19. Serie di setoline che si vedono sulla superficie interna della cuticola rettale. Ingr. $^{70}/_{1}$. 132

» 20. Alcune serie delle setole suddette, vedute a maggiore ingrandimento. Ingr. $^{370}/_{1}$ . . 132

» 21. Concrezioni calcaree che si trovano nell' interno dei ciechi intestinali posteriori (cf. Figg. 2 e 4). Ingr. $^{170}/_{1}$. 130

Fig. 22. *Bathyporeia pilosa.* Parte d' un taglio trasverso del torace: — *z* zolle o creste molto sporgenti nell' interno dei ciechi epato-pancreatici (*ccp*), così che sembrano in questo punto libere (le cellule epiteliali del cieco si fanno notare pel loro volume straordinario); — *cgv* catena gangliare ventrale. Ingr. $^{250}/_{1}$ 127

» 23. *Orchestia Deshayesii.* Taglio longitudinale della parete dell' esofago: — *ip* ipoderma con elementi molto allungati; — *mdc* muscoli dilatatori dell' esofago; — *mce* muscoli costrittori. Ingr. $^{550}/_{1}$ 63, 91

» 24. *Gammarus locusta.* Parte posteriore del corpo di un giovane: — *ip* intestino posteriore con le fibre muscolari circolari; — *dr* dilatatori del retto. Ingr. $^{130}/_{1}$ 131

» 25. *Orchestia Deshayesii.* Taglio trasverso dello stomaco chitinoso a livello della piega ventrale (*pv*): — *mtr* muscolo trasverso della piega gastrica ventrale. Le altre lettere come nelle Figg. 2, 8 e 22. Ingr. $^{170}/_{1}$. 122

» 26. *Leucothoe spinicarpa.* Superficie interna ventrale dello stomaco chitinoso: — *fgv* fossette gastriche ventrali. Le altre lettere come nella Fig. 8. Ingr. $^{70}/_{1}$ 123

Tavola 54.

Anatomia. — Branchie. Organi dei Sensi. Organi di Escrezione.

Fig. 1. *Pontoporeia Hoyi.* Il 3.° segmento toracico veduto di fronte, per mostrare la posizione e l' aspetto delle due appendici papilliformi (*ap*) dell' arco ventrale: — *br* branchie; — pt^3 2.° articolo del 3.° paio dei piedi toracici. Ingr. $^{60}/_{1}$ 8

Figg. 2, 3. *Orchestia Deshayesii.*

Fig. 2. La coda vista di lato. Si noti la grande strettezza dell' arco dorsale del secondo segmento codale e la mancanza quasi totale dell' arco dorsale del terzo segmento. Ingr. $^{16}/_{1}$. 11

» 3. Il primo segmento codale veduto dalla superficie ventrale, per mostrare la mancanza di epimeri. Ingr. $^{16}/_{1}$ 11

Fig. 4. *Leucothoe spinicarpa.* Superficie interna d' una metà del 2.° segmento addominale e relativa appendice, insieme a parte dell' appendice del segmento adiacente (il disegno è preso da un taglio sagittale dell' animale): — *ab* articolo basilare rudimentale; — *ep* epimero; — *mai* muscolo adduttore interno del piede addominale, situato nell' interno dell' articolo basilare; — *l* legamento dell' articolazione formato dall' incontro di due gruppi di cellule dell' ipoderma disposti a ventaglio. Ingr. $^{30}/_{1}$ 35, 46

Pagine del testo

Fig. 5. *Ichnopus taurus.* Parte del 2.° segmento addominale e delle relative appendici. Il disegno, preso da un taglio trasverso dell' animale, fa vedere il rapporto che passa fra l' arco ventrale del segmento, l' articolo basilare rudimentale (*ab*) e gli epimeri. — *r* Retinacoli. Ingr. $^{15}/_{1}$. 35, 46

Figg. 4*, 5*. *Niphargus puteanus.* Tagli frontali successivi del capo per mostrare l' occhio rudimentale di un lato: — *ip* ipoderma; — *r* ganglio retinico; — *no* nervo ottico; — *go* ganglio ottico; — *lc* lobi cerebroidi, con le cellule giganti (*cg*) e con le cellule (*nc*) nervose ordinarie della sostanza corticale; — *f* fasci fibrosi della parte midollare dei lobi cerebroidi. Ingr. $^{300}/_{1}$ 96, 108

» 6, 7. *Atylus Swammerdamii.*

Fig. 6. Parte del capo che presenta l' organo frontale *ofr*, involto nella sua capsula connettivale. — *o* Occhio. Ingr. $^{70}/_{1}$ 76

» 7. Organo frontale visto con lenti di maggiore ingrandimento: — *cpo* capsula connettivale; — *ofr* corpo della probabile glandola; — *pri* suo prolungamento inferiore; — *prs* suo prolungamento superiore; — *n, n* nuclei delle cellule che si vedono qui e là distintamente nel corpo glandolare; — *x* nubecola, che corrisponde forse ad un prodotto di secrezione. Ingr. $^{650}/_{1}$ 76

Fig. 8. *Erichthonius difformis.* Bastoncelli ialini cilindroidi presi dalla stessa antenna, ma in vario grado di costituzione e di riproduzione: — *a* bastoncello omogeneo in tutta la sua estensione; — *b* bastoncello che ha il contenuto leggermente turbato nell' interno da varie goccie di sostanza più rifrangente; — *c* bastoncello dove il terzo distale è più sottile del resto, e dipende da riproduzione; — *d* bastoncello in cui si è riprodotta soltanto una piccola punta. Ingr. $^{550}/_{1}$ 58

Figg. 9, 10. *Orchestia Deshayesii.*

Fig. 9. Bastoncelli ialini presi da un adulto: — *a* bastoncello con due gocce rifrangenti, di cui una alla base, e l' altra nel rigonfiamento, in posizione tale da simulare un nucleo cellulare; — *b* bastoncello con una sola goccia. Nei due bastoncelli le punte sono variamente acute e prolungate. Ingr. $^{550}/_{1}$ 58

» 10. Un bastoncello ialino di un giovane tratto dalla tasca incubatrice. Ingr. $^{550}/_{1}$ . . . 58

» 11-13. Branchie appendicolate dei piedi toracici del 5.°, 6.° e 7.° paio di un *Anonyx* (sp.?) preso dal Chierchia sulle coste della Terra del Fuoco: — *br* lamina principale della branchia; — *a* appendice. Ingr. $^{50}/_{1}$ 148

» 14-17. *Atylus Swammerdamii.*

Fig. 14. Parte di un piede toracico medio della femmina: — *br* branchie con piccole eminenze; — *lm* lamina marsupiale, o fotoria. Ingr. $^{70}/_{1}$ 149, 161

» 15. Branchia d' un individuo in cui le lamine secondarie sono poco sviluppate. In questa figura è rappresentata la superficie dove le eminenze sono appena iniziate, mentre invece sono molto evidenti le invaginazioni derivanti dalle estroflessioni dell' altra superficie. Ingr. $^{70}/_{1}$. 149

» 16. La stessa branchia della figura precedente, ma disegnata dall' altra superficie, dove le estroflessioni sono già abbastanza avviate: — *br* lamina principale della branchia; — *ls* lamine o creste secondarie; — *lsr* lamina secondaria rudimentale; — *ir* invaginazione rudimentale; — *i* invaginazione già avanzata. Ingr. $^{70}/_{1}$ 149

» 17. Parte di un piede toracico medio di un individuo adulto, in cui la branchia è divenuta già in forma di penna. Ingr. $^{60}/_{1}$. 149

Fig. 18. *Ichnopus taurus.* Branchia appendicolata. Ingr. $^{40}/_{1}$ 149

» 19. *Niphargus puteanus.* Bastoncelli ialini presi da uno stesso individuo: — *a* bastoncello nano; — *b* bastoncello con un' apertura in cima (*o*), e con vari falsi segmenti (*s'*) in formazione; — *c* bastoncelli con la punta riprodotta (*bn*), con un falso sepimento (*s*) e col principio d' un altro (*s'*). Ingr. $^{550}/_{1}$ 58

Pagine del testo

Fig. 20. *Eusirus cuspidatus.* Peluria presa dalla superficie superiore del telson. Ingr. $^{500}/_{1}$. — Nella Fig. 20* sono rappresentate alcune delle eminenze cuticolari triangolari, come si vedono con lenti di maggiore forza ingranditiva. Ingr. $^{1000}/_{1}$ 52

Figg. 21, 22. *Gammarus pungens.*

Fig. 21. Flagello principale di un giovane: — *su* setole con la punta curvata ad uncino; — *sp* setolina piumata, che si trova costantemente all' estremità del 4.° articolo del flagello; — *bi* bastoncelli ialini con vacuoli. I numeri romani servono ad indicare gli articoli successivi del flagello principale. Ingr. $^{1000}/_{1}$. 51, 58

» 22. Giovane *Gammarus* vivente rappresentato in maniera semischematica, come si vede per trasparenza secondo un piano quasi sagittale: — *c* cuore; — *aa* aorta anteriore che si divide nei suoi tre rami, cioè superiore (*rs*), medio (*rm*) ed inferiore (*ri*); — *ap* aorta posteriore; — *lsc* legamenti sospensori del cuore. Le frecce indicano la direzione delle correnti del sangue: — *x* punto in cui la corrente circolatoria addominale si riflette in alto per diventare poi dorsale; — *sp* seno pericardico; — *sv* seno ventrale; — *fcp* fondo cieco pilorico; — *plc* glandole coxali. Ingr. $^{50}/_{1}$. — Nella Fig. 22* sono disegnate le glandole coxali, come si vedono nei diversi piedi mascellari (*pm*), toracici (pt^1-pt^7), e addominali (pa^1-pa^3), quando l' animale è tenuto per alcuni giorni nell' acqua in cui si sia sparso un po' di polvere di carminio. Ingr. $^{1000}/_{1}$. 73, 138, 144

» 23. Taglio trasverso d' una branchia di un individuo adulto: — *cut* cuticola; — *ip* cellule dell' ipoderma, le quali in taluni punti non si uniscono a quelle del foglietto branchiale opposto e costituiscono così una lacuna (*l*), mentre che in altri si uniscono e formano un sepimento (*s*); — *x* coagulo sanguigno. Ingr. $^{300}/_{1}$. 150

Fig. 24. *Orchestia Deshayesii.* Taglio trasverso d' una branchia. Le lettere come nella figura precedente. Le lacune sono in parte occupate da una rete (*tc*) di tessuto connettivo. Ingr. $^{250}/_{1}$. 150

Figg. 25, 26. *Hyale pontica.*

Fig. 25. Parte del peduncolo e del flagello di un individuo in muda. I numeri romani indicano gli articoli del peduncolo e del flagello così della cuticola rigettata (*cut*) come della nuova antenna (*an*). Ingr. $^{70}/_{1}$ 292

» 26. Un piede toracico del 5.° paio in rigenerazione (*pr*), contenuto ancora nella cuticola (*cut*) del moncone rimasto. Ingr. $^{150}/_{1}$ 292

Fig. 27. *Eusiroides Caesaris.* Rigenerazione di parte di un piede toracico del 5.° paio. Ingr. $^{45}/_{1}$. . . 292

Tavola 55.

Sistematica. — Dulichidi. Icilidi. Corofidi.

Figg. 1-3. *Laetmatophilus tuberculatus.* Pag.

Fig. 1. Una ♀ veduta di lato. — Fig. 2. Uno dei gnatopodi posteriori del ♂. — Fig. 3. Segmenti codali e relative appendici, veduti dalla parte inferiore. — (Copie da Bruzelius, Skandin. Gammar., t. 1, f. 1.) 317

» 4, 5. *Paradulichia typica.*

Fig. 4. Un individuo veduto di lato. — Fig. 5. Estremità posteriore del corpo e relative appendici. — (Copie da Boeck, Skandin. arkt. Amphip., t. 29, f. 8.) 319

» 6-10. *Dulichia tuberculata.*

Fig. 6. Un individuo intero veduto di lato. — Figg. 7-10. Parti boccali ingr. $^{60}/_{1}$. — (La Fig. 6 è copia da G. O. Sars, Norske Nordhavs-Exped., t. 17, f. 6; le Figg. 7-10 sono prese da un individuo proveniente da Tromsö, e dovuto alla cortesia dello Sparre Schneider.) . . . 321

Pag.

Fig. 11. *Dulichia macera.* Uno dei gnatopodi posteriori. — (Copia da G. O. Sars, Norske Nordhavs-Exped., t. 18, f. 2.) 322

» 12. *Dulichia porrecta.* Uno dei gnatopodi posteriori. — (Copia da Boeck, Skandin. arkt. Amphip., t. 29, f. 10.) 322

» 13. *Dulichia hirticornis.* Uno dei gnatopodi posteriori. — (Copia da G. O. Sars, Norske Nordhavs-Exped., t. 18, f. 1.) 323

» 14. *Dulichia nordlandica.* Uno dei gnatopodi posteriori. — (Copia da Boeck, Skandin. arkt. Amphip., t. 29, f. 11.) 324

Figg. 15, 16. *Dulichia spinosissima.*
Fig. 15. Animale veduto dal dorso. — Fig. 16. Uno dei gnatopodi posteriori. — (Copie da Kröyer, Voy. Scandin., t. 22, f. 1.) 324

» 17, 18. *Platophium orientale.*
Fig. 17. Corpo d' un individuo veduto di fianco. — Fig. 18. Parte d' uno dei gnatopodi posteriori del ♂. — (Copie da Stebbing, Rep. Challenger, t. 128 e 129.) 332

» 18* Gnatopodo posteriore d' un *Platophium* della collezione Chierchia proveniente da Hongkong. Ingr. $^{36}/_{1}$.

» 19-24. *Neohela monstrosa.*
Fig. 19. Animale veduto di profilo. — Fig. 20. Mandibola. — Fig. 21. Mascella anteriore. — Fig. 22. Mascella posteriore. — Fig. 23. Piedi mascellari. — Fig. 24. Parte posteriore del corpo e relative appendici. — (Copie da Boeck, Skandin. arkt. Amphip., t. 32, f. 1.) 343

» 25-31. *Icilius ovalis.*
Fig. 25. Una ♀ veduta dal dorso. — Fig. 26. Mandibola. — Fig. 27. Mascella anteriore. — Fig. 28. Piedi mascellari. — Fig. 29. Gnatopodo anteriore. — Fig. 30. Gnatopodo posteriore. — Fig. 31. Coda e relative appendici. — (Copie da Stebbing, Rep. Challenger, t. 133.) 345

» 32-36. *Unciola crenatipalmata.*
Fig. 32. Una ♀ adulta veduta di profilo. — Fig. 33. Flagello accessorio dell' antenna anteriore veduto dalla superficie interna. — Fig. 34. Mandibola. — 35. Mascella anteriore. — Fig. 36. Piedi mascellari; — *x* lobo speciale. — (Copie da Bonnier, Bull. scient. de la France et de la Belgique, vol. 20, t. 12.) 340

» 37-41. *Unciola irrorata.*
Fig. 37. Antenna anteriore. — Fig. 38. Antenna posteriore veduta dalla superficie superiore. — Fig. 38*. Terzo e parte del quarto articolo della stessa appendice veduti dalla superficie inferiore. — Fig. 39. Gnatopodo anteriore. — Fig. 40. Gnatopodo posteriore. — Fig. 40*. Parte della mano dello gnatopodo posteriore maggiormente ingrandita. — Fig. 41. Parte degli ultimi due segmenti codali, con le relative appendici. — Le antenne e i gnatopodi ingr. $^{16}/_{1}$; le Figg. 40* e 41 ingr. $^{60}/_{1}$. — (Da un individuo proveniente dal N. E. America, e dovuto al Rev. Canon A. M. Norman.) 338

» 42-45. *Unciola planipes.*
Fig. 42. Parte del peduncolo e del flagello principale d' un' antenna anteriore per mostrare il flagello accessorio 2-articolato ingr. $^{60}/_{1}$. — Fig. 43. Parte d' uno dei gnatopodi anteriori ingr. $^{60}/_{1}$. — Fig. 44. Parte d' uno dei gnatopodi posteriori ingr. $^{60}/_{1}$. — Fig. 44*. Parte della mano, e unghia ingr. $^{240}/_{1}$. — Fig. 45. Piedi codali posteriori ingr. $^{60}/_{1}$. — (Tutte le figure da una ♀, proveniente dal Northumberland, e dovuta al Norman.) 341

» 46-51. *Cerapus tubularis.*
Fig. 46. Gnatopodo posteriore d'un ♂ adulto. — Fig. 47. Piede toracico del 5.° paio dello stesso individuo. — Figg. 48-50. Piedi addominali (anteriore medio e posteriore) di una ♀. — Fig. 51. Coda e relative appendici di una ♀. — (Copie da S. I. Smith, Trans. Connecticut Acad., vol. 4, t. 2.) 378

Pag.
Fig. 52. *Cerapus crassicornis.* — (Copia da BATE and WESTWOOD, Brit. sess. cy. Crust., vol. 1, p. 469.) 378
Figg. 53-57. *Cerapus Sismithi.*
Fig. 53. Un ♂ veduto di profilo. — Fig. 54. Capo d'un individuo veduto dall'alto, per mostrare il rostro frontale. — Fig. 55. Mandibola. — Fig. 56. Mascella anteriore. — Fig. 57. Coda con le relative appendici. — (Copie da STEBBING, Rep. Challenger, t. 124.) 379
Figg. 58, 59. *Corophium crassicorne.*
Fig. 58. Antenne e capo d'un ♂ veduto di lato. — Fig. 59. Antenna posteriore d'una ♀ ingr. $^{50}/_{1}$. — (La Fig. 58 è copia da BRUZELIUS, Skandin. Gammar., t. 1, f. 2; la Fig. 59 è presa da un individuo inviatomi dal NORMAN, e proveniente dalle isole Shetland.). 367
Fig. 60. *Corophium affine.* Gnatopodo posteriore. — (Copia da BOECK, Amphip. bor. arct., t. 28, f. 7, *k.*) . . 371

Tavola 56.

Sistematica. — Corofidi.

Fig. 1. *Cerapopsis longipes.* Un ♂ veduto di lato ingr. $^{24}/_{1}$. — (Da un individuo del Golfo di Napoli.) . . 388
Figg. 2-6. *Corophium bicaudatum.*
Fig. 2. Parte del peduncolo di un'antenna anteriore di un ♂ per mostrare i denti del 1.° articolo ingr. $^{42}/_{1}$. — Fig. 3. Estremità di uno dei gnatopodi anteriori ingr. $^{170}/_{1}$. — Fig. 4. Estremità di uno gnatopodo posteriore ingr. $^{42}/_{1}$. — Fig. 5. Estremità di un piede toracico del 3.° paio ingr. $^{42}/_{1}$. — Fig. 6. Terzo segmento della coda e relative appendici ingr. $^{70}/_{1}$. — (Tutte le figure da un individuo ♂ inviatomi dal NORMAN, e proveniente dalla Costa Mayo, Ireland.) 372
» 7-12. *Microprotopus longimanus.*
Fig. 7. Un ♂ veduto di lato. — Fig. 8. Mandibola. — Fig. 9. Mascella anteriore. — Fig. 10. Piedi mascellari. — Fig. 11. Gnatopodo posteriore della ♀. — (Copie da BONNIER, Bull. scientif. de la France et de la Belgique, t. 8 e 9 [« *M. maculatus* »].) 392
» 13-16. *Microprotopus maculatus.*
Fig. 13. Antenne del ♂ adulto. — Fig. 14. Gnatopodo posteriore della ♀. — Fig. 15. Gnatopodo posteriore del ♂. — Fig. 16. Piedi codali posteriori e telson ingr. $^{130}/_{1}$. — (Le Figg. 13-15 sono copie da CHEVREUX, Bull. Soc. Zool. France, vol. 15, p. 148; la Fig. 16 è presa da un individuo delle Shetland, mandato dal NORMAN.) 393
» 17-34. *Autonoe spiniventris.*
Da un individuo del Golfo di Napoli. — Le antenne ingr. $^{40}/_{1}$; i piedi mascellari $^{130}/_{1}$; le altre parti boccali $^{110}/_{1}$; i gnatopodi $^{70}/_{1}$; gli altri piedi $^{40}/_{1}$. 400
» 35, 36. *Autonoe arctica.*
Fig. 35. Gnatopodo anteriore. — Fig. 36. Gnatopodo posteriore. — (Copie da HANSEN, Dijmphna, Krebsd. Kara, t. 22, f. 3.) 406
Fig. 37. *Aora gracilis.* Telson ingr. $^{230}/_{1}$. — (Da un individuo di Napoli.) 407
Figg. 38-40*. *Aora typica.*
Diverse forme di gnatopodi anteriori del ♂. — (Copie da CHILTON, Ann. Mag. N. Hist., (5) vol. 16, t. 10.) 407
Fig. 41. *Microdeutopus anomalus.* Gnatopodo anteriore del ♂. — (Copia da BRUZELIUS, Skandin. Gammar., t. 1, f. 4.) 417
Figg. 42-45. *Stimpsonella chelifera.*
Fig. 42. Gnatopodo anteriore del ♂. — Figg. 43-45. Diverse forme dei gnatopodi posteriori del ♂. — (Copie da STEBBING, Ann. Mag. N. Hist., [5] vol. 1, t. 5.) 424

Tavola 57.

Sistematica. — Corofidi. Ampeliscidi. Orchestidi.

Figg. 1-3. *Leptocheirus pinguis.* Pag.

Fig. 1. Gnatopodo anteriore. — Fig. 2. Gnatopodo posteriore. — Fig. 3. Piedi codali posteriori. — Le Figg. 1 e 2 sono ingr. $^{18}/_{1}$; la Fig. 3 $^{45}/_{1}$. (Da un individuo della costa N. E. America, inviatomi dal Rev. NORMAN.) 432

» 4, 5. *Leptocheirus barbimanus.*

Fig. 4. Gnatopodo anteriore. — Fig. 5. Gnatopodo posteriore. — (Copia da STEBBING, Rep. Challenger, t. 126.) 433

» 6, 7. *Protomedeia fasciata.*

Fig. 6. Gnatopodo anteriore. — Fig. 7. Gnatopodo posteriore. — Ambedue le figure ingr. $^{29}/_{1}$. — (Da un individuo di Tromsö inviatomi in cortesia dal Conserv. SPARRE SCHNEIDER.) 435

» 8-11. *Protomedeia maculata.*

Parti boccali di un individuo del Golfo di Napoli ingr. $^{100}/_{1}$. La Fig. 8* rappresenta il 3.° articolo del palpo mandibolare veduto di prospetto. Nella Fig. 8 l'articolo stesso appare molto più sottile, perchè veduto di sbieco. 436

Fig. 12. *Protomedeia exsertipes.* Gnatopodo posteriore. — (Copia da STEBBING, Rep. Challenger, t. 112.) . . 440

Figg. 13-16. *Podocerus falcatus.*

Figg. 13-15. Forme anormali di gnatopodi posteriori del ♂ (cf. p. 447.) — Fig. 16. Gnatopodo posteriore di un ♂ normale per confronto. I due gnatopodi posteriori rappresentati dalle Figg. 15 e 16 appartenevano allo stesso individuo. — Tutte le forme ingr. $^{20}/_{1}$. (Da individui della Collezione CHIERCHIA.) — Cf. anche NEBESKI, Amphip. Adria, p. 151, t. 13, f. 44.) 445

Fig. 17. *Podocerus tuberculatus.* Estremità di uno dei gnatopodi posteriori. — (Copia da HOEK, Crust. Willem Barents, t. 3, f. 32.) 443

» 18. *Podocerus anguipes.* Estremità di uno dei gnatopodi del ♂. — (Copia da BUCHHOLZ, Nordpolarf., t. 13). 444

» 19. *Podocerus latipes.* Estremità di uno dei gnatopodi posteriori. — (Copia da BOECK, Skandin. arkt. Amphip., t. 29, f. 1.) 450

» 20. *Podocerus tristanensis.* Gnatopodo posteriore del ♂. — (Copia da STEBBING, Rep. Challenger, t. 121.) 450

Figg. 21, 22. *Podoceropsis Sophiae.* Due forme dei gnatopodi posteriori. — (Copia da BOECK, Skandin. arkt. Amphip., t. 25, f. 7.) 452

» 23, 24. *Podoceropsis megacheir.*

Fig. 23. Gnatopodo anteriore. — Fig. 24. Gnatopodo posteriore. — (Copia da STEBBING and ROBERTSON, Trans. Zool. Soc. London, vol. 13, t. 6, fig. A.) 453

» 25, 26. *Amphithoe rubricata.* Telson veduto dalla faccia superiore e di profilo ingr. $^{170}/_{1}$. — (Da un individuo del Golfo di Napoli.). 456

Fig. 27. *Amphithoe grandimana.* Gnatopodo posteriore. — (Copia da BOECK, Skandin. arkt. Amphip., t. 26, f. 4.) 460

Figg. 28, 29. *Amphithoe hamulus.*

Fig. 29. Gnatopodo posteriore. — Fig. 30. Piede toracico del 7.° paio. — (Copie da BOECK, Skandin. arkt. Amphip., t. 27, f. 1.) 463

» 30-32. *Amphithoe Mitsukurii.*

Fig. 30. Telson di un piccolo individuo ingr. $^{115}/_{1}$. — Figg. 31, 32. Gnatopodi di un ♂ adulto ingr. $^{9}/_{1}$. (Da individui inviati da Tokio dal Prof. MITSUKURI al Prof. DOHRN.). 460

» 33-35. *Amphithoe bicuspis.*

Fig. 33. Gnatopodo posteriore ingr. $^{15}/_{1}$. — Figg. 34, 35 Telson veduto dalla superficie superiore e di profilo ingr. $^{170}/_{1}$. — (Da uno degl' individui cortesemente inviati da Venezia dal compianto Dott. NINNI.) 461

Fig. 36. *Amphithoe gammaroides.* Gnatopodo posteriore. — (Copia da STEBBING, Ann. Mag. N. Hist., [4] vol. 14, t. 12.). 462

Pag

Fig. 37. *Amphithoe lacertosa.* Gnatopodo posteriore. — (Copia da BATE, Cat. Brit. Mus., t. 41, f. 5.) 461

» 38. *Amphithoe cuniculus.* Gnatopodo posteriore. — (Copia da STEBBING, Ann. Mag. N. Hist., [4] vol. 14, t. 11, f. 1.) 460

Figg. 39-41. *Ampelisca Gaimardii.*
Fig. 39. Palpo della mandibola. — Fig. 40. Piede toracico del 7.° paio. — Fig. 41. Telson. — (Copie da KRÖYER, Voy. Scandin., t. 23, f. 1.) 472

Fig. 42. *Ampelisca Eschrichtii.* Piede toracico del 7.° paio. — (Copia da BUCHHOLZ, Nordpolarf., t. 13, f. 1.) . 475

» 43. *Ampelisca acinaces.* Piede toracico del 7.° paio. — (Copia da STEBBING, Rep. Challenger, t. 102.) . . 476

» 44. *Ampelisca kallarthrus.* Piede toracico del 7.° paio. — (Copia da STEBBING, Trans. R. Soc. London, vol. 12, t. 38.) 476

» 45. *Ampelisca minuticornis.* Piede toracico del 7.° paio. — (Copia da G. O. SARS, Norske Nordhavs-Exped., t. 16, f. 5.) 477

» 46. *Ampelisca abyssicola.* Piede toracico del 7.° paio. — (Copia da STEBBING, Rep. Challenger, t. 104.) . 477

» 47. *Ampelisca aequicornis.* Piede toracico del 7.° paio. — (Copia da BRUZELIUS, Skandin. Gammar., t. 4, f. 15, *n.*) 478

» 48. *Ampelisca propinqua.* Piede toracico del 7.° paio. — (Copia da BOECK, Skandin. arkt. Amphip., t. 31, f. 8.) 483

» 49. *Ampelisca odontoplax.* Piede toracico del 7.° paio. — (Copia da G. O. SARS, Norske Nordhavs-Exped., t. 16, f. 4.) 483

» 50. *Ampelisca fusca.* Piede toracico del 7.° paio. — (Copia da STEBBING, Rep. Challenger, t. 105.) . . . 484

» 51. *Haploops setosa.* Piede toracico del 7.° paio. — (Copia da BOECK, Skandin. arkt. Amphip., t. 30, f. 7.) 488

Figg. 52, 53. *Talitrus locusta.*
Fig. 52. Gnatopodo anteriore della ♀. — Fig. 53. Telson. — (Copie da G. O. SARS, Crust. Norway, t. 9.). 492

Fig. 54. *Orchestia megalophthalma.* Parte anteriore del corpo e relative appendici. — (Copia da BATE, Cat. Brit. Mus., t. 3, f. 8.) 496

» 55. *Orchestia tuberculata.* Un ♂ veduto di lato. — (Copia da BATE, Cat. Brit. Mus., t. 2, f. 2.). . . . 496

» 56. *Orchestia Fischeri.* Un ♂ veduto di lato. — (Copia da EDWARDS, Hist. Crust., t. 29, f. 4.) 497

Figg. 57-60. *Orchestia scutigerula.*
Fig. 57. Gnatopodo posteriore del ♂. — Fig. 58. Parte dei piedi toracici del 7.° paio del ♂ con la squama enormemente sviluppata. — (Si confrontino queste due figure copiate da DANA, U. S. Exped., t. 58, f. 2 con le Figg. 59 e 60 che rappresentano le stesse parti copiate dal BATE, Cat. Brit. Mus., t. 4, f. 7. Le differenze accennano forse ad una specie diversa.). . 497

» 61, 62. *Orchestia serrulata.*
Fig. 61. Gnatopodo posteriore del ♂. — Fig. 62. Margine posteriore seghettato del 2.° articolo dei piedi toracici posteriori. — (Copie da DANA, U. S. Exped., t. 58, f. 7.) 498

Fig. 63. *Orchestia quadrimana.* Gnatopodo posteriore del ♂. — (Copia da DANA, U. S. Exped., t. 59, f. 7.) . 504

» 64. *Orchestia limicola.* Gnatopodo posteriore del ♂. — (Copia da HASWELL, Proc. Linn. Soc. N. S. Wales, vol. 5, t. 5, f. 2.). 505

» 65. *Orchestia Aucklandiae.* Gnatopodo posteriore del ♂. — (Copia da BATE, Cat. Brit. Mus., t. 1 *a*, f. 3). 505

Figg. 66, 67. *Orchestia longicornis.*
Fig. 66. Gnatopodo anteriore. — Fig. 67. Gnatopodo posteriore. — Entrambe le figure ingr. $^{10}/_{1}$. — (Da un individuo ♂ del N. E. America inviatomi dal NORMAN [« *Talorchestia longicornis* »].) . 505

Fig. 68. *Orchestia Quoyana.* Gnatopodo posteriore del ♂. — (Copia da EDWARDS, in: CUVIER, Règne Anim., Édit. Crochard, Atlas, t. 59, f. 4.) 506

» 69. *Orchestia Capensis.* Gnatopodo posteriore del ♂. — (Copia da DANA, U. S. Exped., t. 58, f. 3.) . 506

Figg. 70-73. *Orchestia Deshayesii.*
Gnatopodi posteriori del ♂ in diversi gradi di sviluppo. — Fig. 70. Stadio in cui il gnatopodo posteriore del ♂ è somigliante a quello della ♀. — Figg. 71 e 72. Gnatopodo posteriore in muda. — Fig. 73. Gnatopodo posteriore quasi completamente sviluppato. — Tutte le forme ingr. $^{20}/_{1}$. — (Da un individuo del Golfo di Napoli.) 508

Tavola 58.

Sistematica. — Orchestidi. Dexaminidi.

Pag.

Fig. 1. *Hyalella cuprea.* Gnatopodo posteriore. — (Copia da Faxon, Expl. Lake Titicaca, p. 372, f. 33.) . . 514

Figg. 2, 3. *Hyalella armata.*
Parte del capo, per mostrare la forma degli epimeri dei gruppi anteriore e medio. — (Copia da Faxon, l. c., p. 364, f. 1.) 514

» 4, 5. *Hyalella lucifugax.*
Fig. 4. Dorso del torace e dell' addome armato di processi spinosi. — Fig. 5. Uno dei gnatopodi posteriori. — (Copie da Faxon, l. c., p. 369, f. 26.) 515

» 6, 7. *Hyalella longipes.*
Fig. 6. Parte anteriore del torace, co' corrispondenti epimeri. — Fig. 7. Parte d' uno dei gnatopodi posteriori. — (Copie da Faxon, l. c., p. 368, f. 22, 23.) 515

Fig. 8. *Hyalella latimana.* Mano dei gnatopodi posteriori. — (Copia da Faxon, l. c., p. 370, f. 28.) . . . 515

» 9. *Hyalella longipalma.* Mano dei gnatopodi posteriori. — (Copia da Faxon, l. c., p. 371, f. 30.) . . . 516

Figg. 10, 11. *Hyalella dentata.*
Fig. 10. Un ♂ veduto di lato. — Fig. 11. Telson. — (Copie da S. I. Smith, Crust. fresh waters U. S., t. 2, f. 8 e 10.) 516

» 12, 13. *Hyalella echinus.*
Fig. 12. Schema d' un segmento toracico. — Fig. 13. Parte d' uno dei gnatopodi posteriori. — (Copie da Faxon, l. c., p. 367, f. 20 e 21.) 517

» 14-21. *Cecina egregia.*
Fig. 14. Una ♀ veduta di lato. — Fig. 15. Parte posteriore del corpo. — Fig. 16. Mandibola. — Fig. 17. Piedi mascellari. — Fig. 18. Gnatopodo anteriore. — Fig. 19. Gnatopodo posteriore d' un ♂ giovane. — Fig. 20. Gnatopodo posteriore d' un ♂ adulto. — Fig. 21. Telson. — (Copie da Chilton, Trans. N. Zealand Inst., vol. 15, t. 2, f. 2.). 530

Fig. 22. *Halimedon distinguendus.* Piede toracico del 3.° paio del ♂. — (Copia da Hansen, Malacostr. Groenland. occid., t. 4, f. 8.). 534

Figg. 23-27. *Halimedon phyllonyx.*
Fig. 23. Parte anteriore del corpo, per mostrare la forma speciale del peduncolo delle antenne anteriori. — Fig. 24. Gnatopodo anteriore. — Fig. 25. Gnatopodo posteriore. — Fig. 26. Piede toracico del 3.° paio. — Fig. 27. Telson. — (Le Figg. 23 e 27 sono copiate da Bruzelius, Skandin. Gammar., t. 4, f. 17; le Figg. 24 e 25 da Boeck, Skandin. arkt. Amphip., t. 14, f. 7; la Fig. 26 da Hansen, Malacostr. Groenland. occid., t. 4, f. 7.) 535

» 28, 29. *Halimedon Saussurei.*
Fig. 28. Uno dei gnatopodi anteriori. — Fig. 29. Uno dei gnatopodi posteriori. — (Copie da Boeck, Skandin. arkt. Amphip., t. 15, f. 1.). 535

» 30-32. *Halimedon obtusifrons.*
Fig. 30. Antenne. — Fig. 31. Uno dei gnatopodi anteriori. — Fig. 32. Uno dei gnatopodi posteriori. — (Copie da Hansen, Malacostr. Groenland. occid., t. 5, f. 1.) 536

» 33-35. *Halimedon ornatus.*
Fig. 33. Rostro frontale. — Fig. 34. Parte della superficie dorsale. — Fig. 35. Uno dei gnatopodi posteriori. — (Copie da Stebbing, Rep. Challenger, t. 64.) 536

« 36, 37. *Halimedon longimanus.*
Fig. 36. Uno dei gnatopodi anteriori. — Fig. 37. Uno dei gnatopodi posteriori. — (Copie da Boeck, Skandin. arkt. Amphip., t. 13, f. 6.) 538

Pag.

Figg. 38-40. *Halimedon parvimanus.*
Fig. 38. Rostro frontale e parte delle antenne anteriori. — Fig. 39. Uno dei gnatopodi anteriori. — Fig. 40. Uno dei gnatopodi posteriori. — (Copie da NORMAN, Ann. Mag. N. Hist., [6] vol. 3, t. 20, f. 10-12.) 539

» 41, 42. *Halimedon brevicalcar.*
Fig. 41. Uno dei gnatopodi anteriori. — Fig. 42. Uno dei gnatopodi posteriori. — (Copie da STEBBING, Rep. Challenger, t. 59.) 539

» 43-45. *Halimedon cinderella.*
Fig. 43. Estremità di uno dei gnatopodi anteriori. — Fig. 44. Estremità di uno dei gnatopodi posteriori. — Fig. 45. Estremità d' uno dei piedi toracici del 4.° paio, per mostrare l' appendice dell' unghia. — (Copie da STEBBING, Rep. Challenger, t. 62.) 540

» 46-49. *Halimedon rostratus.*
Fig. 46. Parte anteriore del corpo. — Fig. 47. Estremità di uno dei gnatopodi anteriori. — Fig. 48. Estremità di uno dei gnatopodi posteriori. — Fig. 49. Telson e piedi codali posteriori. — (Copie da STEBBING, Rep. Challenger, t. 60.) 540

» 50-52. *Oediceros brevicornis.*
Fig. 50. Parte anteriore del corpo. — Fig. 51. Estremità di uno dei gnatopodi anteriori. — Fig. 52. Estremità di uno dei gnatopodi posteriori. — (Copie da BOECK, Skandin. arkt. Amphip., t. 13, f. 2.) 543

» 53, 54. *Oediceros Novi-Zealandiae.*
Fig. 53. Parte del capo e antenne. — Fig. 54. Estremità di uno dei gnatopodi posteriori. — (Copie da DANA, U. S. Exped., t. 63, f. 7.) 543

Fig. 55. *Oediceros Malmgrenii.* Animale intero. — (Copia da STUXBERG, Evert. Sibiriens, p. 724). 544

Figg. 56-60. *Oediceros longicaudatus.*
Fig. 56. Capo e antenne. — Fig. 57. Piedi mascellari. — Fig. 58. Estremità di uno dei gnatopodi anteriori. — Fig. 59. Estremità di uno dei gnatopodi posteriori. — (Copie da BOECK, Skandin. arkt. Amphip., t. 21, f. 3.) 544

» 61, 62. *Oediceros longirostris.*
Fig. 61. Estremità di uno dei gnatopodi anteriori. Il margine unguicolare è minutamente seghettato; oltre a ciò esistono varie piccole spine ricurve quasi ad uncino. — Fig. 62. Estremità di uno dei gnatopodi posteriori. — Entrambe le figure sono ingr. $^{36}/_{1}$. — (Da un individuo di Tromsö, inviatomi dallo SPARRE SCHNEIDER.) 545

» 63, 64. *Oediceros aequicornis.*
Fig. 63. Estremità di uno dei gnatopodi anteriori. — Fig. 64. Estremità di uno dei gnatopodi posteriori. — (Copie da NORMAN, Ann. Mag. N. Hist., [6] vol. 3, t. 20, f. 1, 2.) 545

» 65, 66. *Oediceros lynceus.*
Fig. 65. Gnatopodo anteriore dell' *Oed. lynceus* (Copia da BOECK, Skandin. arkt. Amphip., t. 13, f. 4). — Fig. 66. Gnatopodo anteriore dell' *Oed. microps* (Copia da G. O. SARS, Norges Crust., t. 4, f. 8 *a*) 546

» 67, 68. *Oediceros latimanus.*
Fig. 67. Estremità di uno dei gnatopodi anteriori. — Fig. 68. Estremità di uno dei gnatopodi posteriori. — (Copie da BOECK, Skandin. arkt. Amphip., t. 14, f. 2.) 549

» 69, 70. *Oediceros nubilatus.*
Fig. 69. Estremità di uno dei gnatopodi anteriori. — Fig. 70. Estremità di uno dei gnatopodi posteriori. — Entrambe le figure sono ingr. $^{36}/_{1}$. — (Da un individuo della Finmarchia, inviatomi dal NORMAN [« *Monoculoides borealis* »].) 550

» 71, 72. *Oediceros saginatus.*
Fig. 71. Estremità di uno dei gnatopodi anteriori. — Fig. 72. Estremità di uno dei gnatopodi posteriori. — Entrambe le figure sono ingr. $^{36}/_{1}$, e derivano da un individuo della Groenlandia, inviatomi dal NORMAN [« *Oediceros borealis* »].) 551

Pag.

Figg. 73, 73*. *Bircenna fulvus.*
Fig. 73. Animale intero. — Fig. 73*. Estremità posteriore del corpo: — *t* telson; — pc^2 piedi codali medi; — pc^3 piedi codali posteriori di forma speciale. — (Copie da CHILTON, Trans. N. Zealand Inst., vol. 16, t. 21, f. 1.) 562
» 74-78. *Stenothoc valida.*
Fig. 74. Mascella anteriore. — Figg. 75, 76. Gnatopodi anteriore e posteriore di un ♂. — Fig. 77. Piede toracico del 7.° paio. — Fig. 78. Gnatopodo posteriore di una ♀. — La mascella ingr. $^{150}/_1$; le altre appendici $^{20}/_1$. Tutte le figure derivanti da individui del Golfo di Napoli.) 566
Fig. 79. *Stenothoc monoculoides.* Gnatopodo posteriore di un ♂. — (Copia da G. O. SARS, Crust. Norway, t. 80). 568
» 80. *Guernea coalita.* Animale intero ingr. $^{75}/_1$. — (Disegno preso da un individuo del Golfo di Napoli.) . 570
Figg. 81, 82. *Dexamine dolichonyx.*
Fig. 81. Gnatopodo posteriore di un ♂. — Fig. 82. Piede toracico del 3.° paio. — (Copie da NEBESKI, Amphip. Adria, t. 13, f. 4.) 576
» 83, 84. *Polycheria antarctica.*
Fig. 83. Parte distale del palpo dei piedi mascellari. — Fig. 84. Parte d'uno dei piedi toracici del 7.° paio. — (Copie da STEBBING, Rep. Challenger, t. 83) 580
Fig. 85. *Cressa dubia.* Parte di uno dei gnatopodi posteriori. — (Copia da BONNIER, Bull. scient. de la France et de la Belgique, vol. 20, t. 10, f. 8.) 581
Figg. 86, 87. *Odius carinatus.*
Fig. 86. Animale intero. — Fig. 87. Mascella anteriore. — (Copie da BOECK, Skandin. arkt. Amphip., t. 19, f. 5.) 582
Fig. 88. *Iphimedia pulchridentata.* I primi quattro segmenti del torace, per mostrare l'estremità inferiore biforcata dei tre primi epimeri. — (Copia da STEBBING, Rep. Challenger, t. 72.) 583
Figg. 89, 90. *Iphimedia nodosa.*
Fig. 89. Mandibola. — Fig. 90. Mascella anteriore. — Ambedue le figure ingr. $^{42}/_1$. — (Da un individuo di Capo delle Vergini, della collezione CHIERCHIA.) 583
Fig. 91. *Iphimedia pacifica.* Uno degli epimeri del gruppo medio. — (Copia da STEBBING, Rep. Challenger, t. 71.) 583
» 92. *Iphimedia obesa.* Parte dei piedi toracici del 6.° e 7.° paio. — (Copia da BATE and WESTWOOD, Brit. sess. cy. Crust., vol. 1, p. 219.) 584
» 93. *Iphimediopsis Eblanae.* Palpo della mandibola; accanto il 3.° articolo veduto dalla superficie interna. Ingr. $^{70}/_1$. — (Da un individuo del Golfo di Napoli.) 586

Tavola 59.

Sistematica. — Dexaminidi. Gammaridi.

Fig. 1. *Gitana rostrata.* Uno dei gnatopodi posteriori. — (Copia da G. O. SARS, Crust. Norway, t. 79, f. 1.) 592
Figg. 2, 3. *Amphilochoides odontonyx.*
Fig. 2. Una delle mascelle posteriori. — Fig. 3. Uno dei gnatopodi posteriori. — (Copie da G. O. SARS. Crust. Norway, t. 75, f. 2.) 593
Fig. 4. *Amphilochus manudens.* Uno dei gnatopodi posteriori del ♂. — (Copia da G. O. SARS, Crust. Norway, t. 74, f. 2.) 594
» 5. *Amphilochus tenuimanus.* Uno dei gnatopodi posteriori della ♀. — (Copia da G. O. SARS, Crust. Norway, t. 75, f. 1.) 595
Figg. 6, 7. *Gitanopsis bispinosa.*
Fig. 6. Una delle mandibole. — Fig. 7. Uno dei gnatopodi posteriori della femmina. — (Copie da G. O. SARS, Crust. Norway, t. 76, f. 2.) 598

Pag.
Fig. 8. *Gitanopsis inermis.* Capo e antenne. — (Copia da G. O. Sars, Crust. Norway, t, 77, f. 1.) 598
» 9. *Gitanopsis arctica.* Capo e antenne. — (Copia da G. O. Sars, Crust. Norway, t. 77, f. 2.) 599
» 10. *Acanthozone atlantica.* Telson. — (Copia da Stebbing, Rep. Challenger, t. 84.) 601
» 11. *Acanthozone tricarinata.* Uno degli anelli toracici. — (Copia da Stebbing, Rep. Challenger, t. 70.) . 601
» 12. *Acanthozone laeviuscula.* Telson. — (Copia da Hoek, Carcinol., t. 10, f. 7.). 602
Figg. 13, 14. *Acanthozone tricuspis.*
Fig. 13. Terzo segmento addominale. — Fig. 14. Gnatopodi. — La Fig. 13 è copia da Kröyer, Voy. Scandin., t. 18, f. 1; la Fig. 14 è presa da G. O. Sars, Norske Nordhavs-Exped., t. 14, f. 5. 603
Fig. 15. *Acanthozone nodifera.* Gli ultimi due segmenti dell' addome veduti dal dorso. — (Copia da G. O. Sars, Norges Crust., t. 5, f. 6.). 604
» 16. *Acanthozone longimana.* Uno dei gnatopodi posteriori. — (Copia da Boeck, Skandin. arkt. Amphip., t. 22, f. 2.). 604
» 17. *Acanthozone longicaudata.* Estremità posteriore del corpo e relative appendici. — (Copia da Boeck, Skandin. arkt. Amphip., t. 22, f. 3.). 605
» 18. *Acanthozone pulchella.* Uno dei gnatopodi anteriori. — (Copia da Kröyer, Voy. Scandin., t. 10.) . . 605
» 19. *Acanthozone panopla.* Uno dei gnatopodi posteriori. — (Copia da Boeck, Skandin. arkt. Amphip., t. 21, f. 2.) 607
» 20. *Acanthozone pulchella.* Uno dei gnatopodi posteriori. — (Copia da G. O. Sars, Norske Nordhavs-Exped., t. 14, f. 6.). 608
» 21. *Acanthozone abyssorum.* Uno dei gnatopodi posteriori. — (Copia da Stebbing, Rep. Challenger, t. 67). 609
» 22. *Acanthozone quadridentata.* Uno dei gnatopodi anteriori. — (Copia da G. O. Sars, Norske Nordhavs-Exped., t. 14, f. 4.) 611
» 23. *Acanthozone Huxleyana.* Telson. — (Copia da Stebbing, Rep. Challenger, t. 73.) 612
» 24. *Acanthozone Kergueleni.* Telson. — (Copie da Stebbing, Rep. Challenger, t. 85.) 612
» 25. *Acanthozone cuspidata.* Piedi toracici delle ultime due paia. — (Copia da Buchholz, Nordpolarf., t. 11, f. 1.) 613
» 26. *Acanthozone incisa.* Telson. — (Copia da Stebbing, Rep. Challenger, t. 34.) 614
» 27. *Acanthozone fulvocincta.* Telson. — (Copia da Bruzelius, Skandin. Gammar., t. 3, f. 13.) 614
» 28. *Pontogeneia aculeata.* Telson. — (Copia da Kröyer, Voy. Scandin., t. 10, f. 1.) 616
» 29. *Pontogeneia inermis.* Parte posteriore del corpo e relative appendici. — (Copia da Boeck, Skandin. arkt. Amphip., t. 21, f. 4.) 617
» 30. *Pontogeneia Kergueleni.* Parte di uno dei piedi toracici del 6.° paio. — (Copia da Stebbing, Rep. Challenger, t. 66.) 618
» 31. *Pontogeneia longipes.* Uno dei gnatopodi posteriori. — (Copia da Stebbing, Rep. Challenger, t. 86). . 618
Figg. 32-34. *Stegocephalus inflatus.*
Fig. 32. Una ♀ veduta di lato. — Fig. 33. Mandibola. — Fig. 34. Mascella anteriore. — (Copie da G. O. Sars, Crust. Norway, t. 69.) 627
Fig. 35. *Stegocephalus similis.* Parte d' uno dei piedi toracici del 7.° paio. — (Copia da G. O. Sars, Crust. Norway, t. 70, f. 1.). 627
» 36. *Stegocephalus Boeckii.* Antenna anteriore. — (Copia da Stebbing, Rep. Challenger, t. 36.) 628
» 37. *Stegocephalus giganteus.* Parte d' uno dei piedi toracici del 7.° paio. — (Copia da Stebbing, Rep. Challenger, t. 35.) 629
» 38. *Stegocephalus abyssorum.* Parte d' uno dei piedi toracici del 7.° paio. — (Copia da Stebbing, Rep. Challenger, t. 37.) 629
» 39. *Stegocephaloides pectinatus.* Piede toracico del 7.° paio. — (Copia da G. O. Sars, Crust. Norway, t. 72, f. 3.). 630
» 40. *Stegocephaloides nordlandicus.* Piede toracico del 7.° paio. — (Copia da G. O. Sars, Crust. Norway, t. 72, f. 2.). 630
» 41. *Stegocephaloides christianensis.* Piede toracico del 7.° paio. — (Copia da G. O. Sars, Crust. Norway, t. 70, f. 2.). 631

Pag.

Fig. 42. *Stegocephaloides auratus.* Piede toracico del 7.° paio. — (Copia da G. O. Sars, Crust. Norway, t. 70, f. 3.) 631

Figg. 43, 44. *Andania abyssi.*
Fig. 43. Mandibola. — Fig. 44. Mascella anteriore. — (Copia da G. O. Sars, Crust. Norway, t. 71, f. 2.) 632

Fig. 45. *Aspidopleurus ampulla.* — (Copia da Stuxberg, Vega Exped., p. 713.) 633

Figg. 46, 47. *Aspidopleurus gibbosus.*
Fig. 46. Parte del tronco e coda. — Fig. 47. Mascella anteriore. — La Fig. 46 è copia da G. O. Sars, Norges Crust., t. 3, f. 7; la Fig. 47 da G. O. Sars, Crust. Norway, t. 71, f. 1.) 634

Fig. 48. *Metopa nasuta.* Antenna anteriore. — (Copia da Stebbing, Rep. Challenger, t. 40.) 637

» 49. *Metopa carinata.* Parte d' un individuo veduto di lato. — (Copia da Hansen, Malacostr. Groenland. occid., t. 4, f. 3.) 637

Figg. 50, 51. *Metopa clypeata.*
Fig. 50. Gnatopodo anteriore. — Fig. 51. Gnatopodo posteriore. — (Copie da Kröyer, Voy. Scandin., t. 22, f. 2.) 638

Fig. 52. *Metopa Alderii.* Gnatopodo posteriore. — (Copia da Bate and Westwood, Brit. sess. cy. Crust., vol. 1, p. 61.) 638

» 53. *Metopa leptocarpa.* Gnatopodo posteriore. — (Copia da G. O. Sars, Norges Crust., t. 4, f. 3.) . . . 639

» 54. *Metopa glacialis.* Gnatopodo posteriore. — (Copia da Kröyer, Voy. Scandin., t. 22, f. 3.) 639

» 55. *Metopa groenlandica.* Gnatopodo posteriore. — (Copia da Hansen, Malacostr. Groenland. occid., t. 3, f. 7.) 640

» 56. *Metopa neglecta.* Piede toracico del 7.° paio. — (Copia da Hansen, Malacostr. Groenland. occid., t. 3, f. 9.) 640

» 57. *Metopa Bruzelii.* Gnatopodo posteriore del ♂. — (Copia da G. O. Sars, Norges Crust., t. 4, f. 5.) . 641

» 58. *Metopa spectabilis.* Gnatopodo posteriore. — (Copia da G. O. Sars, Norske Nordhavs-Exped., t. 15, f. 4.) 641

» 59. *Metopa parallelocheir.* Gnatopodo posteriore. — (Copia da Stebbing, Rep. Challenger, t. 43.) . . . 642

» 60. *Metopa megacheir.* Gnatopodo posteriore. — (Copia da Boeck, Skandin. arkt. Amphip., t. 18, f. 1.) . 642

» 61. *Metopa longimana.* Gnatopodo posteriore. — (Copia da Hansen, Malacostr. Groenland. occid., t. 3, f. 8.) 643

Figg. 62, 63. *Metopa gregaria.*
Fig. 62. Gnatopodo posteriore della ♀. — Fig. 63. Gnatopodo posteriore del ♂. — (Copie da G. O. Sars, Norges Crust., t. 4, f. 6.) 643

» 64, 65. *Peltocoxa longirostris.*
Fig. 64. Una ♀ veduta di lato. — Fig. 65. Mandibola. — (Copie da G. O. Sars, Crust. Norway, t. 79, f. 2.) 659

» 66, 67. *Nicippe tumida.*
Fig. 66. Animale intero. — Fig. 67. Piedi mascellari. — (Copie da Bruzelius, Skandin. Gammar., t. 4, f. 19.) 658

Fig. 68. *Nicippe Haswelli.* Telson. — (Copia da Stebbing, Rep. Challenger, t. 92.) 661

Figg. 69-71. *Halice abyssi.*
Fig. 69. Animale intero. — Fig. 70. Mandibola. — Fig. 71. Mascella posteriore. — (Copie da Boeck, Skandin. Gammar., t. 10, f. 2.) 661

» 72, 73. *Syrrhoe semiserrata.*
Fig. 72. Mandibola. — Fig. 73. Gnatopodo posteriore. — (Copie da Stebbing, Rep. Challenger, t. 50.) 663

Fig. 74. *Syrrhoe crenulata.* Individuo intero veduto di lato. — (Copia da Boeck, Skandin. arkt. Amphip., t. 12, f. 4.) 663

» 75. *Bruzelia tuberculata.* Parte posteriore del corpo. — (Copia da G. O. Sars, Norges Crust., t. 4, f. 7.) 668

» 76. *Bruzelia typica.* Individuo intero veduto di lato. — (Copia da Boeck, Skandin. arkt. Amphip., t. 10, f. 3.) 668

Figg. 77, 78. *Bruzelia serrata.*
Fig. 77. Margine postero-laterale del 3.° segmento addominale. — Fig. 78. Mandibola. — (Copie da G. O. Sars, Norske Nordhavs-Exped., t. 15, f. 3.) 668

» 79-82. *Eusirus cuspidatus.*
Fig. 79. Epimero del 3.° paio. — Fig. 80. Piede toracico del 4.° paio. — Fig. 81. Piede toracico del 5.° paio. — Fig. 82. Margine postero-laterale del 3.° segmento addominale. — (Tutte le figure, ingr. $^{20}/_{1}$, sono prese da un individuo del Golfo di Napoli.) 669

Pag.

Figg. 83, 84. *Acanthonotosoma serratum.*
Fig. 83. Parte d' una delle antenne anteriori, per mostrare il flagello accessorio. — Fig. 84. Unghia dei gnatopodi anteriori. — (Entrambe le figure, ingr. $^{230}/_{1}$, sono prese da un individuo della Finmarchia, speditomi in cortesia dal Rev. A. M. Norman, sotto il nome di *Vertumnus serratus.*) 675
Fig. 85. *Acanthonotosoma cornigerum.* Individuo intero veduto di lato. — (Copia da G. O. Sars, Norske Nordhavs-Exped., t. 14, f. 2.) 676
» 86. *Acanthonotosoma emarginatum.* Telson. — (Copia da Stebbing, Rep. Chellenger, t. 81.) 678
» 87. *Acanthonotosoma drepanocheir.* Gnatopodo posteriore. — (Copia da Stebbing, Rep. Challenger, t. 82.) 677
» 88. *Amathilla spinigera.* Individuo intero veduto di lato. — (Copia da Heller, Nordpol-Exped., t. 3, f. 17.) 684
» 89. *Amathilla pinguis.* Terzo segmento addominale. — (Copia da Kröyer, Grönlands Amfip., t. 1, f. 5.) . 684
» 90. *Amathilla Homari.* Uno dei gnatopodi posteriori. — (Copia da Buchholz, Nordpolarf., t. 8, f. 1.). . 685
» 91. *Argissa typica.* Un individuo intero veduto di lato. — (Copia da Boeck, Skandin. arkt. Amphip., t. 7, f. 2.). 687
» 92. *Pardalisca cuspidata.* Gnatopodo posteriore. — (Copia da Boeck, Skandin. arkt. Amphip., t. 12, f. 5.) 692
» 93. *Pardalisca abyssi.* Individuo intero veduto di lato. — (Copia da Stebbing, Rep. Challenger, t. 93.) . 692

Tavola 60.

Sistematica. — Gammaridi. Lisianassidi.

Fig. 1. *Tiron acanthurus.* Individuo intero veduto di lato. — (Copia da Goës, Amphip. Spetsberg., t. 40, f. 26.) 693
» 2. *Astyra abyssi.* Individuo intero veduto di lato. — (Copia da Boeck, Skandin. arkt. Amphip., t. 9, f. 4.) 694
» 3. *Atylus carinatus.* Sezione trasversa del torace. — (Copia da Kröyer, Voy. Scandin., t. 11, f. 1.) 701
» 4. *Atylus serraticauda.* Telson. — (Copia da Stebbing, Rep. Challenger, t. 78.) 702
» 5. *Eriopisa elongata.* Animale intero ingr. $^{6}/_{1}$. — (Disegno da un individuo del Golfo di Napoli.) . . 706
» 6. *Melita Fresnelii.* Uno dei gnatopodi posteriori. — (Copia da Kröyer, Naturhist. Tidsskr., [2] vol. 1, t. 2, f. 1, *h.*) 708
» 7. *Pontoporeia femorata.* Un individuo intero veduto di lato. — (Copia da Bruzelius, Skandin. Gammar., t. 2, f. 8.) 717
» 8. *Maera Othonis.* Uno dei gnatopodi posteriori ingr. $^{15}/_{1}$. — (Da un individuo delle isole Shetland inviatomi dal Norman.) 729
Figg. 9, 10. *Peltocoxa damnoniensis.*
Fig. 9. Profilo del torace, ingr. $^{7}/_{1}$, veduto dall' alto per mostrare la larghezza trasversale relativa dei diversi segmenti. — Fig. 10. Parte dell' antenna anteriore che fa vedere il flagello accessorio rudimentale ingr. $^{340}/_{1}$. Cf. anche Tav. 30, Figg. 19-32, *G.* — (Da un individuo del Golfo di Napoli.) Per errore, a p. 648 sono segnate queste due figure con i numeri 11 e 12. . . 648
» 11, 12. *Urothoe irrostrata.*
Fig. 11. Unghia d' uno dei piedi toracici che fa vedere i noduletti del margine, ingr. $^{70}/_{1}$. — Fig. 12. Ramo esterno dei piedi codali posteriori coll' articolo rudimentale ingr. $^{100}/_{1}$. — (Da un individuo del Golfo di Napoli.) 664
Fig. 13. *Urothoe lachneessa.* Parte dei piedi toracici del 7.° paio. — (Copia da Stebbing, Rep. Challenger, t. 57.) 667
» 14. *Crangonyx compactus.* Uno dei piedi codali posteriori per mostrare il ramo interno rudimentale. Ingr. $^{40}/_{1}$. — (Da un individuo di Eyreton, speditomi gentilmente dal Chilton.) 682
Figg. 15, 16. *Phoxocephalus falcatus.*
Fig. 15. Corpo della mandibola sinistra. — Fig. 16. Estremità del palpo dei piedi mascellari. — (Copie da G. O. Sars, Crust. Norway, t. 50.) 739

Pag.

Fig. 17. *Harpinia mucronata.* Uno dei piedi toracici del 7.° paio. — (Copia da G. O. Sars, Crust. Norway, t. 54, f. 3.) 746

» 18. *Harpinia serrata.* Uno dei piedi toracici del 7.° paio. — (Copia da G. O. Sars, Crust. Norway, t. 54, f. 1.) 747

» 19. *Harpinia neglecta.* Profilo del capo, veduto di lato, di un individuo di Napoli, per mostrare l'uncino dell'angolo infero-posteriore del capo. Ingr. $^{30}/_{1}$ 747

Figg. 20, 21. *Cardenio paurodactylus.*
Fig. 20. Individuo intero veduto di lato. — Fig. 21. Uno dei gnatopodi posteriori. — (Copie da Stebbing, Rep. Challenger, t. 53.) 750

» 22, 23. *Haustorius arenarius.*
Fig. 22. Individuo veduto di lato. — Fig. 23. Estremità del palpo dei piedi mascellari. — (Copie da G. O. Sars, Crust. Norway, t. 46.) 750

» 24, 25. *Priscillina armata.*
Fig. 24. Individuo veduto di lato. — Fig. 25. Telson. — (Copie da G. O. Sars, Crust. Norway, t. 42.) 754

» 26, 27. *Pallasea cancellus.*
Fig. 26. Individuo veduto di lato. — Fig. 27. Parte della coda. — (Copie da G. O. Sars, Crust. d'eau douce de Norvège, t. 6, f. 21 e 33.) 755

Fig. 28. *Gammarus marinus.* Uno dei piedi codali posteriori, e telson, ingr. $^{30}/_{1}$. — (Da un individuo del Golfo di Napoli.) 762

Figg. 29-31. *Valettia coheres.*
Fig. 29. Individuo intero. — Fig. 30. Mandibola. — Fig. 31. Piedi mascellari. — (Copie da Stebbing, Rep. Challenger, t. 34.) 773

» 32-34. *Seba Saundersi.*
Fig. 32. Individuo intero veduto di lato. — Fig. 33. Uno dei gnatopodi anteriori. — Fig. 34. Uno dei gnatopodi posteriori. — (Copie da Stebbing, Rep. Challenger, t. 49.) 774

Fig. 35. *Amaryllis Haswelli.* Individuo intero veduto di lato. — (Copia da Stebbing, Rep. Challenger, t. 28). 781

» 36. *Platyschnopus mirabilis.* Capo e parte anteriore del torace. — (Copia da Stebbing, Rep. Challenger, t. 58.) 785

» 37. *Kerguelenia borealis.* Una delle mandibole. — (Copia da G. O. Sars, Crust. Norway, t. 40, f. 2.) . 787

» 38. *Sophrosyne Murrayi.* Parte di uno dei gnatopodi anteriori. — (Copia da Stebbing, Rep. Challenger, t. 15.) 795

Fig. 39-41. *Onesimoides carinatus.*
Fig. 39. Uno dei gnatopodi anteriori. — Fig. 40. Uno dei piedi codali posteriori. — Fig. 41. Telson. — (Copie da Stebbing, Rep. Challenger, t. 14.) 796

Figg. 42-44. *Normania quadrimana.*
Fig. 42. Piedi mascellari. — Fig. 43. Uno dei gnatopodi anteriori. — Fig. 44. Telson. — (Copie da G. O. Sars, Crust. Norway, t. 13, f. 1.) 797

» 45, 46. *Opisa Eschrichtii.*
Fig. 45. Uno dei gnatopodi anteriori. — Fig. 46. Uno dei piedi codali posteriori e telson. — (Copie da G. O. Sars, Crust. Norway, t. 14, f. 1.) 806

» 47-49. *Anonyx longicornis.*
Fig. 47. Individuo intero. — Fig. 48. Una delle antenne anteriori ingrandita. — Fig. 49. Telson. — (Copie da G. O. Sars, Crust. Norway, t. 38, f. 2.) 814

Fig. 50. *Cheirimedon latimanus.* Uno dei gnatopodi anteriori. — (Copia da G. O. Sars, Crust. Norway, t. 13, f. 3.) 838

Figg. 51, 52. *Euonyx Normani.*
Fig. 51. Uno dei gnatopodi anteriori. — Fig. 52. Piedi codali posteriori e telson. — (Copie da Stebbing, Rep. Challenger, t. 19.) 842

Fig. 53. *Cyclocaris tahitensis.* Uno dei gnatopodi anteriori. — (Copia da Stebbing, Rep. Challenger, t. 18.) 843

» 54. *Aristias tumidus.* Uno dei piedi toracici del 3.° paio. — (Copia da G. O. Sars, Crust. Norway, t. 18, f. 1.) 846

Pag.

Figg. 55-57. *Cyphocaris Challengeri.*
Fig. 55. Un individuo intero. — Fig. 56. Uno dei gnatopodi anteriori. — Fig. 57. Uno dei gnatopodi posteriori. — (Copie da STEBBING, Rep. Challenger, t. 17.) 847
Fig. 58. *Euryporeia gryllus.* Un individuo intero. — (Copia da G. O. SARS, Crust. Norway, t. 30.) 848

Tavola 61.

Sistematica. — Lisianassidi. Subiperini.

Figg. 1-9. *Anonyx petalocerus* 816
Varie appendici di un individuo del Golfo di Napoli. Le Figg. 1, 2, 7 e 8 sono ingr. $^{70}/_{1}$; le Figg. 3-6 e 9 $^{115}/_{1}$.
Fig. 9*. *Lysianella petalocera* 797
Telson. — (Copia da G. O. SARS, Crust. Norway, t. 18, f. 2.).
Figg. 10-22. *Guerina nicœensis*. 776
Fig. 10*. Capo visto dall' alto per mostrare la relazione dei due occhi nella linea mediana.
Fig. 11. Labbro superiore e mandibole vedute dalla superficie interna. (La mandibola sinistra è rovesciata in fuori.)
Fig. 13. Mandibole e mascelle anteriori del lato sinistro vedute in sito.
Le Figg. 10, 10* sono ingr. $^{9}/_{1}$; le antenne e i piedi toracici $^{20}/_{1}$; i piedi mascellari $^{35}/_{1}$; le altre parti boccali $^{100}/_{1}$; la coda $^{25}/_{1}$. — (Da un individuo preso a Cuma.)
» 23-37. *Colomastix pusilla*. 854
Fig. 23. Capo della ♀ visto dalla superficie inferiore.
Fig. 25. Epistoma, labbro superiore e mascelle veduti dalla superficie inferiore.
Fig. 26. Epistoma e labbro superiore veduti di lato: delle due mandibole la sinistra è veduta dalla superficie interna, la destra dall' esterna.
Fig. 29*. Le due paia di mascelle disegnate con lo stesso ingrandimento dei piedi mascellari per mostrare le proporzioni relative.
Fig. 31* e 31**. Mani di un ♂ giovane.
Fig. 34*. Retinacoli.
La Fig. 23 è ingr. $^{35}/_{1}$; le Figg. 25 e 26 $^{150}/_{1}$; la Fig. 29 $^{90}/_{1}$; le mascelle $^{200}/_{1}$; i retinacoli $^{470}/_{1}$; tutte le altre appendici $^{25}/_{1}$. — (Da un individuo del Golfo di Napoli.)

C. Merculiano pinx.

Verl. v. R. Friedländer

Sohn Berlin

Lith. Anst. v. Werner & Winter, Frankfurt a. M.

C. Merculiano pinx.

Verl. v. R. Friedländer

John, Berlin

Lith Anst v Werner & Winter, Frankfurt a M.

C. Mercuhano pinx.

Verl. v. R. Frie

ohn, Berlin.

Lith. Anst. v. Werner & Winter, Frankfurt a/M.

C. Mercuhano pinx.

Verl. v. R. Fr

Berlin

Lith. Anst. v. Werner & Winter, Frankfurt a. M.

C. Merculiar... v.m.r.

Verl. v. R. Fr...

John Berlin
Lith. Anst. v. Werner & Winter Frankfurt a/M.

Verl. v. R. Friedländer

n, Berlin.

Lith. Anst. v. Werner & Winter, Frankfurt a. M.

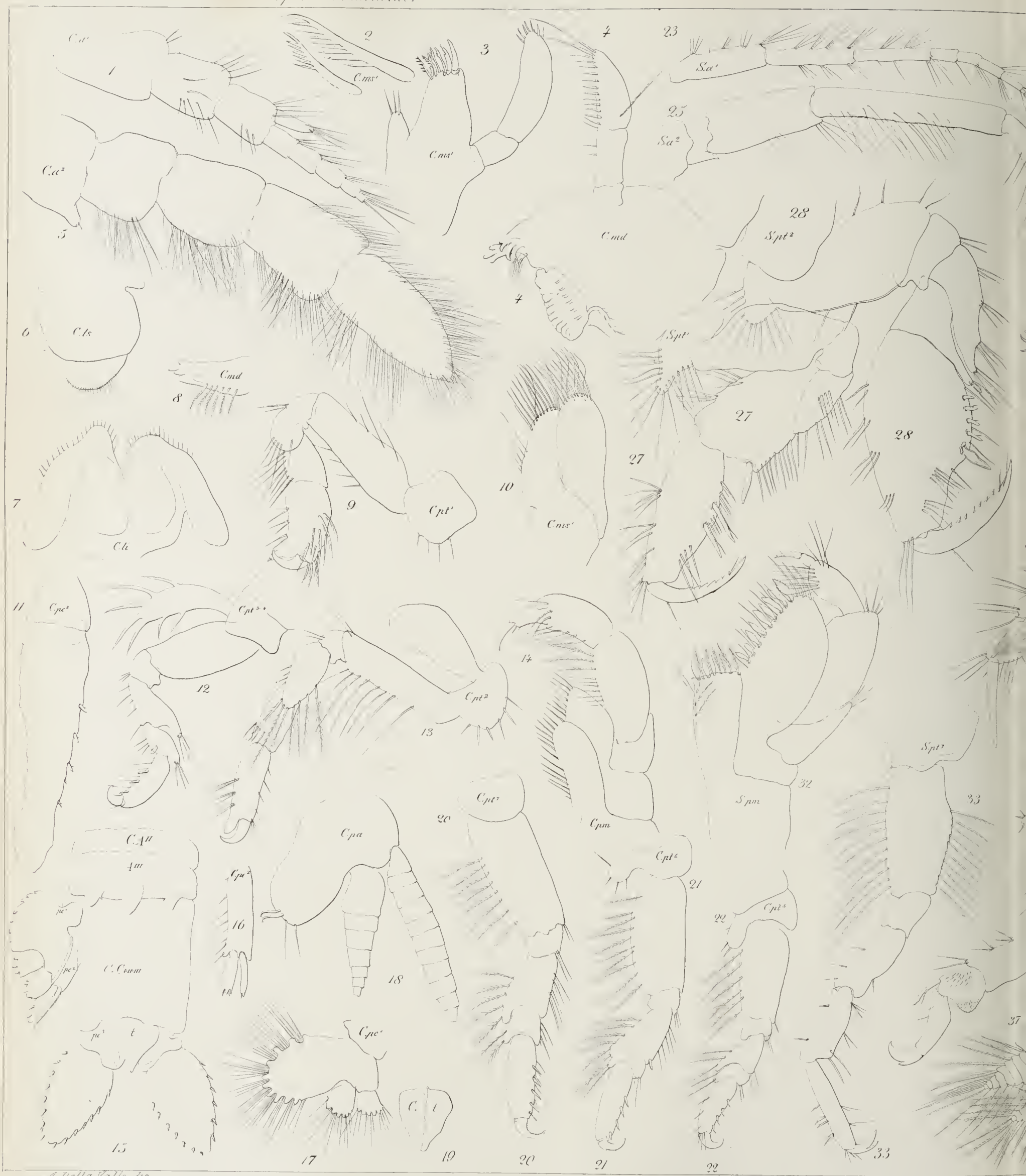

A Della Valle dis.

Verl. v. F. Fra

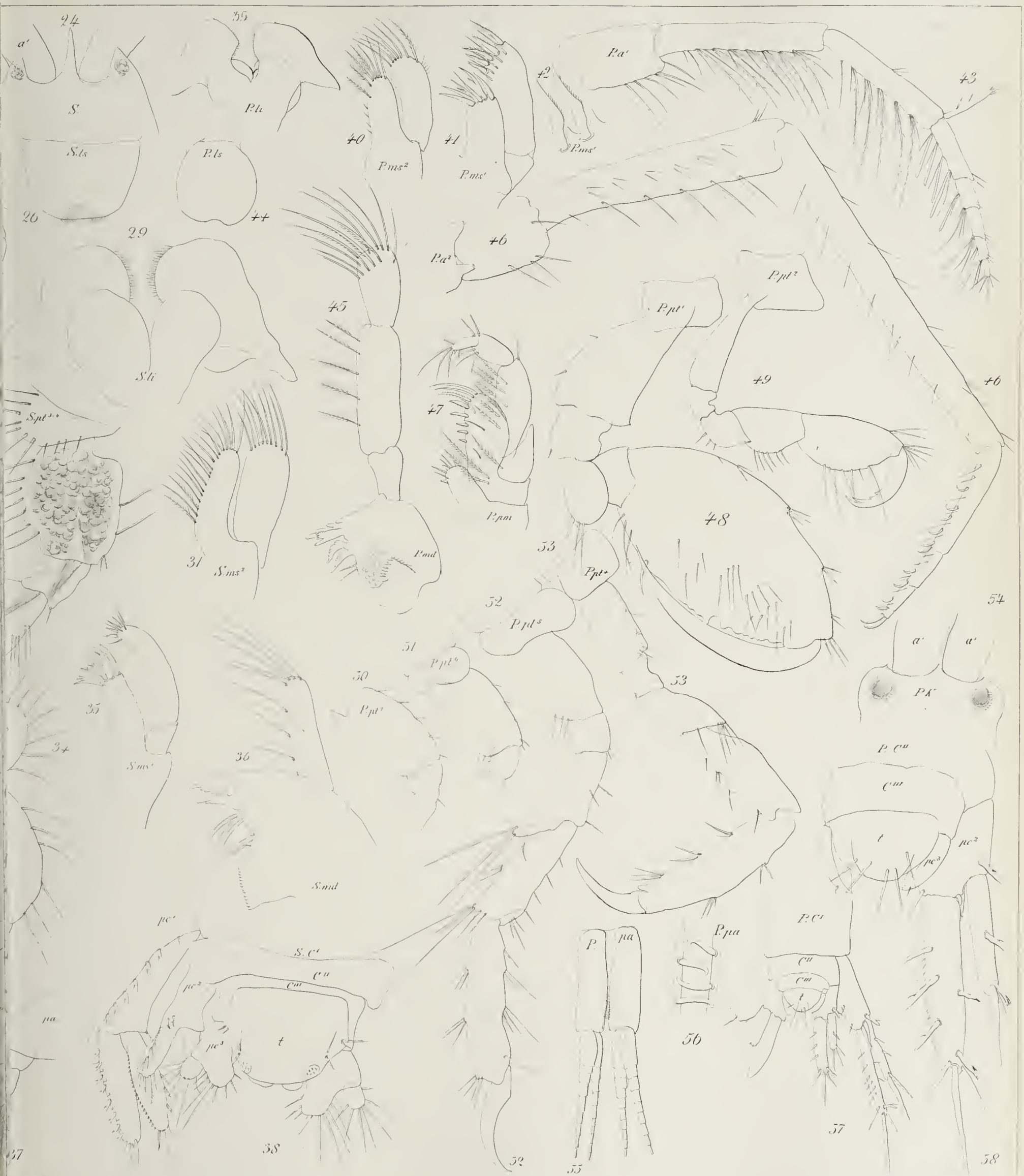

Schn. del.

St. lit. d. Serm. Napoli

P

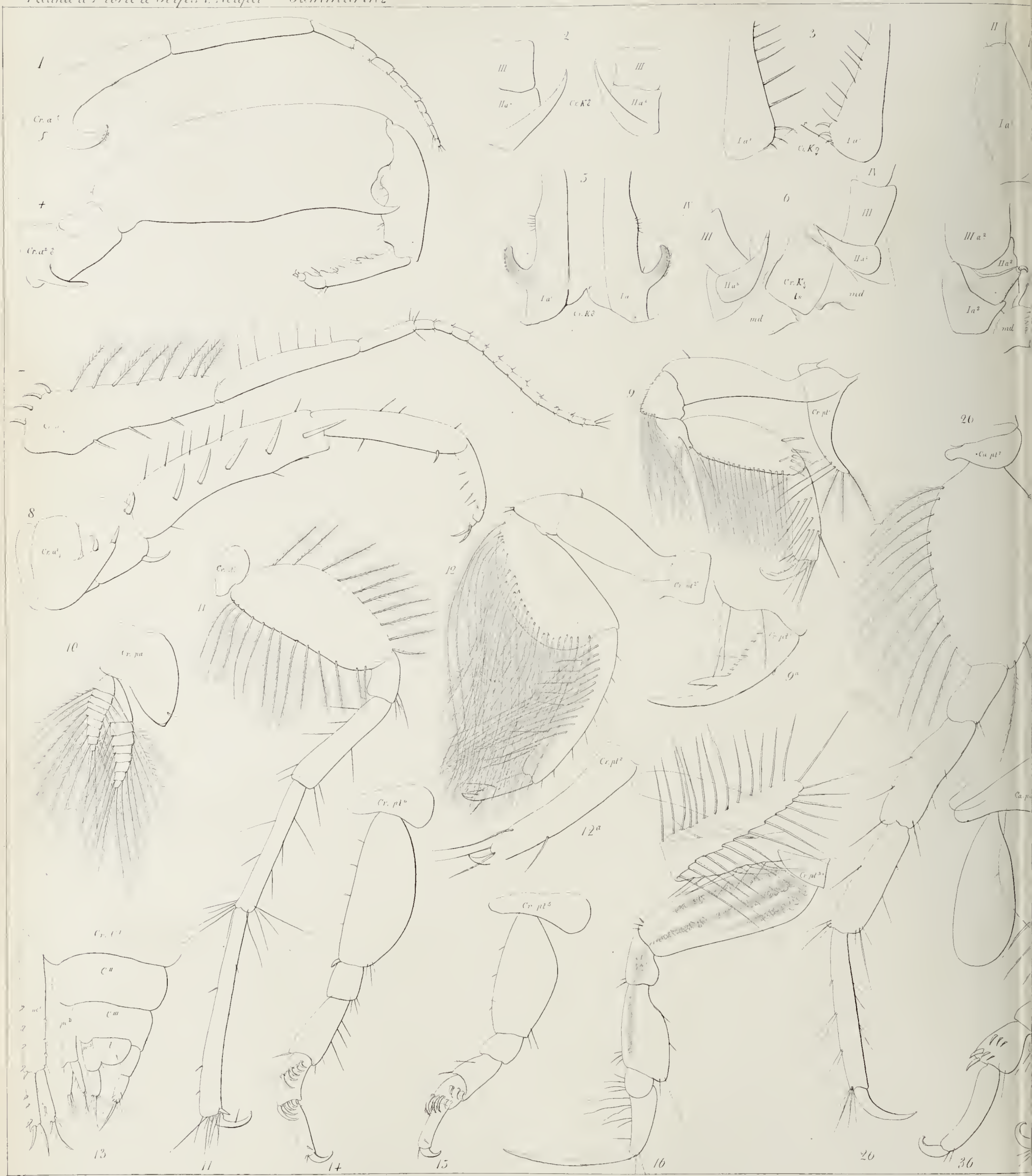

1 Della Valle dis.

Verl v. A. F.

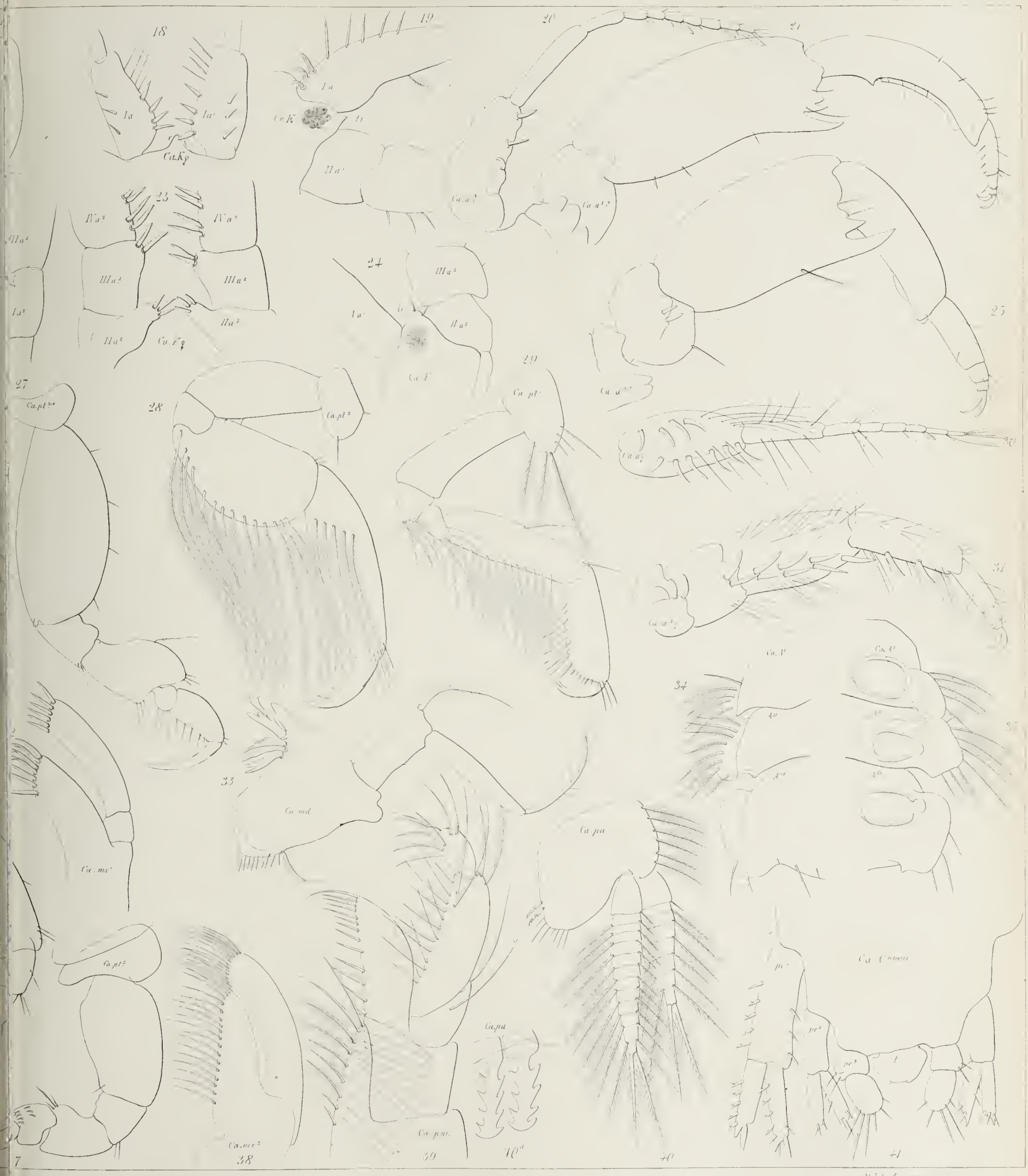
18
19
20
21
23
24
25
27
28
29
30
31
33
34
35
38
39
40
41
Ca.Kp
Ca.md
Ca.ms¹
Ca.ms²
Ca.pa
Ca.pm
Ca.pt¹
Ca.pt²
Ca.K
Ca.V
Ca.A¹
Ca.Cmm
Ca.a¹
Ca.a²
Ca.a³
Ca.a⁴
Ca.a⁵
Ia
Ia'
Ib
IIa'
IIIa²
IVa²
Ia²
IIa²
pc¹
pc²
pc³

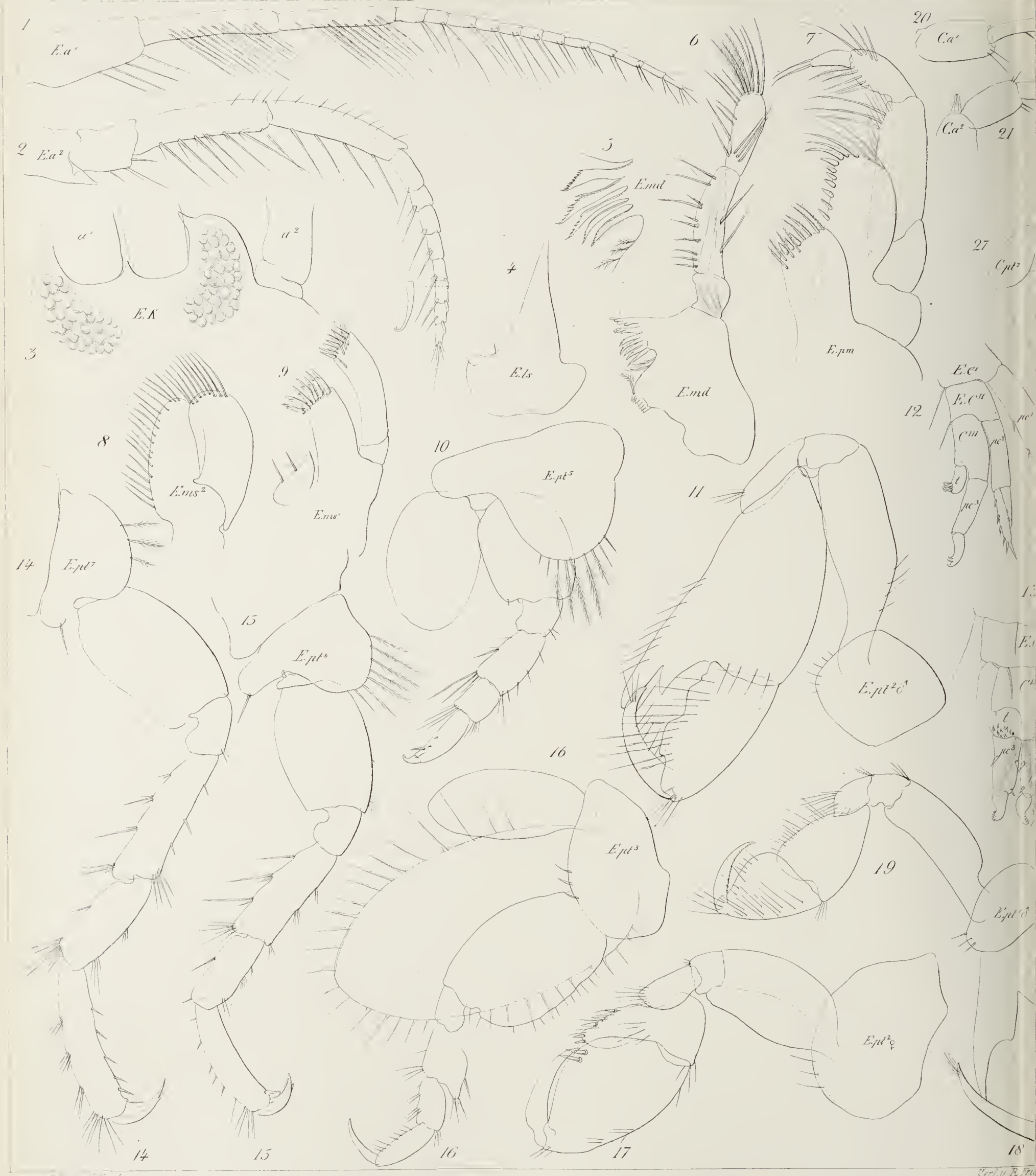

Jean Vaile dis.

Verl. v. R. Fru

E.

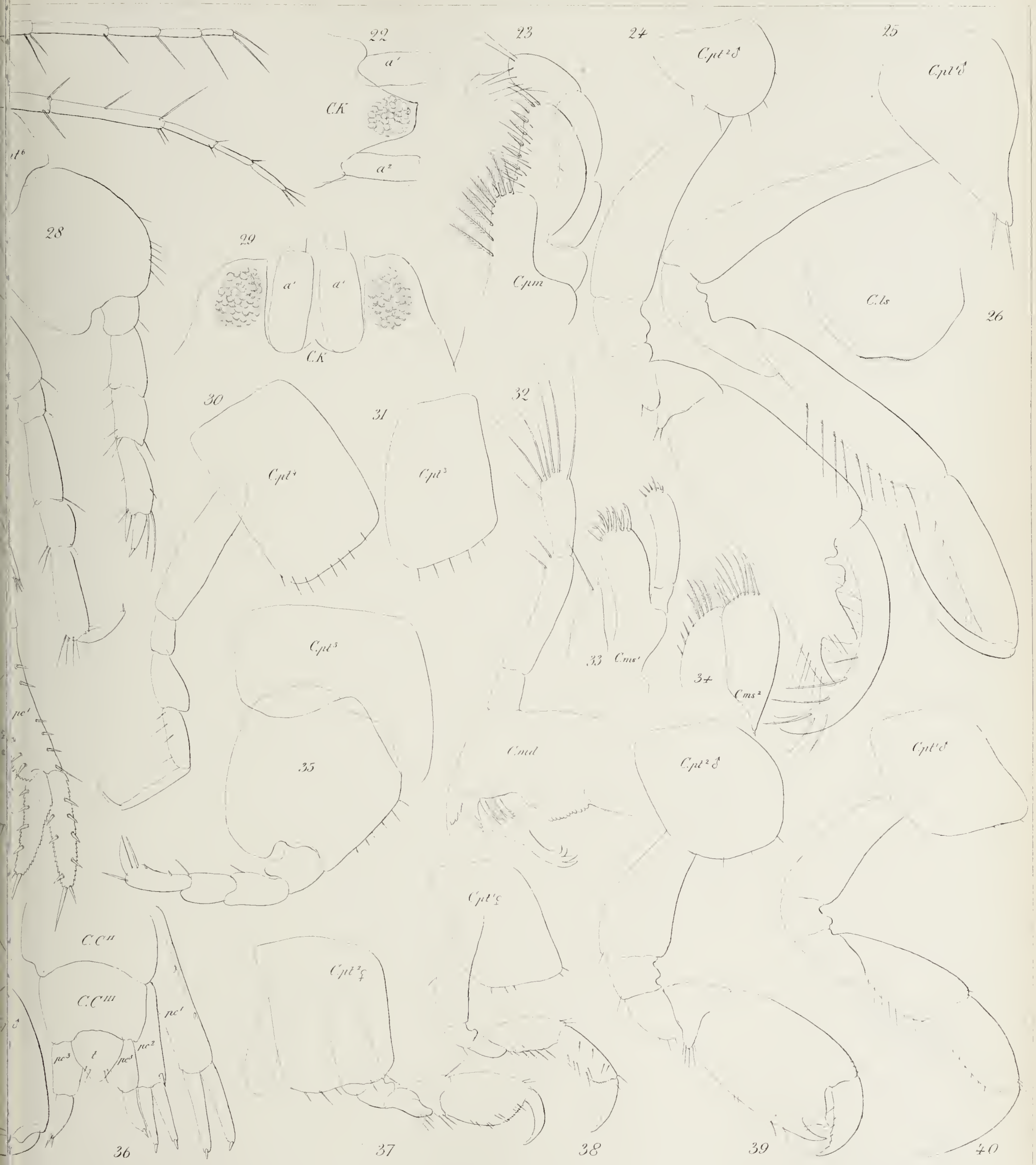

Sohn-Berlin

Stab. d. Stroz. Napoli.

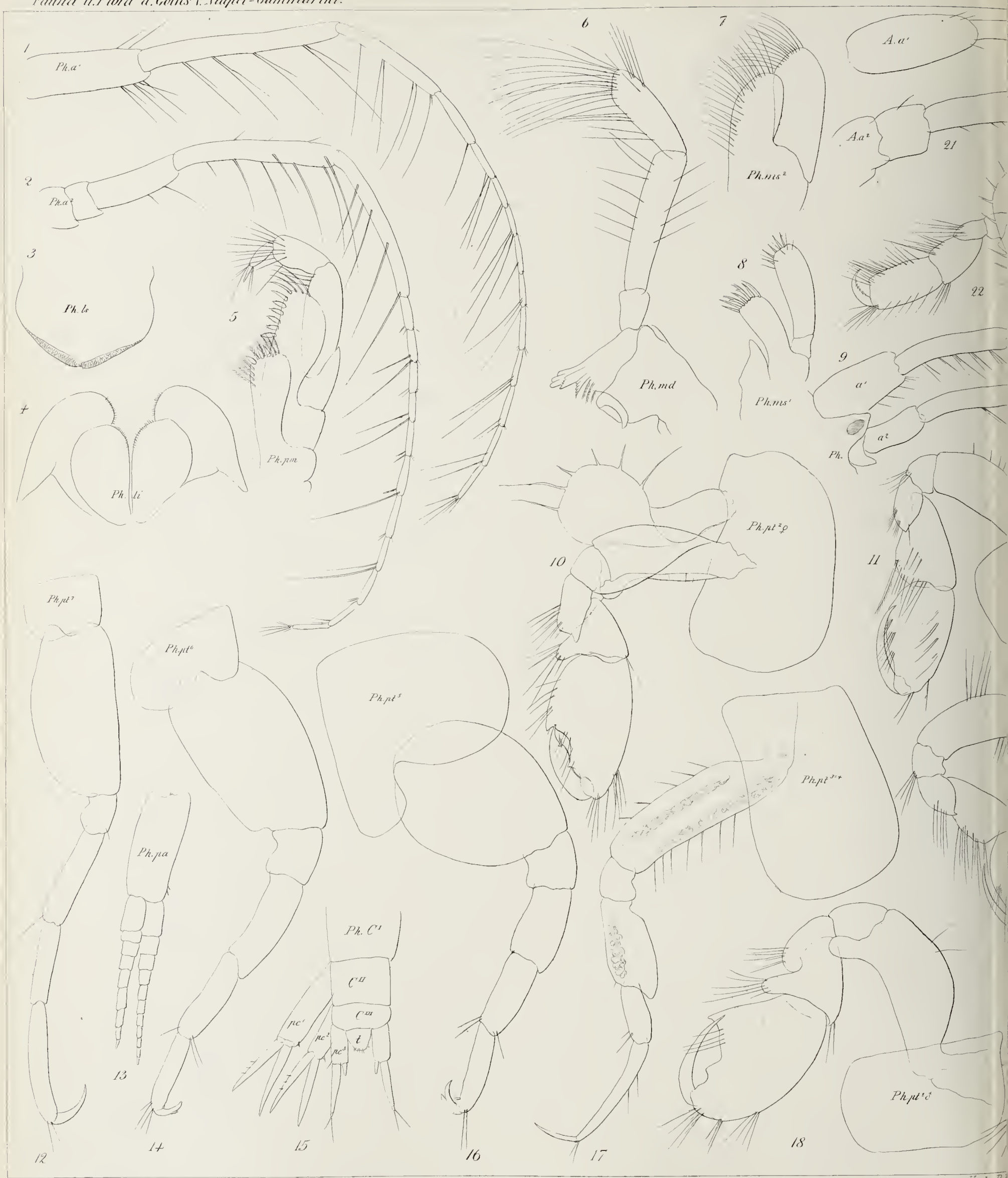

A. Della Valle dis.

Verl. v. R.

Ph.

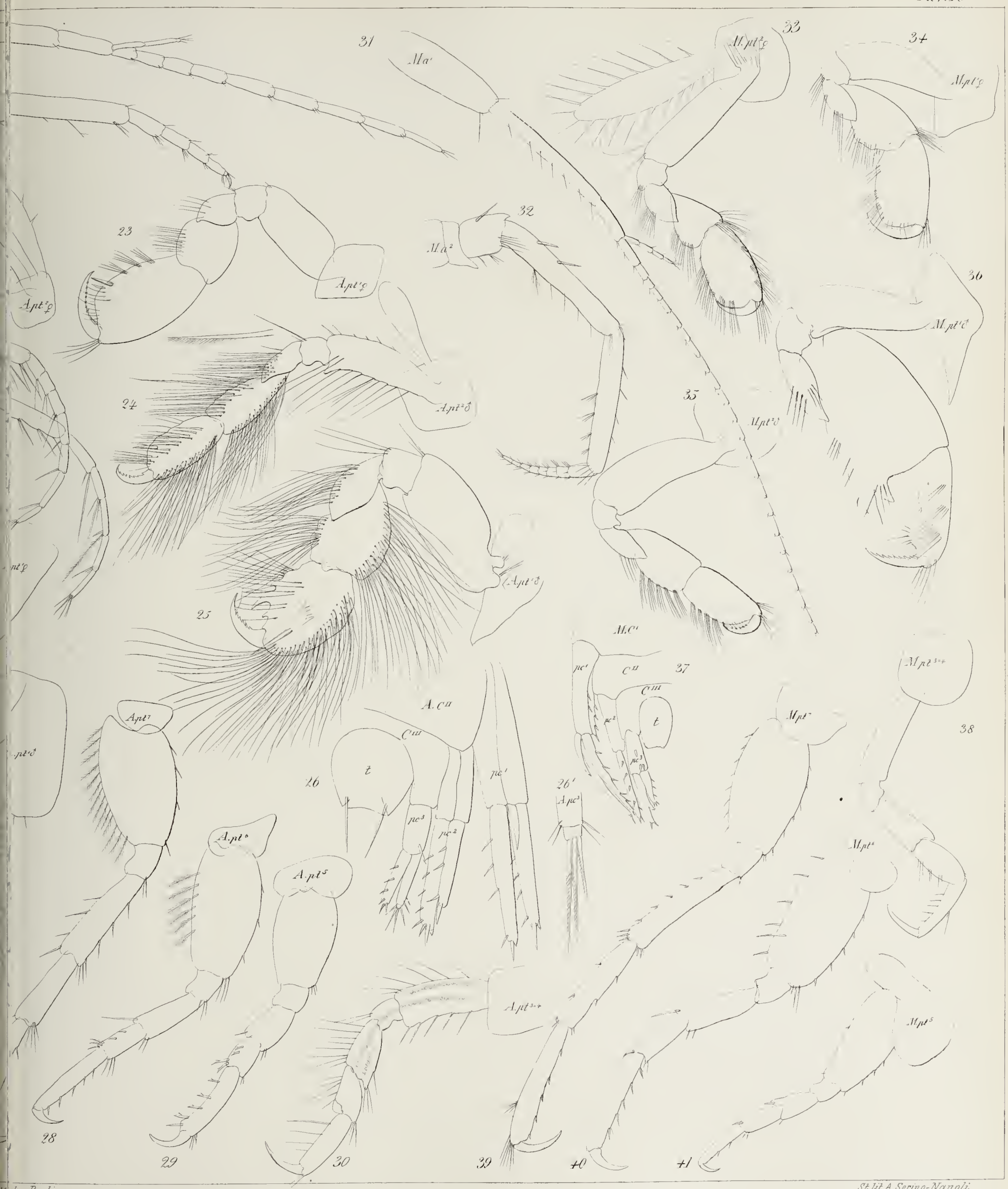

hn-Berlin.

St. lit. A. Serino-Napoli.

A.

M.

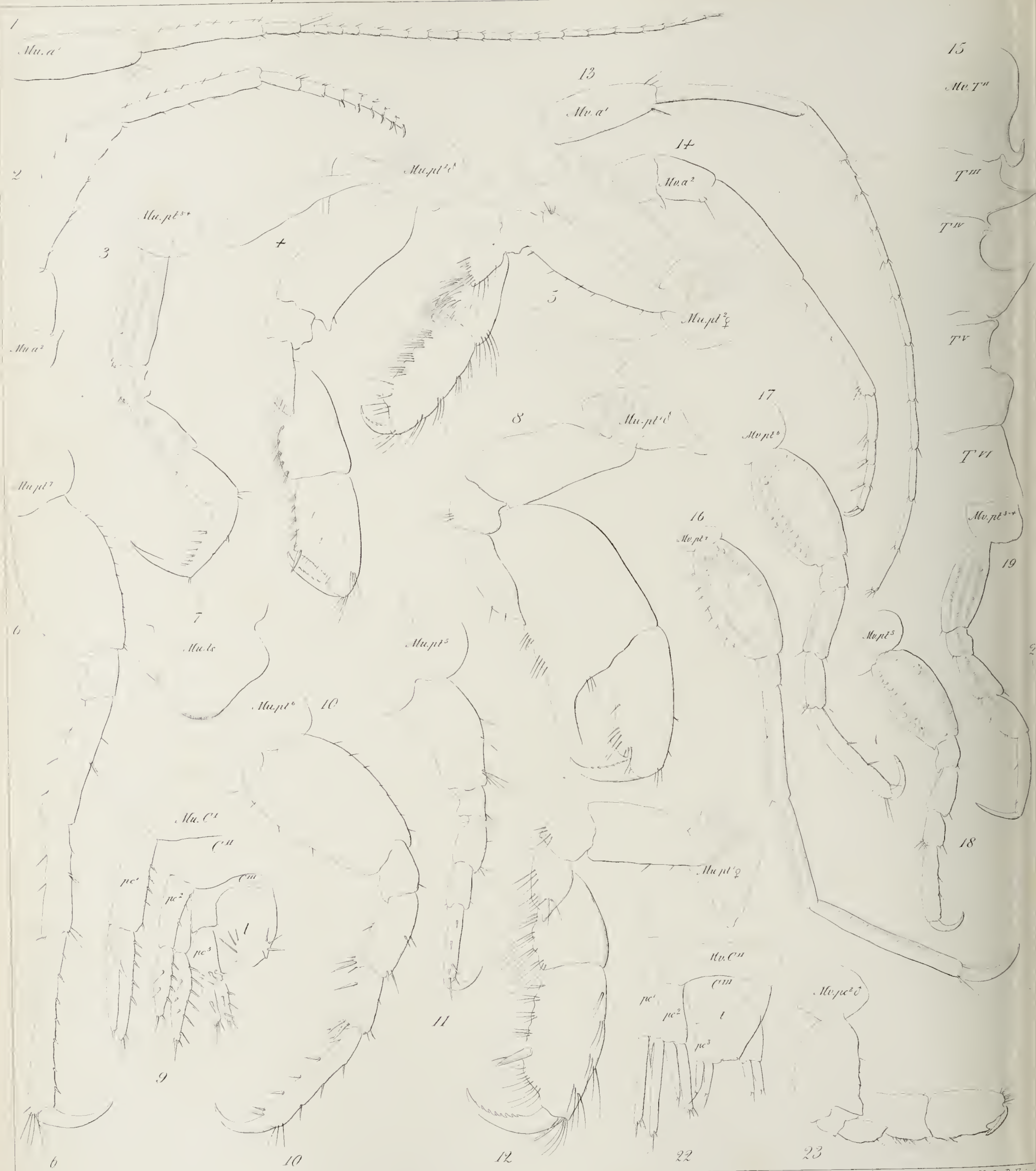

A. Della Valle dis.

Verl. v. R. Fried

Mu.

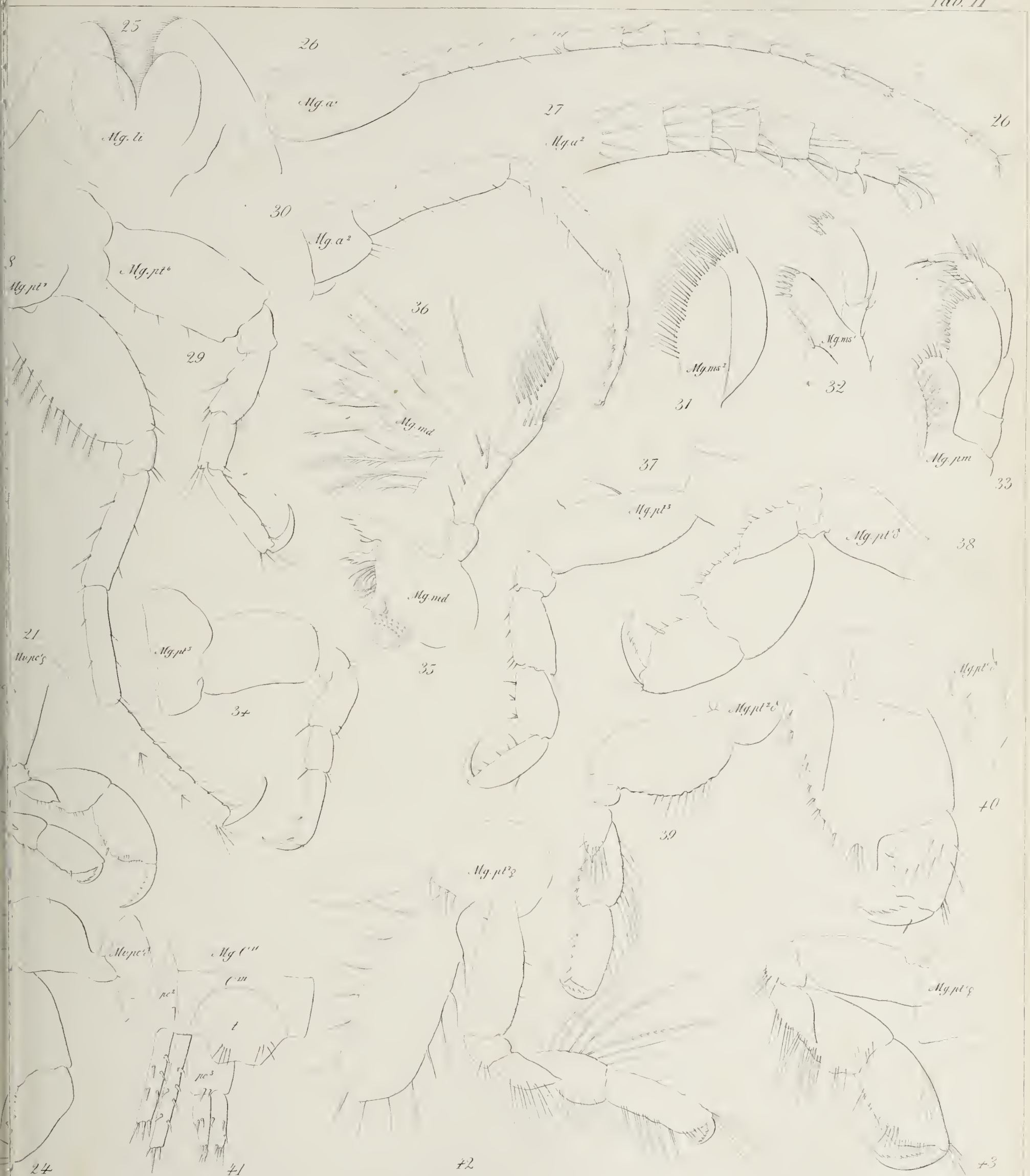
25
26
Mg. a¹
Mg. li
27
Mg. a²
26
30
Mg. a²
8
Mg. pt¹
Mg. pt⁶
36
29
Mg. ms²
Mg. ms¹
32
31
Mg. md
Mg. pm
37
33
Mg. pt³
Mg. pt⁵
38
Mg. md
21
Mg. pc⁵
Mg. pt⁵
35
34
Mg. pt¹
Mg. pt²
40
39
Mg. pt²
Mg. pc³
Mg. C'''
C'''
pc²
t
pc⁵
Mg. pt⁴
24
41
42
43

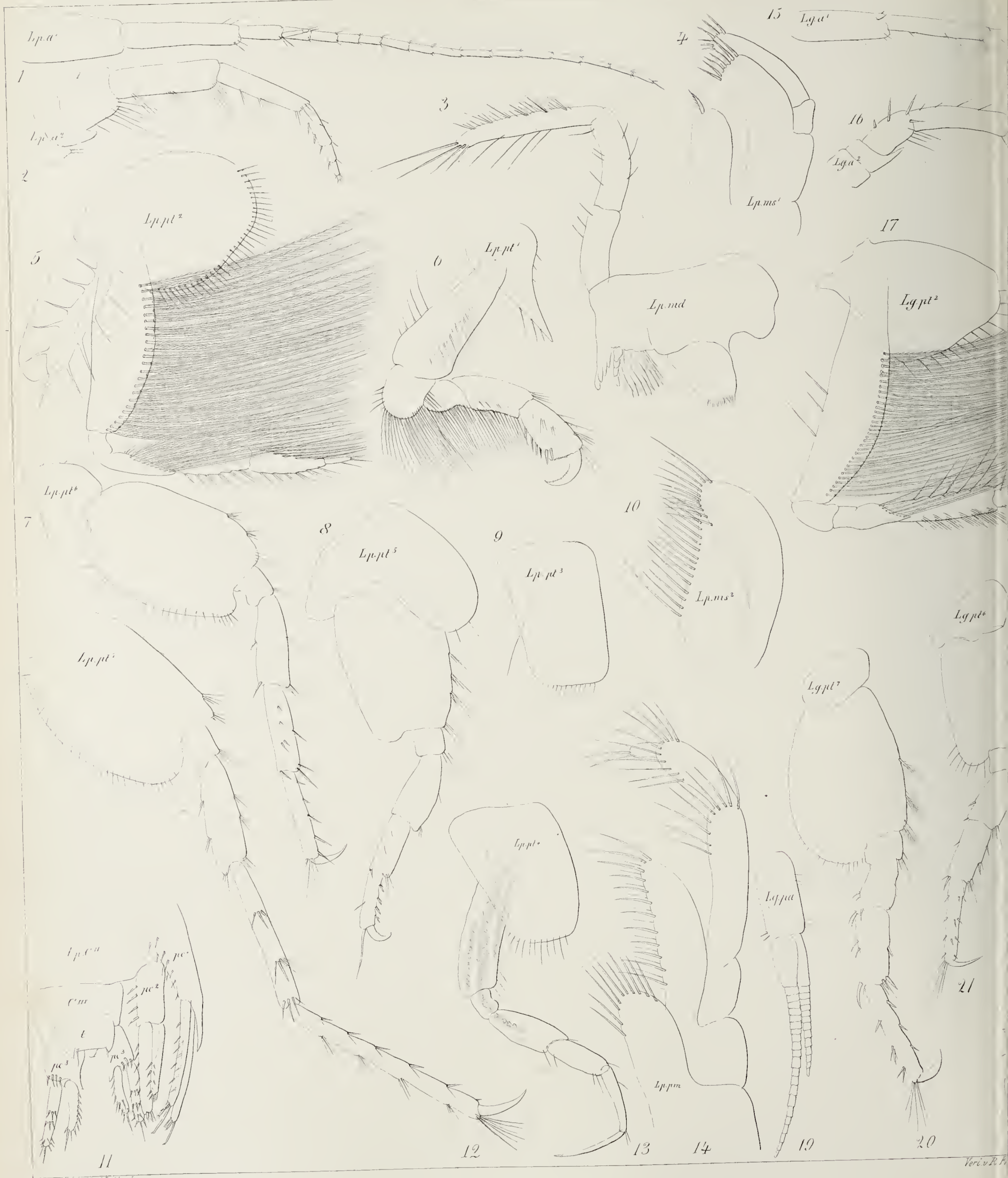
Lp.a¹
Lp.a²
Lp.pt²
Lp.pt¹
Lp.md
Lp.ms¹
Lg.a¹
Lg.a²
Lg.pt²
Lp.pt⁶
Lp.pt⁵
Lp.pt³
Lp.ms²
Lg.pt⁶
Lp.pt⁴
Lg.pt⁷
Lp.pt⁷
Lg.pu
Lp.pm
Lp.c''
Lp.c'''
Lp.t
Lp.pe¹
Lp.pe²
Lp.pe³
1
2
3
4
5
6
7
8
9
10
11
12
13
14
15
16
17
19
20
21
A. Delin. Valle des.
Verl. v. R. F.

Lp.

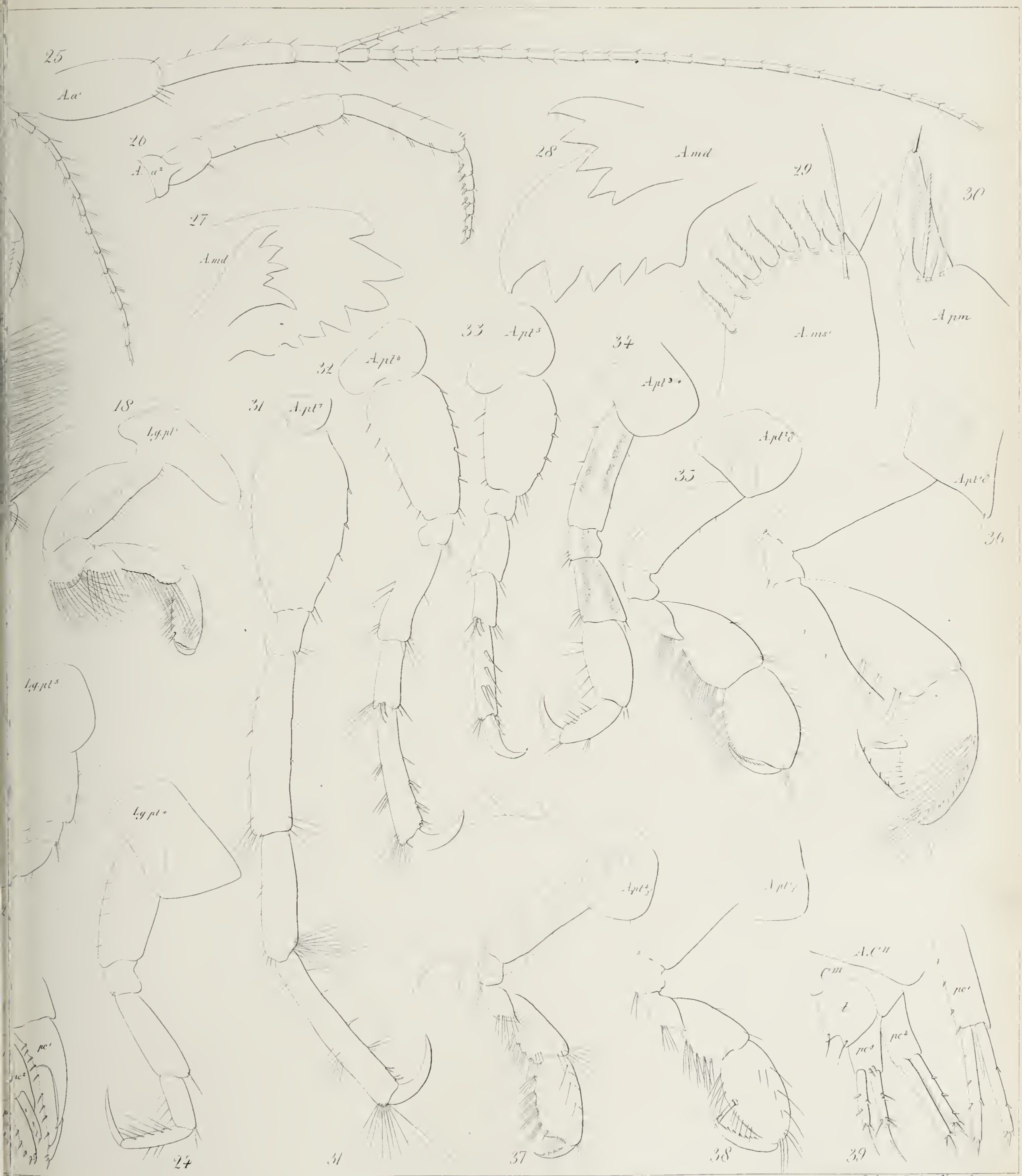
25
A.a¹
26
A.a²
27
A.md
28
A.md
29
30
A.pm
A.ms¹
33
A.pt⁵
34
A.pt³
32
A.pt⁶
31
A.pt⁷
18
Lg.pt¹
A.pt²δ
35
A.pt²c
36
Lg.pt⁵
Lg.pt⁴
A.pt²γ
A.pt¹γ
A.C^III
C^III
t
pc¹
pc²
pc³
pc¹
pc²
24
31
37
38
39

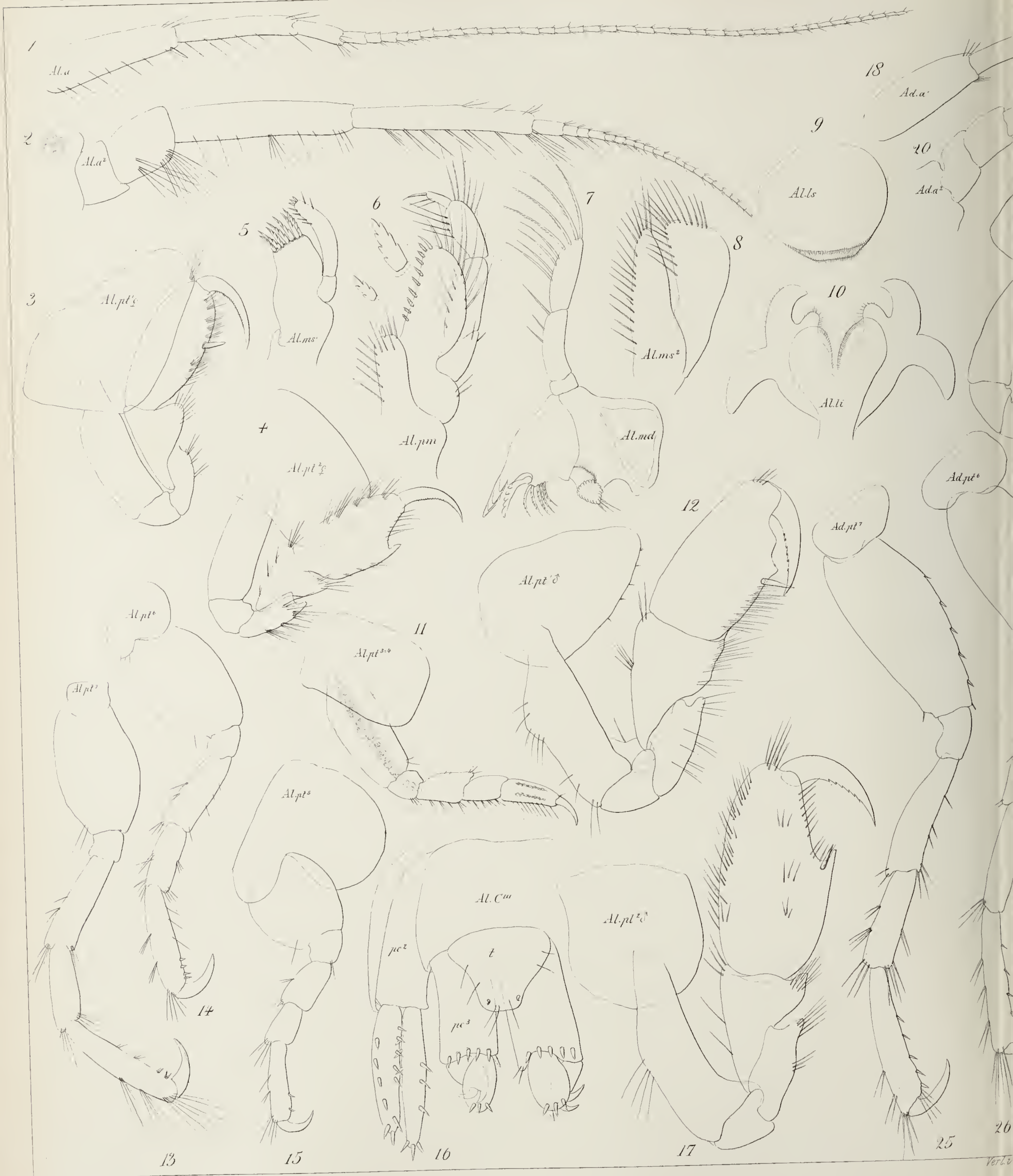
1
Al.a
2
Al.a²
3
Al.pt¹♀
4
Al.pt²♀
5
Al.ms¹
6
Al.pm
7
Al.md
8
Al.ms²
9
Al.ls
10
Al.li
11
Al.pt³·⁴
12
Al.pt¹♂
13
Al.pt⁶
14
Al.pt⁷
15
Al.pt⁵
16
Al.C^III
pc²
t
pc³
17
Al.pt²♂
18
Ad.a¹
19
Ad.a²
20
Ad.pt⁶
21
Ad.pt⁷
25
26
A. Della Valle dis.
Verl. v.

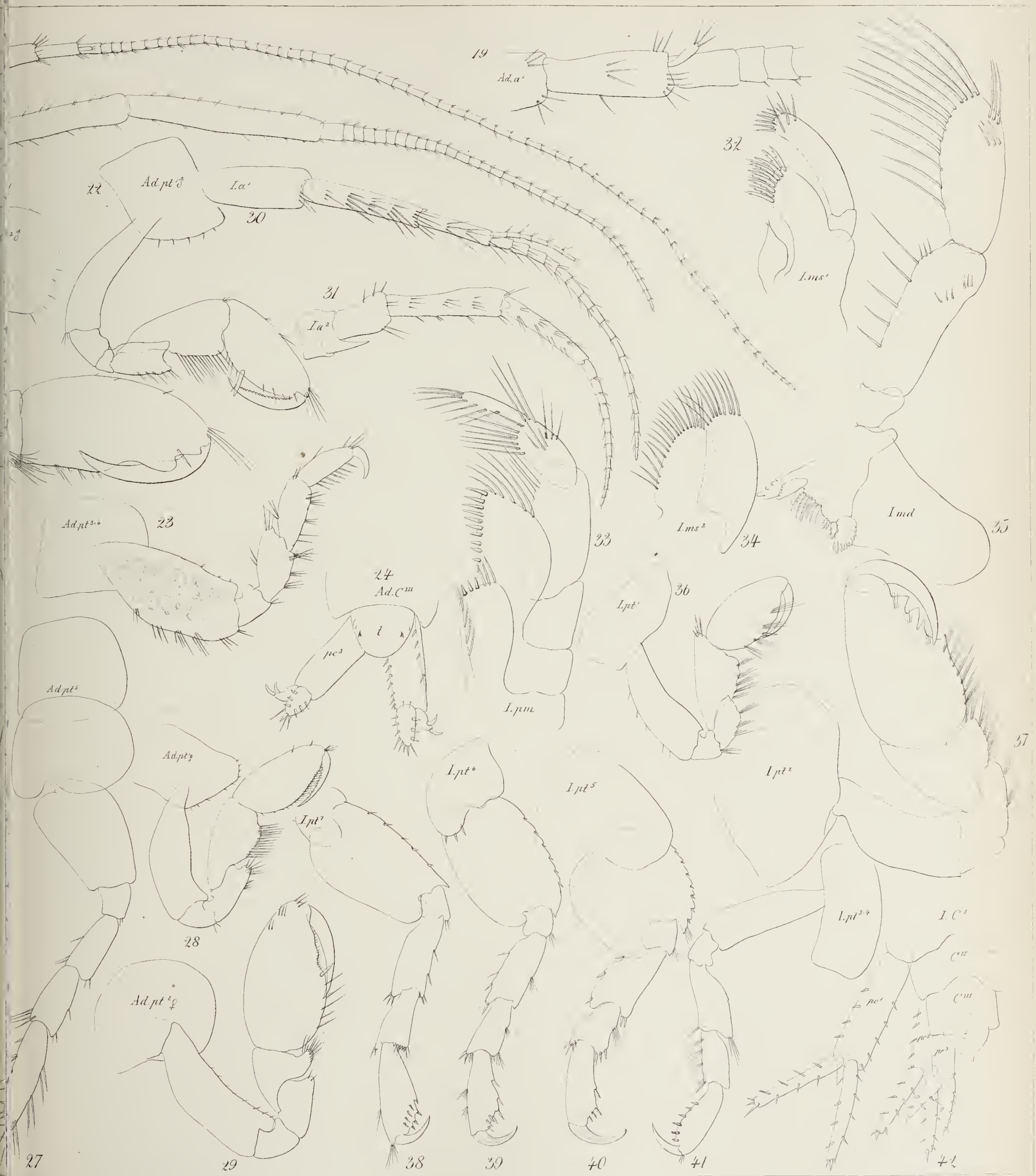

...r & Sohn-Berlin

Ct. lit. A. Cerrato-Napoli

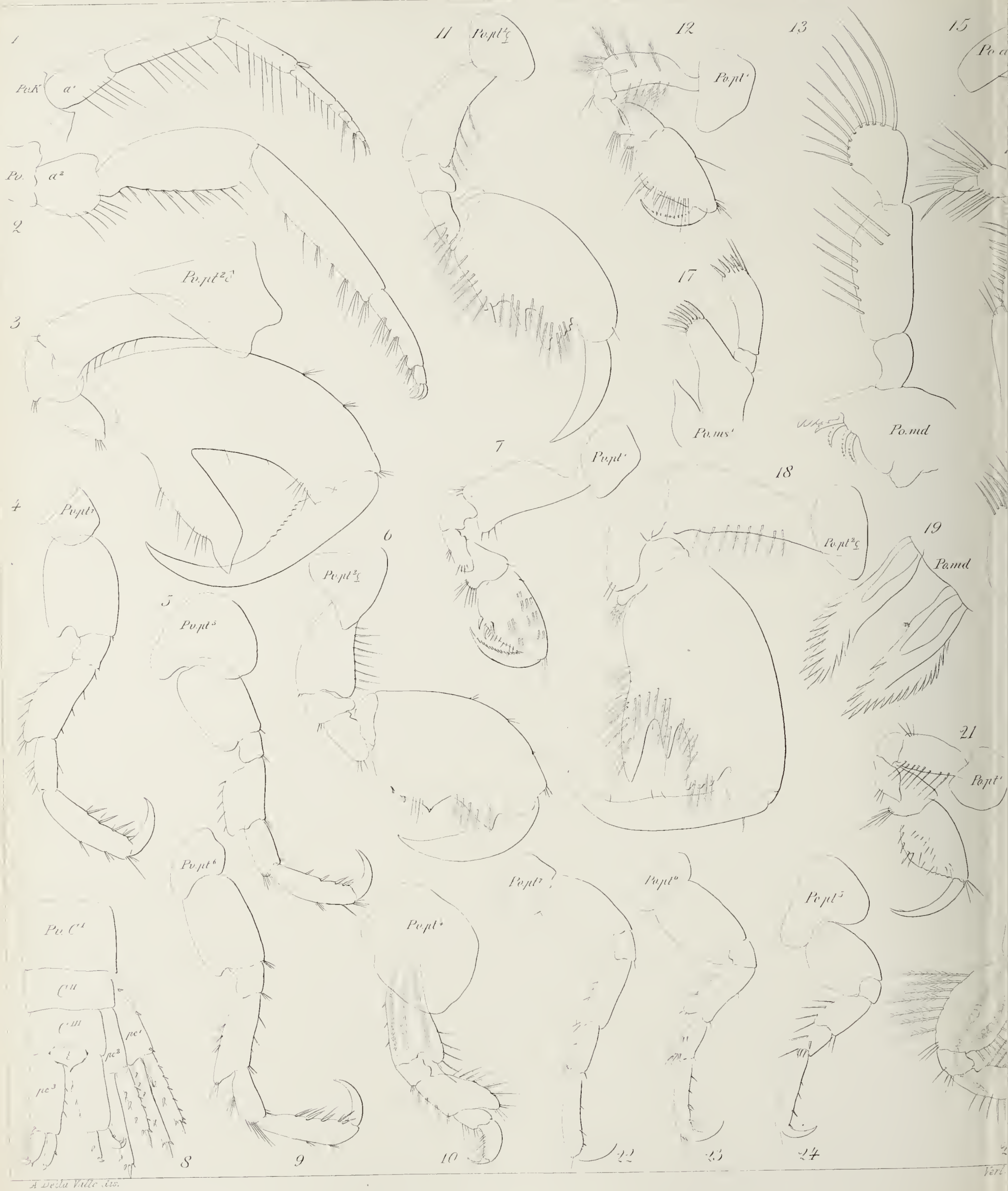
1
Po.K
a'
Po.
a²
2
Po.pt²c
3
4
Po.pt¹
5
Po.pt³
6
Po.pt²ç
7
Po.pt'
8
Po.pt⁶
9
Po.pt⁴
10
Po.pt⁷
11
Po.pt¹ç
12
Po.pt'
13
Po.md
15
17
Po.ms'
18
Po.pt²ç
19
Po.md
21
Po.pt'
22
Po.pt⁶
23
Po.pt⁵
24
Pv. C¹
C^II
C^III
pc¹
pc²
pc³
A. Della Valle dis.
Verl.

Pv.

Po.

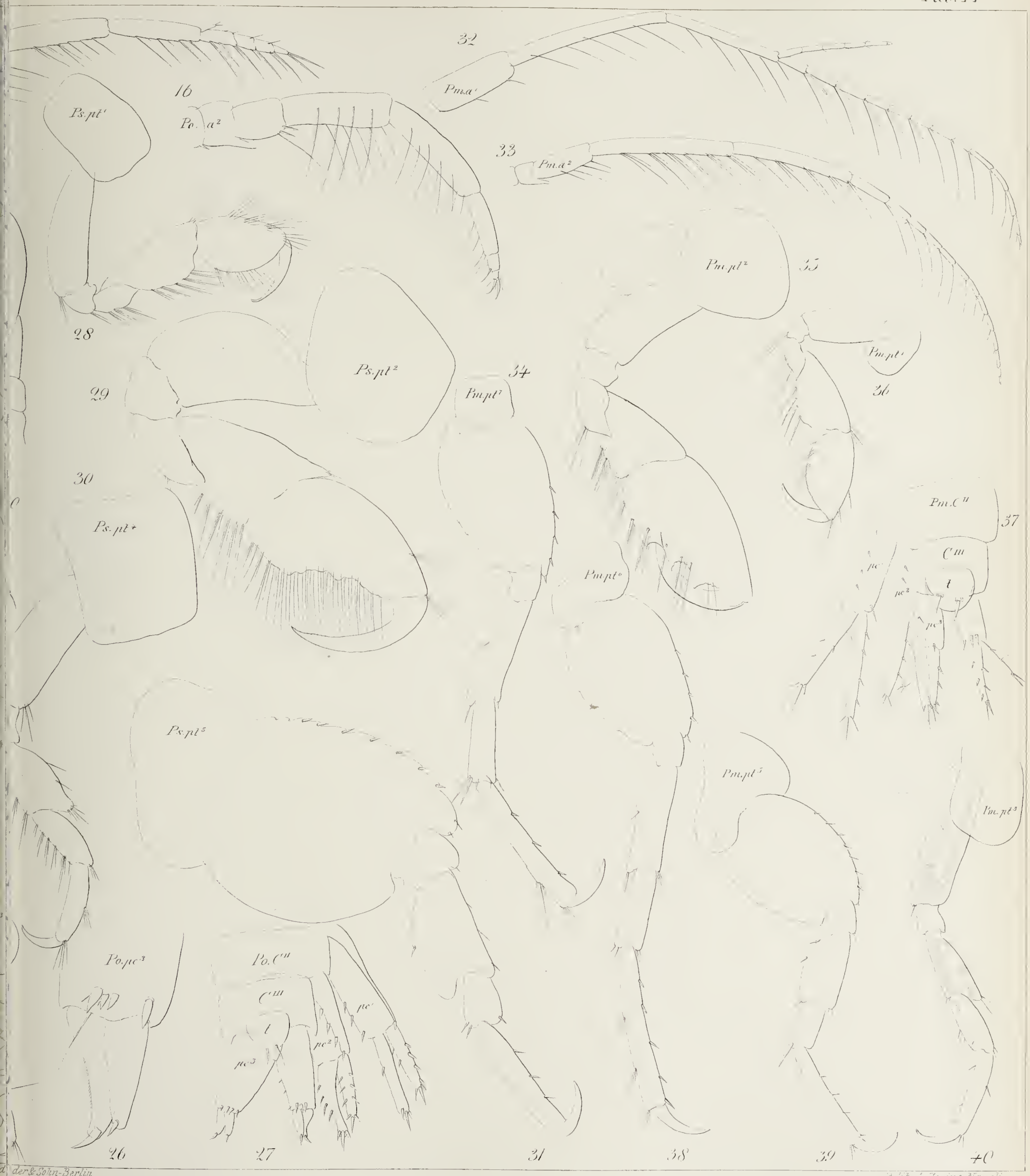

der & Sohn-Berlin

Lit. A. Sering. Wien

Ps. Pm.

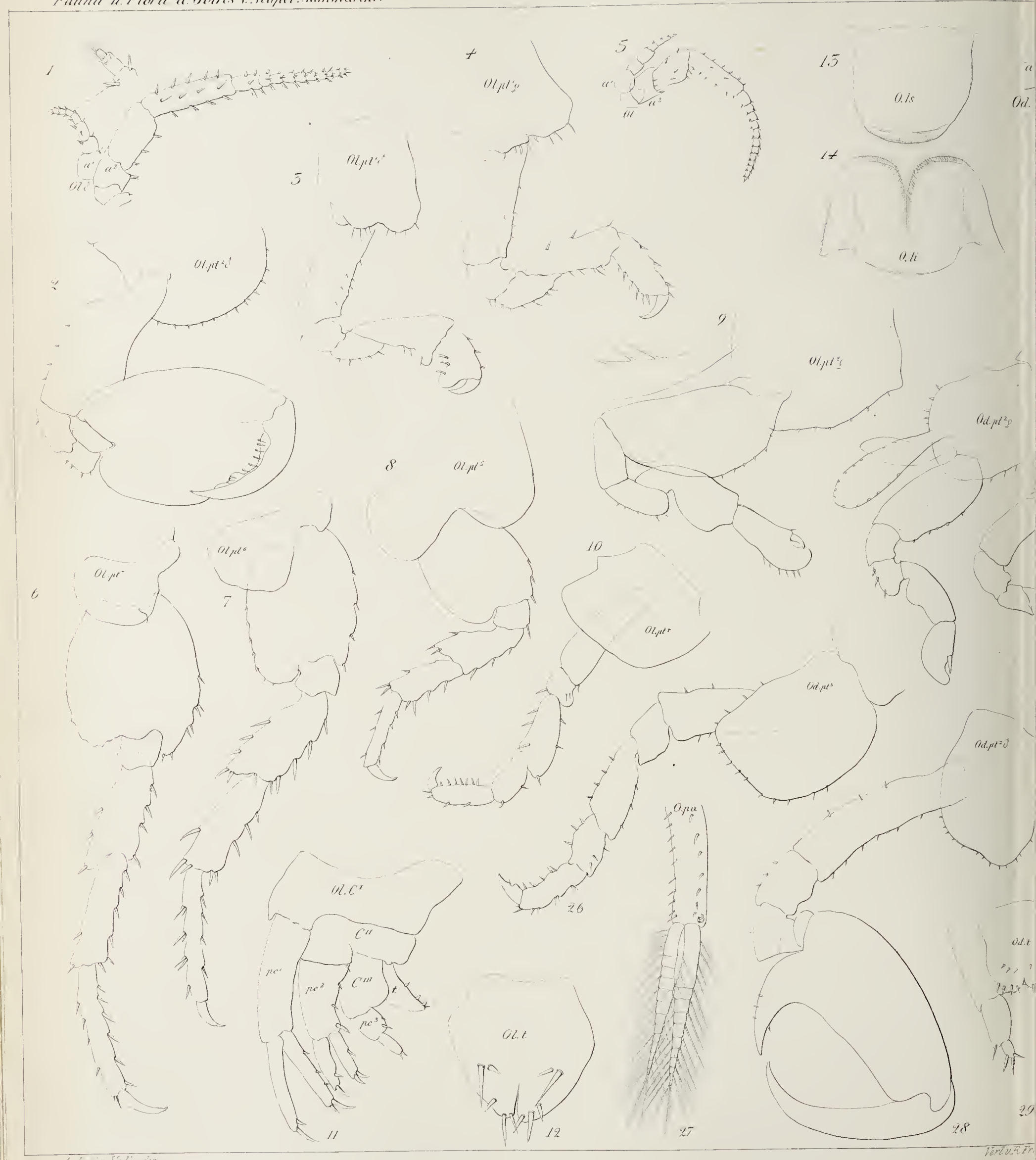

A Lucia Valle del.

Verl. v. R. Fr.

Ol.

Od.

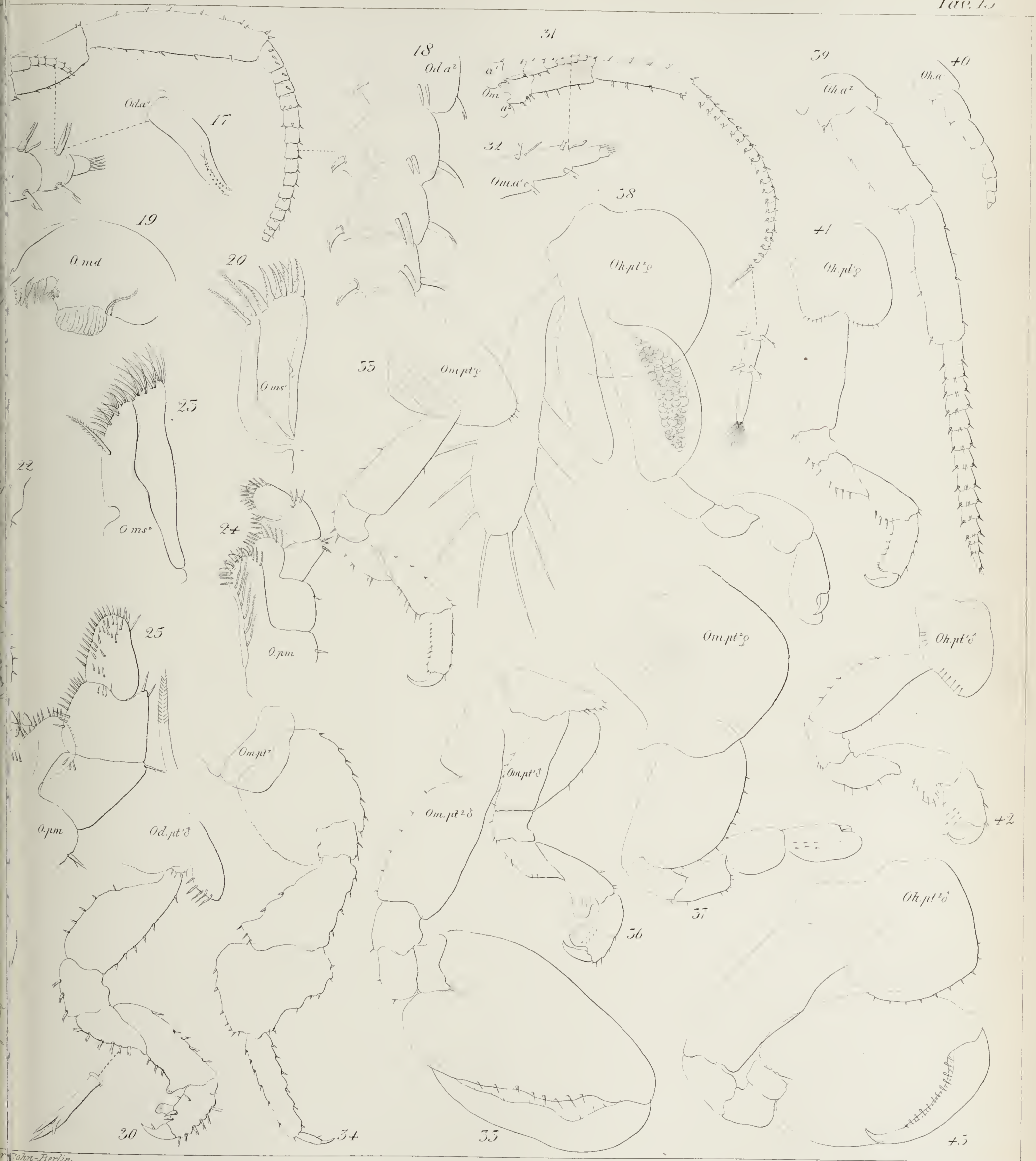

Om.

Oh.

Lith. Kohn-Berlin

Stich A. Sermo-Napoli

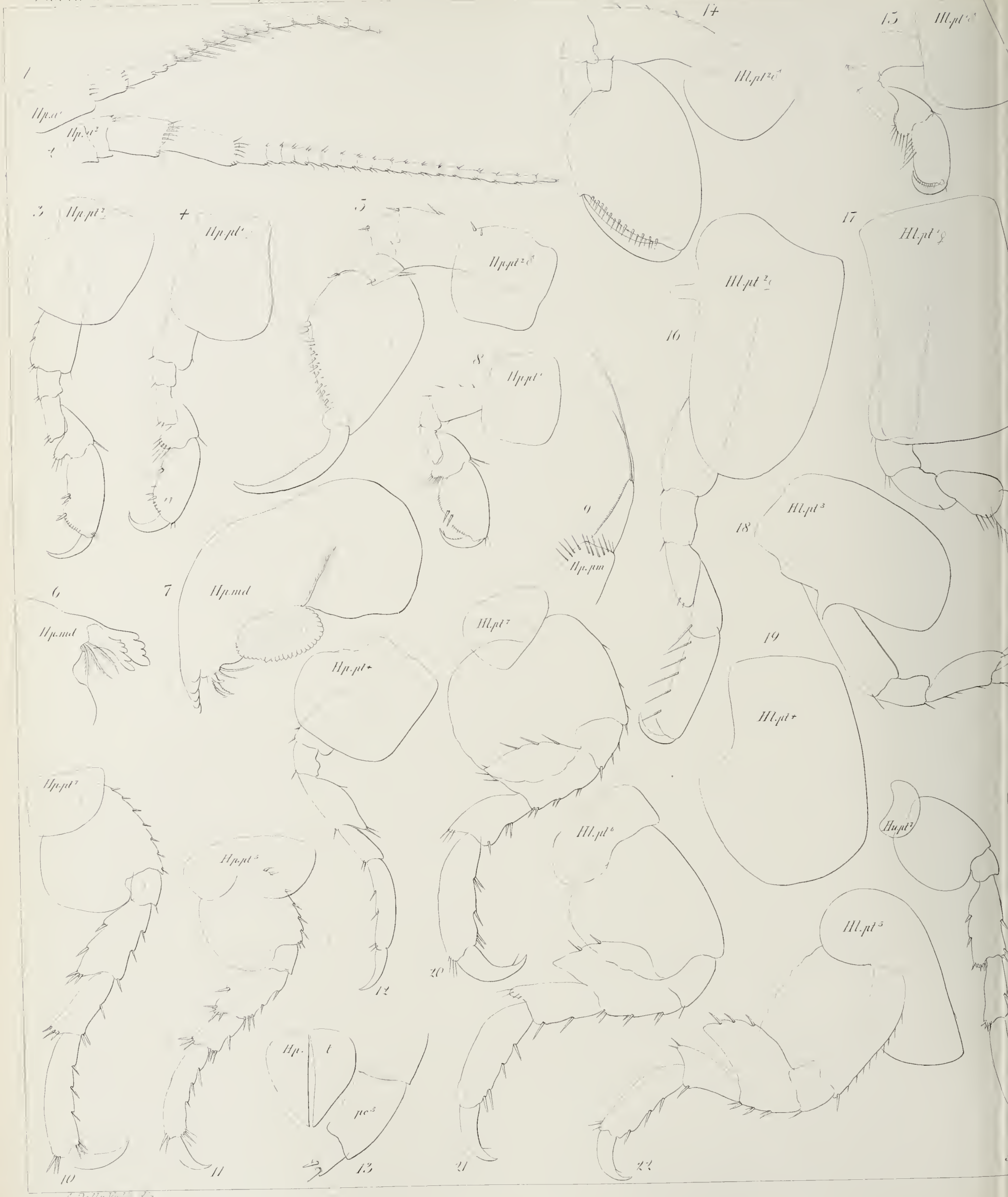

A. Della Valle del.

Hp. Hl.

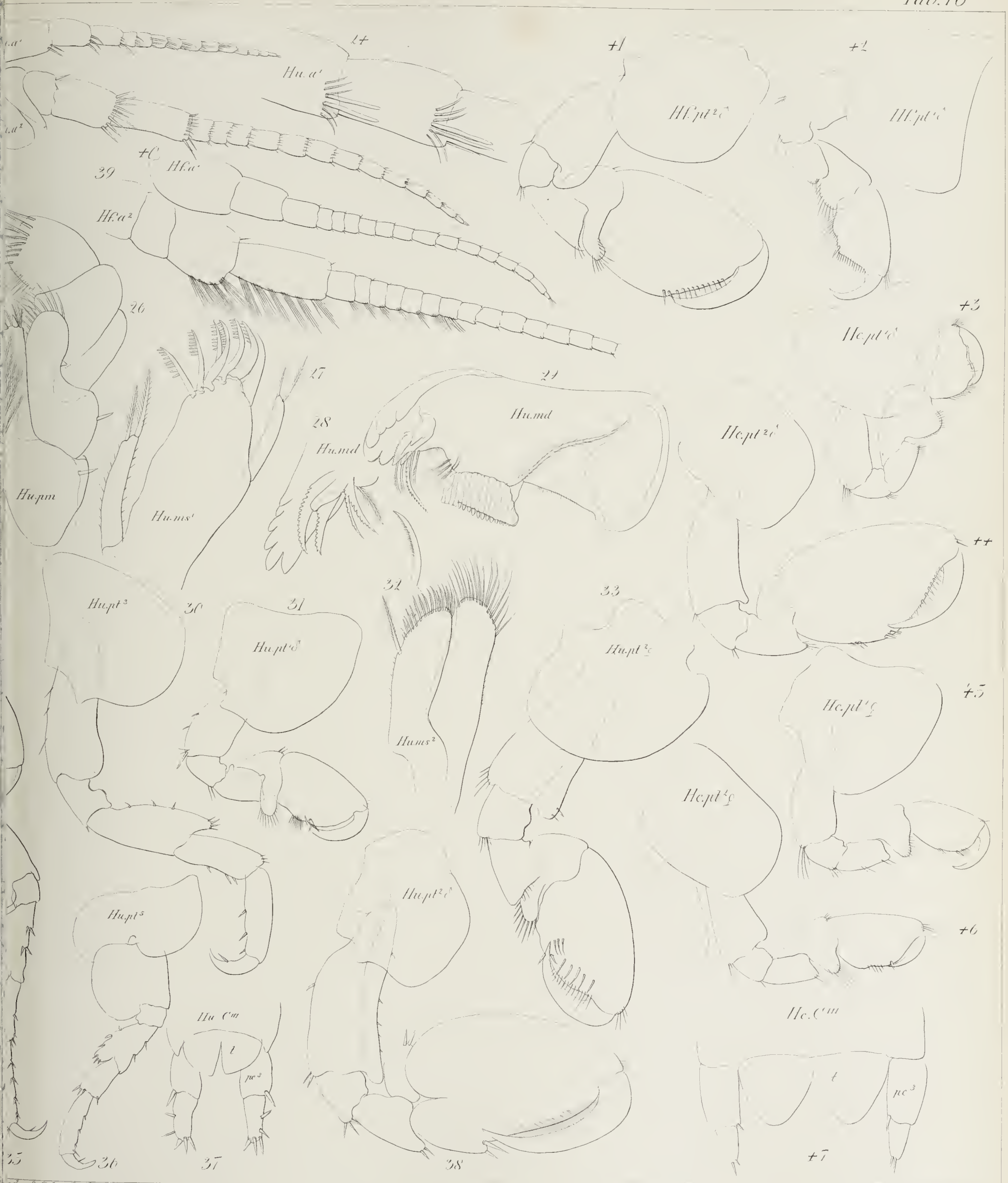

...der & Sohn-Berlin

St. lit. A. Serino-Napoli

Hu. Hf. He.

A. Della Valle dis.

Verl. v. F

1–21. A.

22–36. Ph.

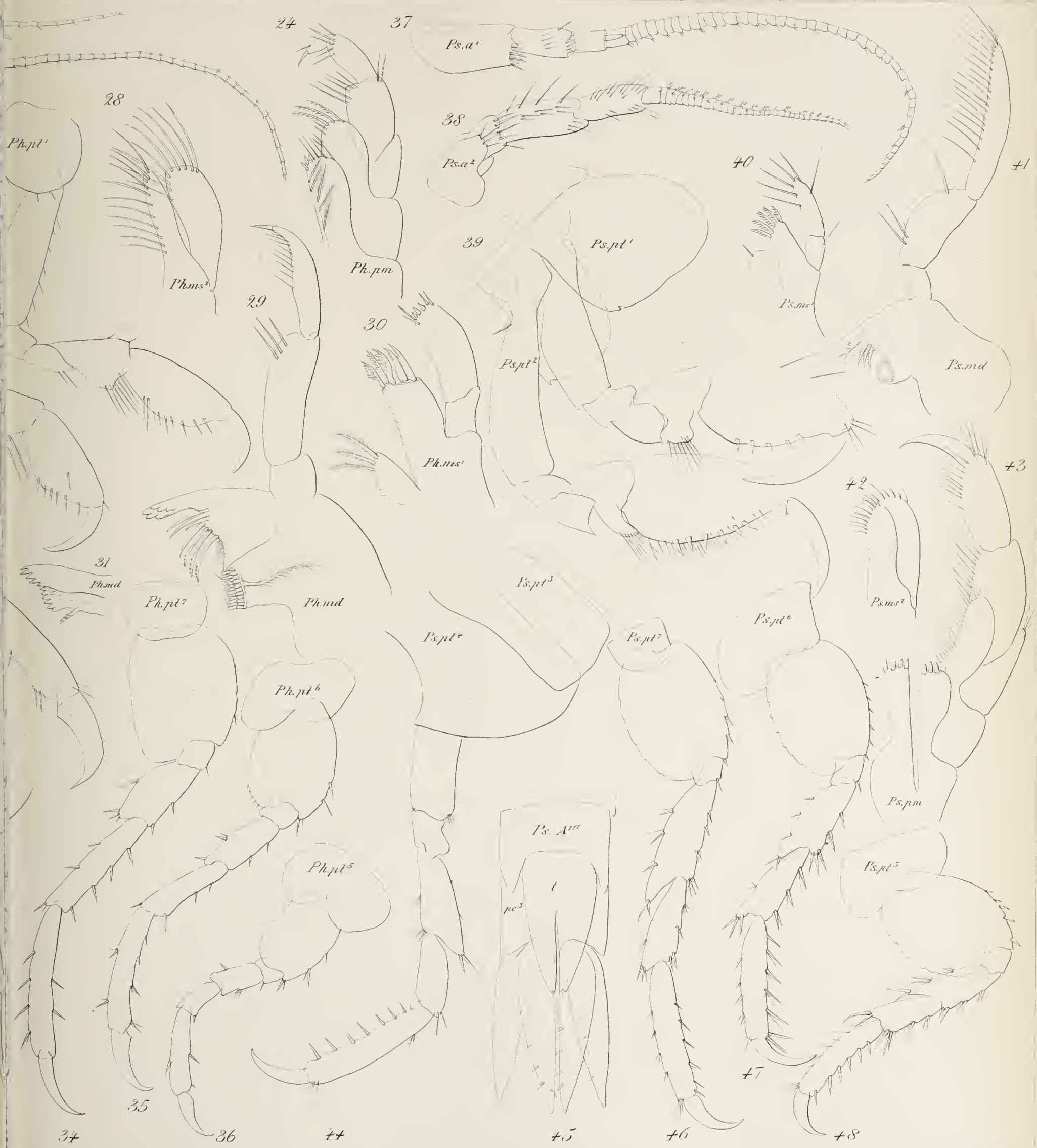

Lith. Sohn-Berlin
Stab. A. Sorino-Napoli

37-48. Ps.

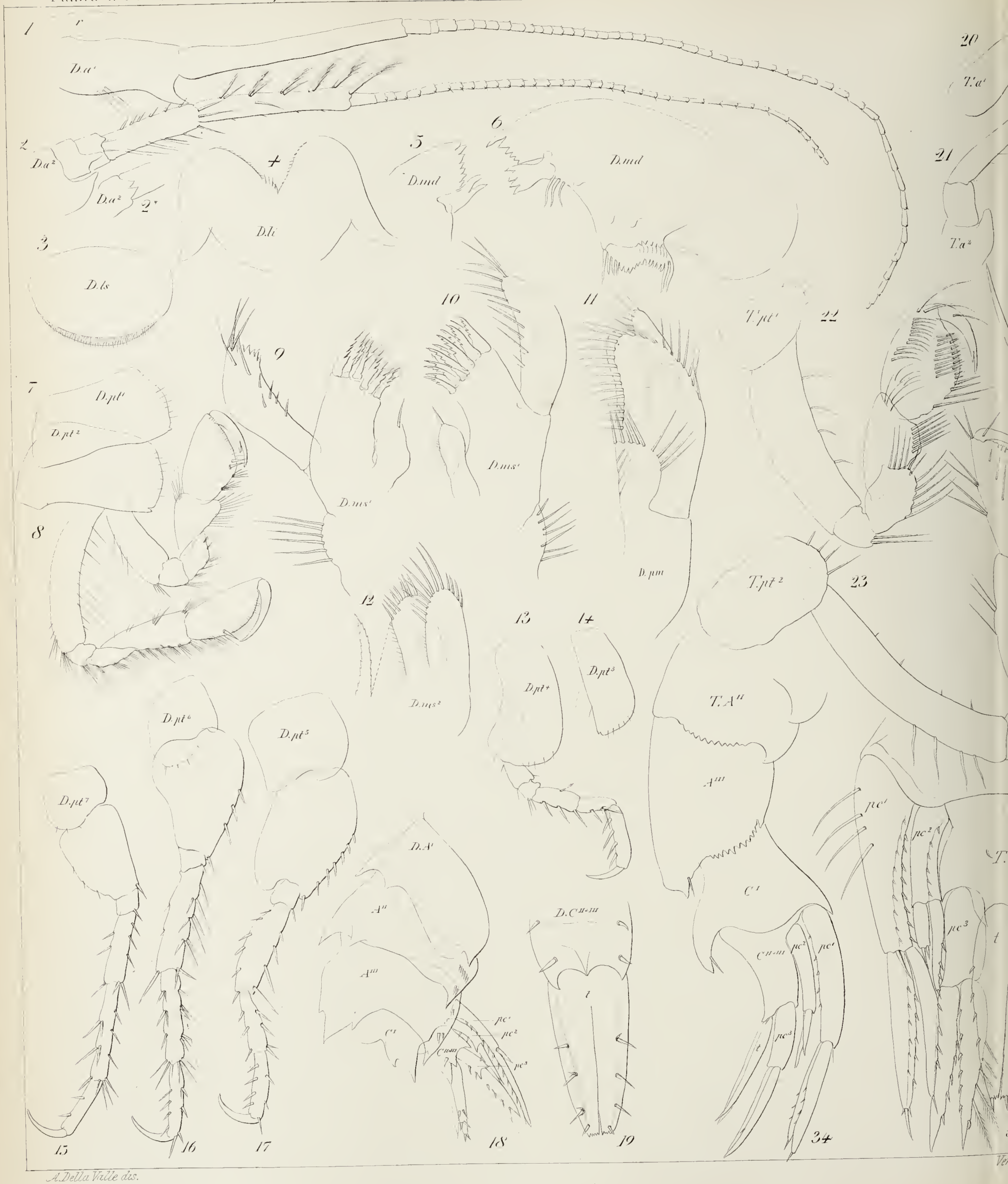
1
r
D.a¹
2
D.a²
D.a²
2*
3
D.ls
4
D.li
5
D.md
6
D.md
7
D.pt¹
D.pt²
8
9
D.ms¹
10
D.ms¹
11
D.pm
12
D.ms²
13
D.pt⁴
14
D.pt³
15
D.pt⁷
16
D.pt⁶
17
D.pt⁵
18
D.A¹
A¹¹
A¹¹¹
C¹
C¹¹⁺¹¹¹
pc¹
pc²
pc³
19
D.C¹¹⁺¹¹¹
t
20
T.a¹
21
T.a²
22
T.pt¹
23
T.pt²
34
T.A¹¹
A¹¹¹
C¹
C¹¹⁺¹¹¹
pc¹
pc²
pc³
t
T.
A. Della Valle dis.
D.
T.

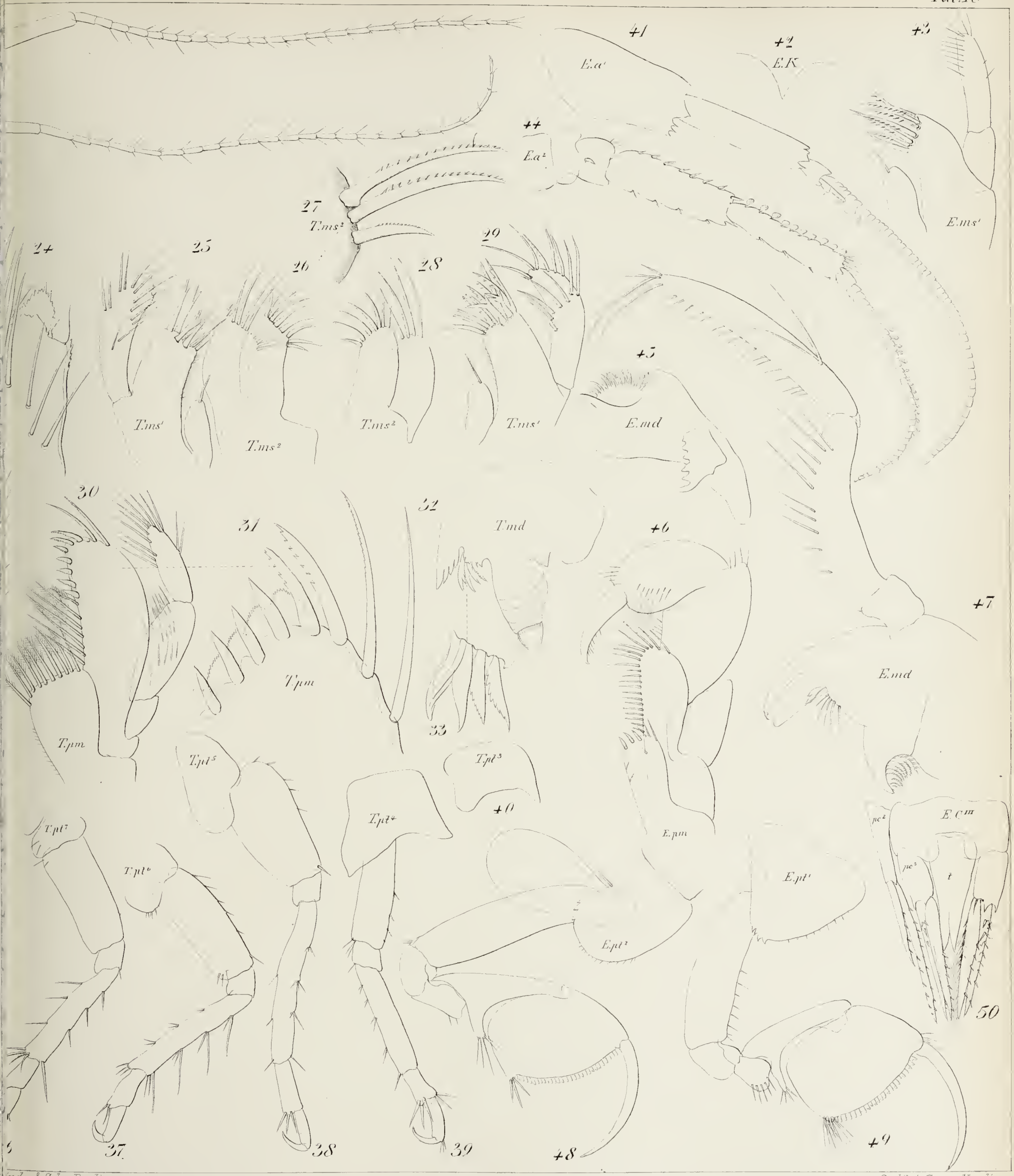

nder & Sohn-Berlin
St. lit. A. Serino-Napoli

E.

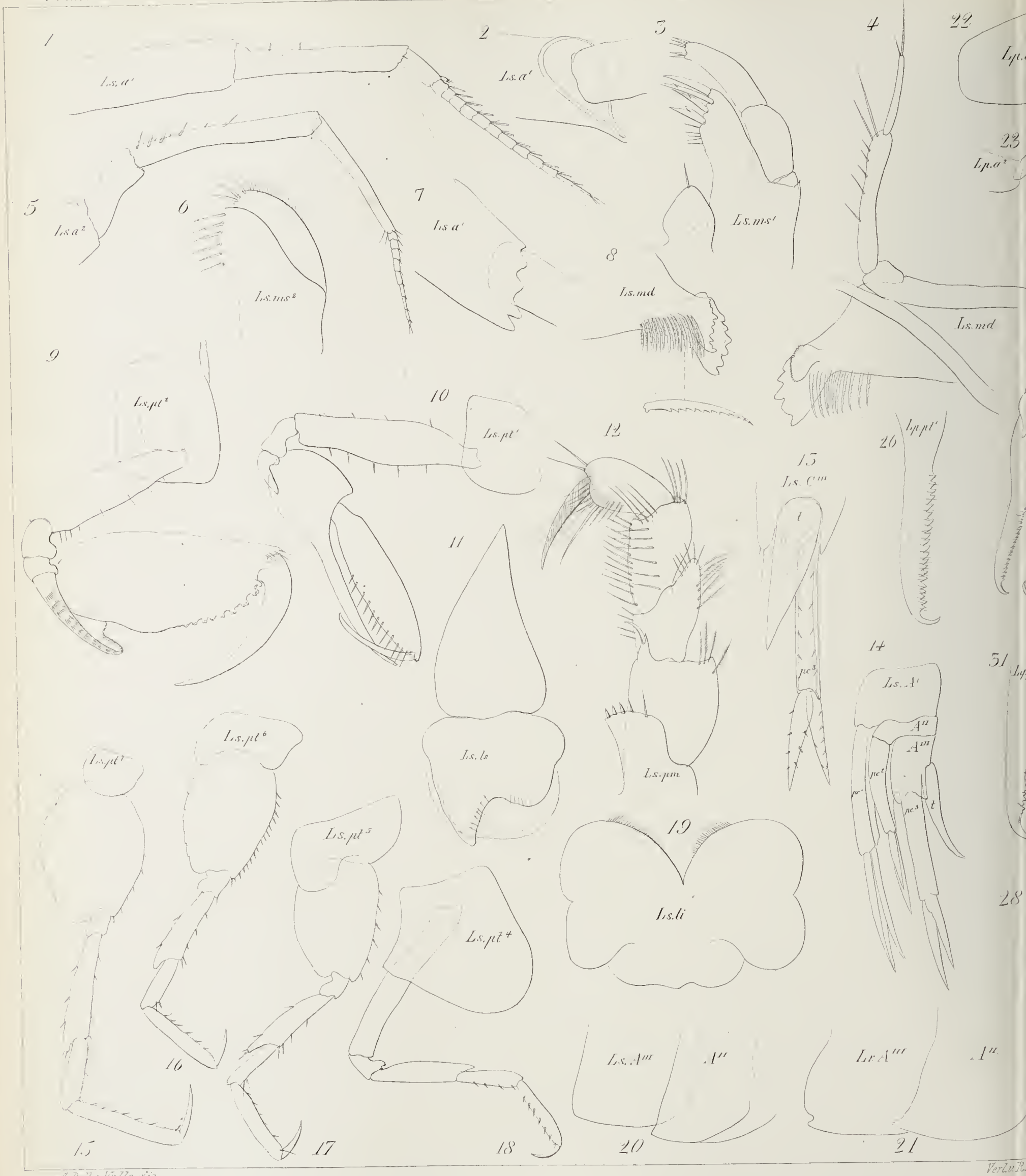
1
Ls. a'
2
Ls. a'
3
Ls. ms'
4
Ls. md
5
Ls. a²
6
Ls. ms²
7
Ls. a'
8
Ls. md
9
Ls. pt²
10
Ls. pt'
11
Ls. ls
12
Ls. pm
13
Ls. C^m
14
Ls. A'
A^II
A^III
pc³
pc⁴
t
15
16
Ls. pt⁷
Ls. pt⁶
17
Ls. pt⁵
18
Ls. pt⁴
19
Ls. li
20
Ls. A^III
A^II
21
Lr. A^III
A^II
22
Lp.
23
Lp. a²
26
Lp. pt'
28
31
Lp.
A. Della Valle dis.
Verl. u. R.

1-20 Ls.

21 Lr.

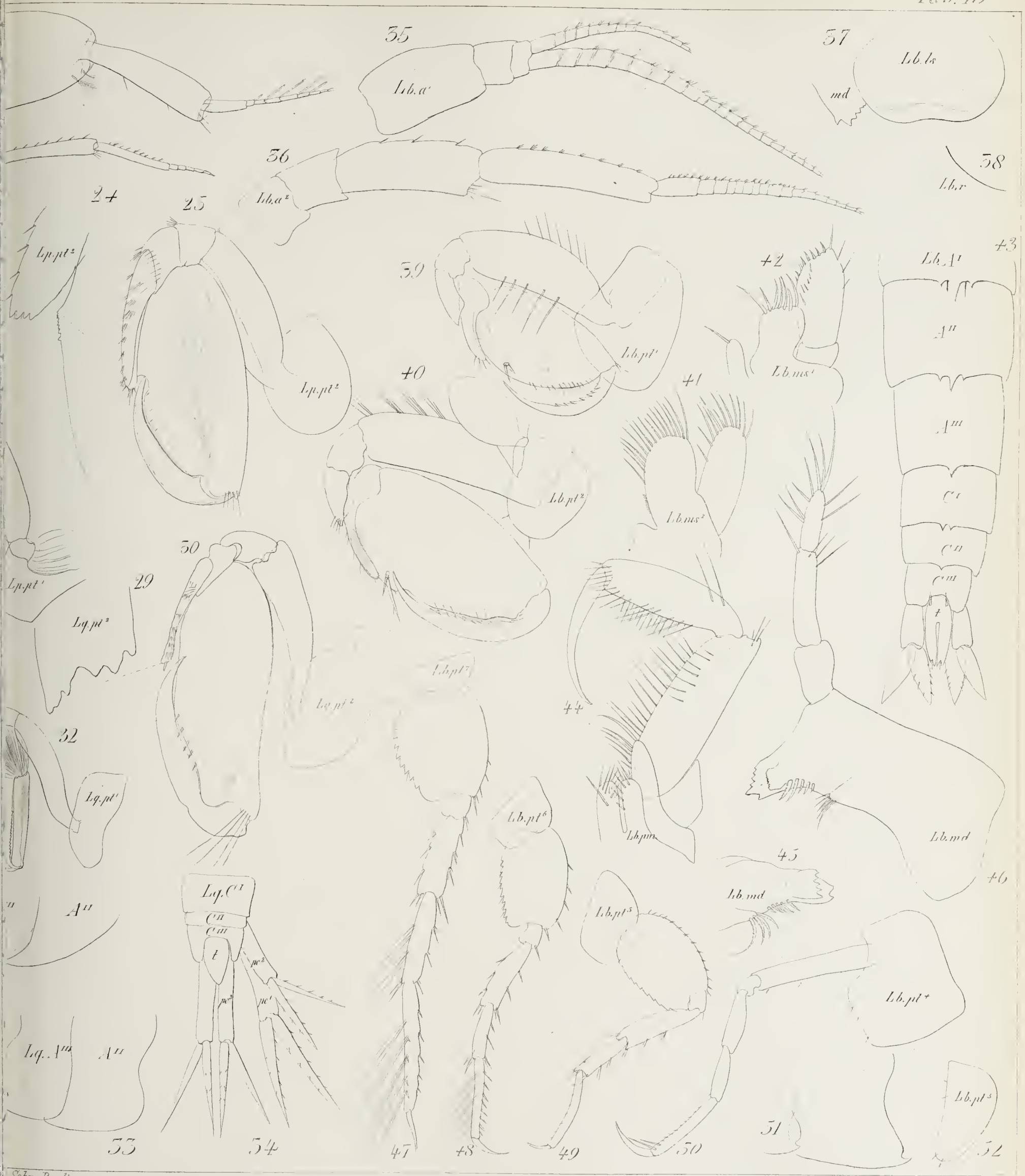

Sohn-Berlin

29-34 Lq.

35-52 Lb

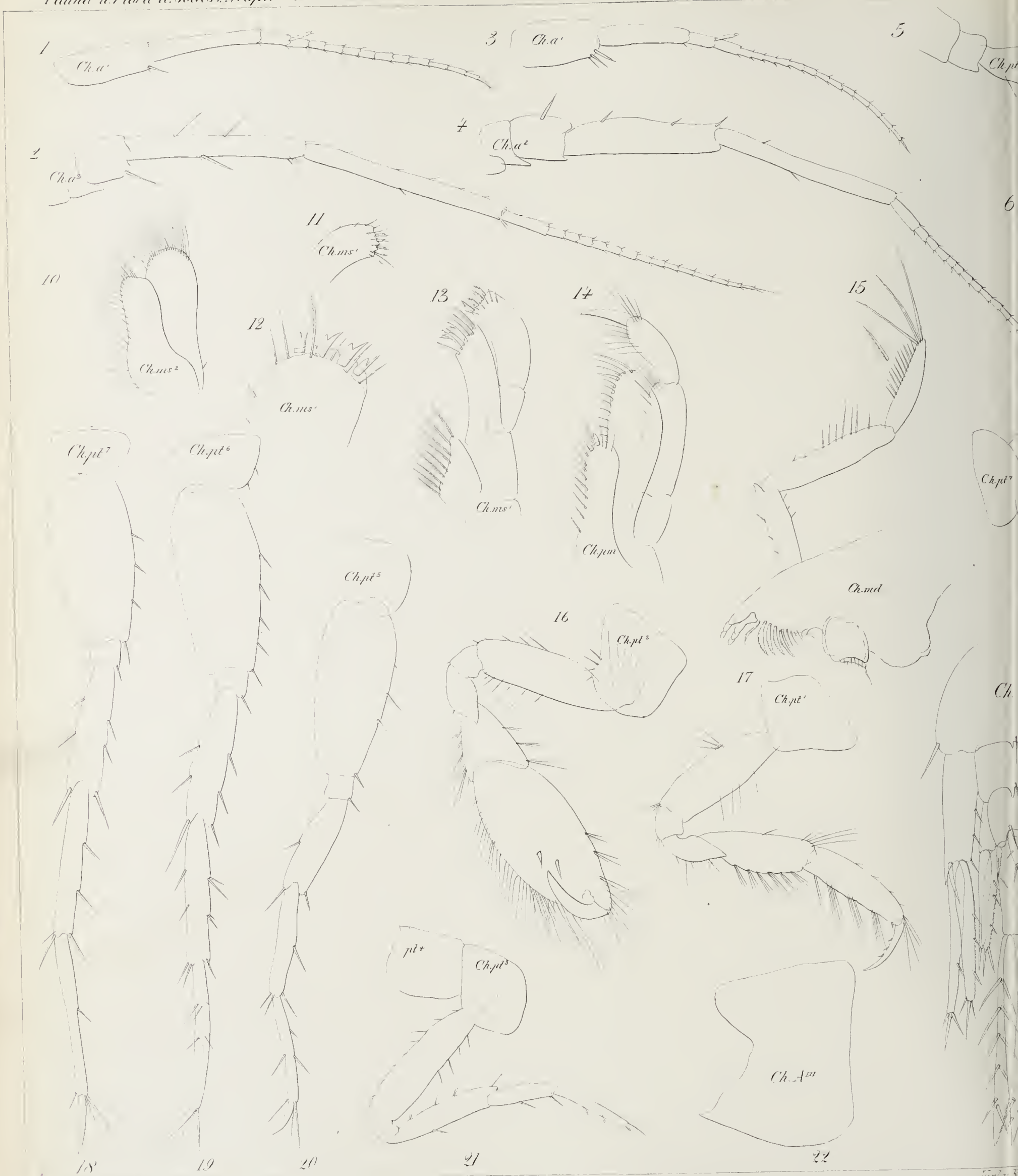
1
Ch.a¹
2
Ch.a²
3
Ch.a¹
4
Ch.a²
5
Ch.pt
6
Ch.pt⁷
10
Ch.ms²
11
Ch.ms¹
12
Ch.ms¹
13
Ch.ms¹
14
Ch.pm
15
Ch.pt⁷
Ch.pt⁷
Ch.pt⁶
Ch.pt⁵
16
Ch.pt²
17
Ch.pt¹
Ch.md
Ch
pt⁴
Ch.pt³
Ch.A^III
18
19
20
21
22

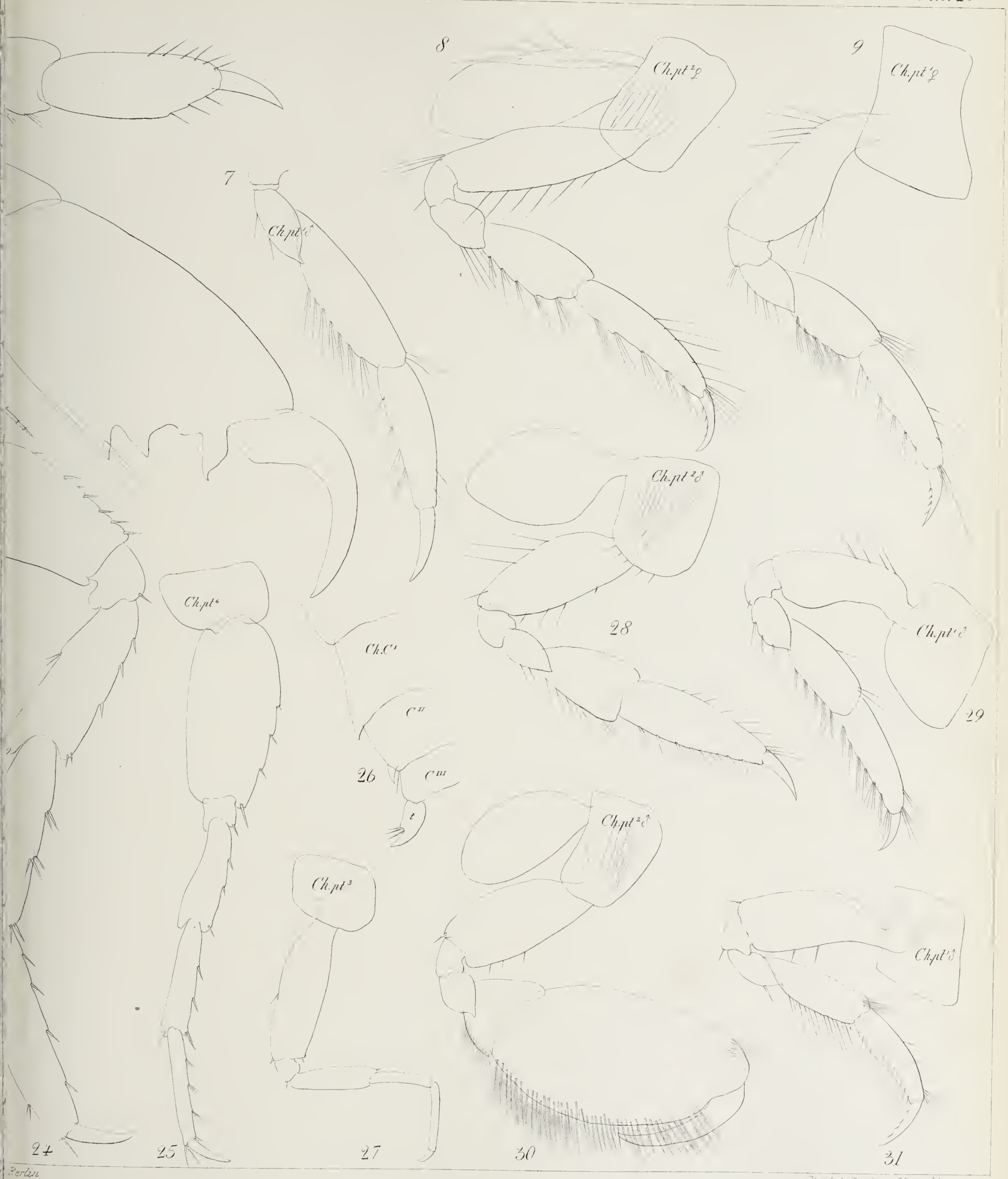

Berlin

Stat. A Serrao - Napoli

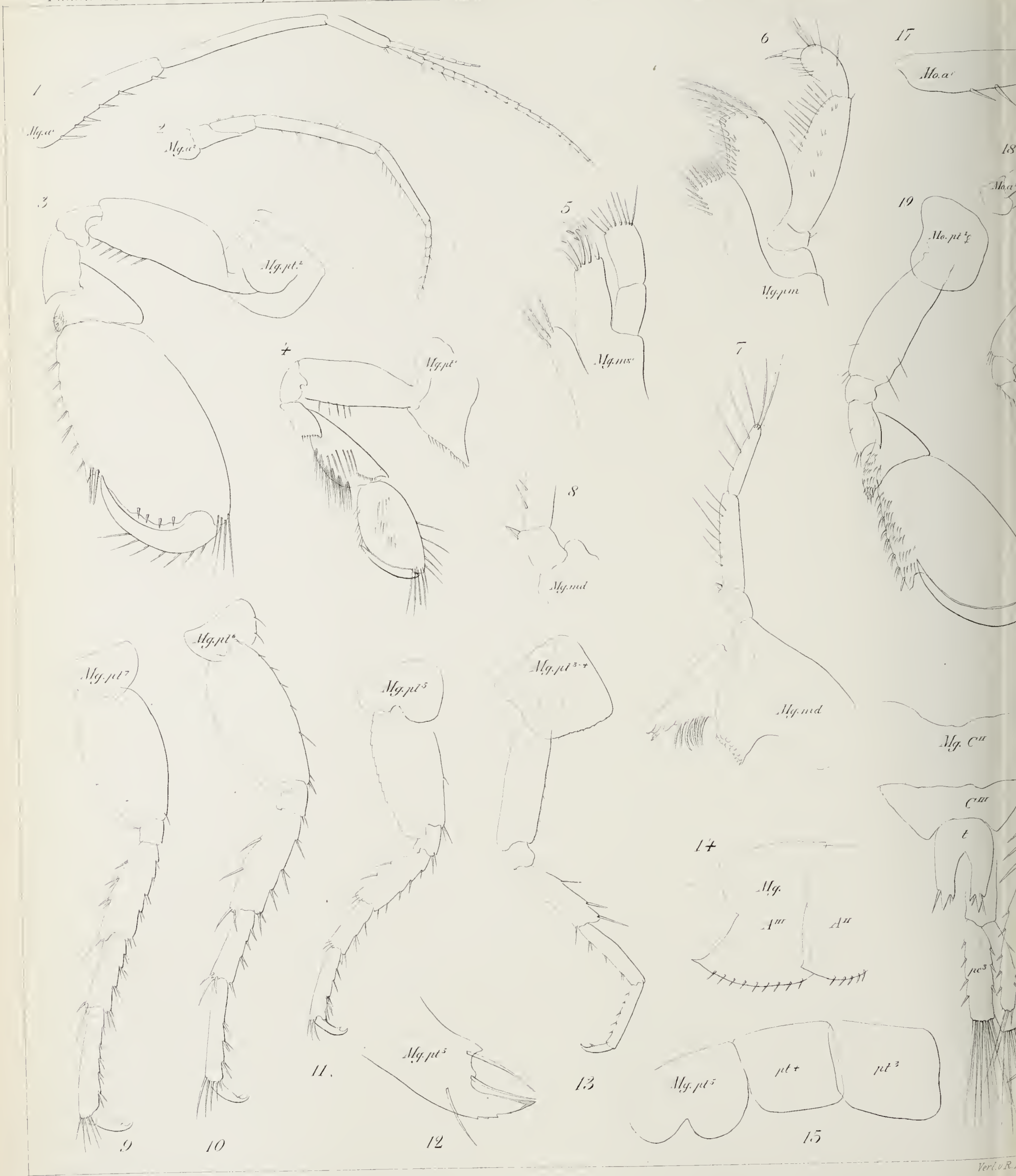

4. Drill v. Valle lit.

Verl. v. R.

1 16 Mg.

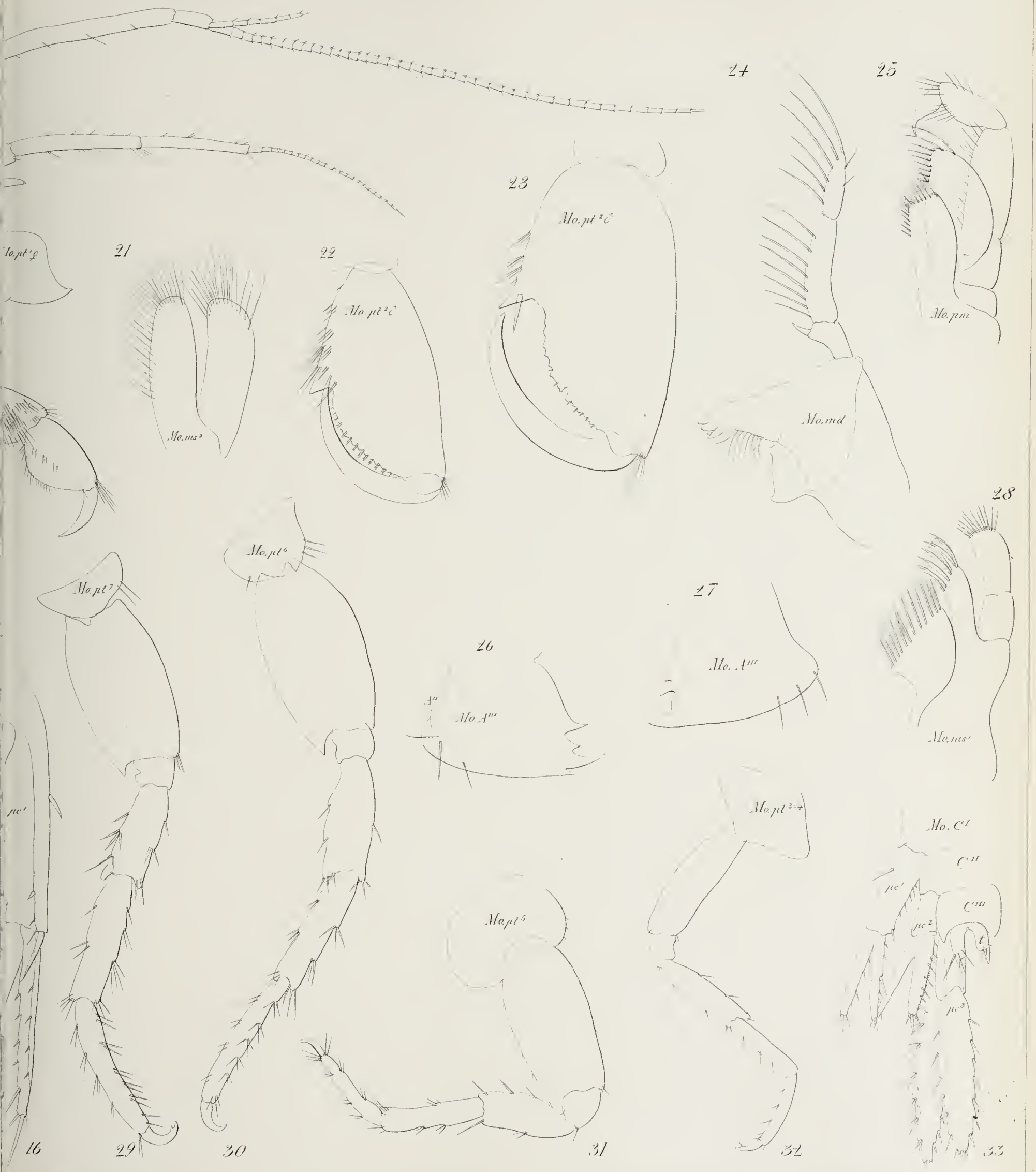

hn Berlin

Stab. A. Serino-Napoli

17-33 Mo.

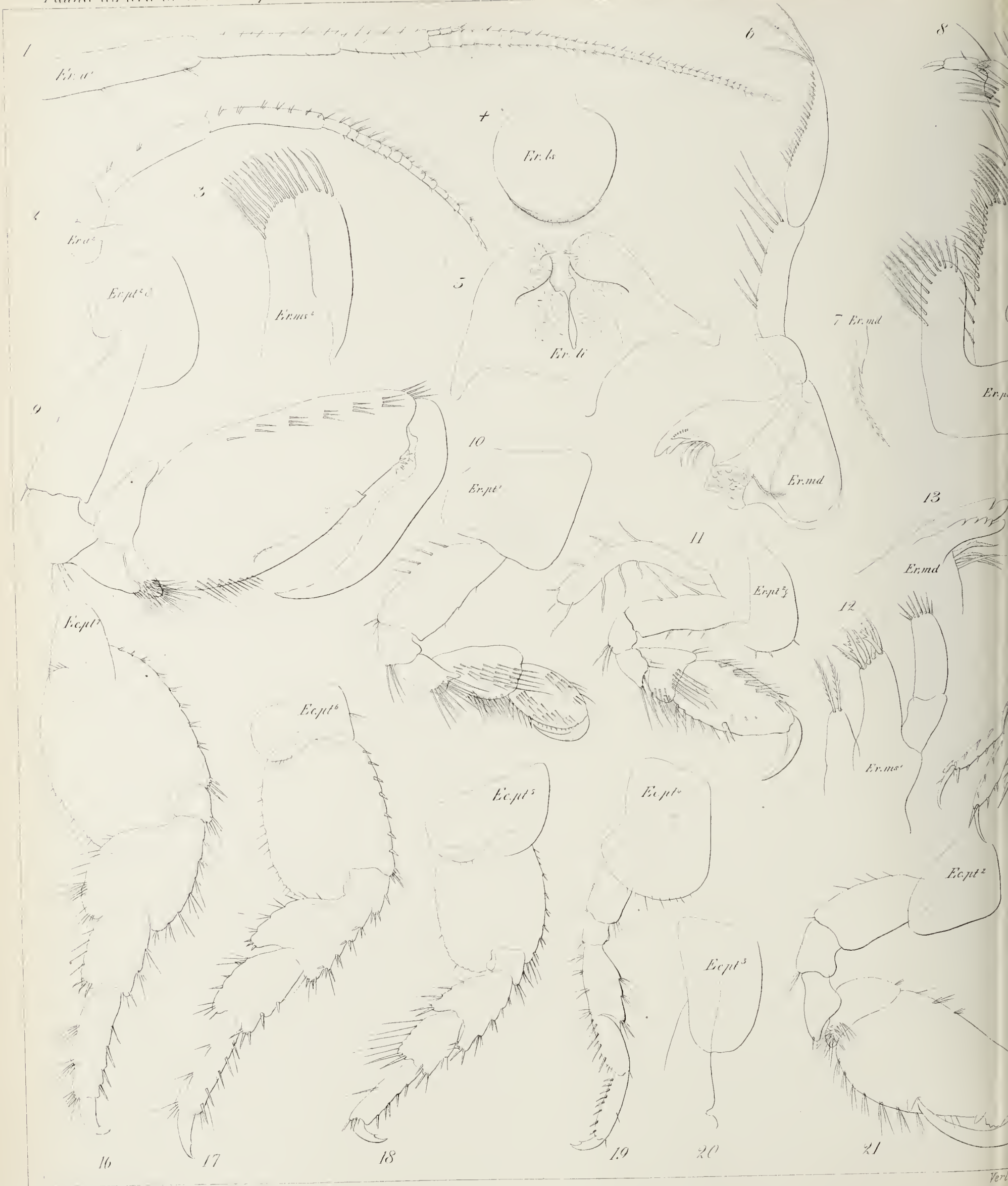

1-15 Er.

16-22 Ec.

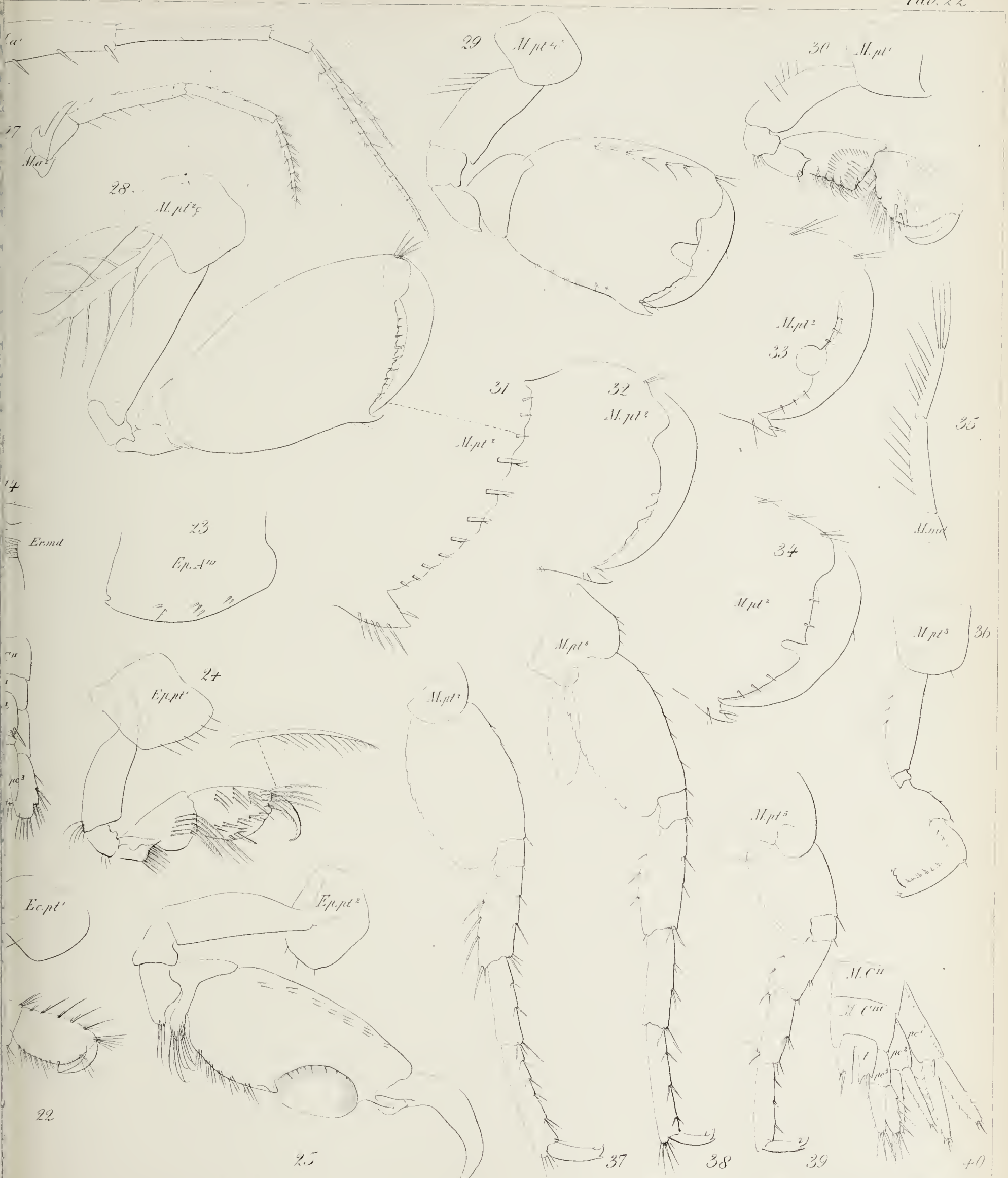

hn-Berlin

Ed. A. Sonro-Vap.

23-25 Ep.

26-40 M.

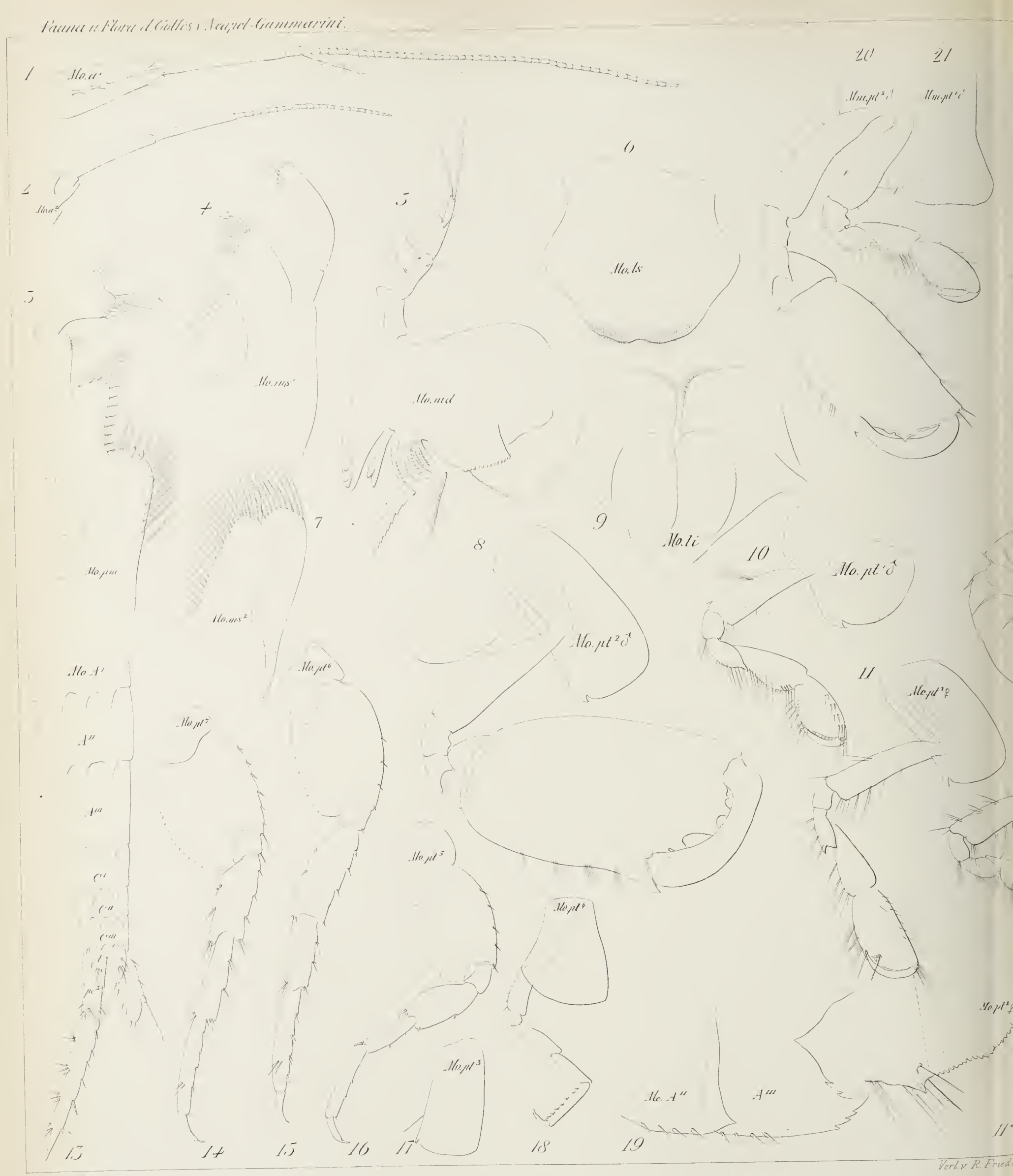
1
Mo. a¹
2
Mo. a²
3
4
5
6
Mo. ls
Mo. ms¹
Mo. md
7
8
9
Mo. li
10
Mo. pt¹ ♂
Mo. pm
Mo. ms²
Mo. pt² ♂
Mo. A¹
Mo. pt⁶
11
Mo. pt² ♀
Mo. pt⁷
A¹¹
A¹¹¹
Mo. pt⁵
C¹
C¹¹
C¹¹¹
Mo. pt⁴
pe³
Mo. pt³
Mo. A¹¹
A¹¹¹
13
14
15
16
17
18
19
20
21
Mm. pt² ♂
Mm. pt¹ ♂
Verl. v. R. Fried.
1-19 Mo.
20-25 Mm.

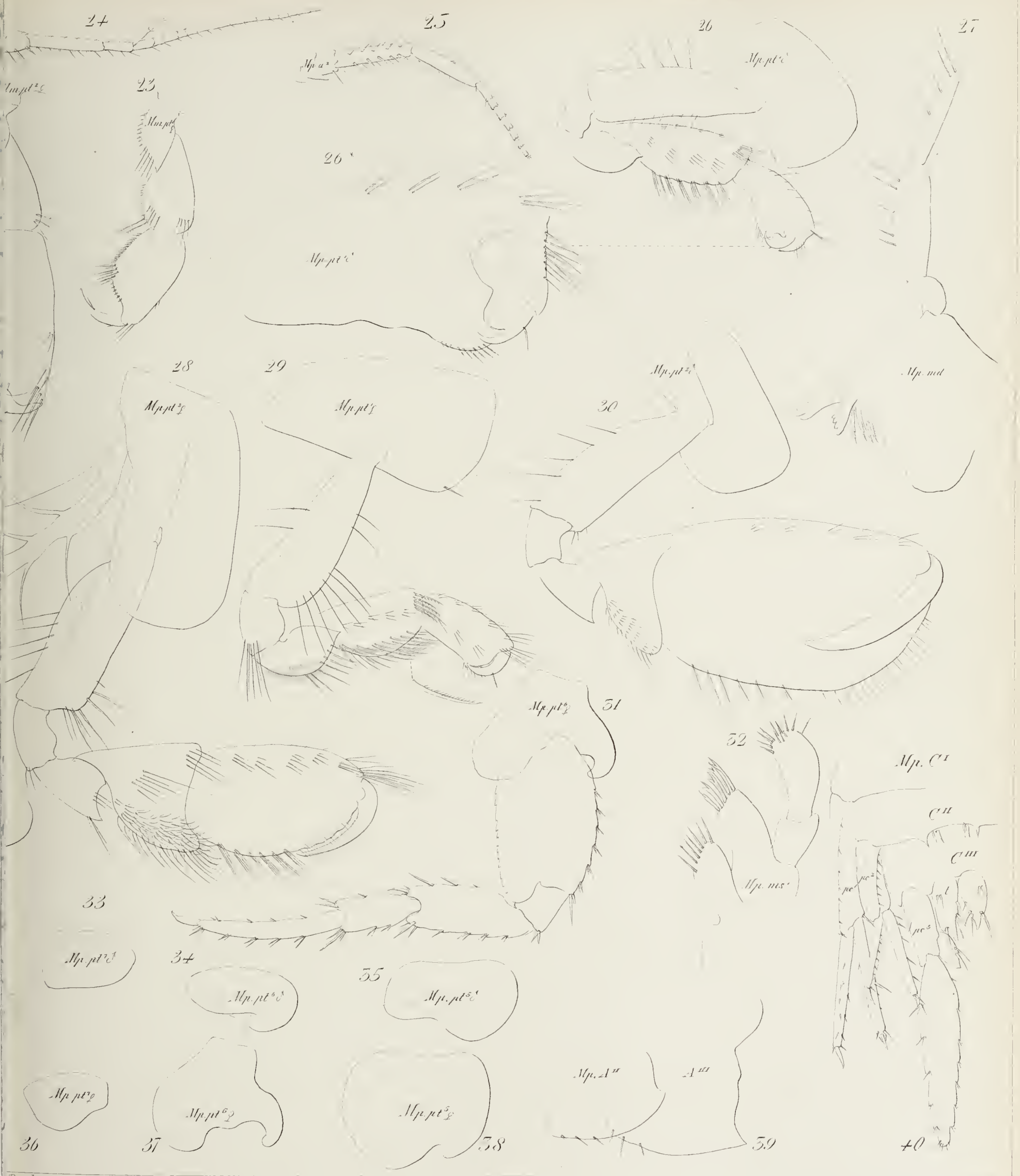

Berlin.

St. lit. A. Serino-Nap.

24 40 Mp.

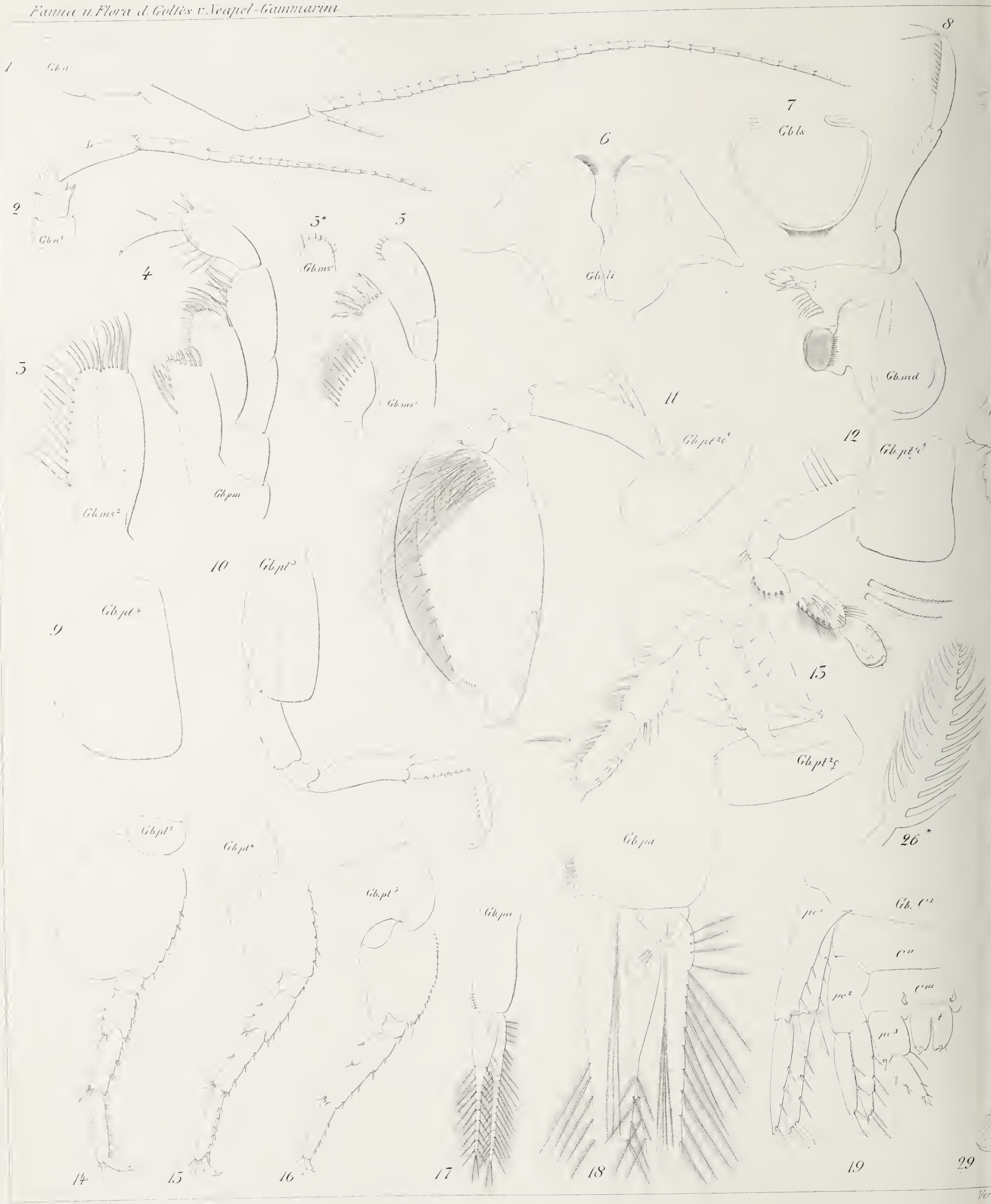
1
Gb.a¹
2
Gb.a²
3
Gb.ms²
4
Gb.pm
5*
Gb.ms¹
5
Gb.ms¹
6
Gb.li
7
Gb.ls
8
Gb.md
9
Gb.pt⁴
10
Gb.pt³
11
Gb.pt²c
12
Gb.pt¹c
15
Gb.pt²f
26*
Gb.pt⁷
Gb.pt⁶
Gb.pt⁵
Gb.pa
Gb.pa
pe¹
Gb.c¹
c¹¹
pe²
c¹¹¹
pe³
t
14
15
16
17
18
19
29

Gb. 1-19

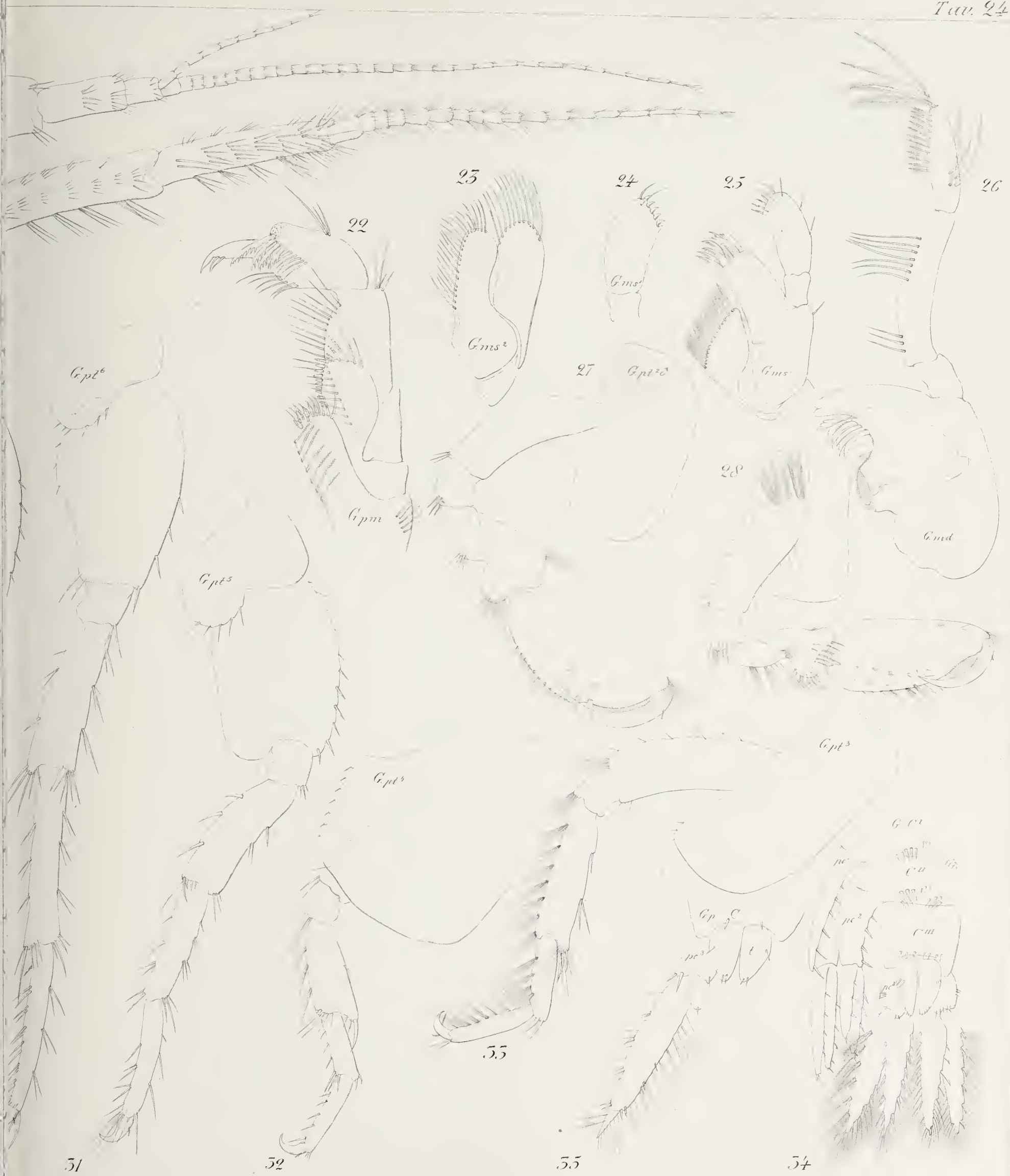

Berlin

Lith. A. Sering-Wien

G. 20-34

Gp. 35

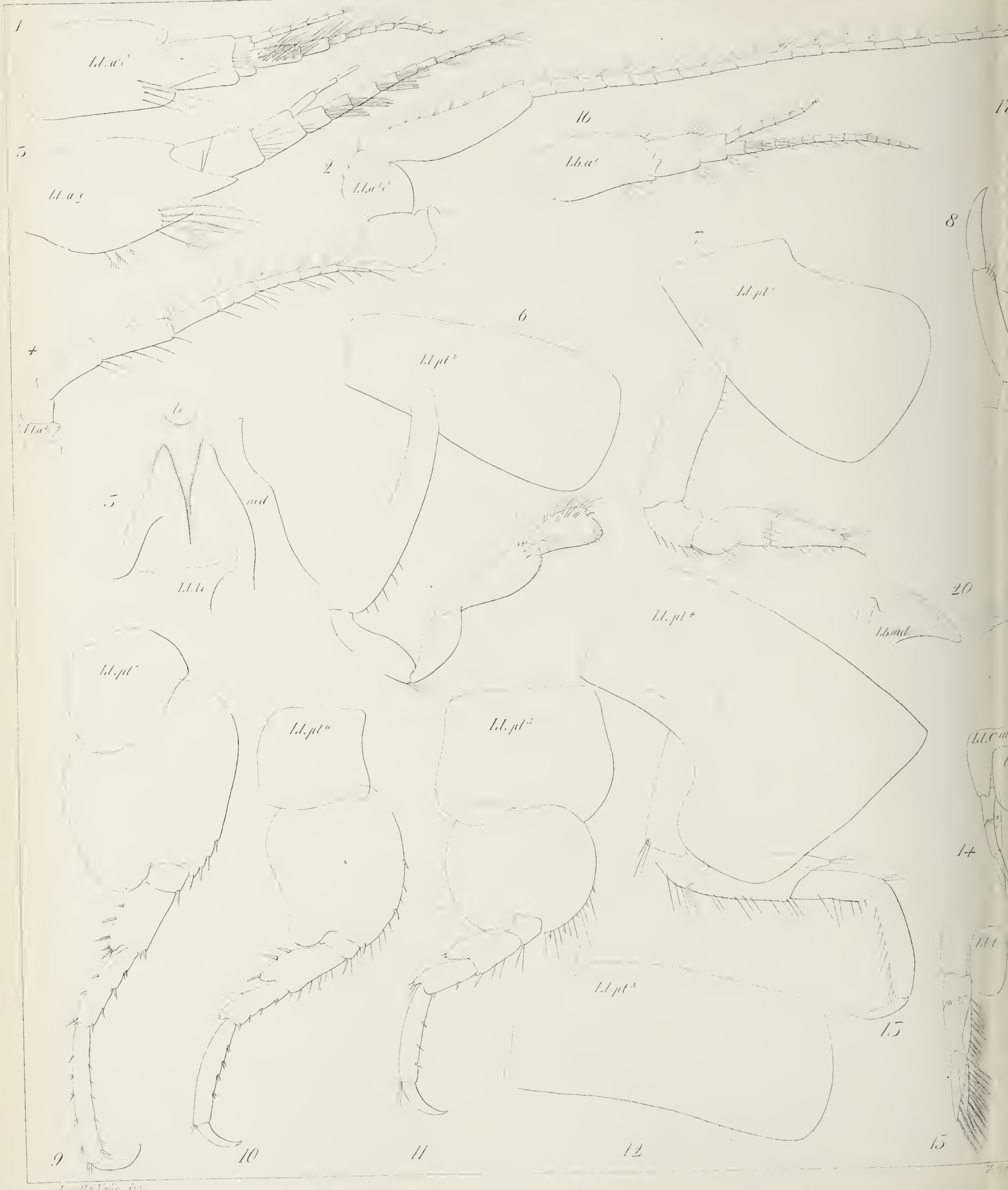
1
I.l. a¹
5
I.l. a⁵
2
I.l. a²
16
I.b. a¹
4
I.l. a⁴
7
I.l. pl¹
6
I.l. pl²
8
md
I.l. pl⁷
I.l. pl⁶
I.l. pl⁵
I.l. pl⁴
I.b. md
20
I.l. pl³
14
15
9
10
11
12

1–15. Id.

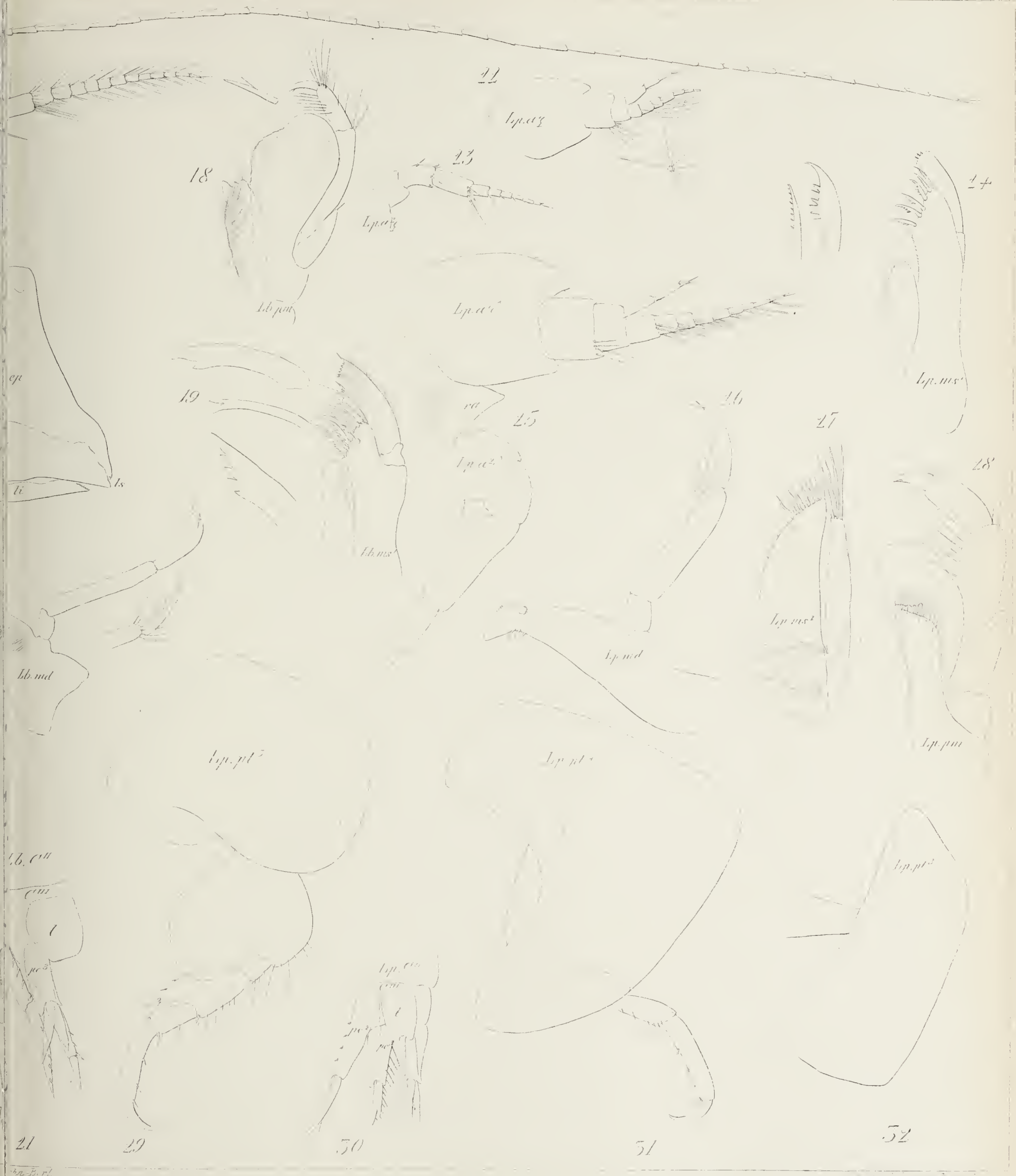
11
Lp.a¹
18
13
Lp.a²
14
Lb.pm
Lp.a⁴
Lp.ms¹
19
ra
15
16
17
18
ep
ti
Ls
Lp.a³
Lb.ms¹
Lp.ms²
Lb.md
Lp.md
Lp.pt⁵
Lp.pt⁴
Lp.pm
Lb.cm
cm
l
pe³
Lp.cm
Lp.pt³
21
29
30
31
32

22. 31 Lp.

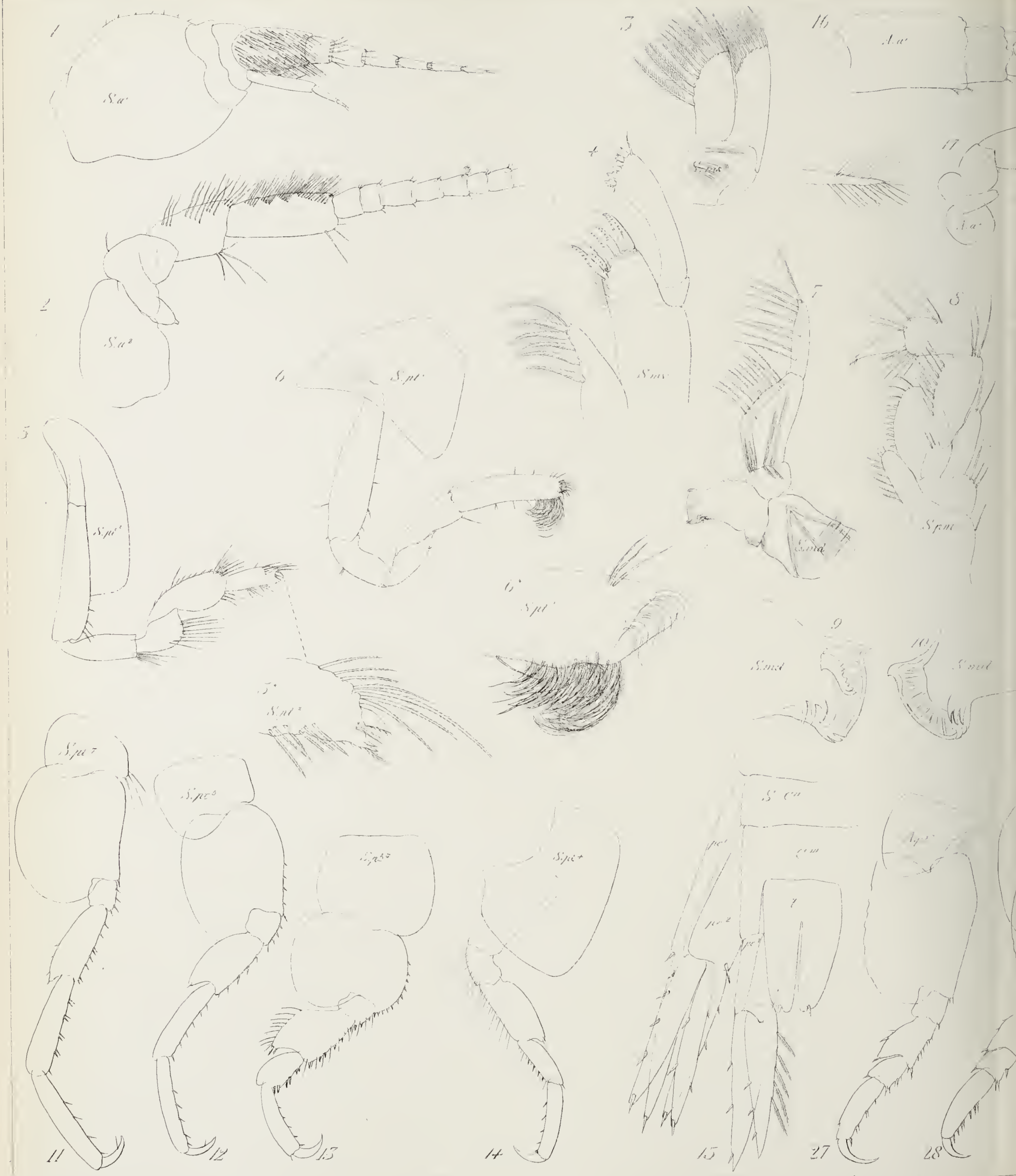
1
S.a.
2
S.a.²
3
4
S.mx.
5
S.pt.
5*
S.pt.²
6
S.pt.
6*
S.pt.
7
S.md.
8
S.pm.
9
S.md.
10
S.md.
11
S.pt.⁷
12
S.pt.⁶
13
S.pt.⁵
14
S.pt.⁴
15
S.cm.
16
A.a.
17
A.a.
27
28
A.Deilu Valle dis.

S. 1-15

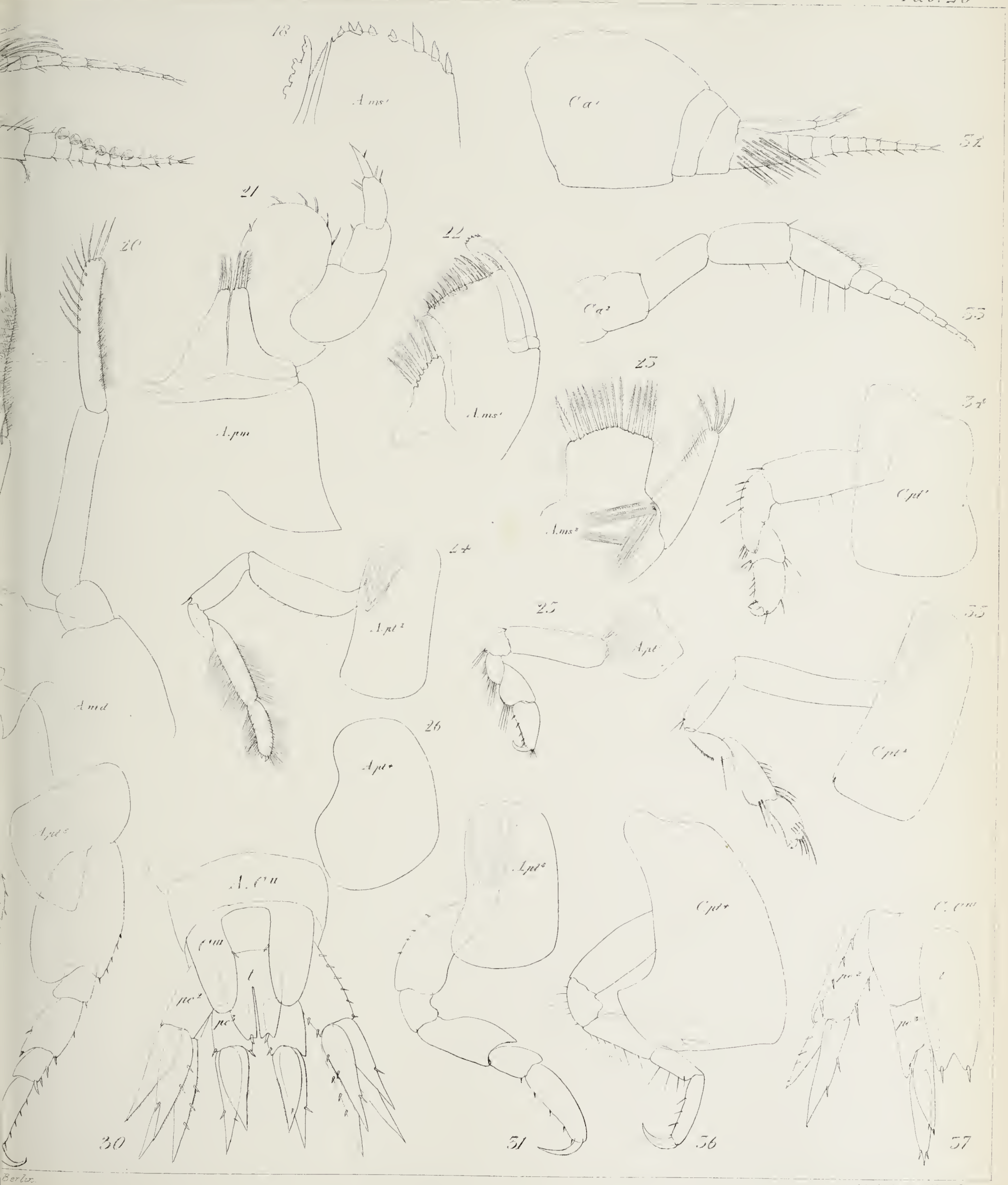

Berlin.

St. lit. A. Sen... Naum.

A 16-31

C 32-37

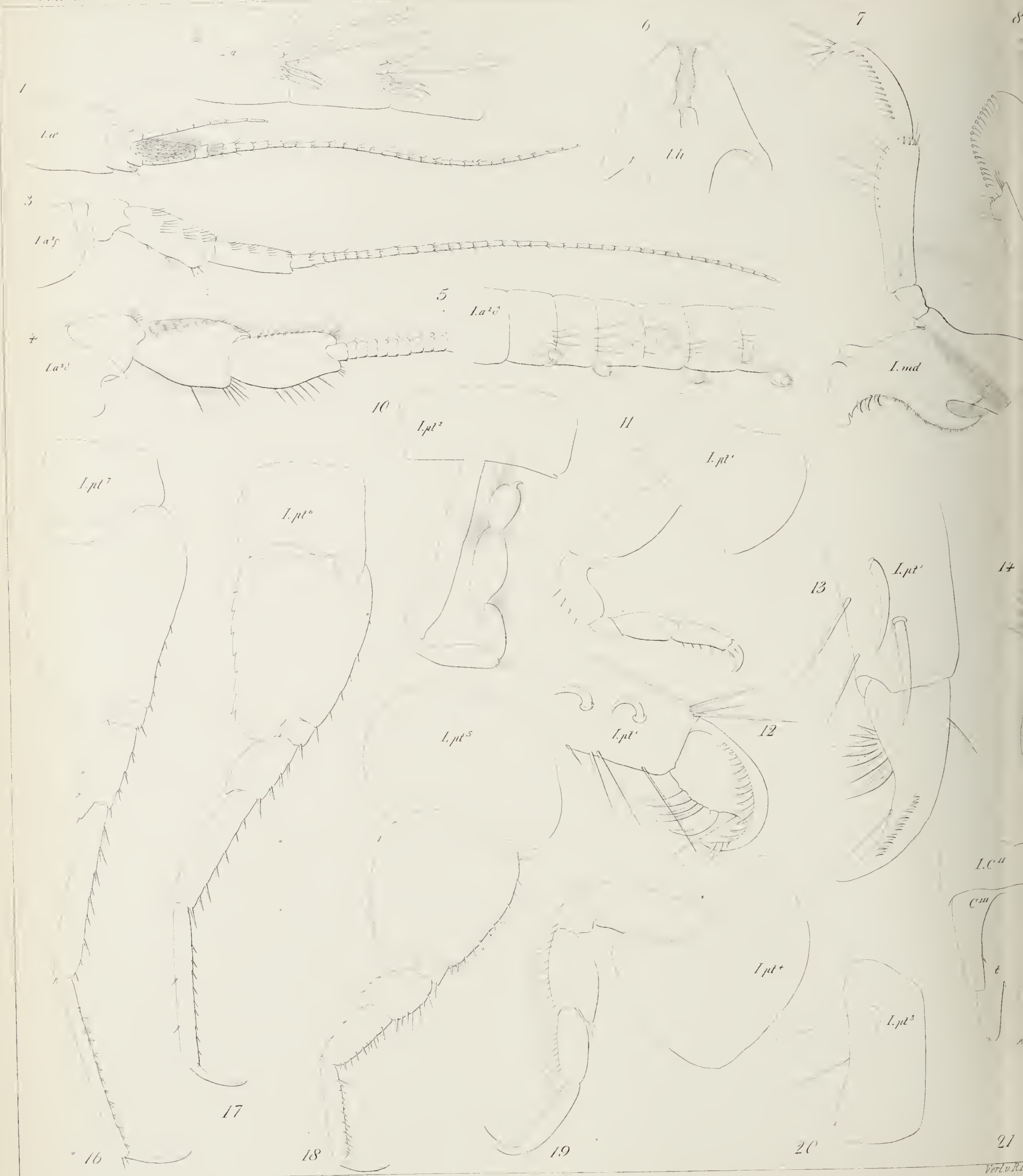

A. Della Valle dis.

Verl. v. R.

1-22 I.

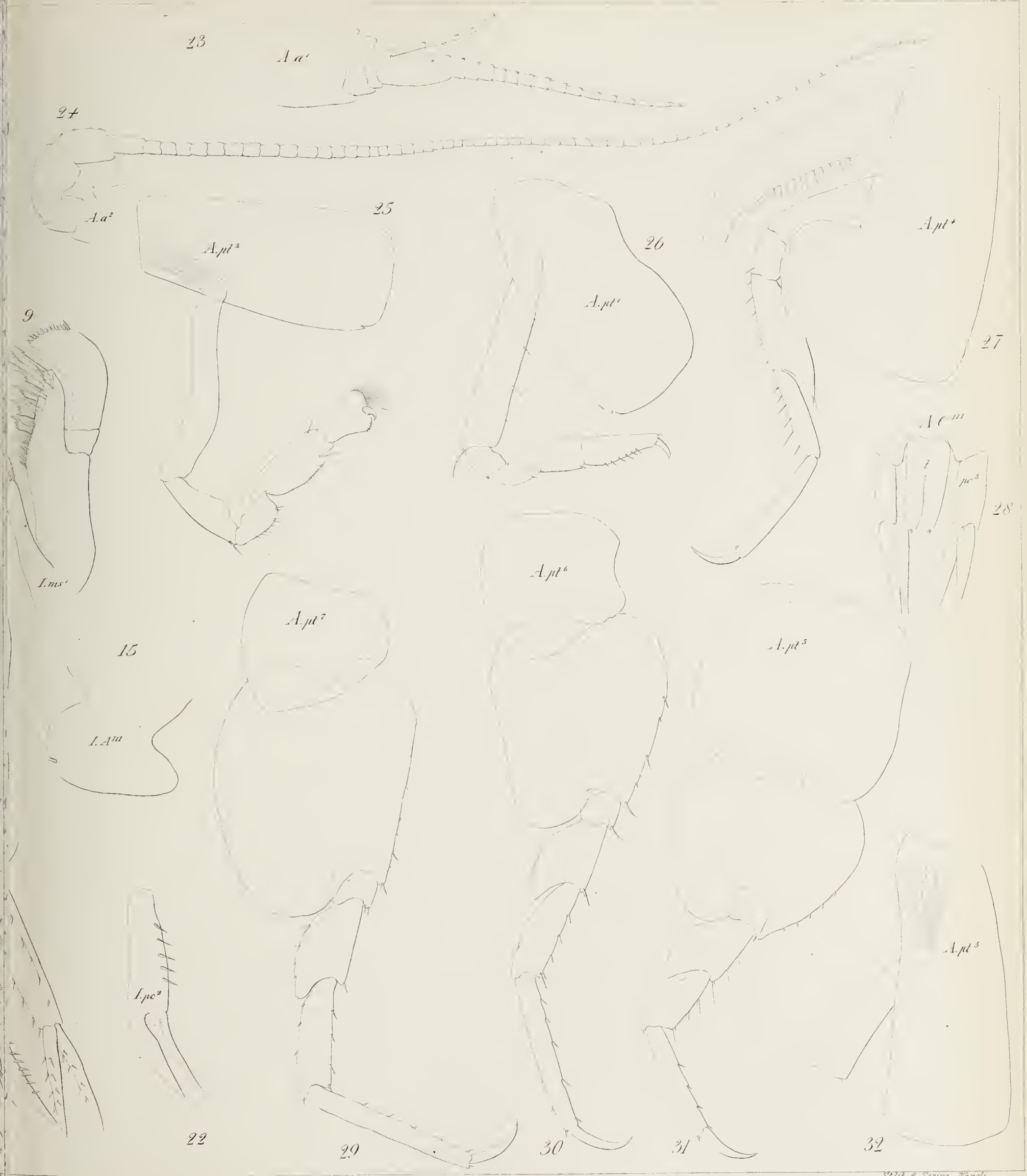

Berlin.

Stit A. Serino-Napoli

23-32 A.

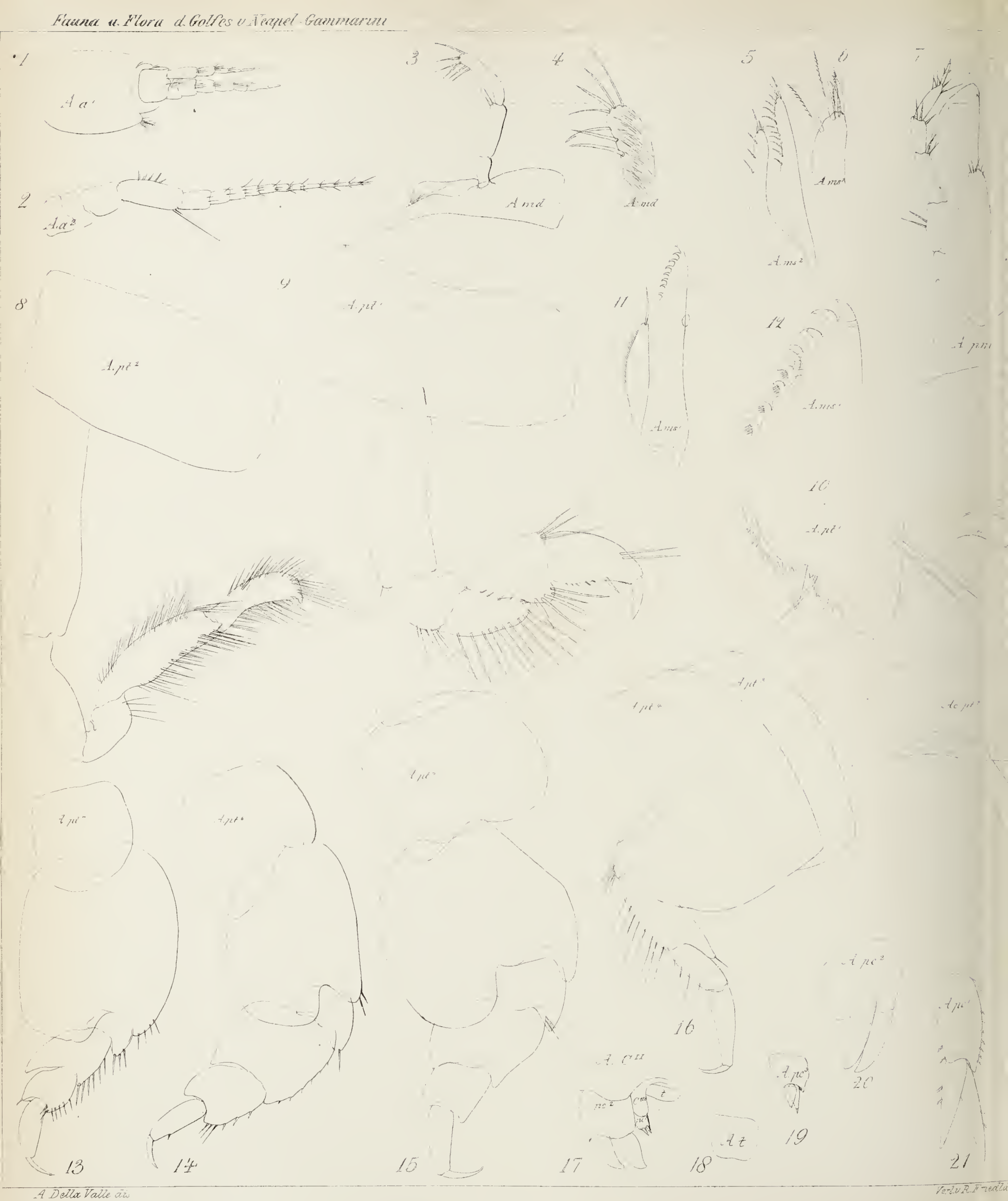

A Della Valle dis.

Verl. v. R. Friedländer

A. 1-21

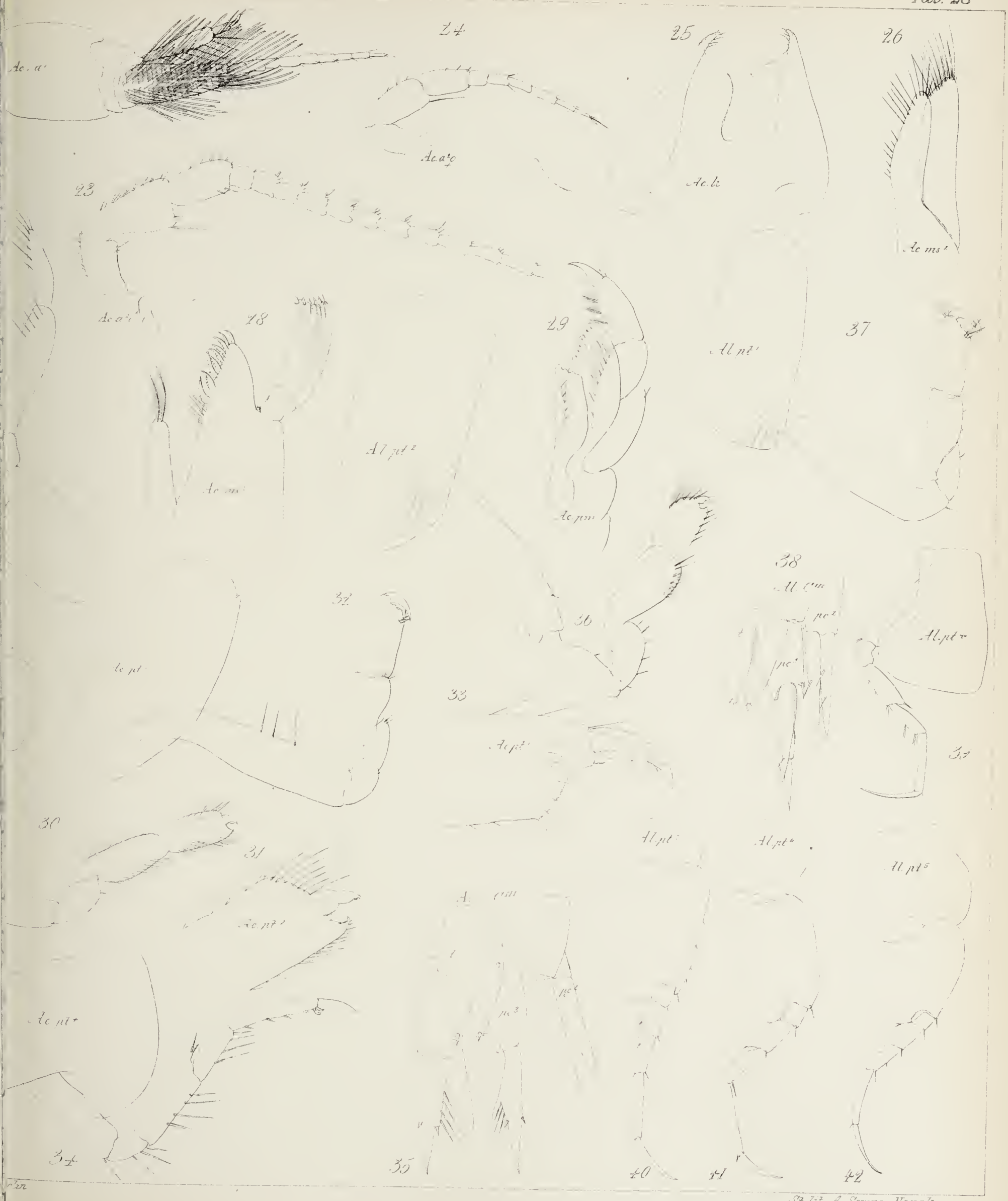

St. lit. A. Serino - Napoli

Ac 22-35

Al. 36-42

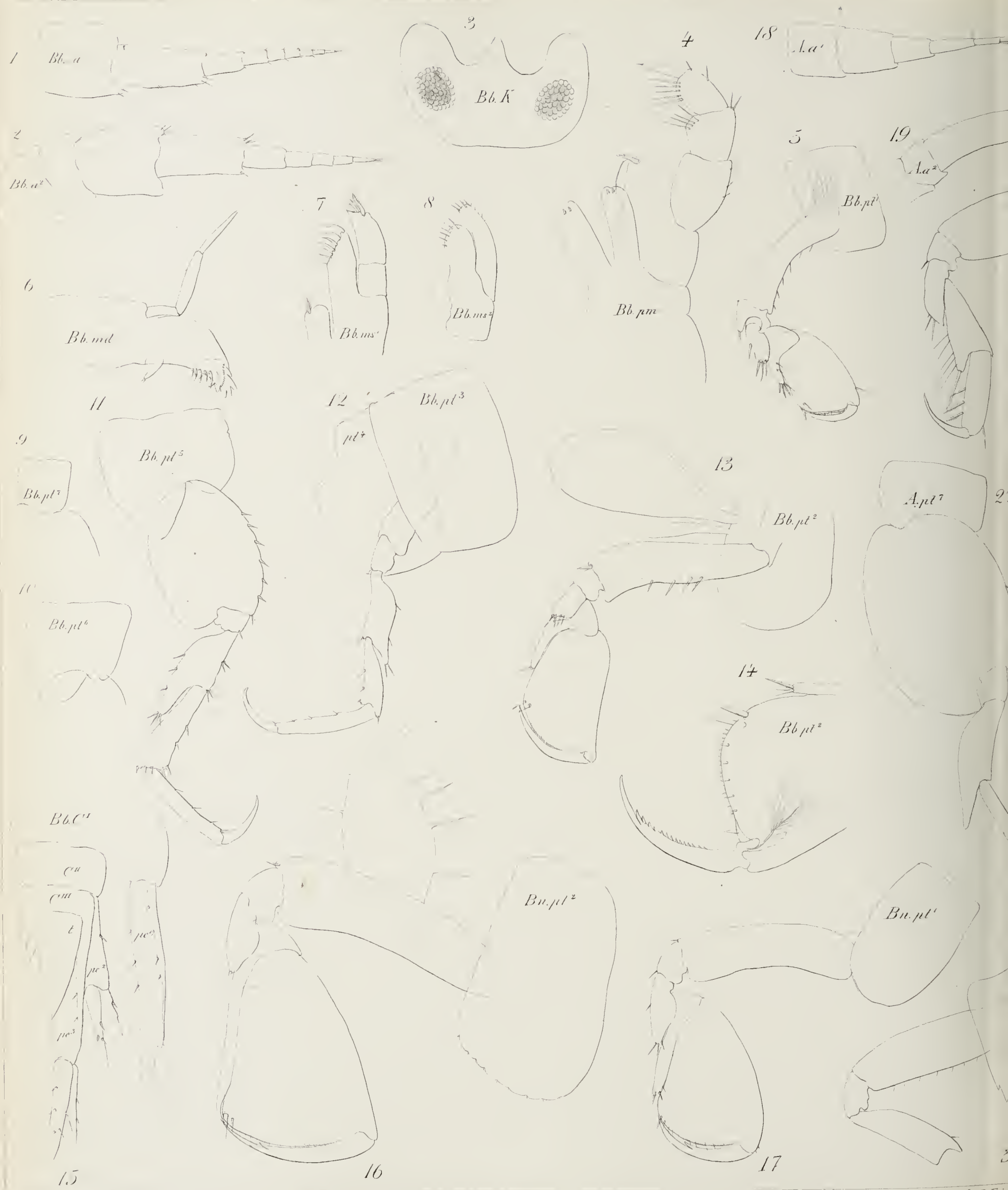

A Della Valle del.

Verl. v. R. Frie

1 - 15. Bb.

16 17. Bu.

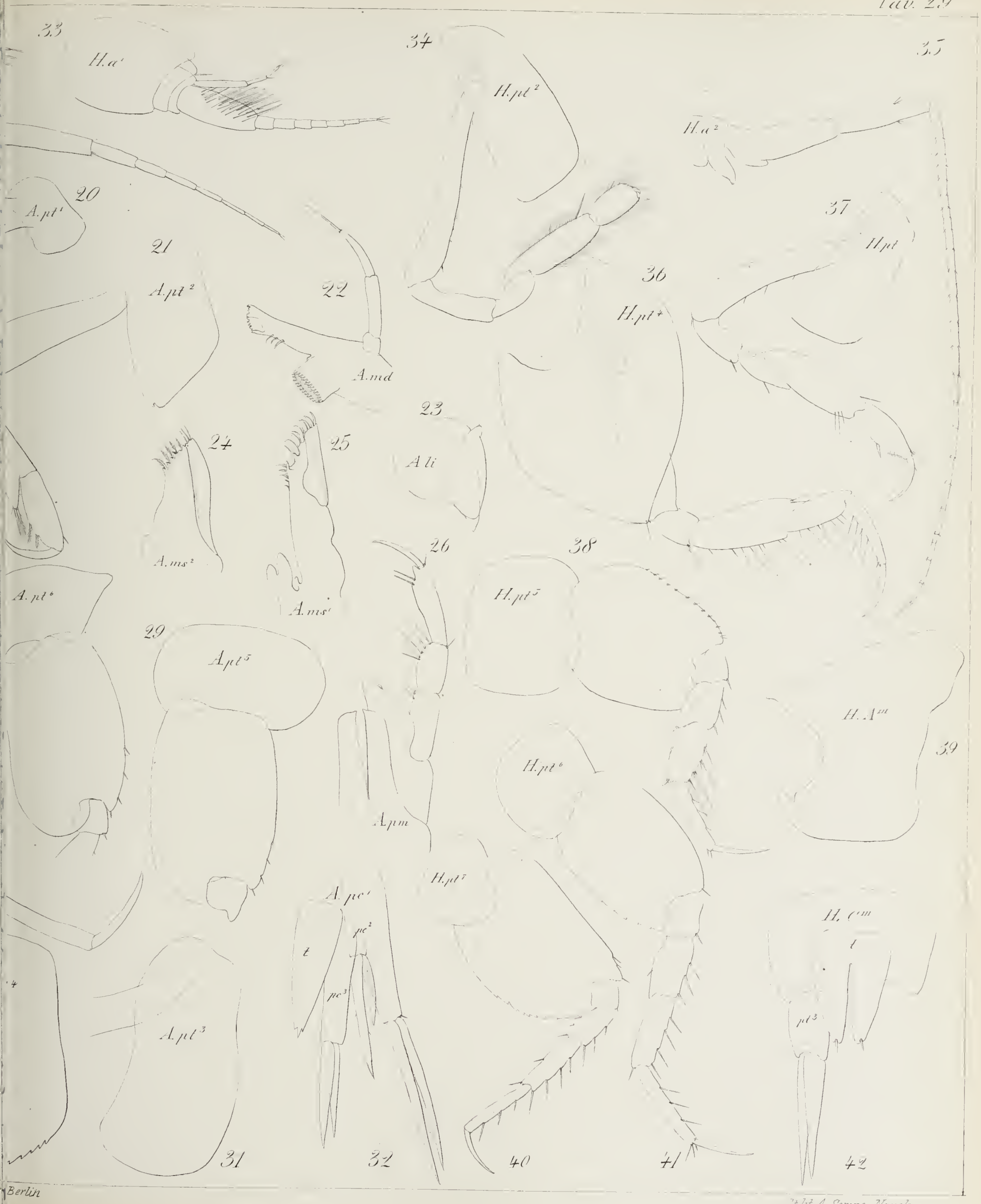

Berlin

Pt lit A. Serino-Napoli

18-32 A.

33-42 H.

A. Dei u. Falle ätz.

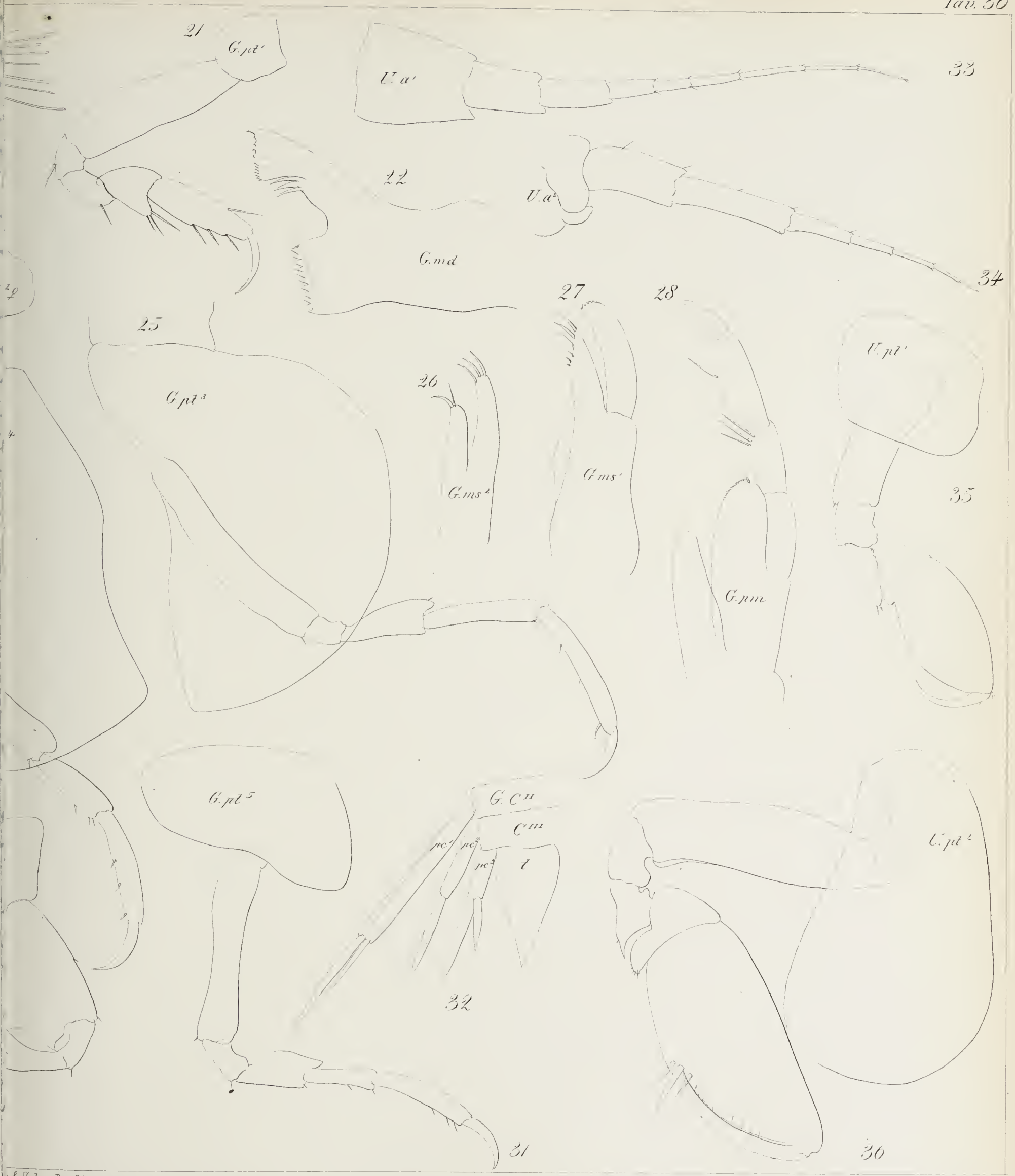

& Sohn-Berlin

St. lit. A. Serino-Napoli

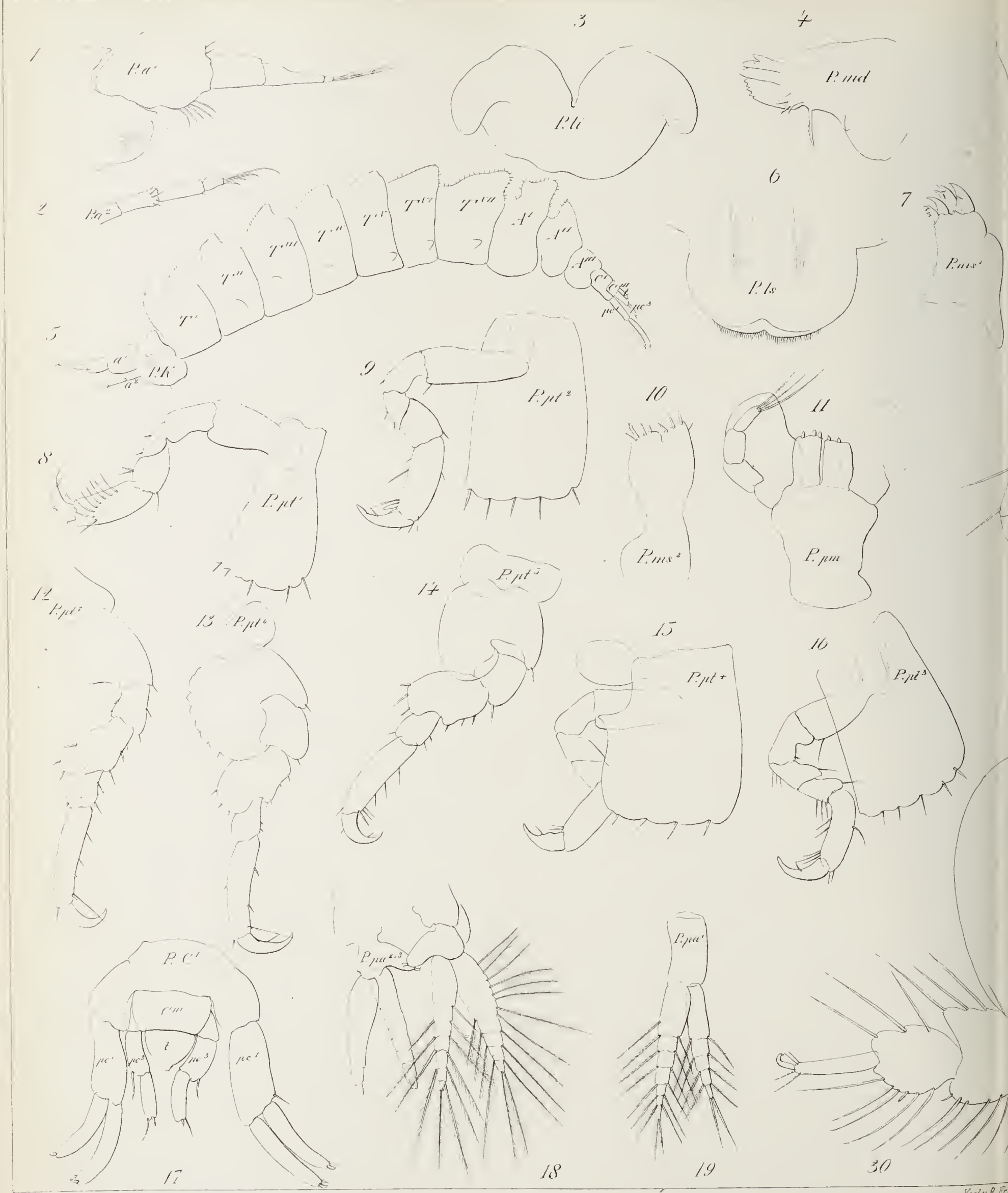
1
P. a'
2
P. a²
3
P. li
4
P. md
5
P. k
6
P. ls
7
P. ms'
8
P. pt'
9
P. pt²
10
P. ms²
11
P. pm
12
P. pt⁷
13
P. pt⁶
14
P. pt⁵
15
P. pt⁴
16
P. pt³
17
P. C'
18
P. pa²·³
19
P. pa'
30

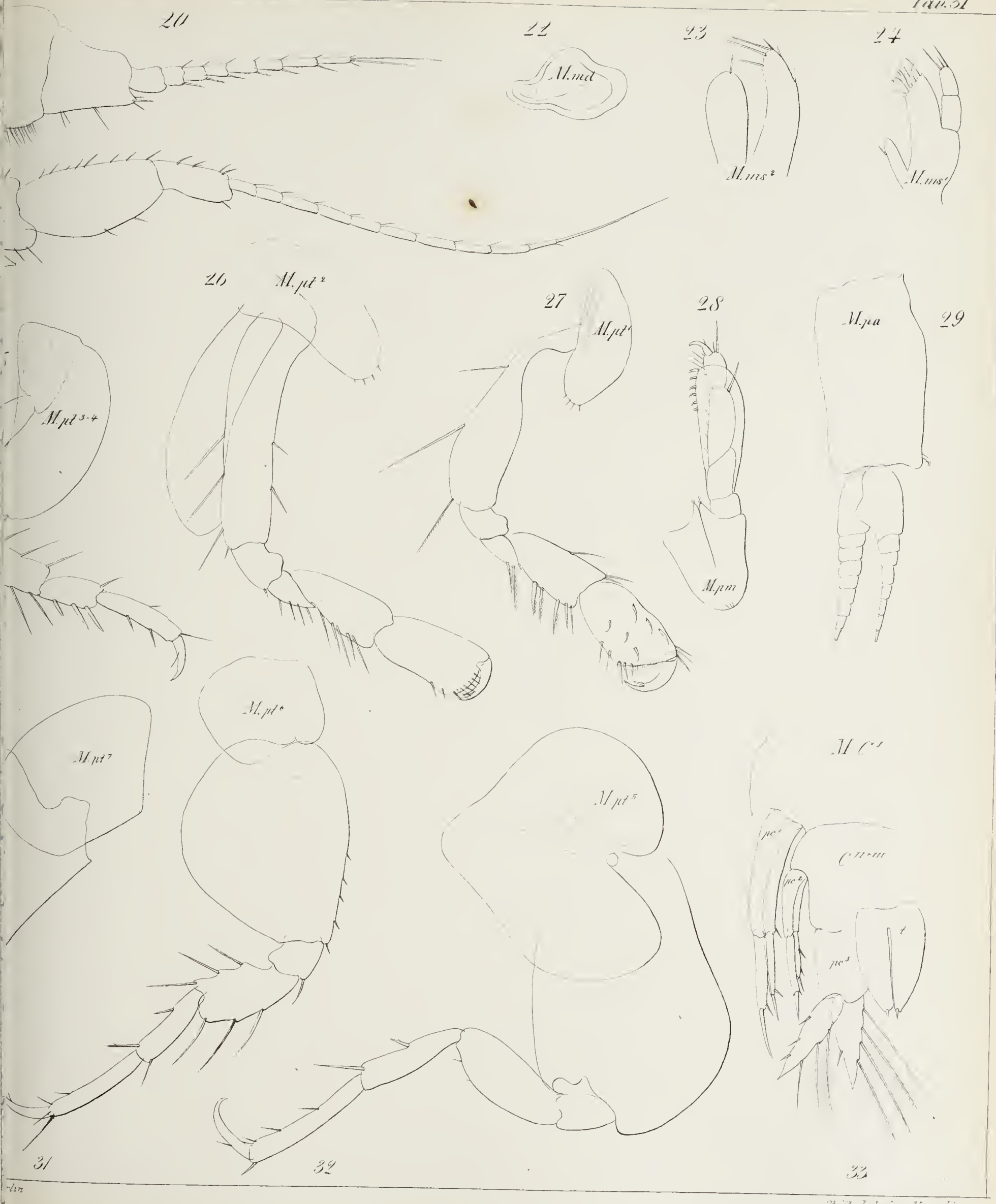

Stit. A. Levino Marcoli

20 33 M.

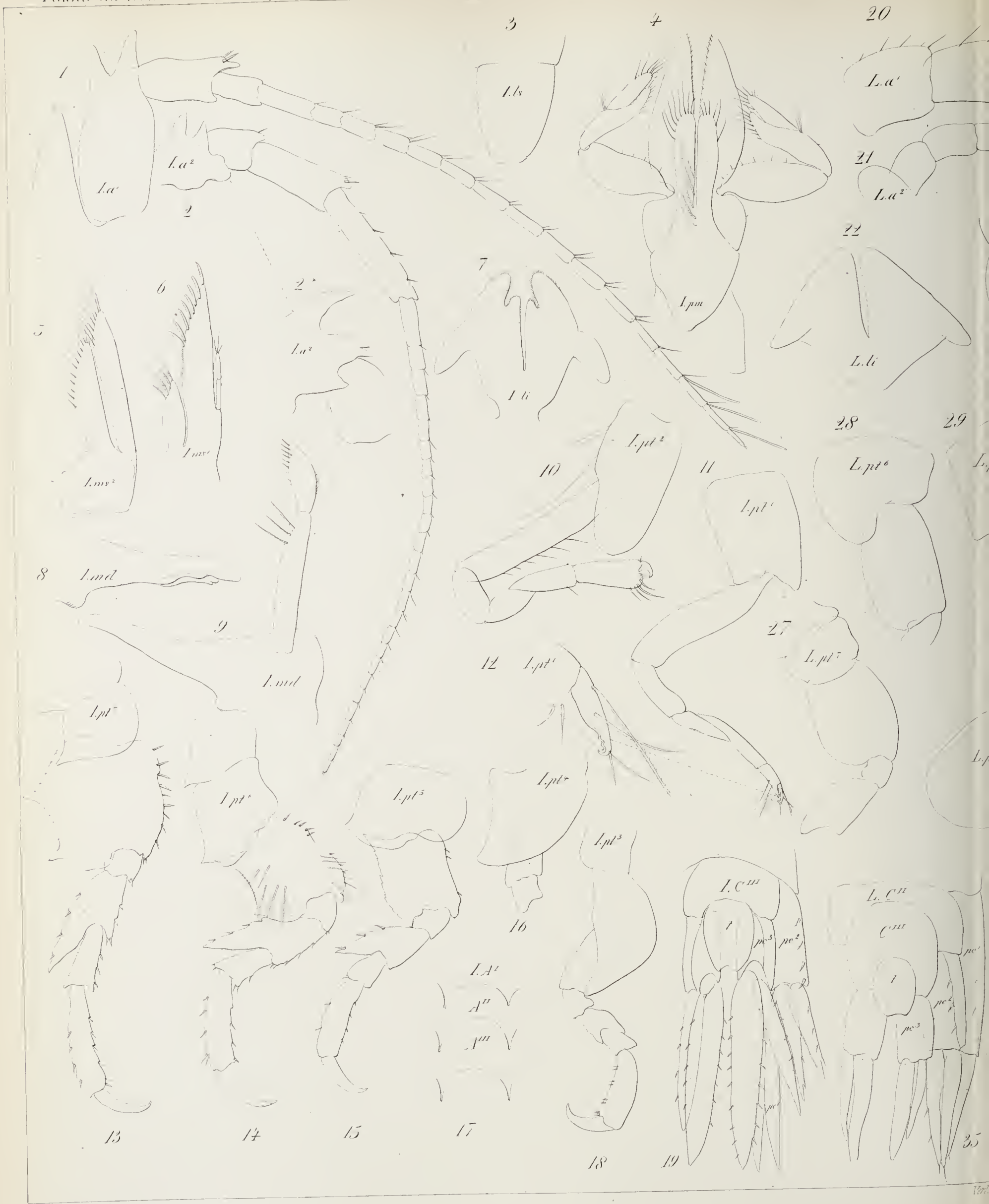

A. Della Valle dis.

Verl.

I-19 I.

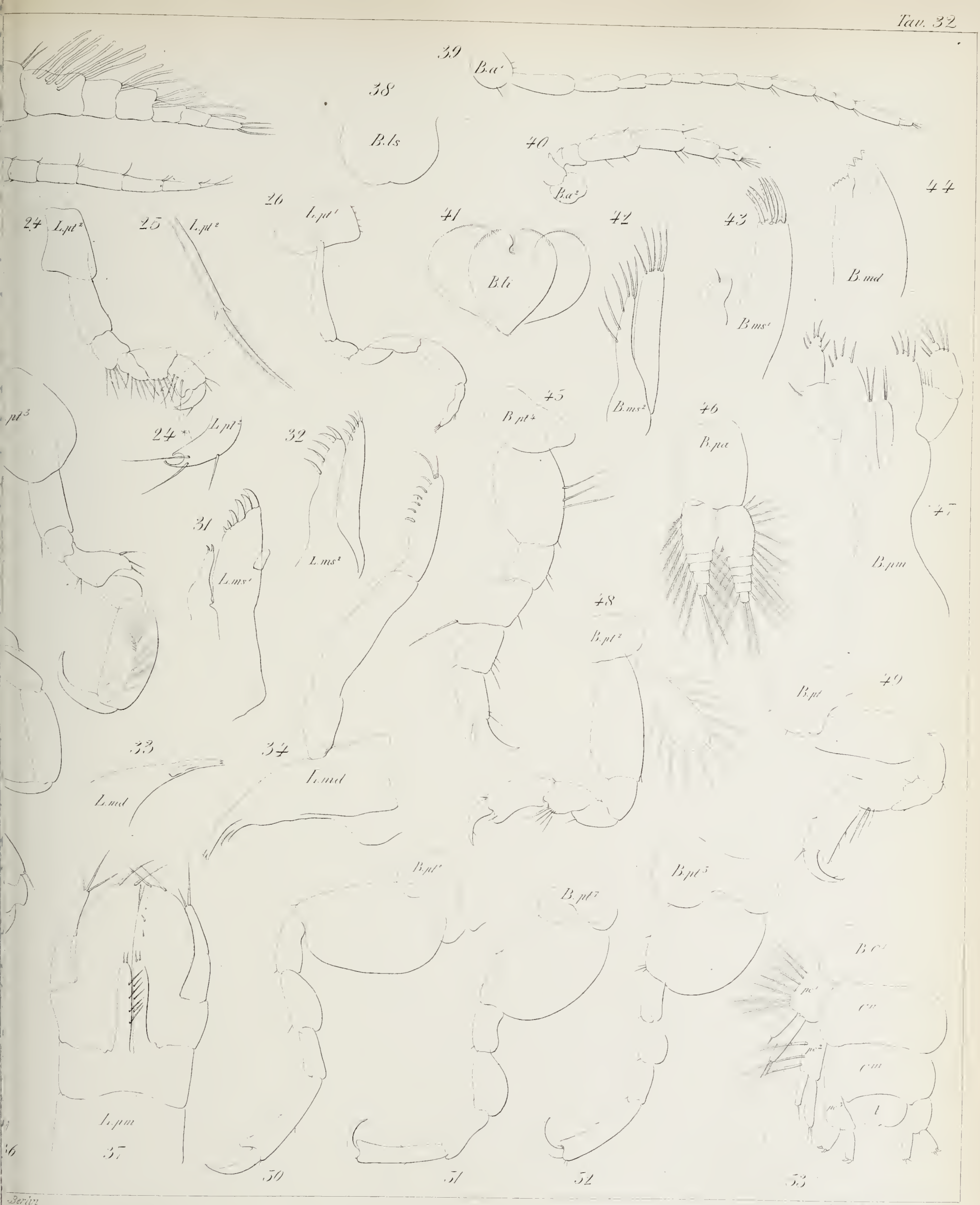

Berlin

37 L.

38-53 B.

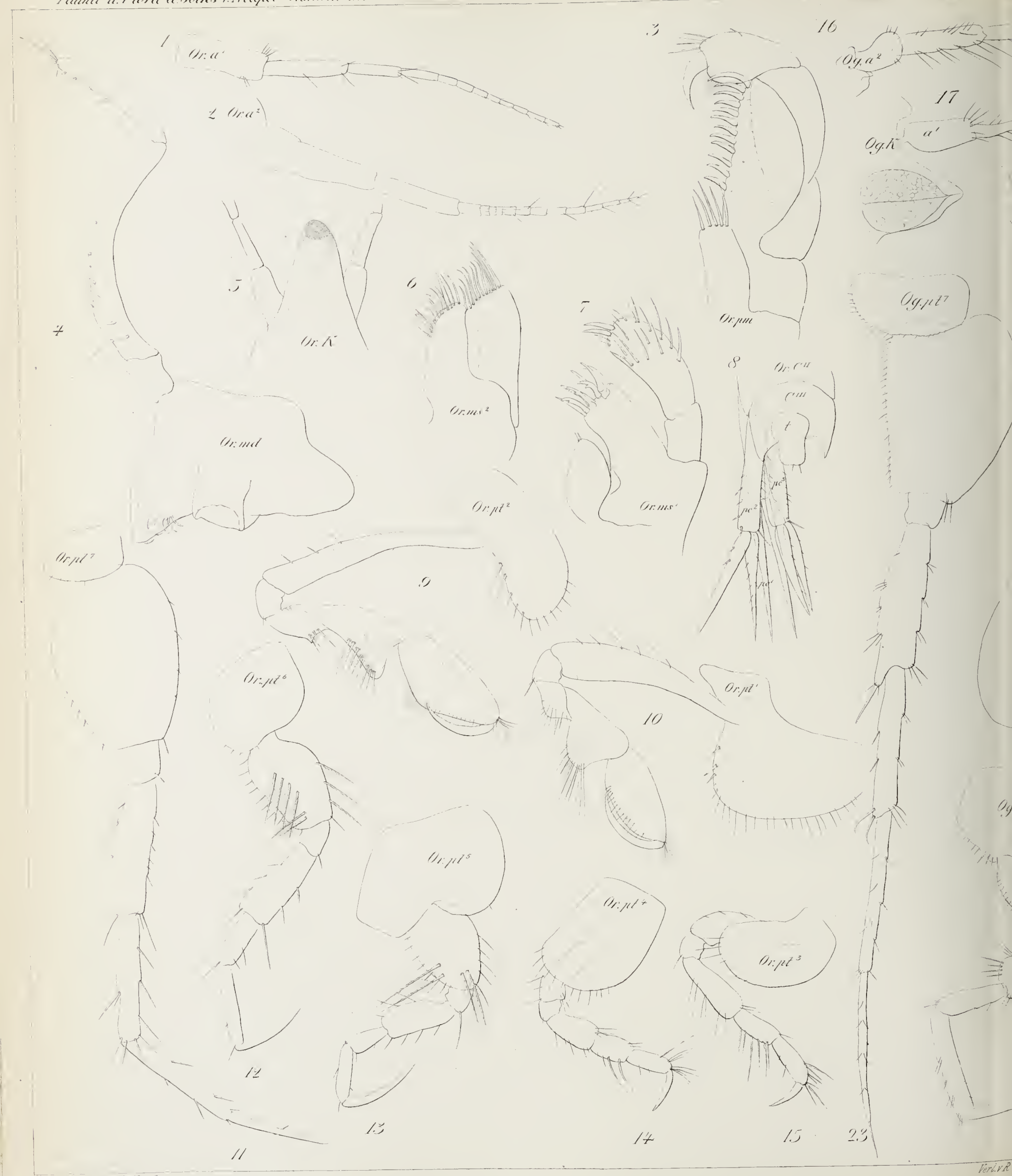
1
Or. a¹
2 Or. a²
3
Or. pm
4
Or. K
5
6
Or. ms²
7
Or. ms¹
Or. md
Or. pl²
Or. pl⁷
9
Or. pl⁶
10
Or. pl¹
Or. pl⁵
Or. pl⁴
Or. pl³
12
13
14
15
11
16
Og. a²
17
Og. K
a¹
Og. pl⁷
8
Or. C^II
C^III
t
pe³
pe²
pe¹
23
Verl. v. R.
A. Della Valle chs.

1-15 Or.

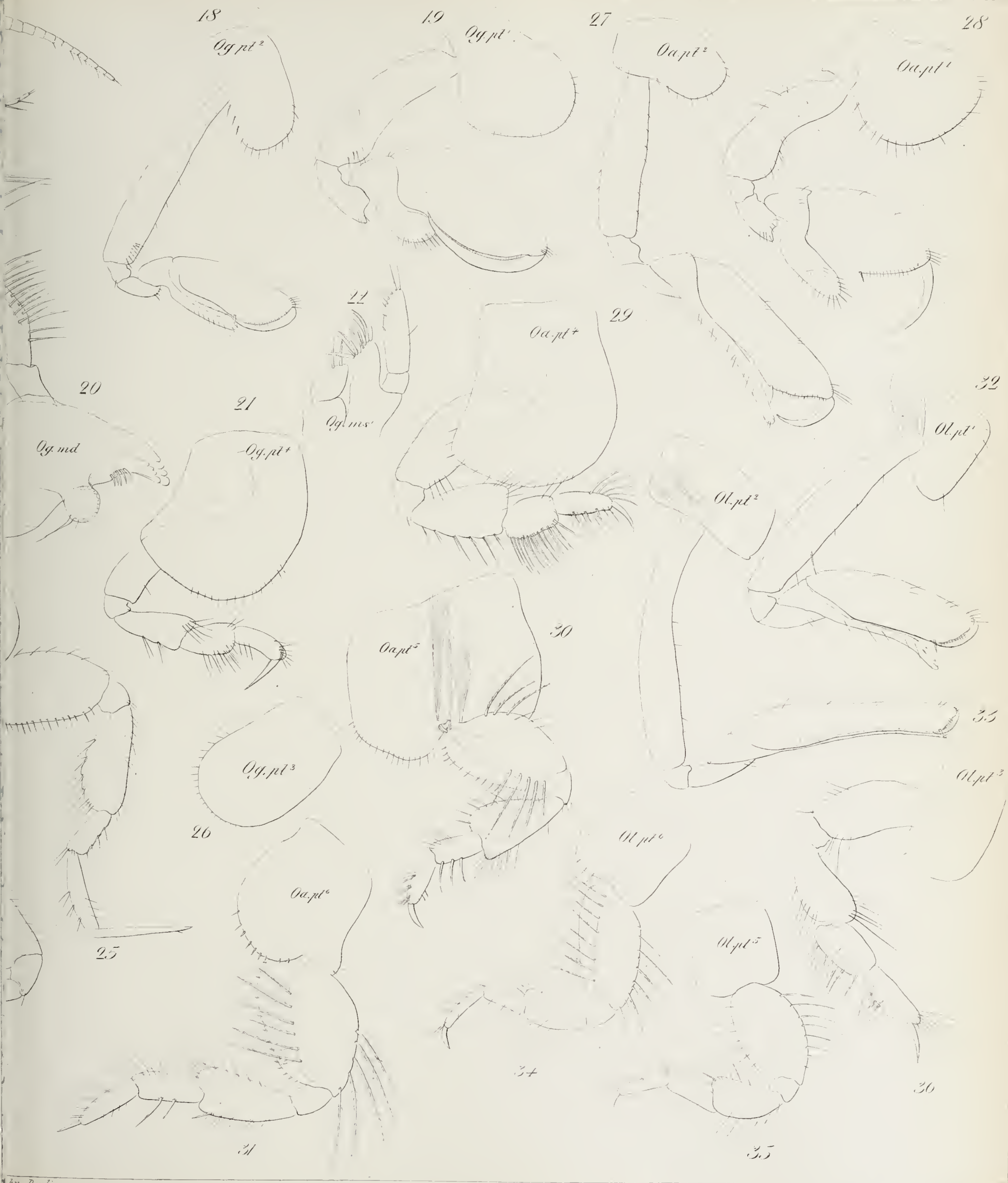

...n-Berlin

Sch. A. Scrino-Napoli

27-31 Oa. 32-36 Ol.

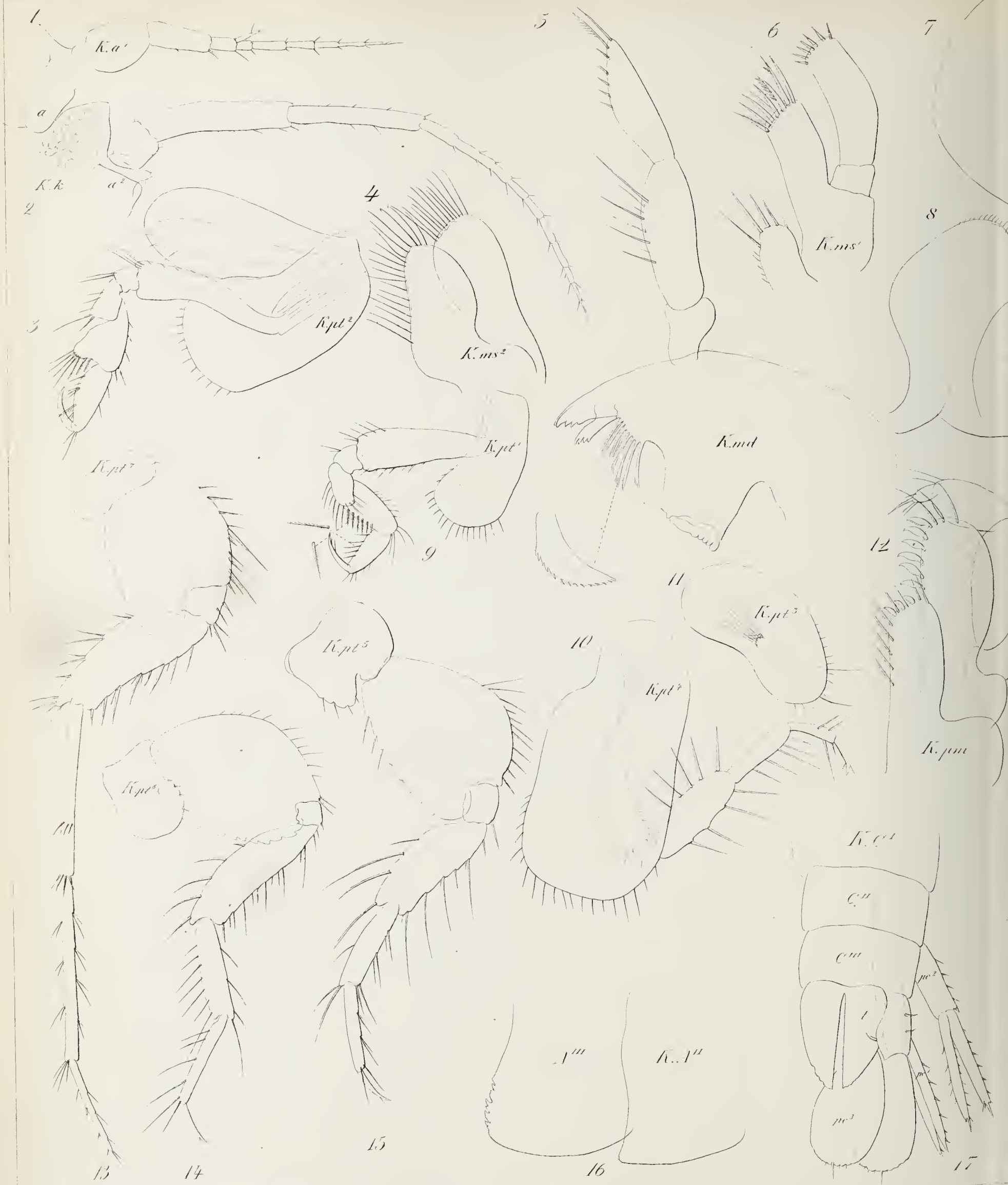
1.
K.a'
a
K.k
a²
2
3
4
K.pt²
K.ms²
5
6
K.ms'
7
8
K.pt'
K.pt⁷
K.md
9
10
11
K.pt³
K.pt⁵
K.pt⁴
K.pt⁶
12
K.pm
K.C¹
C^II
C^III
pe²
1
pe³
13
14
15
A^III
K..A^II
16
17

1-17 K.

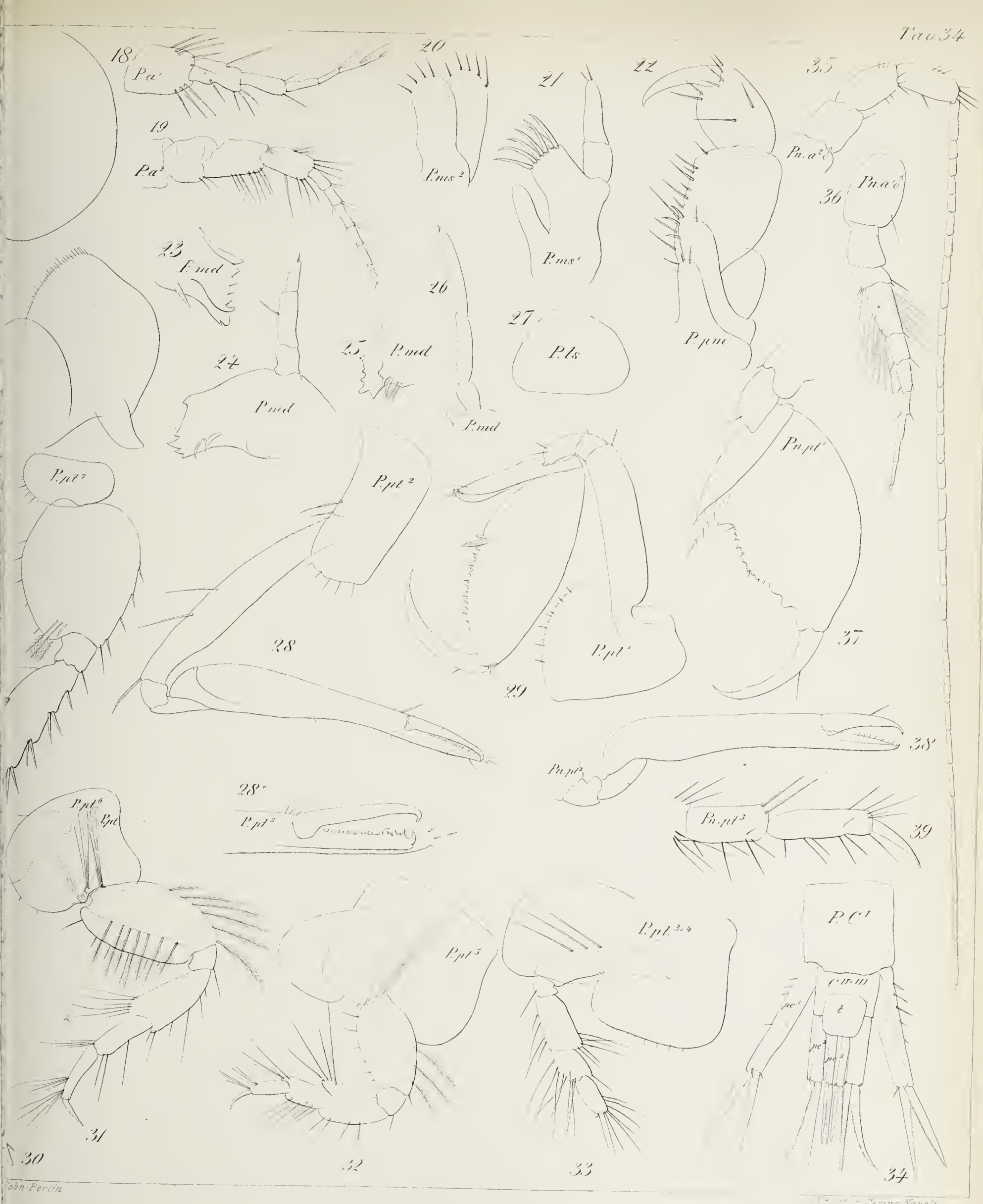

John Perlin

Lerine-Napoli

18-34 P

35-39 Pn.

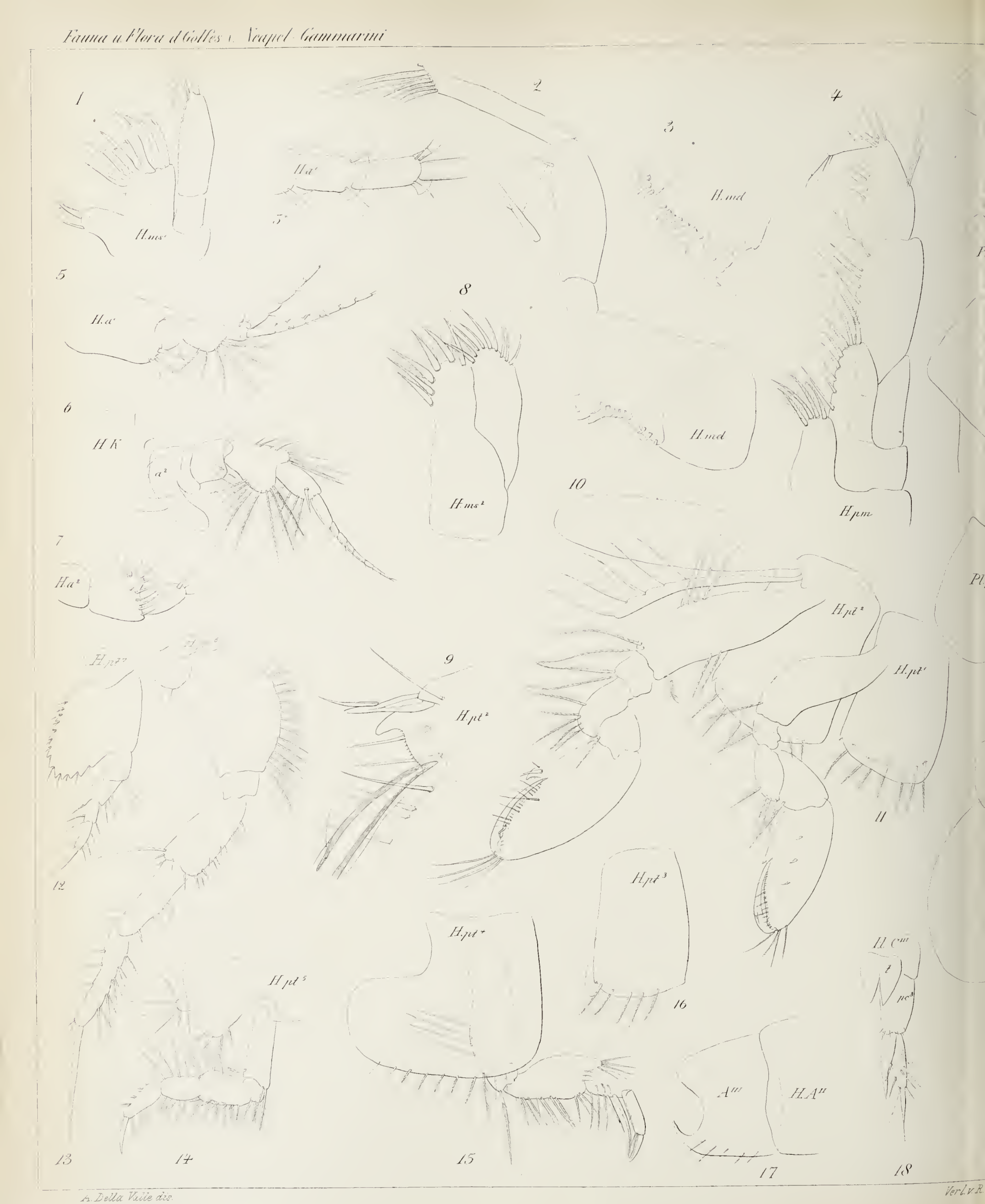

A. Della Valle dis.

Verl. v. R.

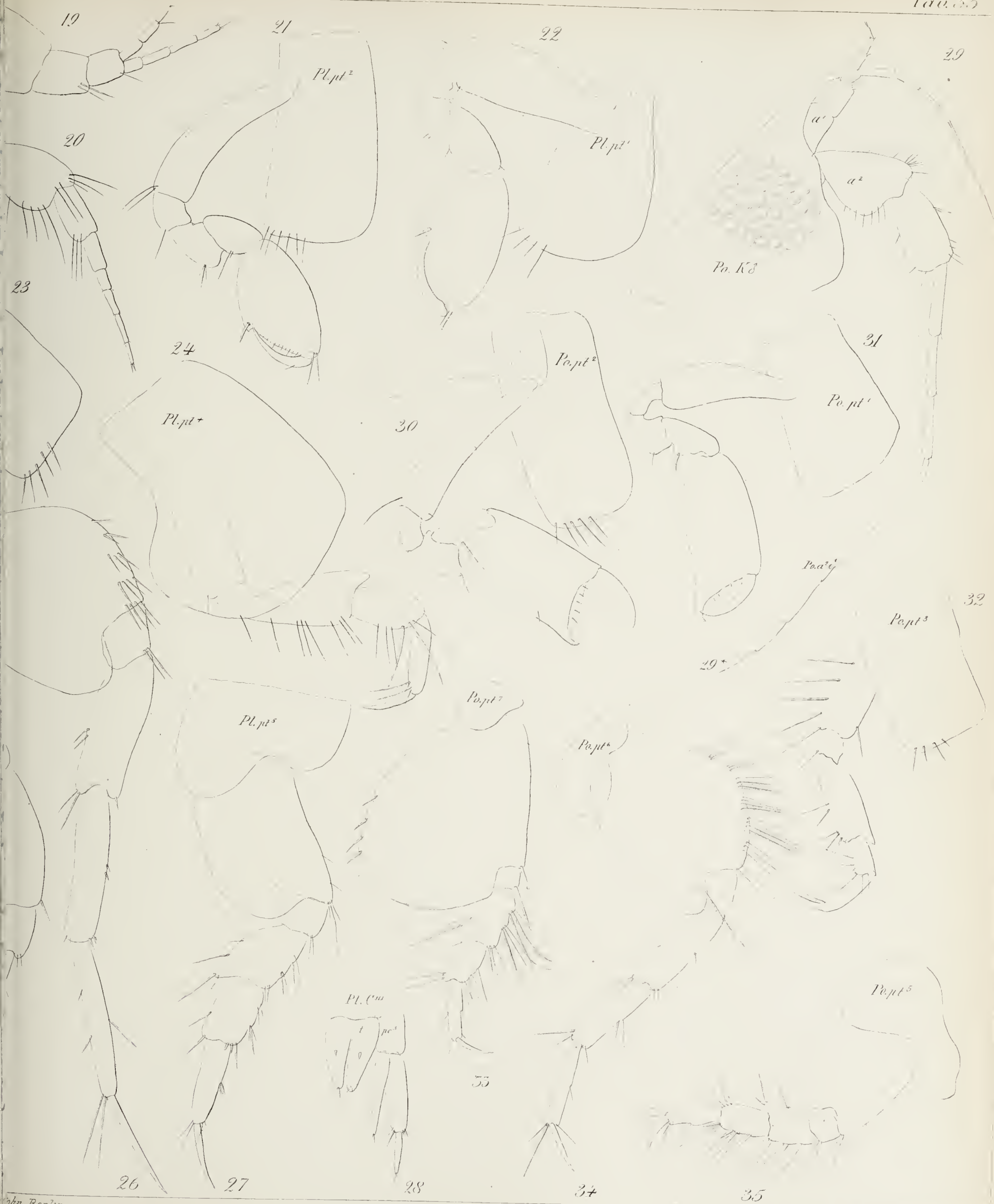

ohn-Berlin
St. U. A. Sernes-Warck

19-28 Pl.

29-35 Po.

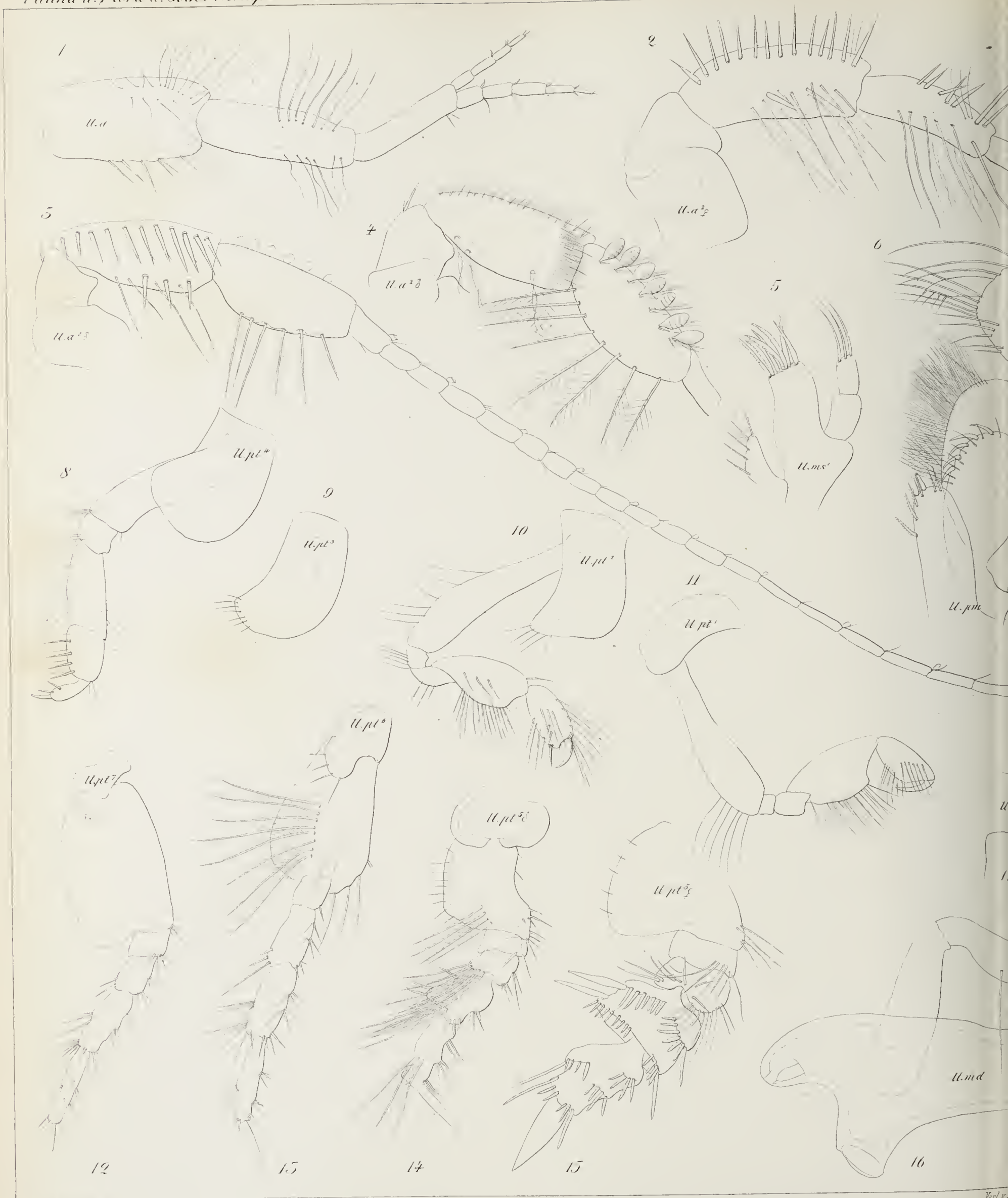
1
U.a
2
U.a²♀
5
U.a²♂
4
U.a²♂
6
5
U.ms¹
U.pt⁴
8
9
U.pt³
10
U.pt²
11
U.pt¹
U.pm
U.pt⁶
U.pt⁷
U.pt⁵♂
U.pt⁵♀
U.md
12
13
14
15
16

1-18 U.

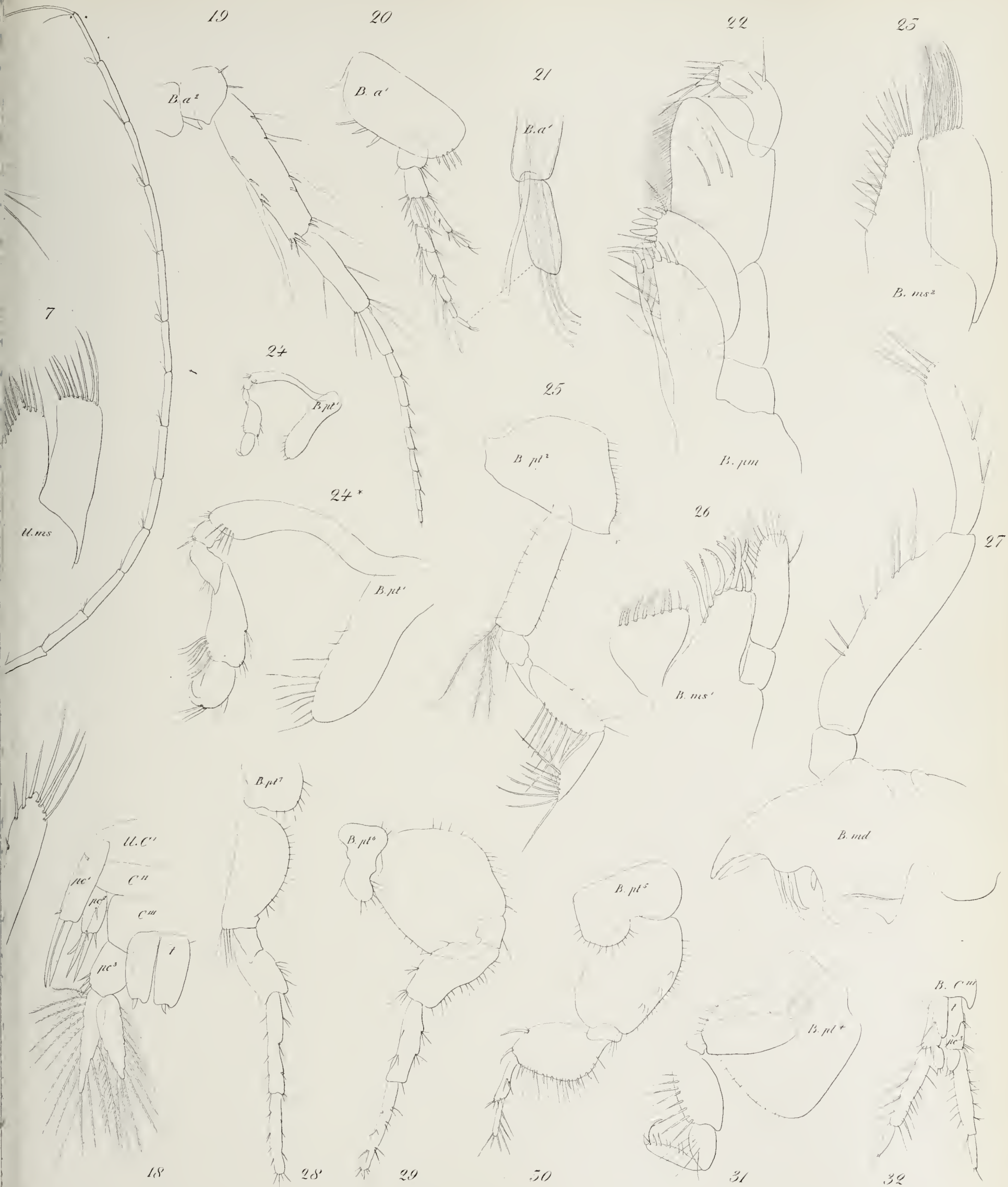

Stab. A. Serino - Napoli

19 - 32 B.

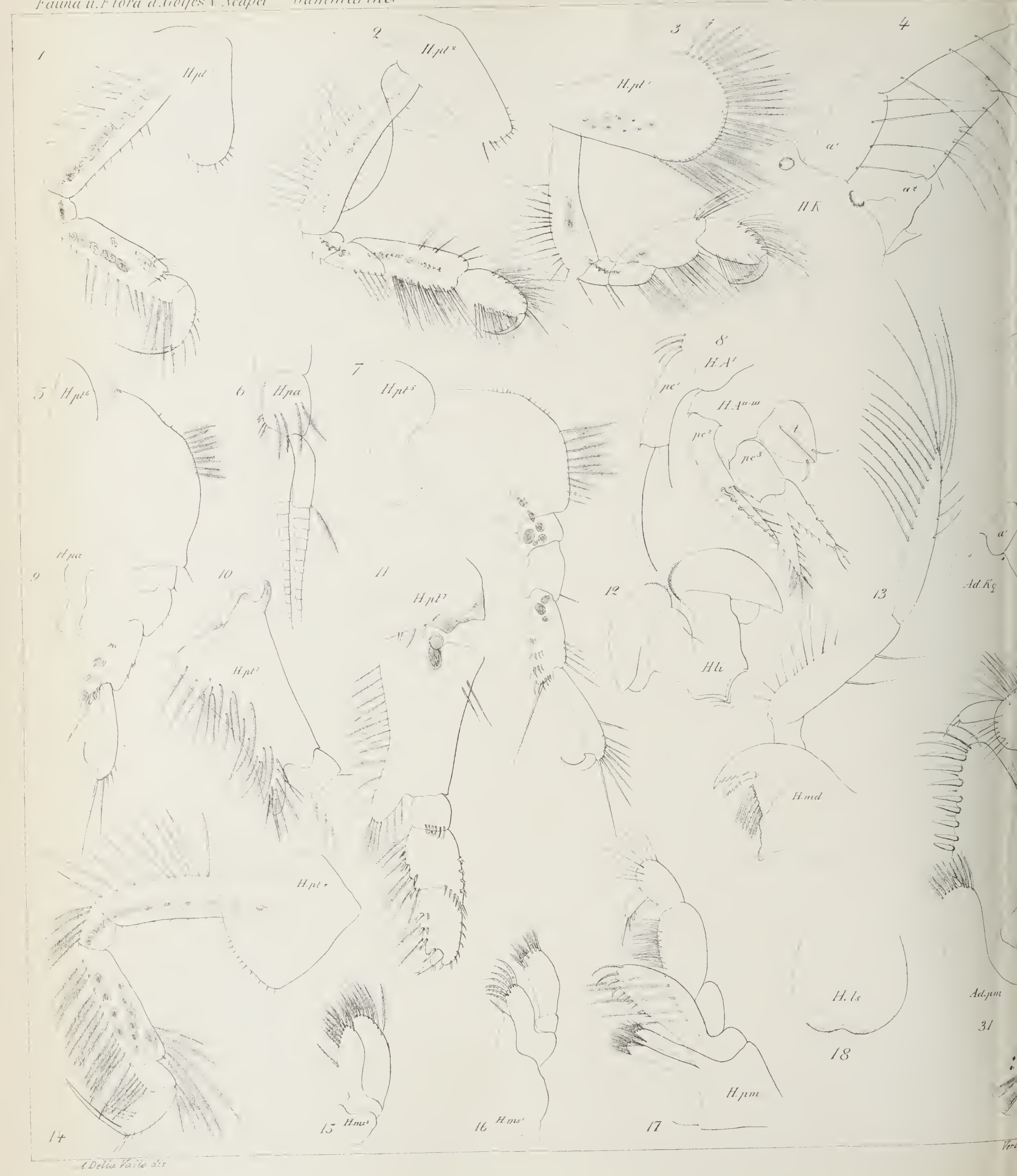
1
Hpt
2
Hpt²
3
H.pt¹
a¹
a²
H.K
4
5
Hpt⁶
6
Hpa
7
Hpt⁵
8
H.A¹
pc¹
H.A^{a-m}
pc²
pc³
t
Hli
H.md
H.ls
18
H.pm
17
9
Hpa
10
Hpt⁷
Hpt⁴
11
Hpt⁷
12
13
a¹
Ad.Kq
Ad.pm
31
14
15
Hms²
16
Hms¹

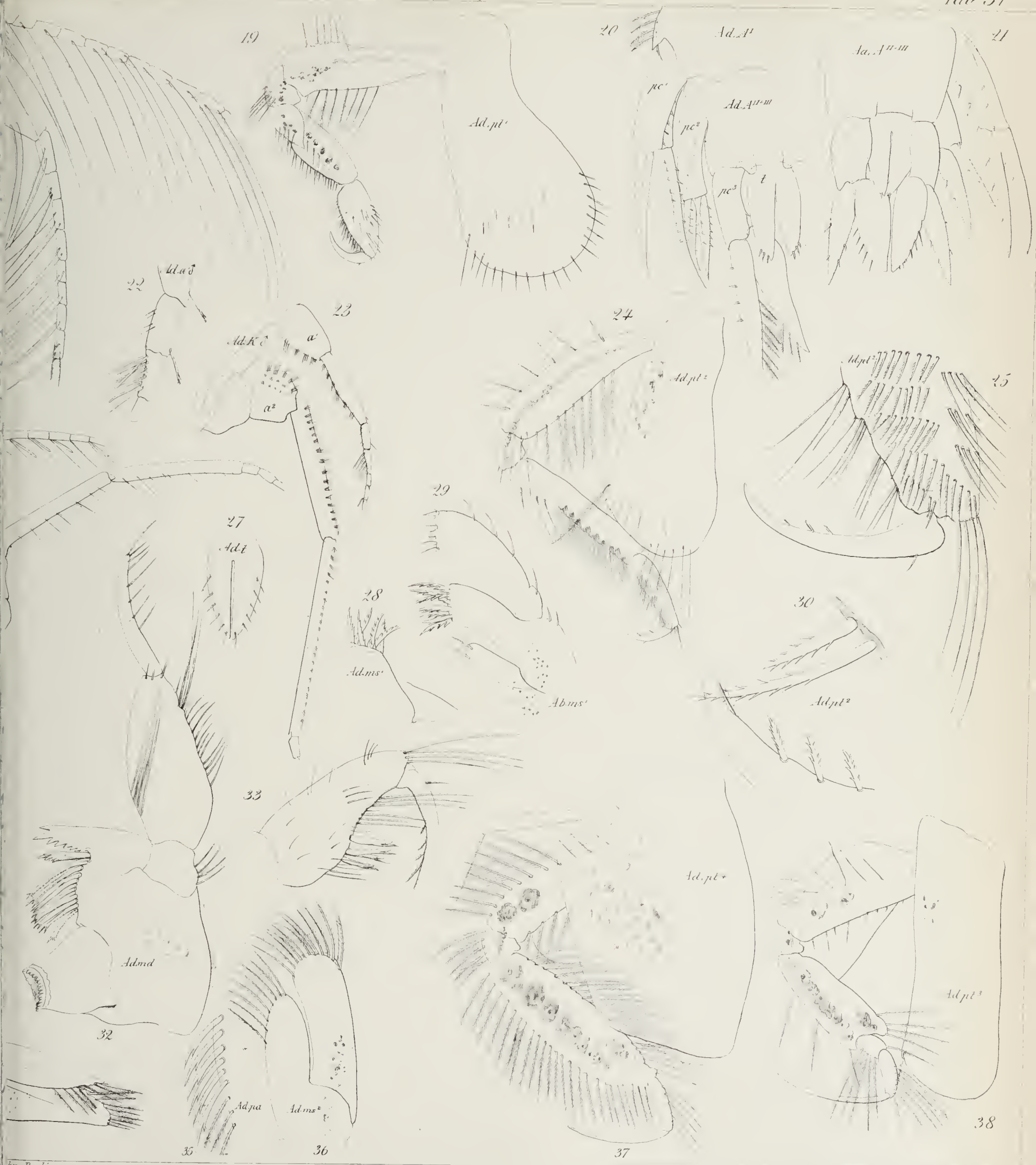
19
20
Ad.A¹
21
Ad.A^{II-III}
Ad.pt¹
pc¹
pc²
pc³
t
22
Ad.a³
23
Ad.K
a¹
a²
24
Ad.pt²
25
Ad.pt²
27
Ad.t
29
28
Ad.ms¹
Ab.ms¹
30
Ad.pt²
33
Ad.md
32
Ad.pt⁴
Ad.pt³
Ad.pa
Ad.ms²
35
36
37
38

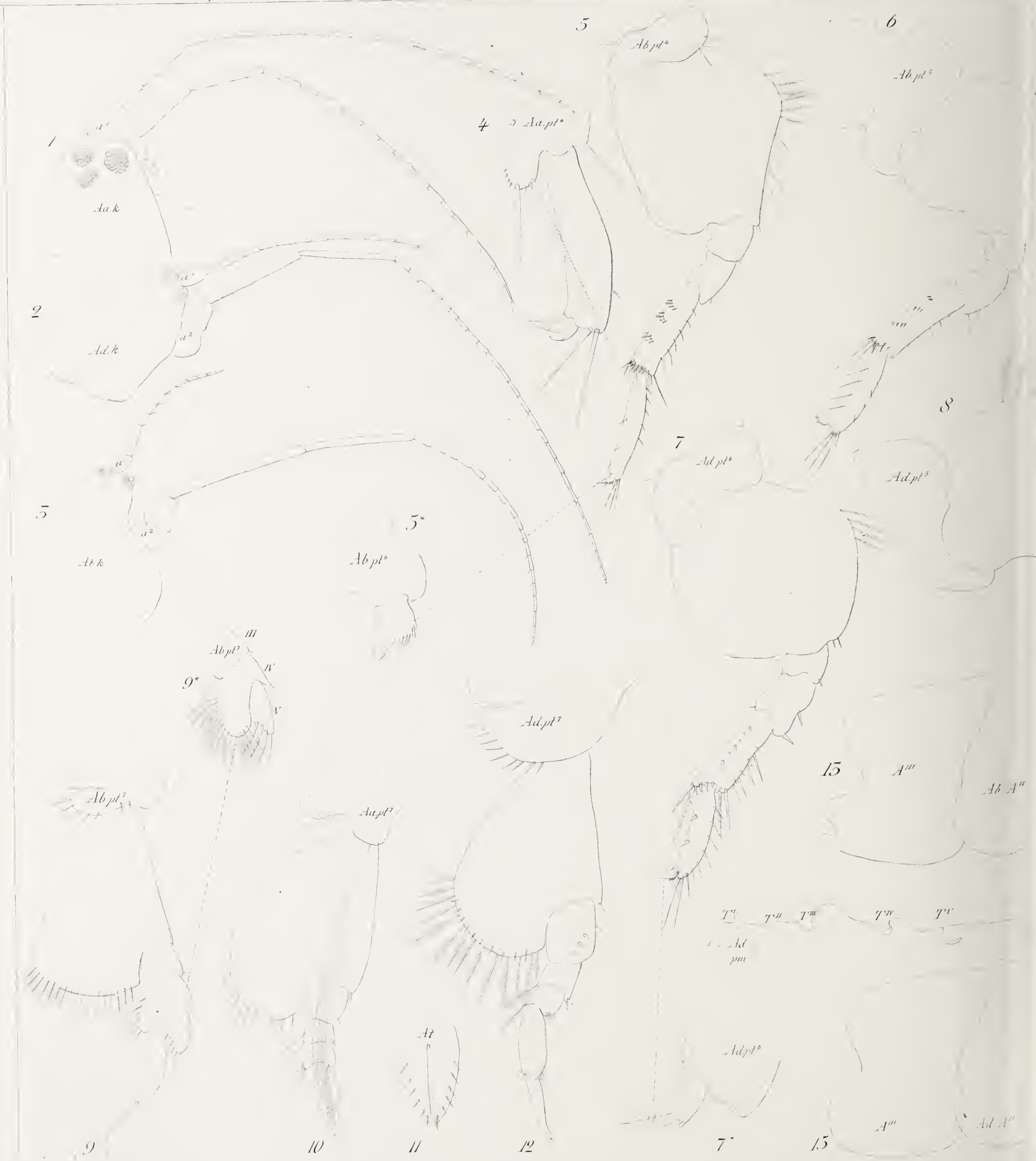
1
a'
Aa.k
2
a'
a²
Ad.k
3
a'
a²
Ab.k
4
Aa.pt⁶
5
Ab.pt⁶
6
Ab.pt⁵
7
Ad.pt⁶
8
Ad.pt⁵
5*
Ab.pt⁶
9*
III
Ab.pt⁷
IV
V
Ad.pt⁷
Ab.pt⁷
Aa.pt⁷
At
9
10
11
12
15
A'''
Ab A''
T'
T''
T'''
T''''
T'''''
s
Ad
pm
Ad.pt⁶
7*
15
A'''
Ad A''

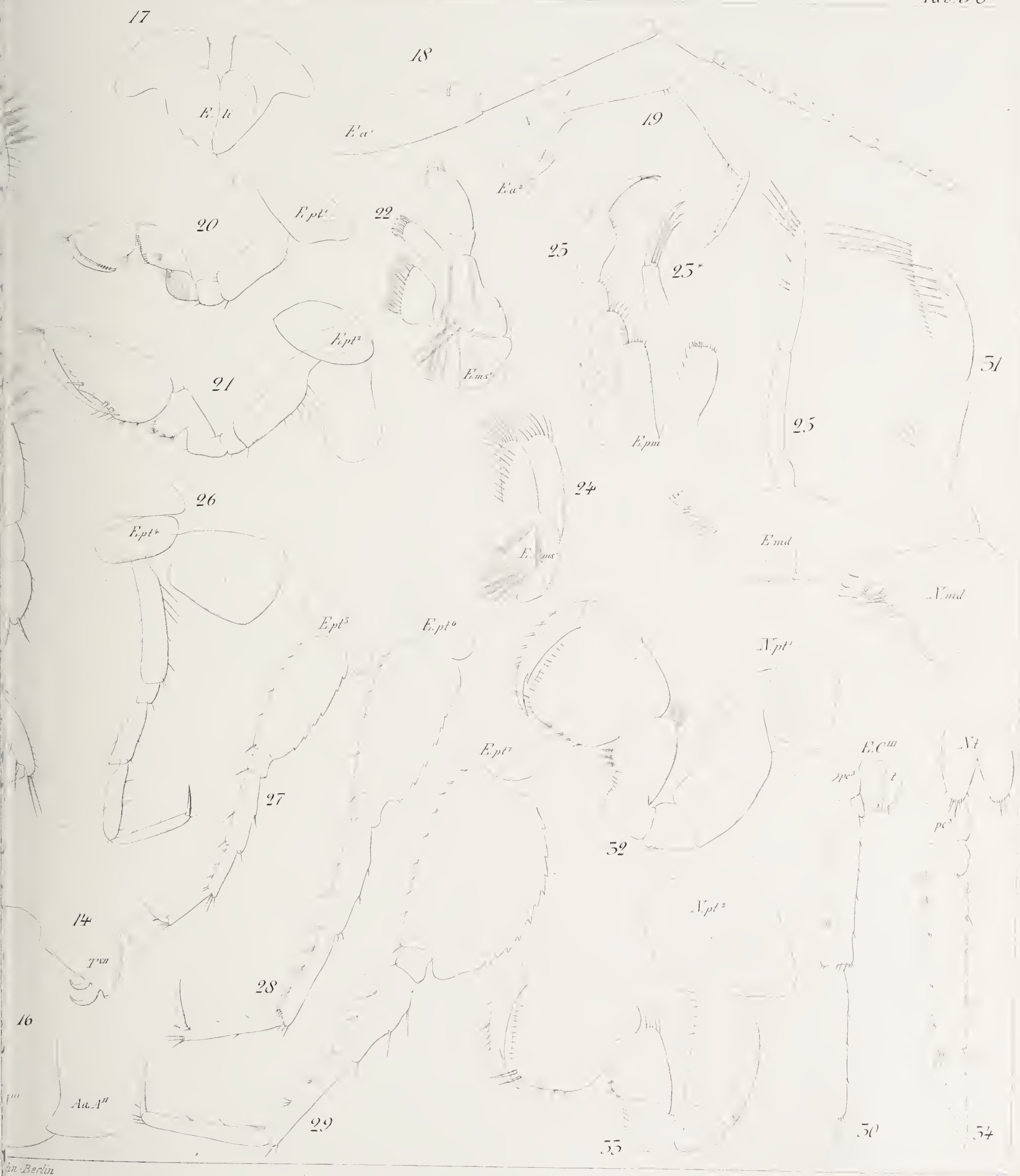
17
18
19
20
21
22
23
23*
24
25
26
27
28
29
30
31
32
33
34
14
16
E. li
E.a¹
E.a²
E.pt¹
E.pt²
E.ms¹
E.pm
E.pt⁴
E.ms²
E.md
N.md
E.pt⁵
E.pt⁶
N.pt¹
E.pt⁷
E.C^III
N.t
pc³
t
N.pt²
T^VII
Aa.A^II
1^III

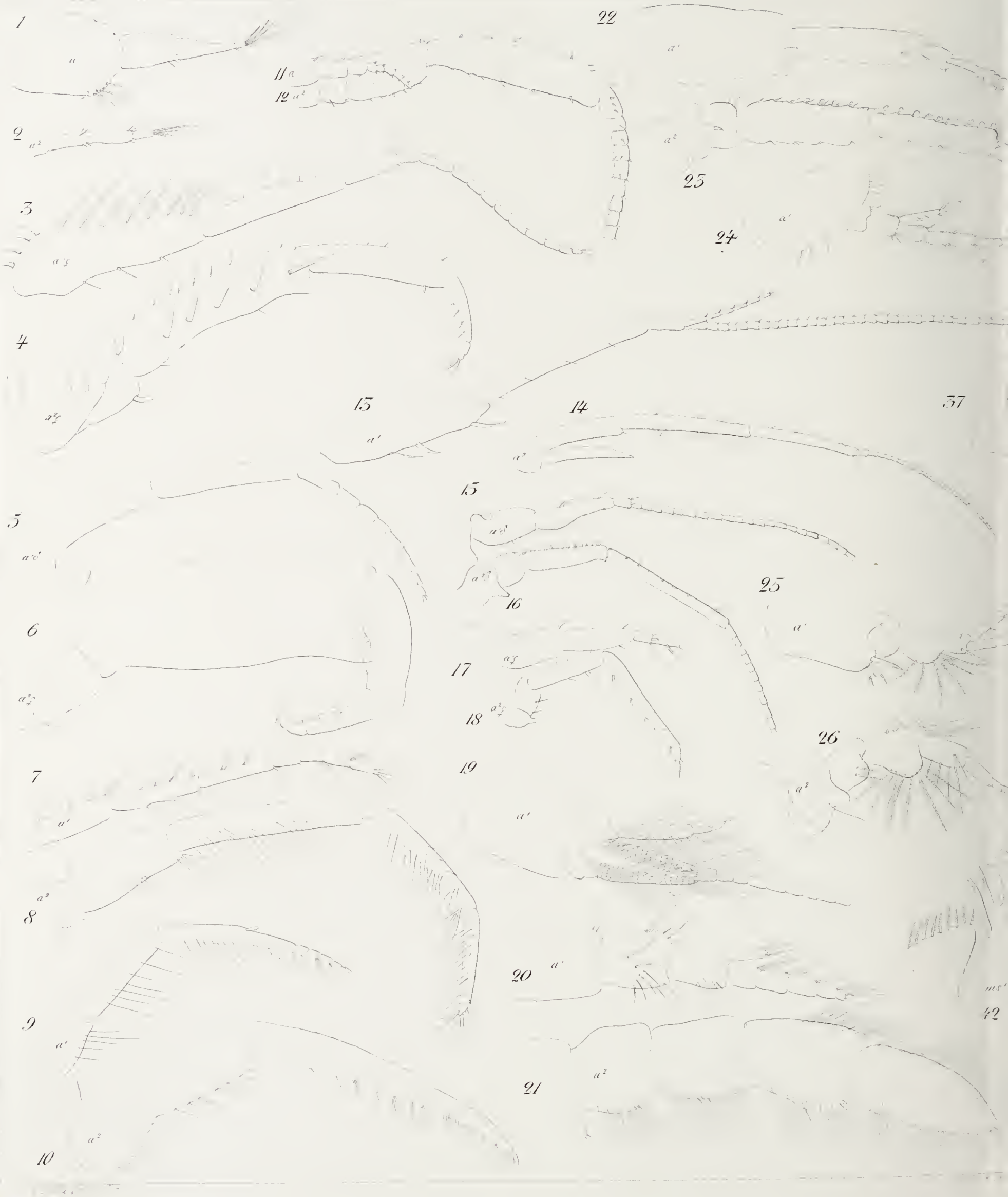
1
2
3
4
5
6
7
8
9
10
11 a
12 a²
13
14
15
16
17
18
19
20
21
22
23
24
25
26
37
42

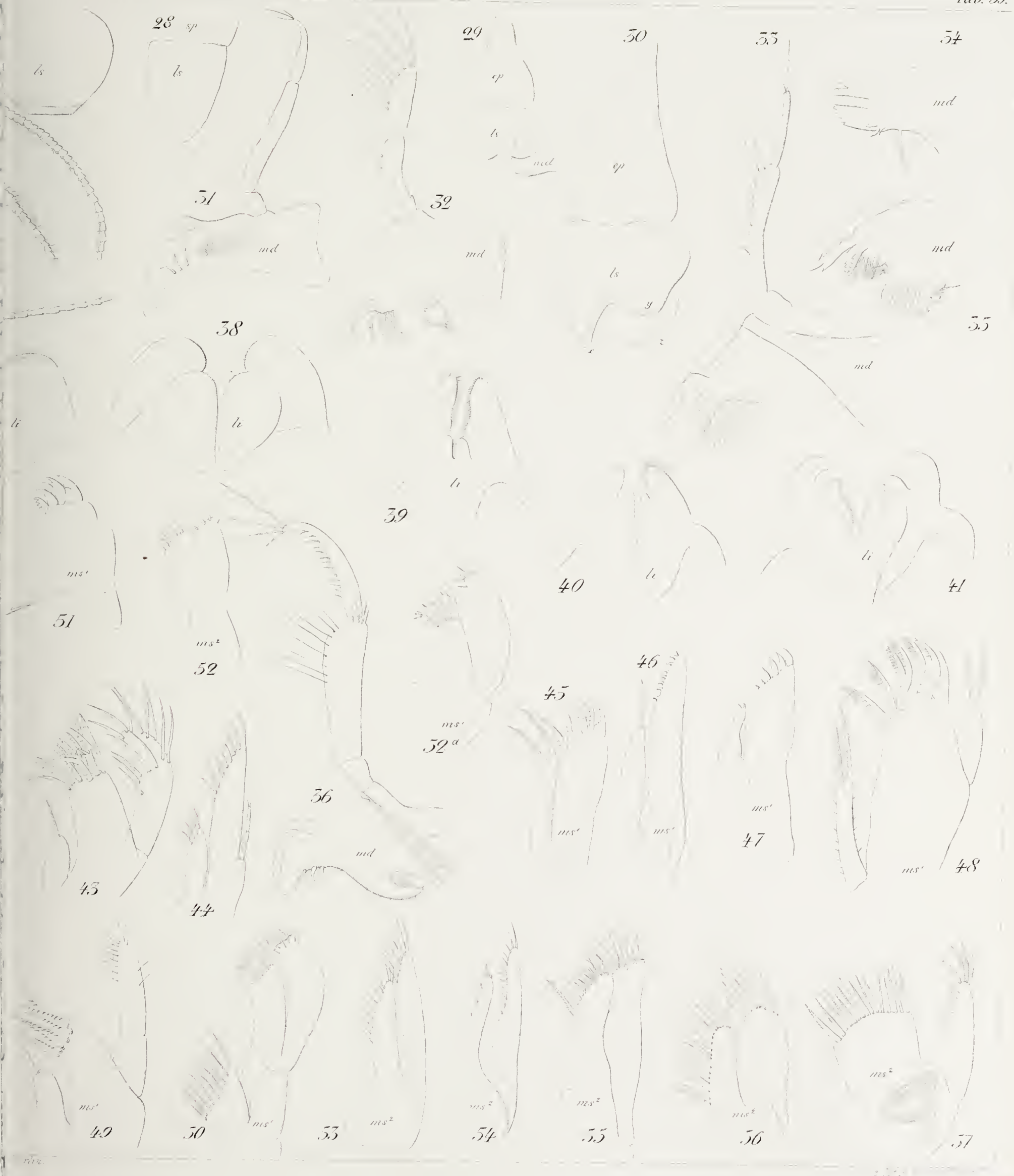
28
sp
ls
ls
29
cp
ls
md
30
cp
ls
y
x
z
33
34
md
md
31
md
32
md
35
md
38
li
li
li
39
li
li
41
ms'
51
ms²
52
40
45
46
ms'
ms'
ms'
ms'
52ª
36
ms'
47
ms'
48
md
43
44
ms'
49
50
ms'
53
ms²
ms²
54
ms²
55
ms²
56
ms²
57

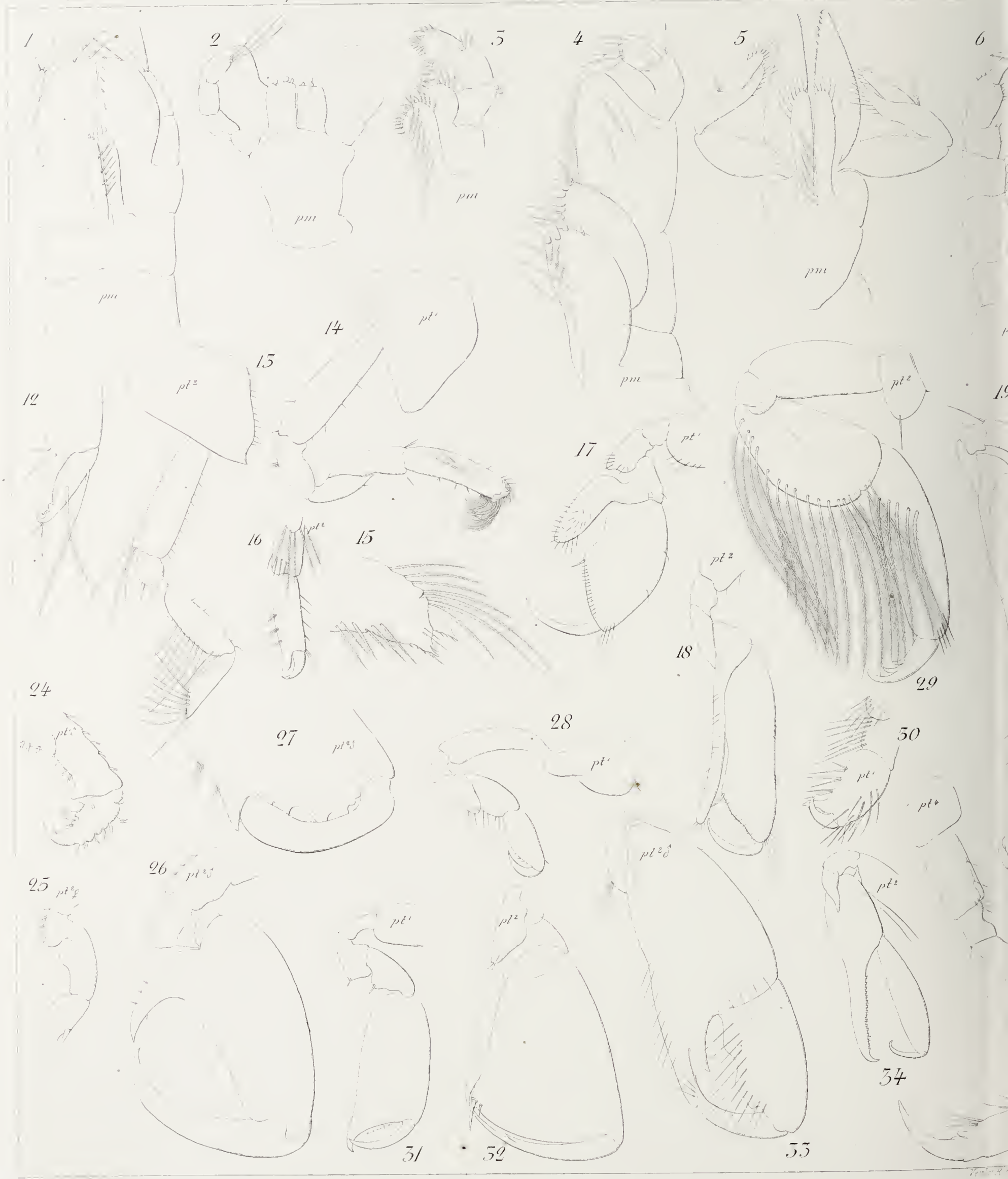
1
2
3
4
5
6
pm
pm
pm
pm
pm
14
pt'
15
pt²
12
pt²
pt'
17
16
pt²
15
pt²
18
29
24
pt²
27
pt²♂
28
pt'
30
pt'
pt⁴
pt²♂
26
pt²♂
25
pt²♀
pt'
pt²
pt²
34
31
32
33

Berlin

Fol. 4 Serie Nym.

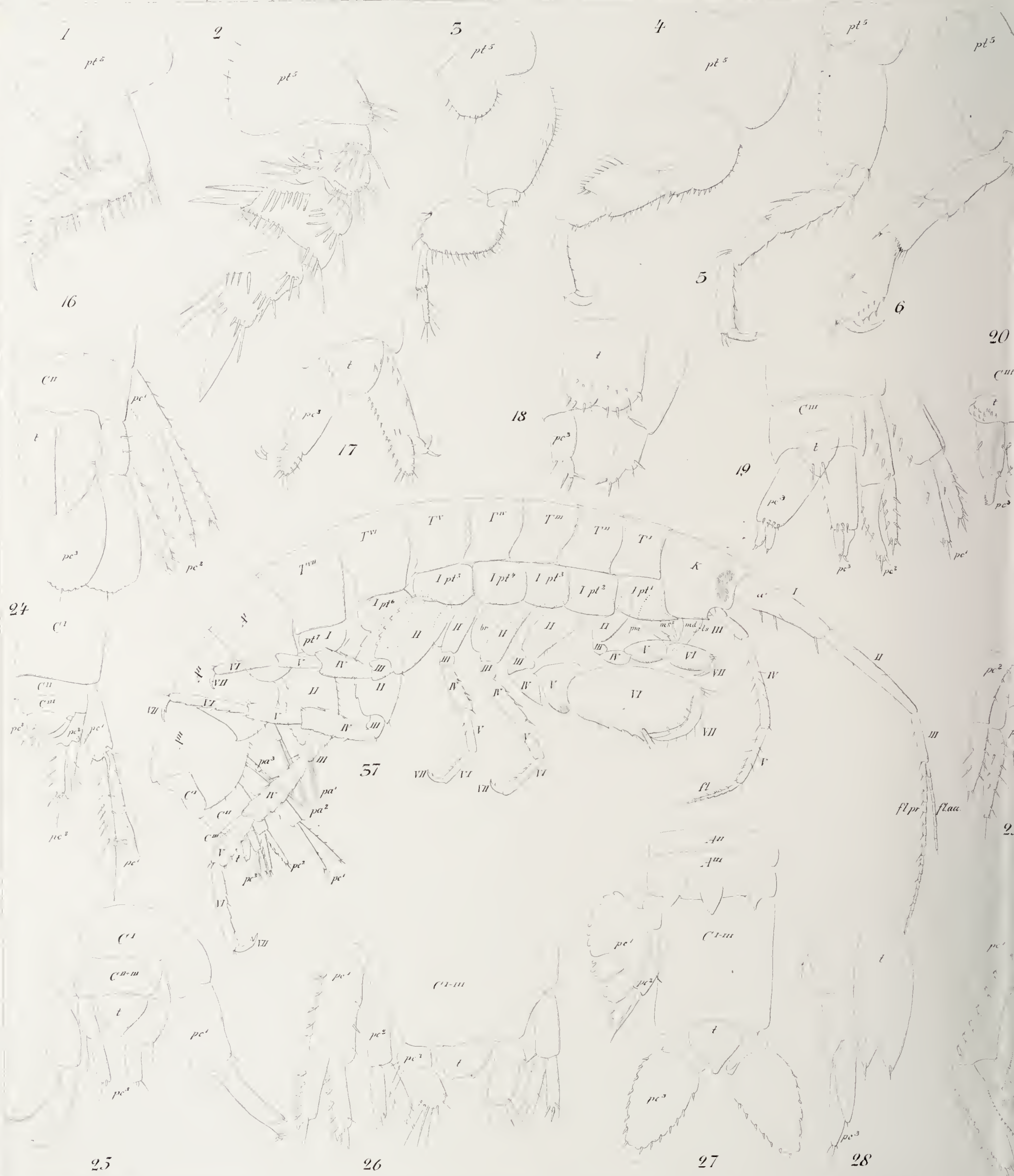

A. Della Valle dis.

Tom. I. F.

591.945
N16F
V. 20
c

Mrs. Janet C. Rapp
203 Harker Hall

The Librarians' Association
of the
University of Illinois Library
announces

The final program for

THE LIBRARY HOUR

Wednesday afternoon from
5 to 5:45 o'clock
Room 118 Library
May 16

Professor Wesley Swanson
Readings from

SHAKESPEARE WITHOUT TEARS,
by Margaret Webster (director of OTHELLO in Chicago)

and

THE DRAMATIC IMAGINATION,
by Robert Edmond Jones
(set designer for OTHELLO)

You are cordially invited.

Please announce in your classes.

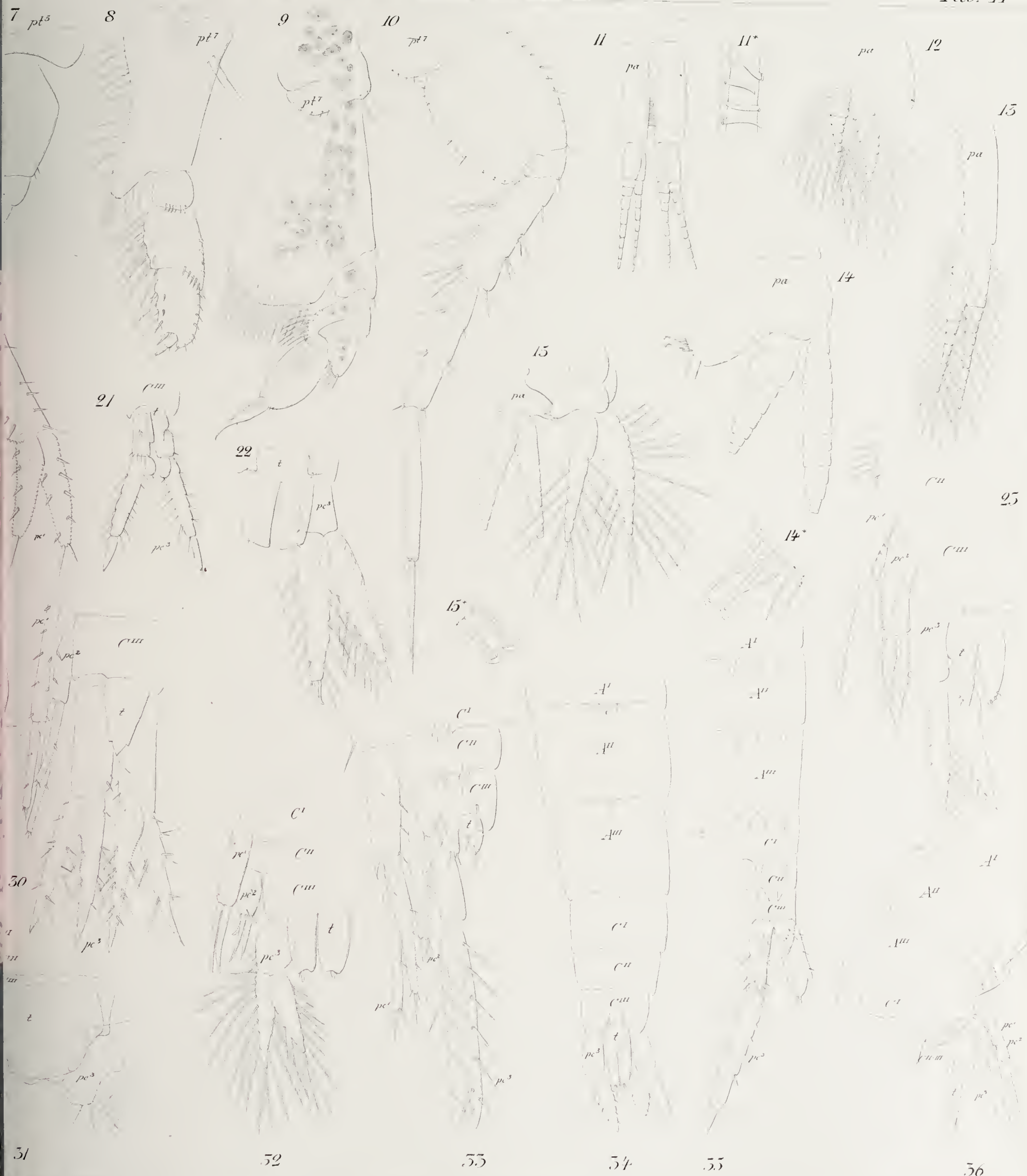
7
8
9
10
11
11*
12
13
14
14*
15
15*
21
22
25
30
31
32
33
34
35
36

1.
2.
3.
4.
5.
6.
7.
8.
9.
10.
11.
cp
ls
md
ms'
ms²
II
I
x
y
IV
III
li
z
sp.d
s.ci
a'
a²
VI
VII
non
t.m
tu.m
m
m'

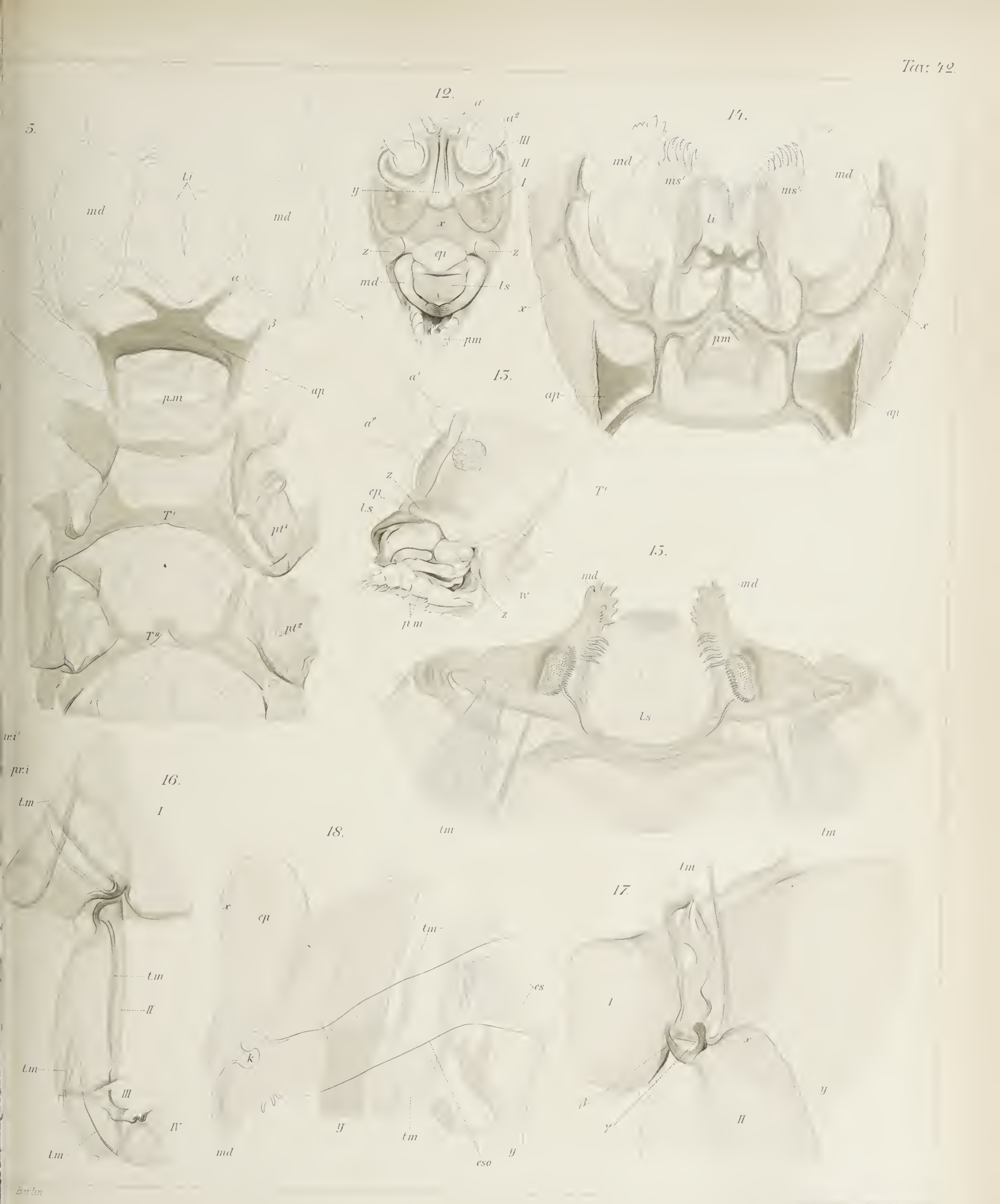
5.
12.
14.
13.
15.
16.
17.
18.
md
li
α
β
ap
pm
T'
pt'
pt²
T''
a'
a²
III
II
I
y
x
z
cp
ls
w
ms'
tm
es
k
IV
eso

Berlin

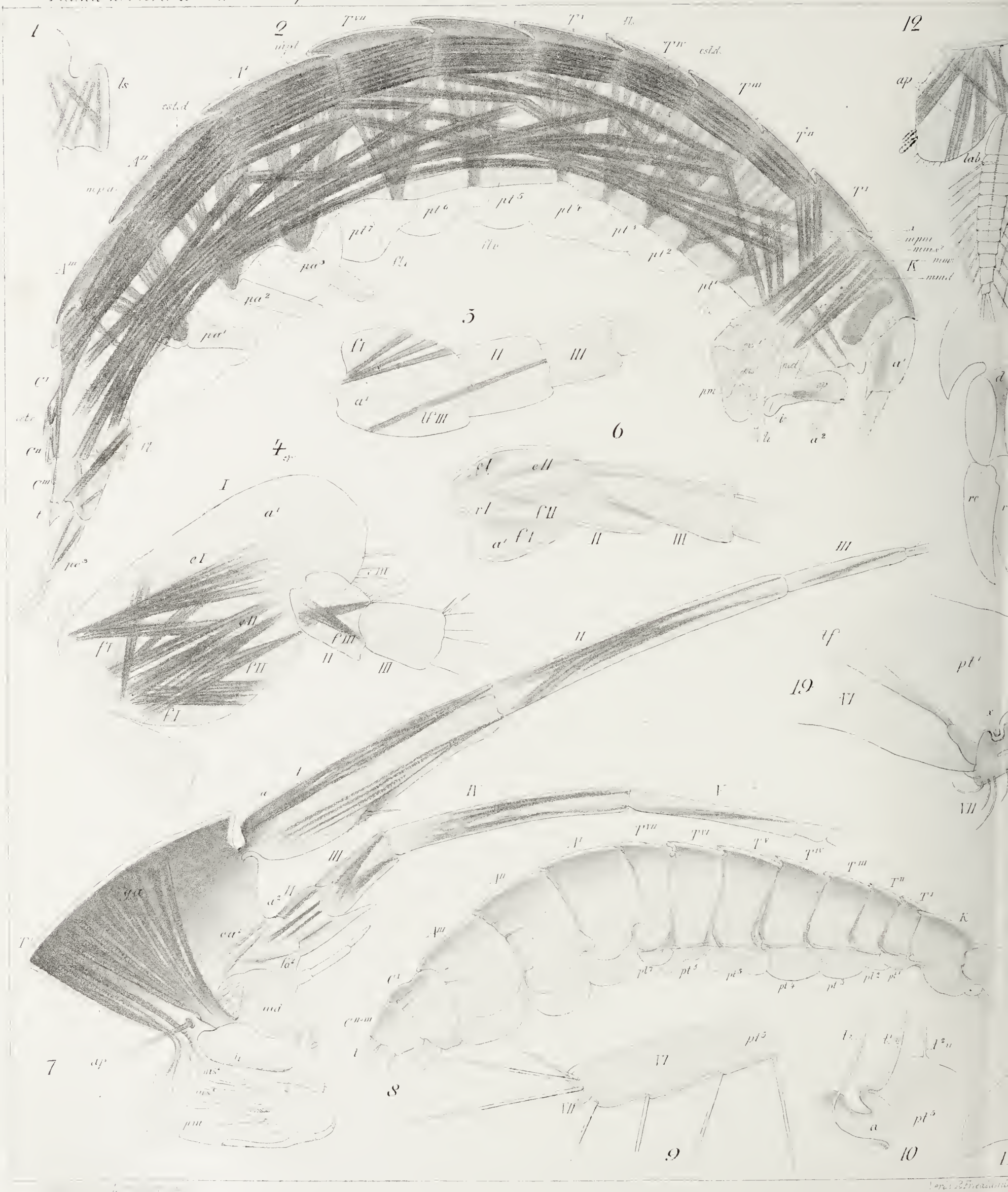
1
2
12
5
6
4
19
7
8
9
10
ls
lab
ap
md
mx
pm
K
VII
VI
III
II
I
V

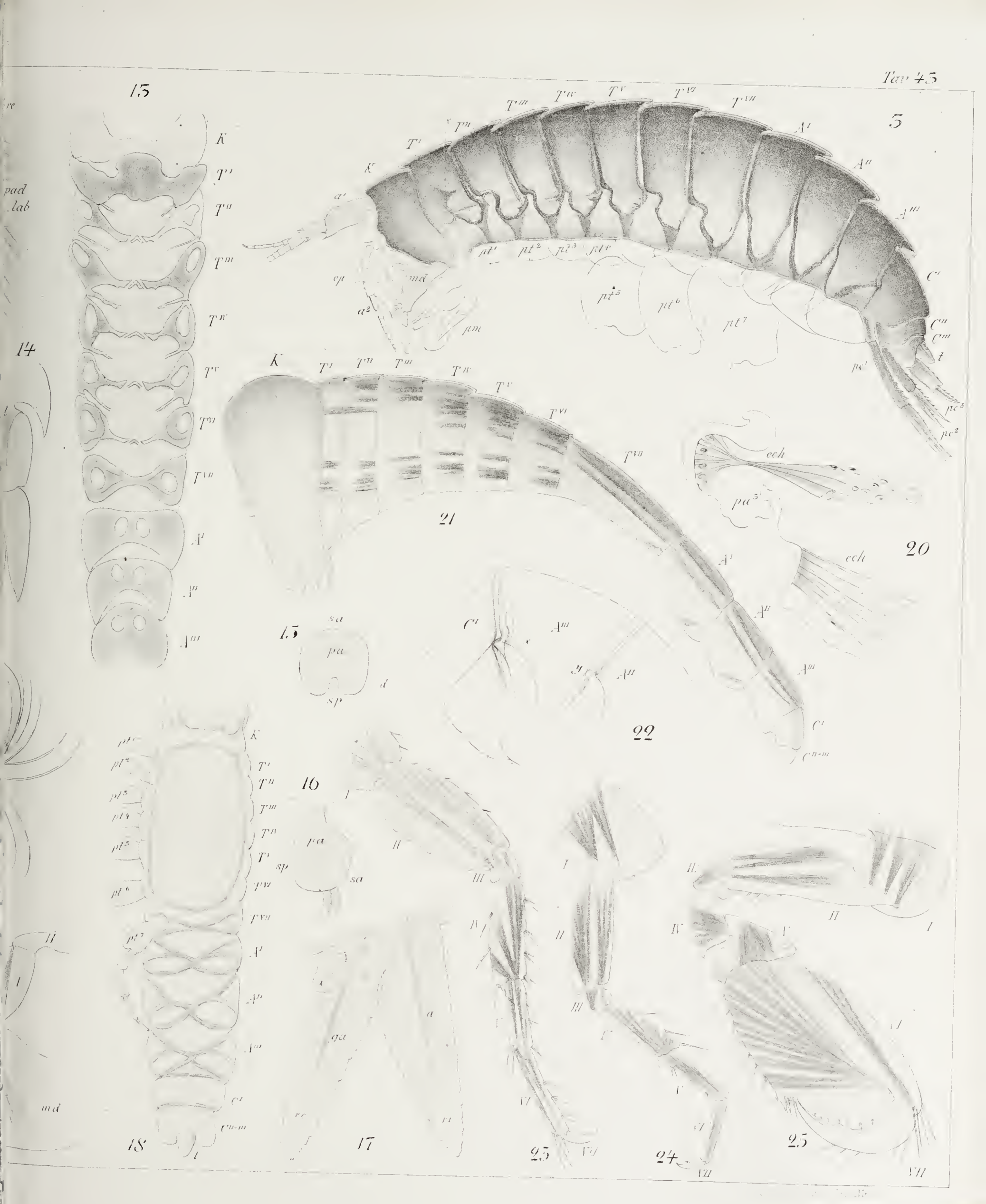
13
14
15
16
17
18
19
20
21
22
23
24
25
5
re
pad
lab
md
K
T'
T''
T'''
T^IV
T^V
T^VI
T^VII
A'
A''
A'''
C'
C''
C'''
t
pt'
pt²
pt³
pt⁴
pt⁵
pt⁶
pt⁷
ep
a'
a²
pm
pc'
pc³
pc²
ech
pa³
sa
pa
sp
d
qa
a
I
II
III
IV
V
VI
VII

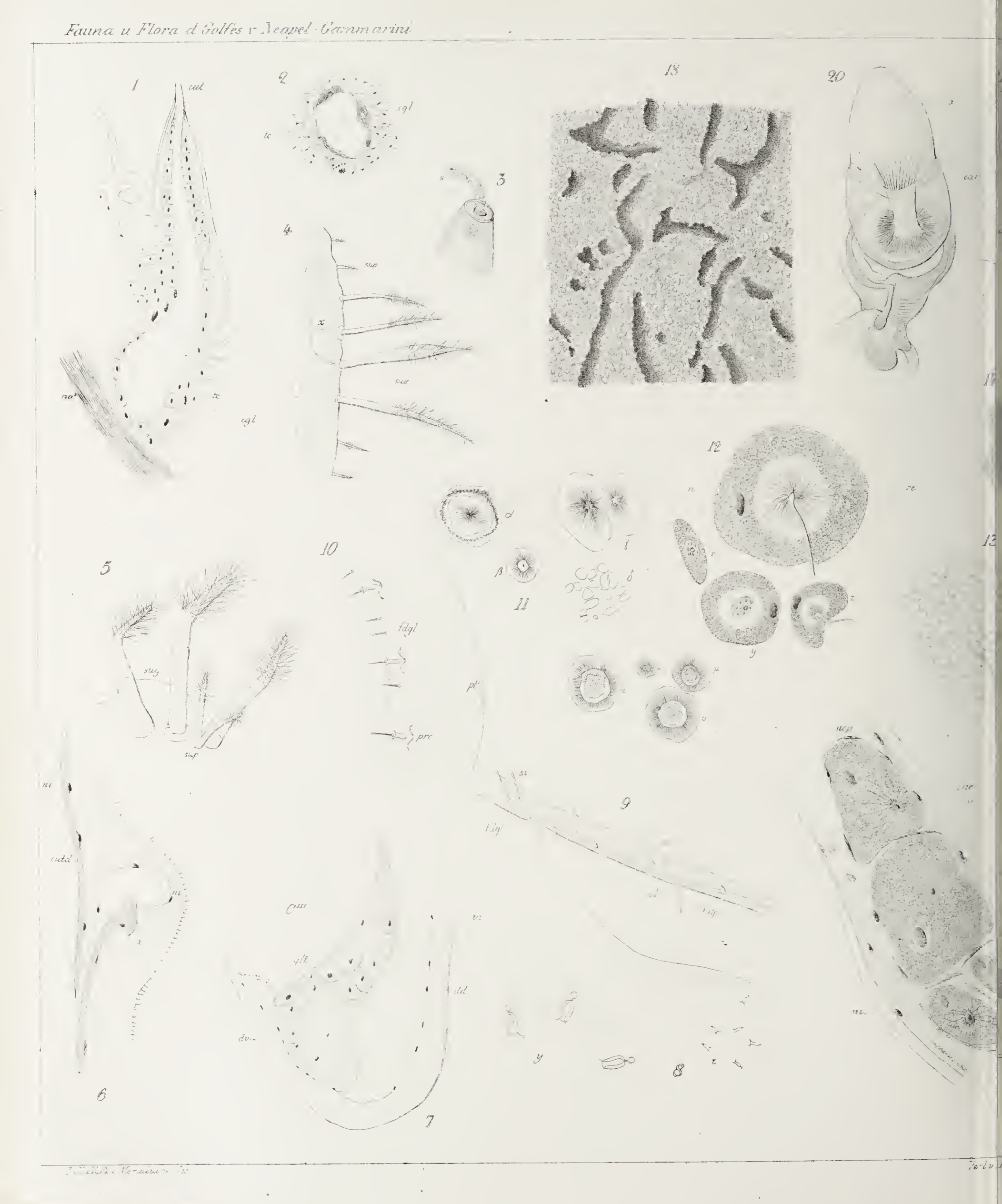
1
cut
cgl
tc
nat
2
cgl
tc
3
s
4
sup
x
sup
5
suy
sup
10
fdgl
pt
pre
11
12
n
re
x
z
y
13
9
si
fdgl
ncp
cne
nr
cutd
m
Cm
vz
dd
dv
y
8
6
7

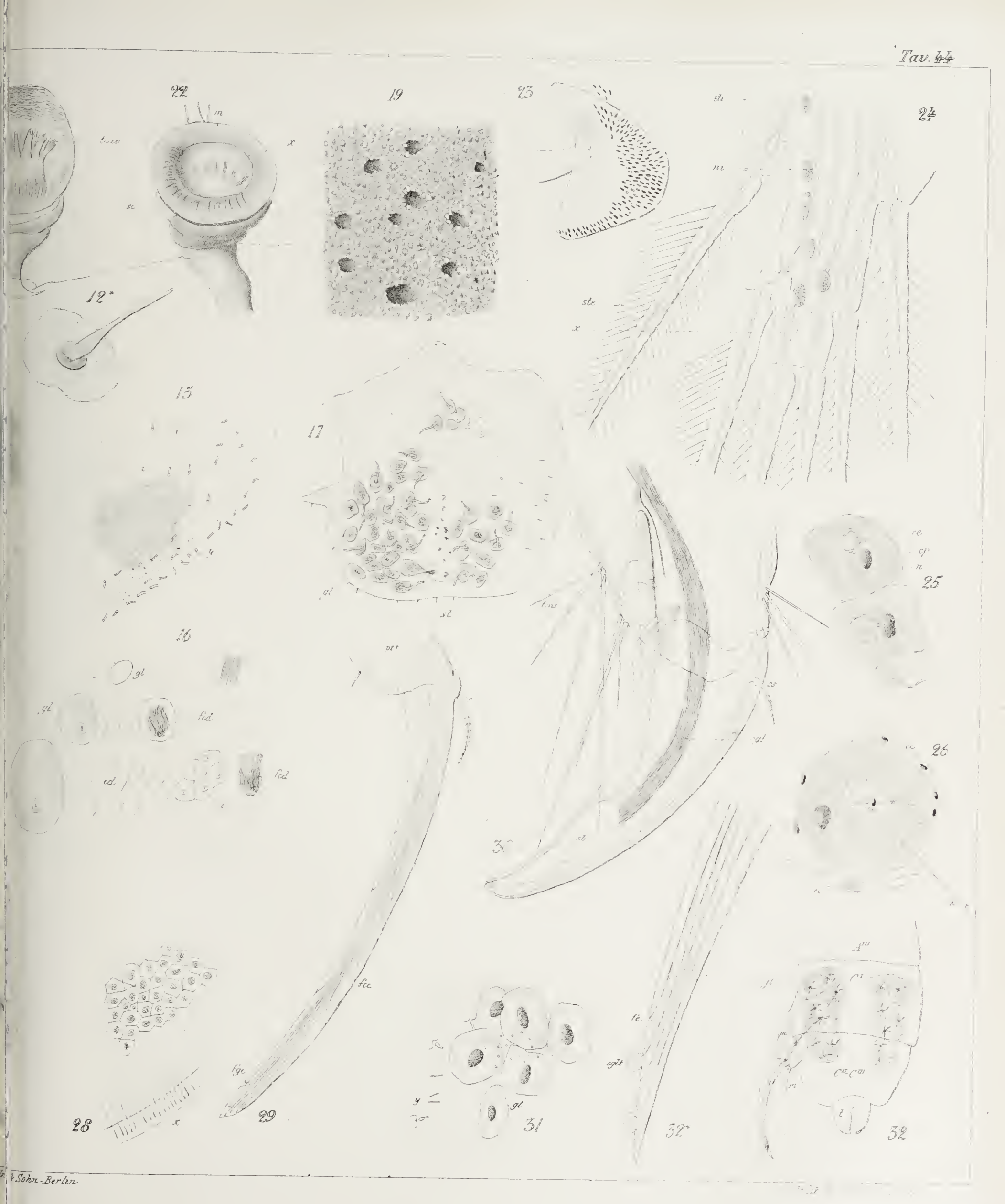
22
m
19
23
24
sh
nr
ste
x
12*
15
17
st
25
26
gl
fcd
cd
28
29
31
32
fcc
sglt
fe
gl

Sohn-Berlin

1.
gc
gi
K
gt¹
T¹
gt²
T²
gt³
T³
gt⁴
T⁴
gt⁵
T⁵
gt⁶
T⁶
gt⁷
T⁷
ga¹
A¹
ga²
A²
ga³
A³
gc
c¹
c²
c³
a¹
a²
es
st
dad
dep
Q.
10.
ct
n
4.
cg
nls
f
a²
a¹
5.
go
gc
cc
il
na¹
pgi
a²
glls
ls
ga²
md
nls
li
mst
es
K
ast
pgi
pgr
T¹
T²
c
dad
cep
ov
17.
gm
gipm
5.
11.
lc
lc
no
ga²
nls
nmd
nli
nms¹
nms²
npm
npt¹
ne¹
npt²
gt²
fel
ne²
ces.
mli
gses
x
x
x
gt¹
gt²
nic
gt³
gt⁴
gt⁵
7.
mdes
K
aa
st
ep
T¹
c
fm
T²
gls

12.

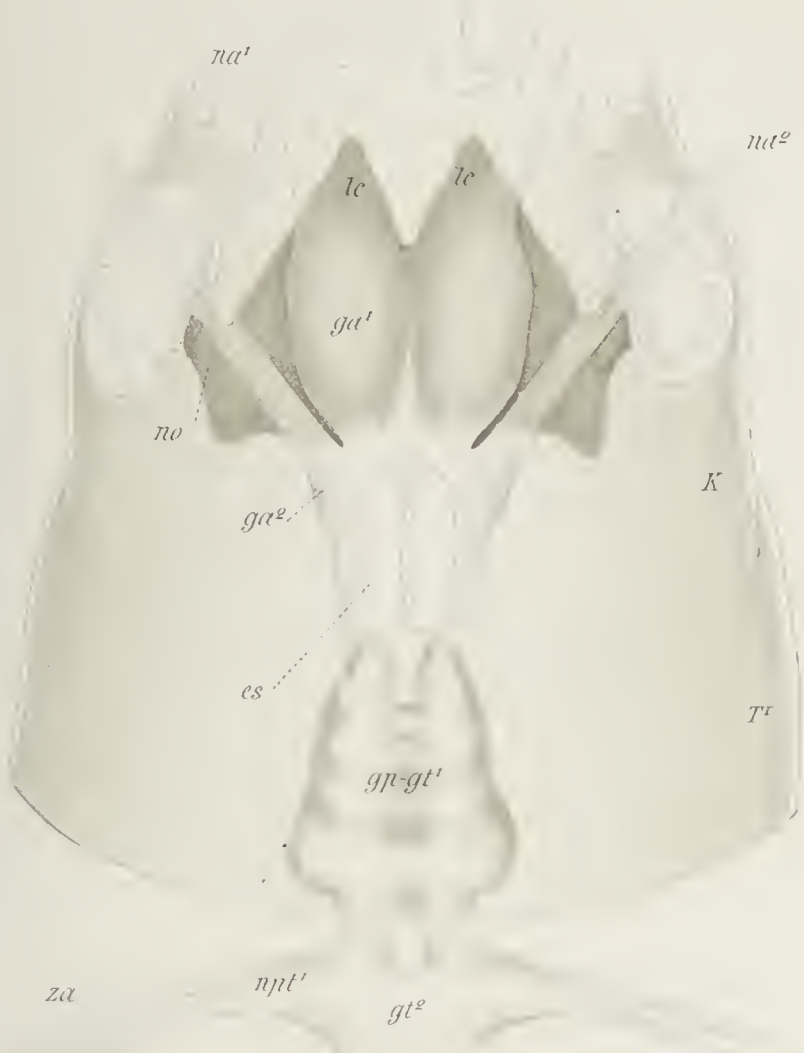

13.

14.

18.

15.

8.

9.

6.

16.

Sohn, Berlin

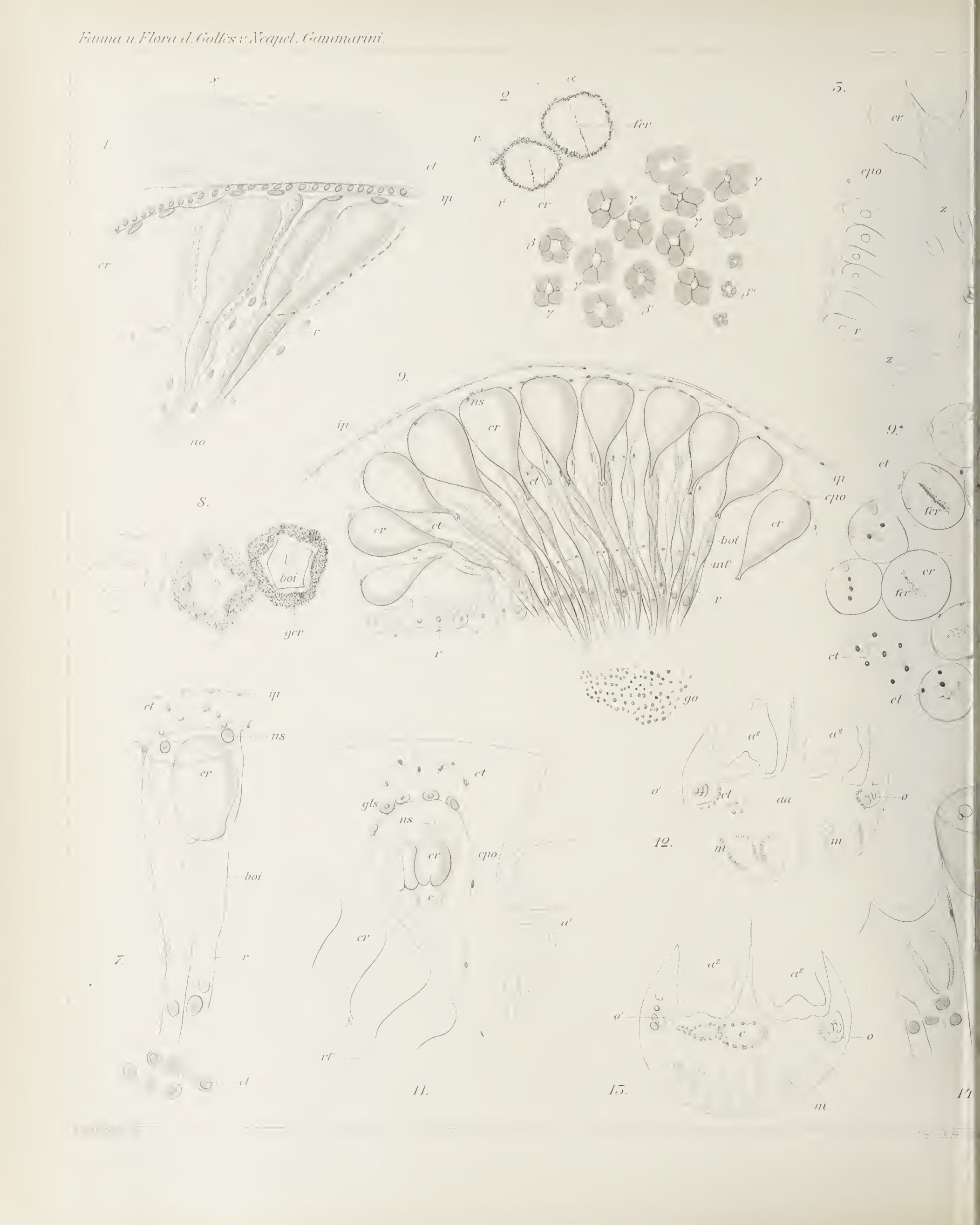
1.
2.
3.
9.
9.*
8.
7.
11.
12.
13.
14
x
r
ct
iq
cr
no
fcr
y
β
γ
β''
β'
cpo
z
ns
boi
inf
gcr
go
a²
a'
o'
o
aa
m
gls
c

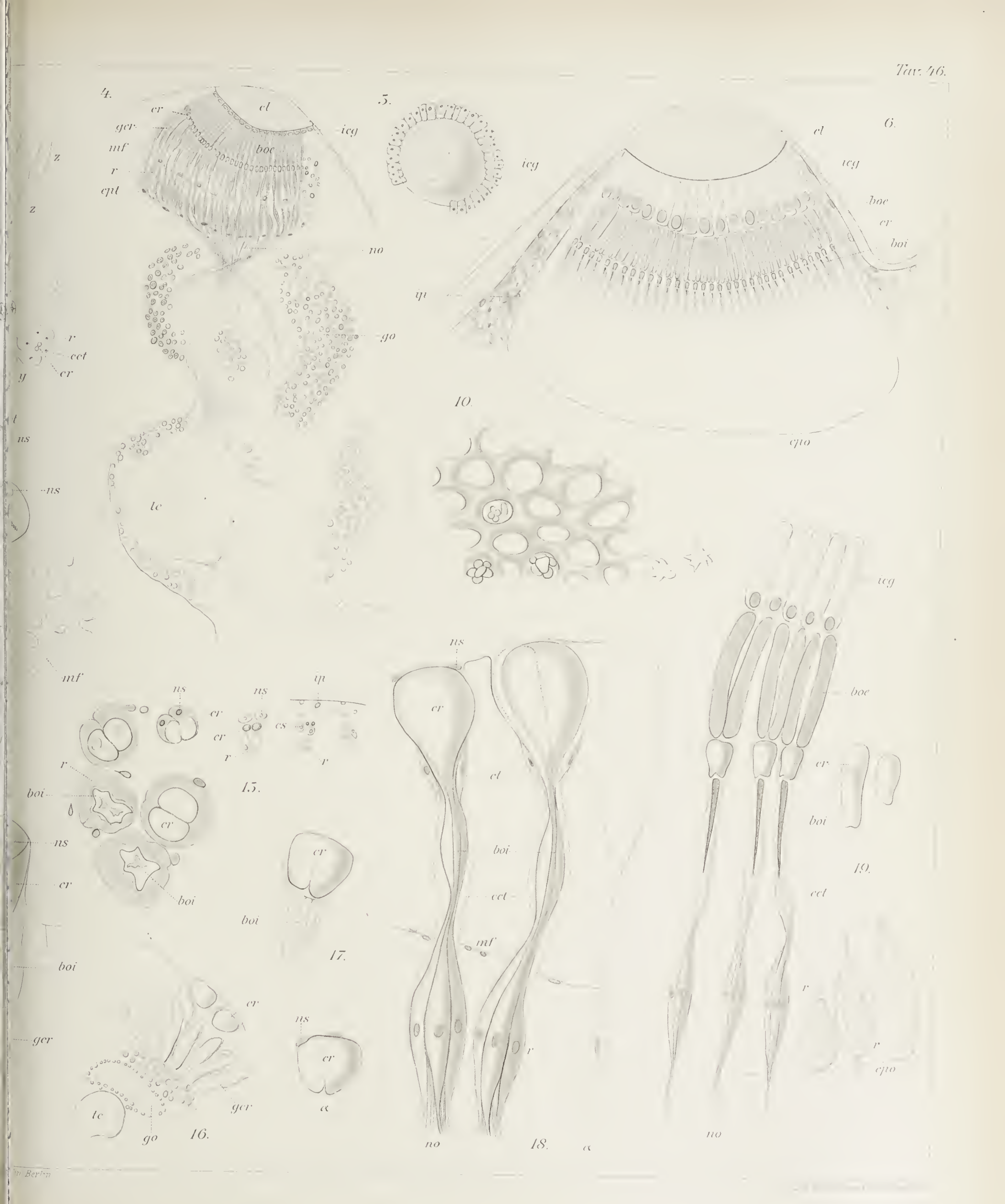
4.
5.
6.
10.
15.
16.
17.
18.
19.
cr
gcr
mf
r
cpt
cl
icg
boe
z
no
go
qu
r
cct
cr
y
t
ns
tc
cpo
mf
ns
cr
r
boi
cr
boi
ns
cr
boi
ns
cr
cr
r
qu
cs
r
cr
ns
cr
a
ns
cr
cl
boi
cct
mf
r
no
a
icg
boe
cr
boi
cct
r
r
cpo
no

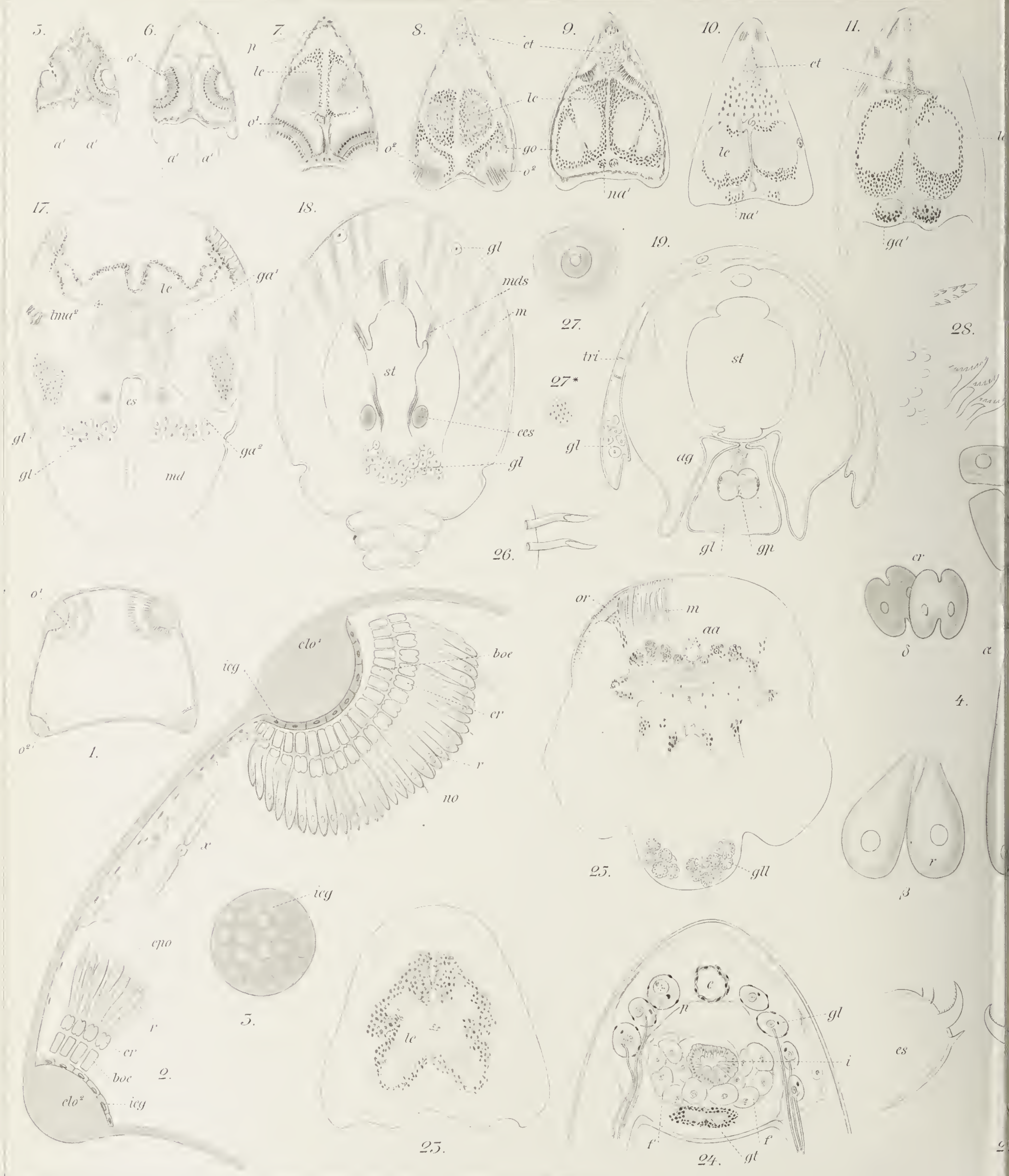
5.
6.
7.
8.
9.
10.
11.
17.
18.
19.
27.
27*
28.
26.
1.
2.
3.
4.
25.
24.
o'
a'
p
le
o¹
o²
ct
go
na'
ga'
tma²
es
ga²
md
gl
mds
m
st
ces
tri
ug
gp
cr
δ
α
r
or
aa
gll
icg
clo¹
boe
no
x
cpo
clo²
c
i
f
gt

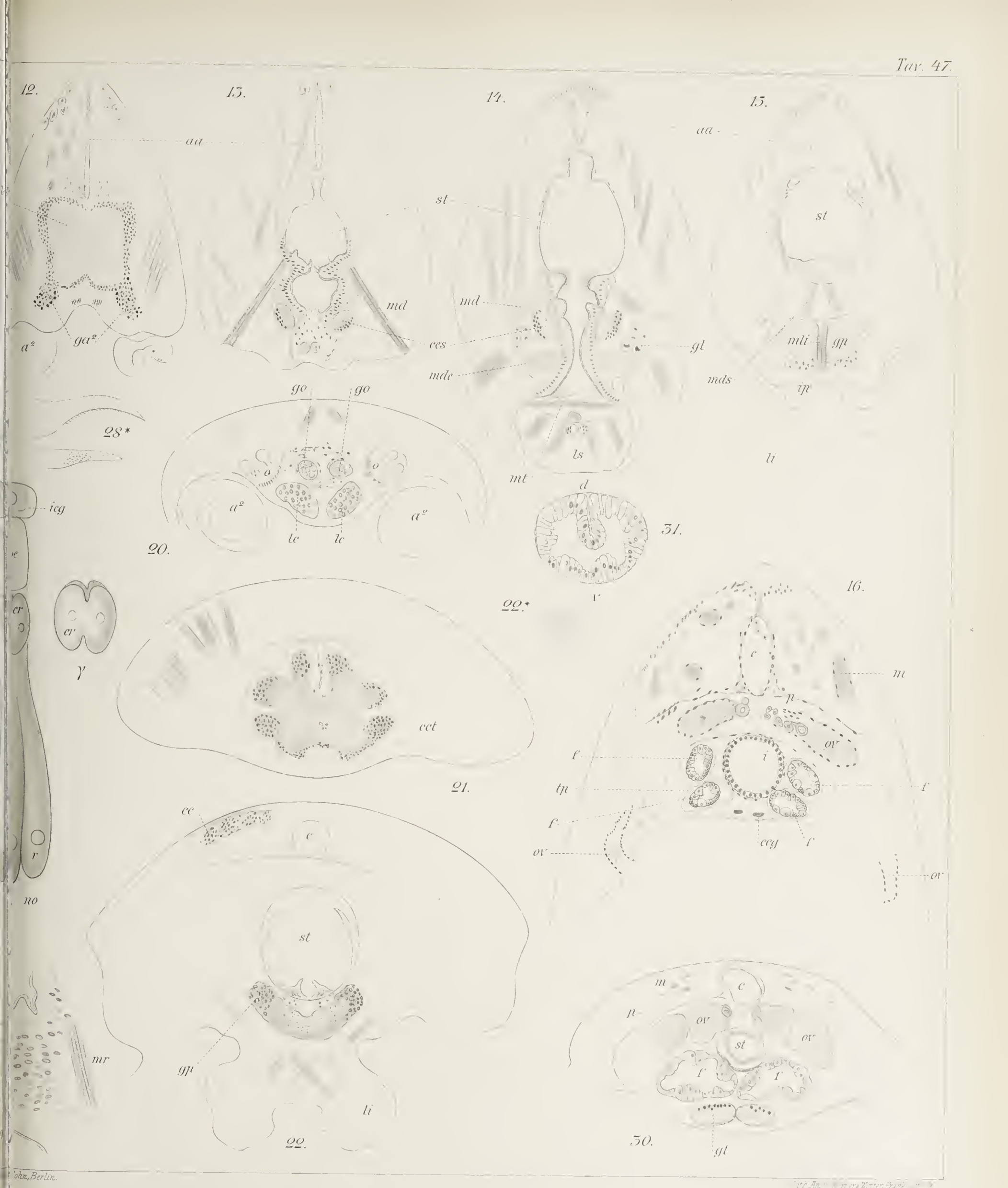
12.
13.
14.
15.
aa
st
md
ces
mde
gl
mds
mli
gp
ip
li
ga²
a²
28*
go
o
ls
mt
d
31.
ieg
lc
20.
r
cr
γ
29*
cct
21.
16.
c
m
p
ov
f
i
tp
ccg
cc
st
mr
gp
22.
30.
gl

ohn, Berlin.

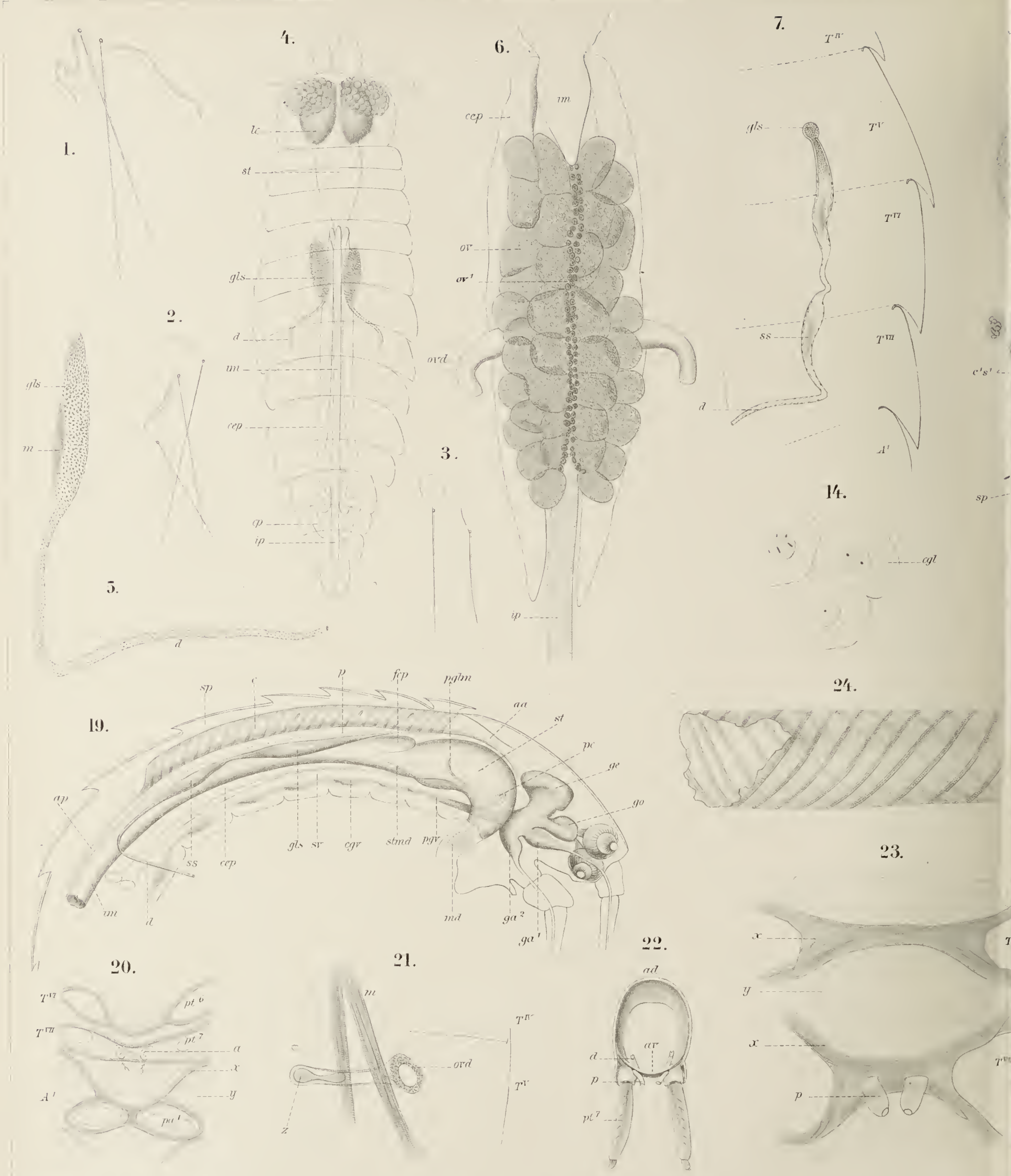
1.
2.
3.
4.
5.
6.
7.
14.
19.
20.
21.
22.
23.
24.
gls
m
d
lc
st
cep
ip
ov
ovd
T^IV
T^V
T^VI
T^VII
ss
A'
cgl
sp
c
p
fcp
pglm
aa
pc
ge
go
ap
sv
cgv
stmd
pgv
md
ga²
ga¹
pt⁶
pt⁷
a
x
y
pa¹
z
ad
av

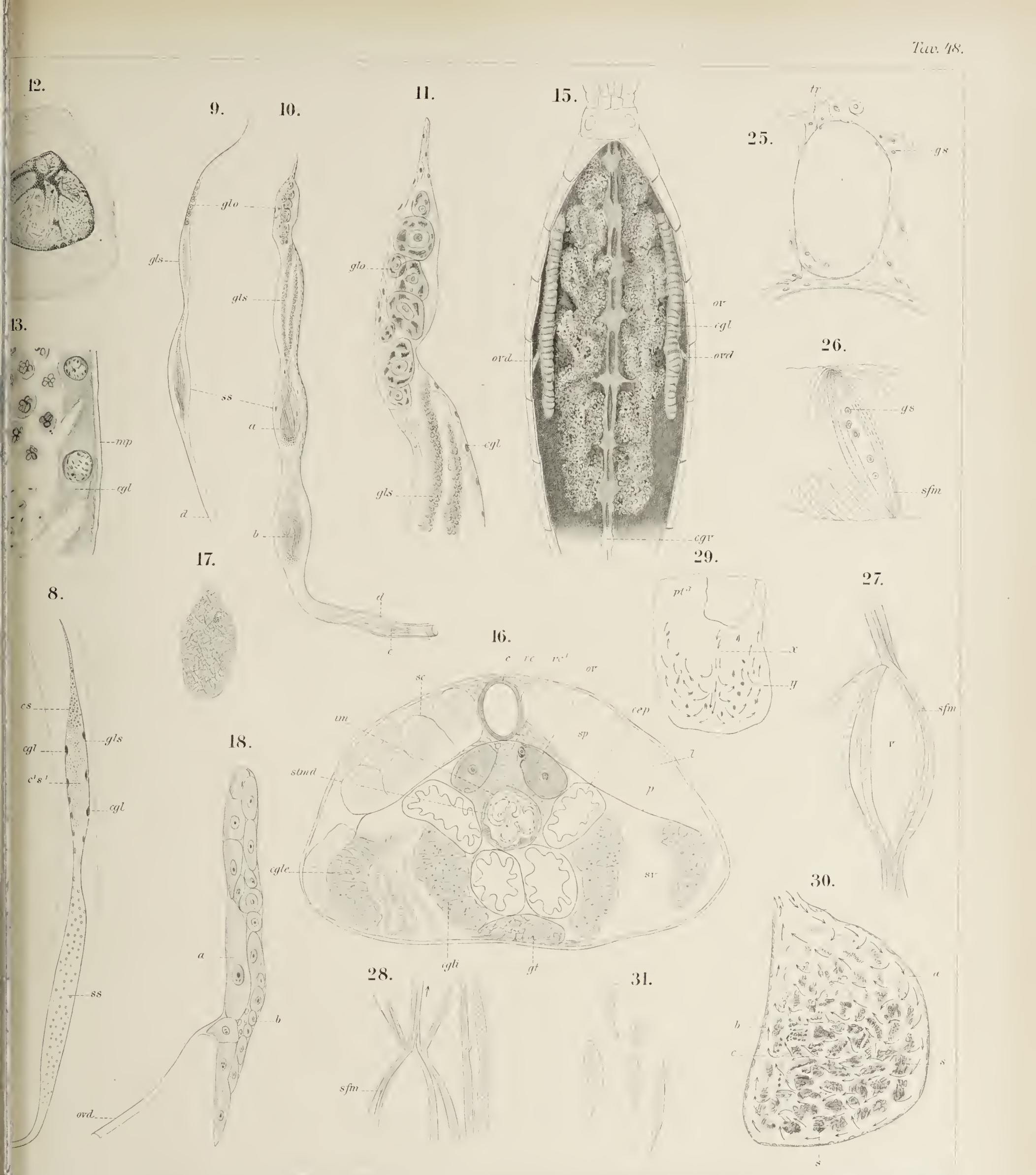
12.
9.
10.
11.
15.
25.
tr
gs
glo
gls
gls
ss
a
d
b
glo
cgl
gls
ov
cgl
ovd
ovd
cgv
13.
mp
cgl
26.
gs
sfm
17.
d
c
29.
pt
x
y
27.
sfm
v
8.
cs
gls
cgl
c's'
cgl
ss
ovd
16.
c
rc
rc'
ov
sc
um
cep
sp
l
stnd
p
cgle
sv
cgli
gt
18.
a
b
28.
sfm
31.
30.
a
b
c
s
s

Fon. Berlin.

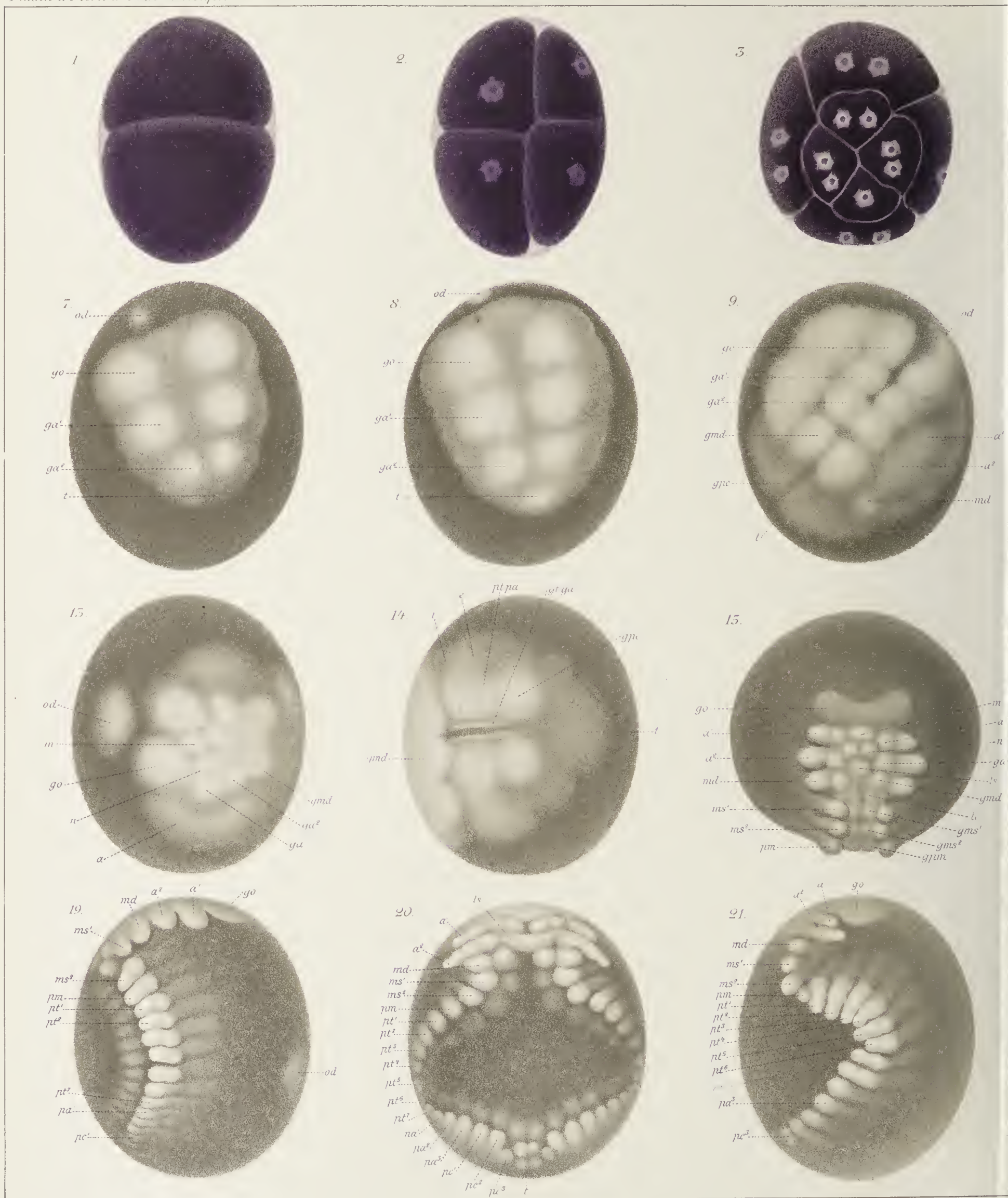

C. Merculiano del.

Fr. v. R. Friedländer

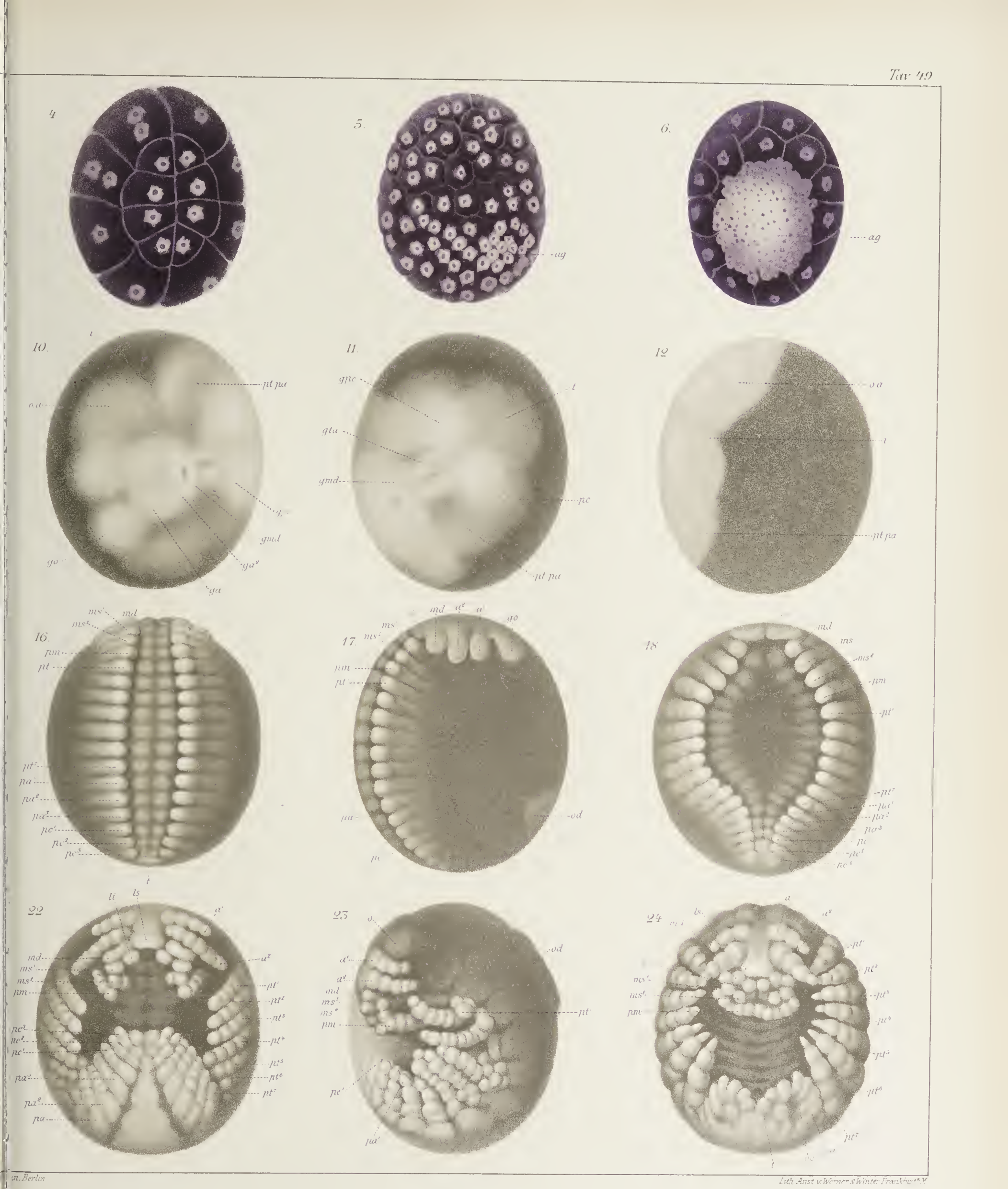

n, Berlin

Lith. Anst. v. Werner & Winter Frankfurt a. M.

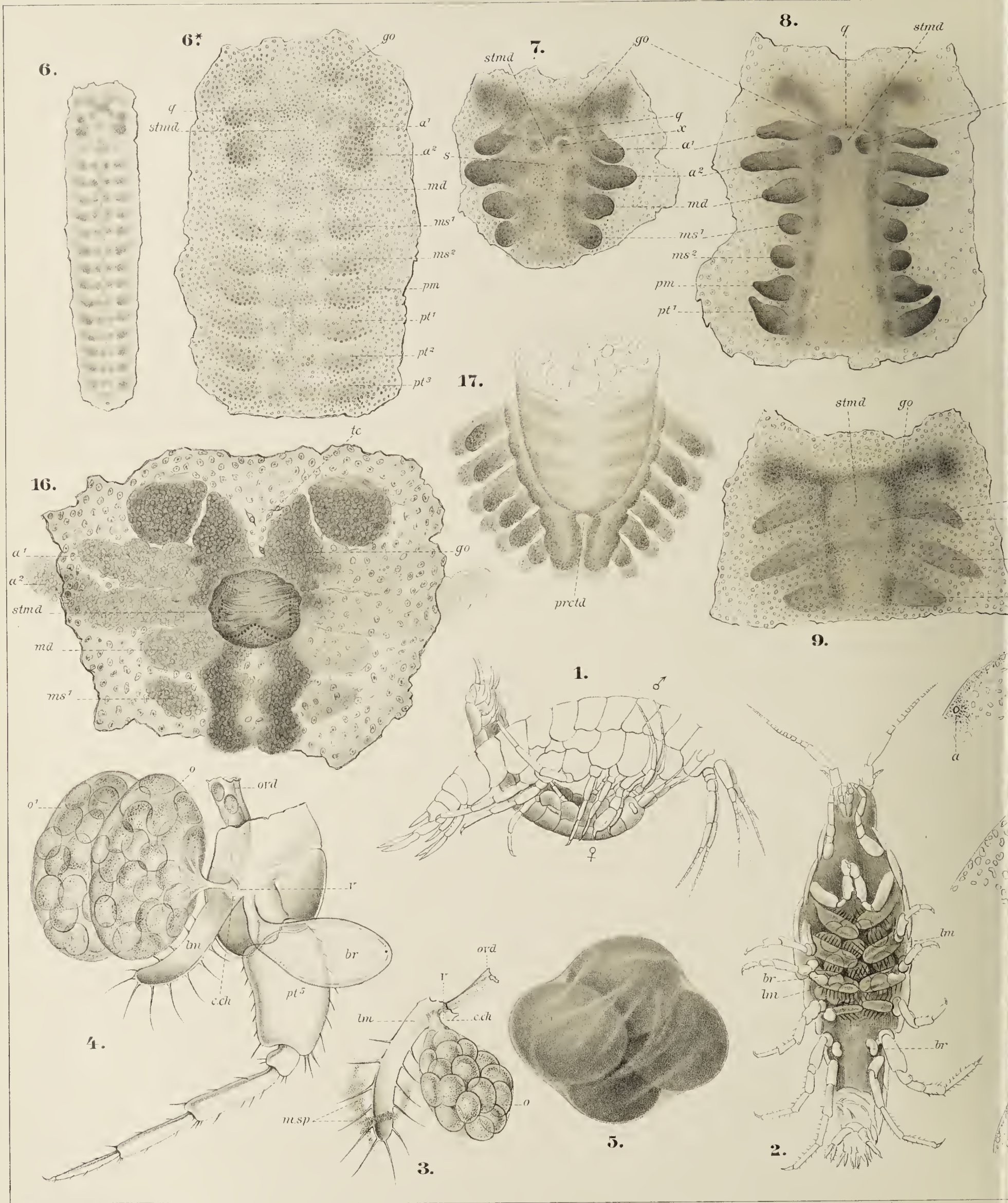
6.
6*.
go
q
stmd
a¹
a²
md
ms¹
ms²
pm
pt¹
pt²
pt³
7.
stmd
go
q
x
a¹
s
a²
md
ms¹
ms²
pm
pt¹
8.
q
stmd
17.
prctd
9.
stmd
go
a
16.
tc
a¹
a²
stmd
md
ms¹
go
1.
♂
♀
o
o¹
ovd
r
lm
br
c.ch
pt⁵
4.
ovd
r
lm
c.ch
o
m.sp
3.
5.
lm
br
lm
br
2.

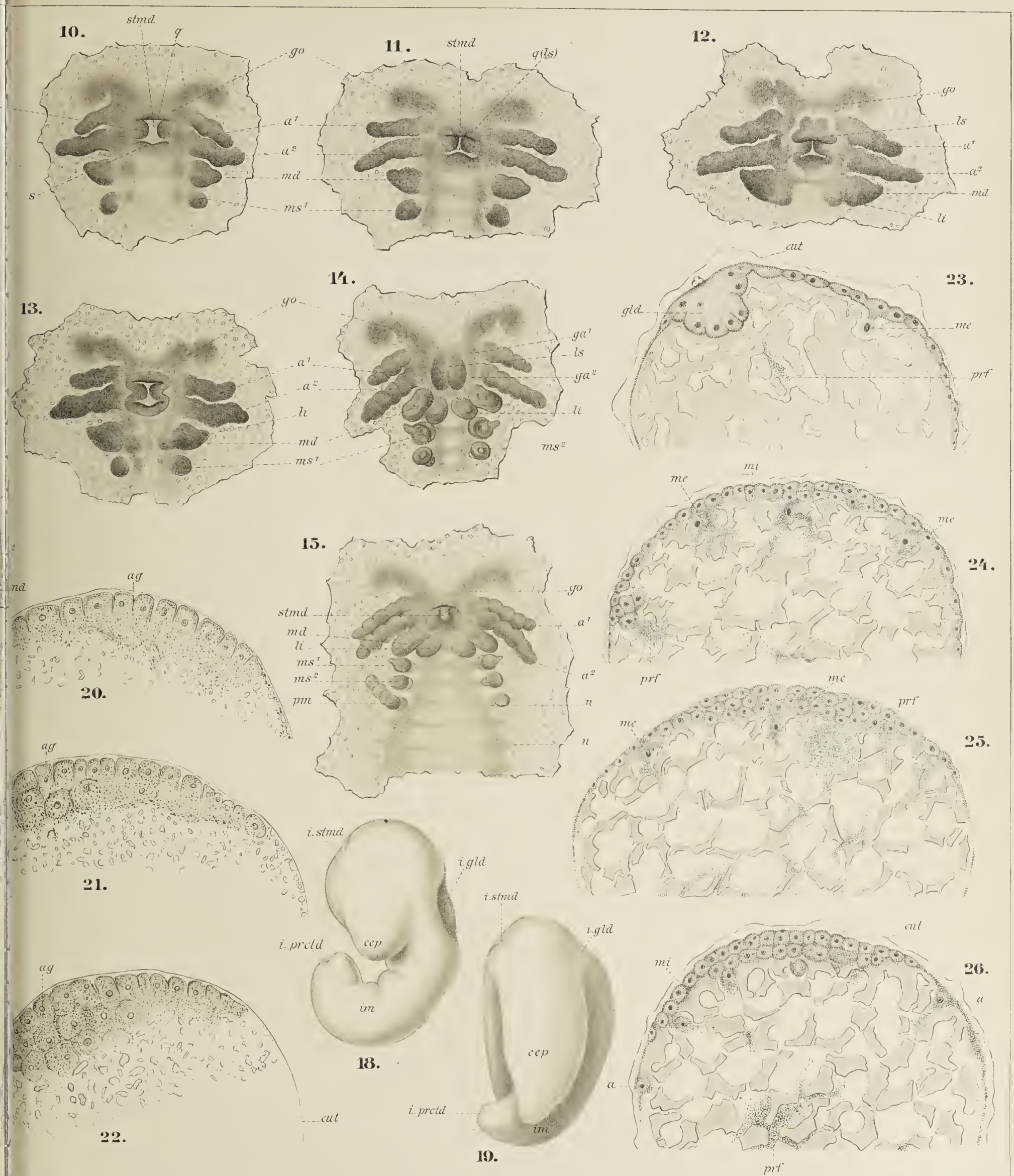

rk. Solin, Berlin.

Lith. Inst. v. E.A. Funke, Leipzig.

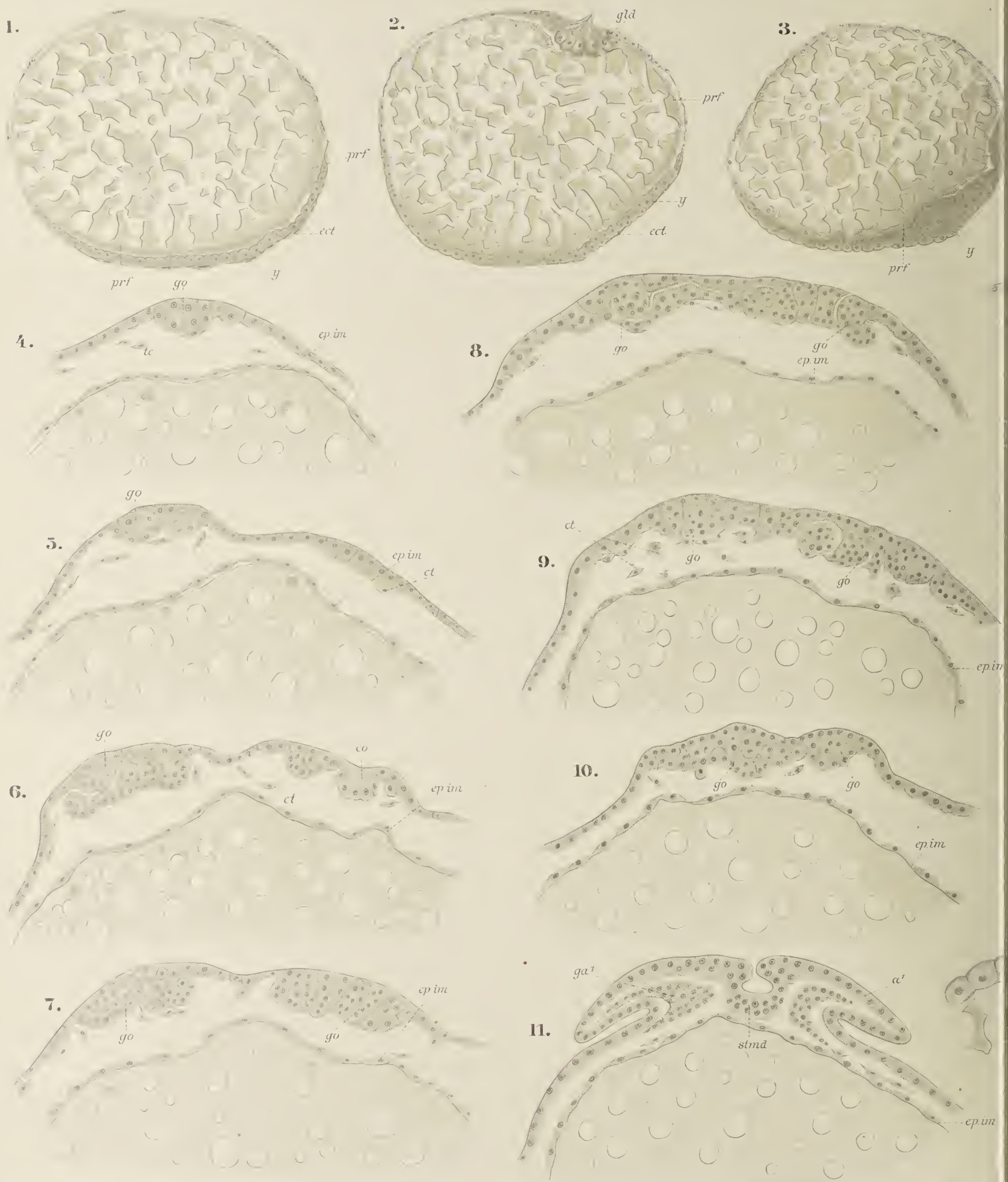
1.
prf
ect
y
prf
go
2.
gld
prf
y
ect
3.
prf
y
4.
tc
ep.im
go
5.
go
ep.im
ct
6.
go
co
ct
ep.im
7.
go
go
ep.im
8.
go
go
ep.im
9.
ct
go
go
ep.im
10.
go
go
ep.im
11.
ga'
a'
stmd
ep.im

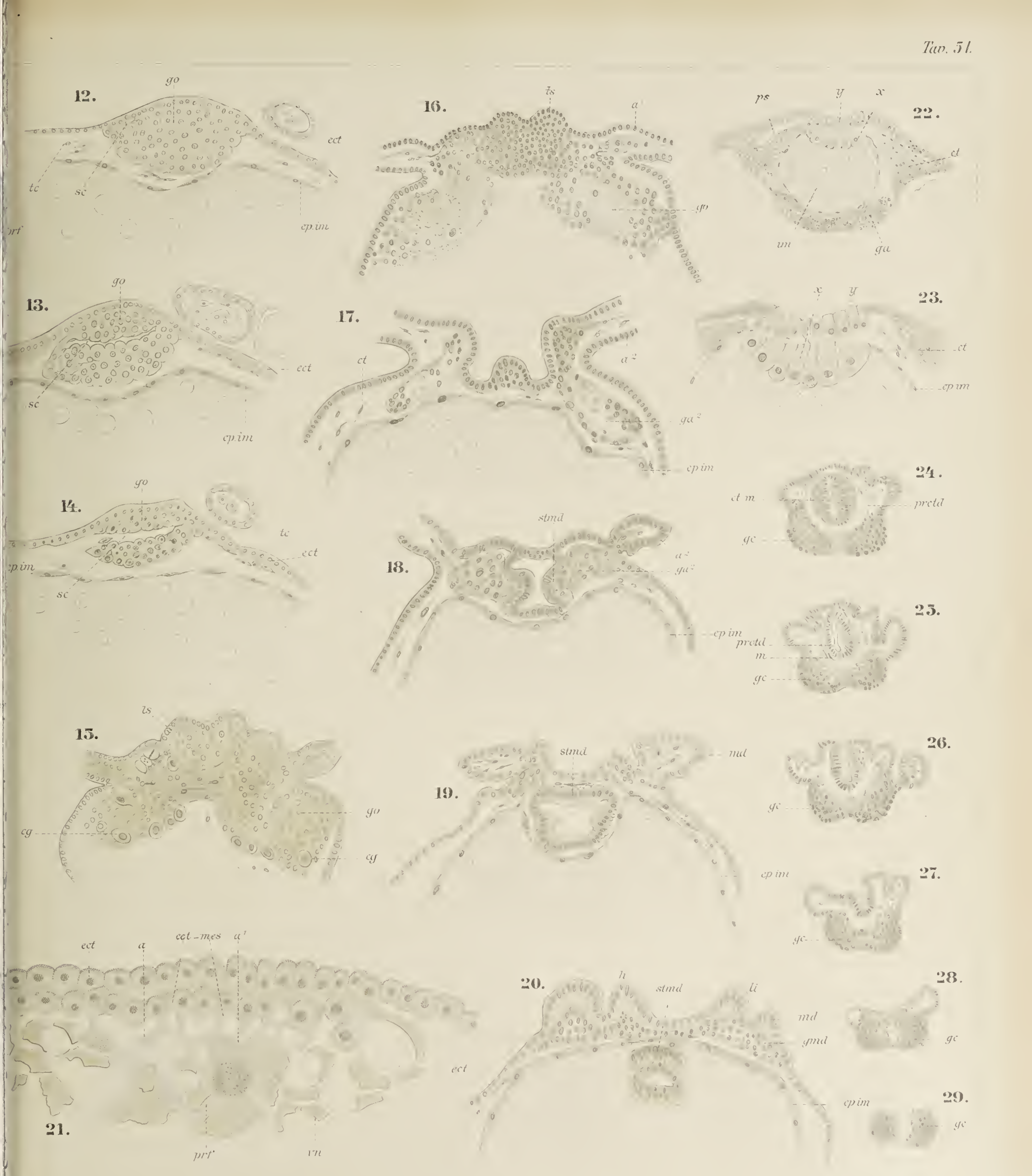
12.
go
ect
tc
sc
ep.im
prt
13.
go
ect
sc
ep.im
14.
go
tc
ect
ep.im
sc
15.
ls
go
cg
cg
16.
ts
a
go
17.
ct
a²
ga²
ep.im
18.
stmd
a²
ga²
ep.im
19.
stmd
md
ep.im
20.
h
stmd
li
md
gmd
ect
ep.im
21.
ect
a
ect-mes
a¹
prt
vn
22.
ps
y
x
ct
vn
ga
23.
x
y
ct
ep.im
24.
ct.m
pretd
gc
25.
ep.im
pretd
m
gc
26.
gc
27.
gc
28.
gc
29.
gc

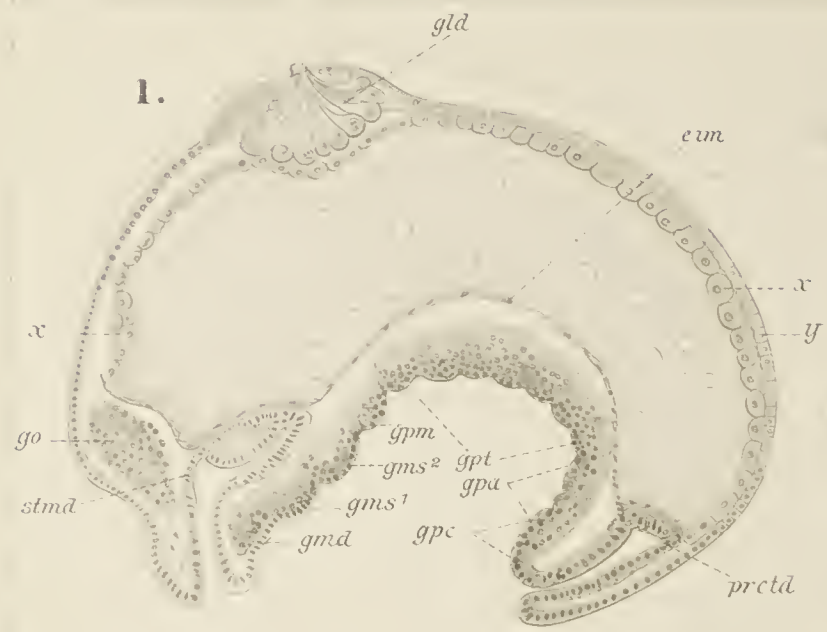
1.
gld
eim
x
y
go
gpm
gpt
gms 2
gpa
gms 1
stmd
gmd
gpc
prctd

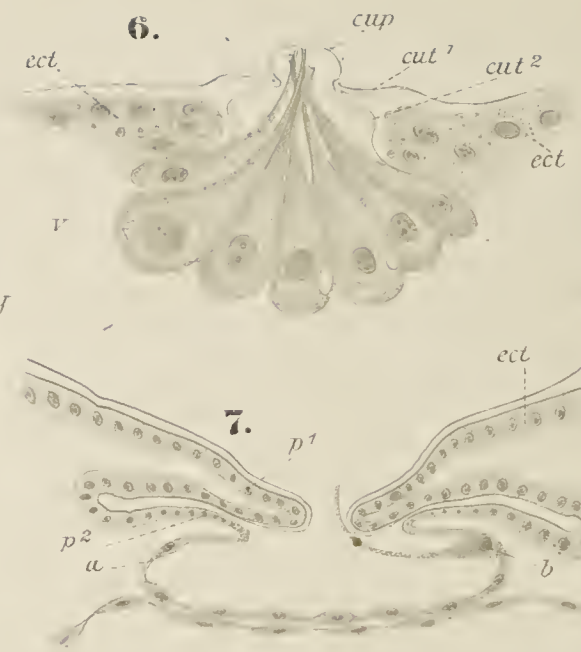
6.
cup
ect
cut 1
cut 2
ect
v
7.
ect
p 1
p 2
a
b

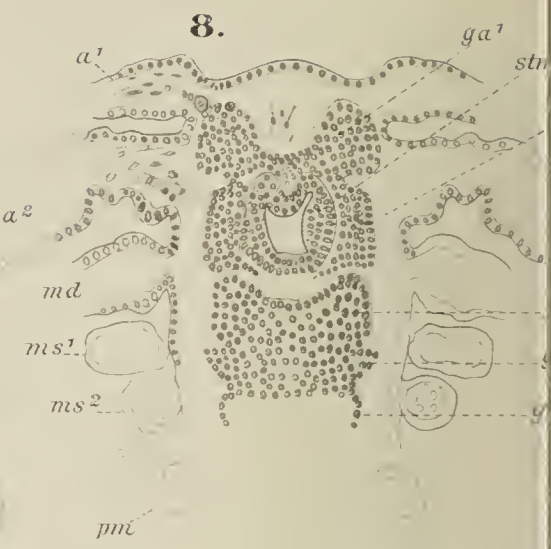
8.
a 1
ga 1
a 2
md
ms 1
ms 2
pm

2.
go
ga 1
ga 2
gmd
gms 1
gms 2
gpm
gpt 1
eim
stmd
y

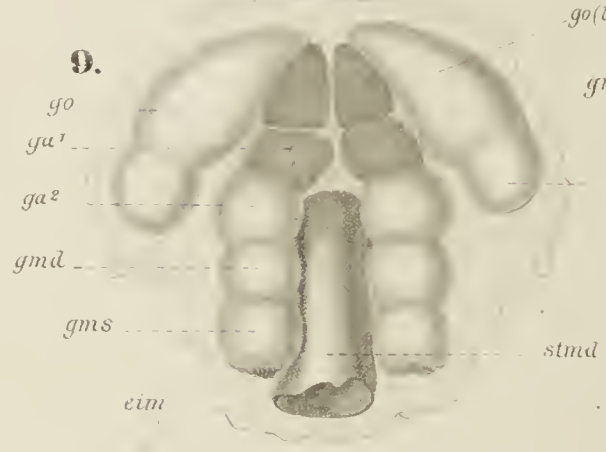
9.
go
ga 1
ga 2
gmd
gms
eim
stmd

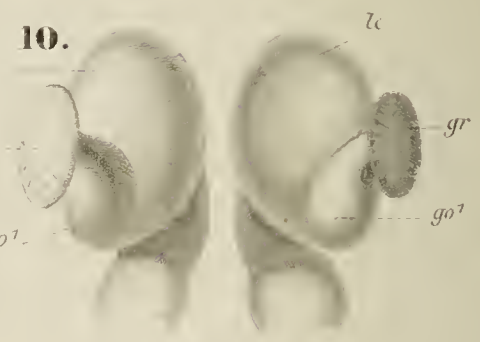
10.
lc
go(lc)
gr
gr
go 1
go 1

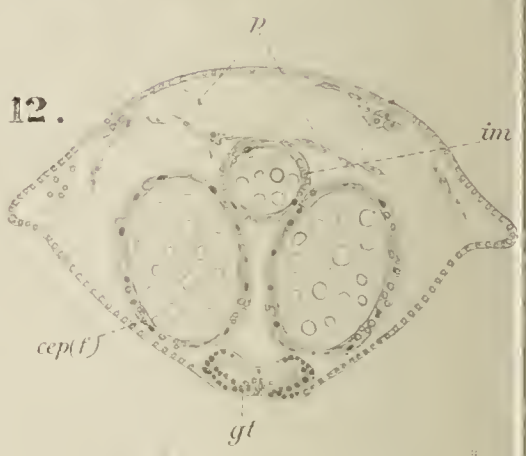
12.
p
im
cep(f)
gt

5.
x
β
α
im
eim
stmd

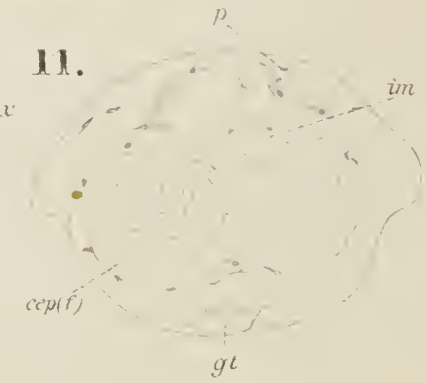
11.
p
im
cep(f)
gt

3.
eim
m
gt
npt

13.
c
im
cep(f)
ect
gt

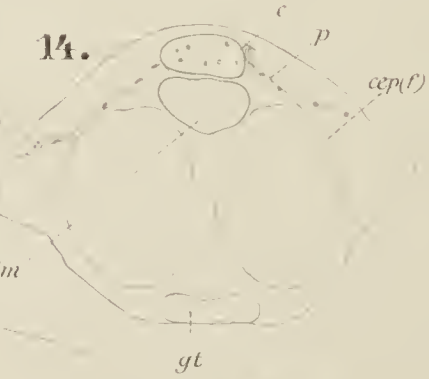
14.
c
p
cep(f)
im
gt

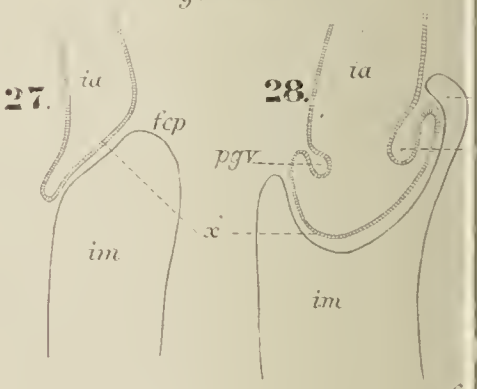
27.
ia
fcp
im
28.
ia
pgv
x
im
c

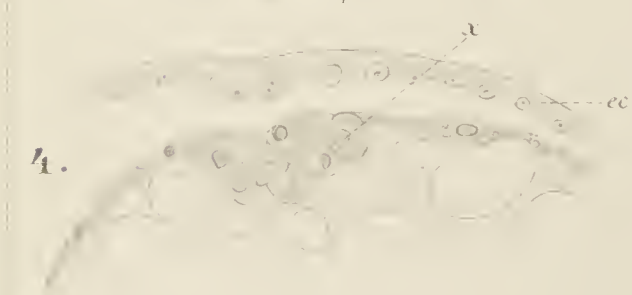
4.
x
ec

15.
c
gls
p
f
im
f

16.
c
gls
p
f
im

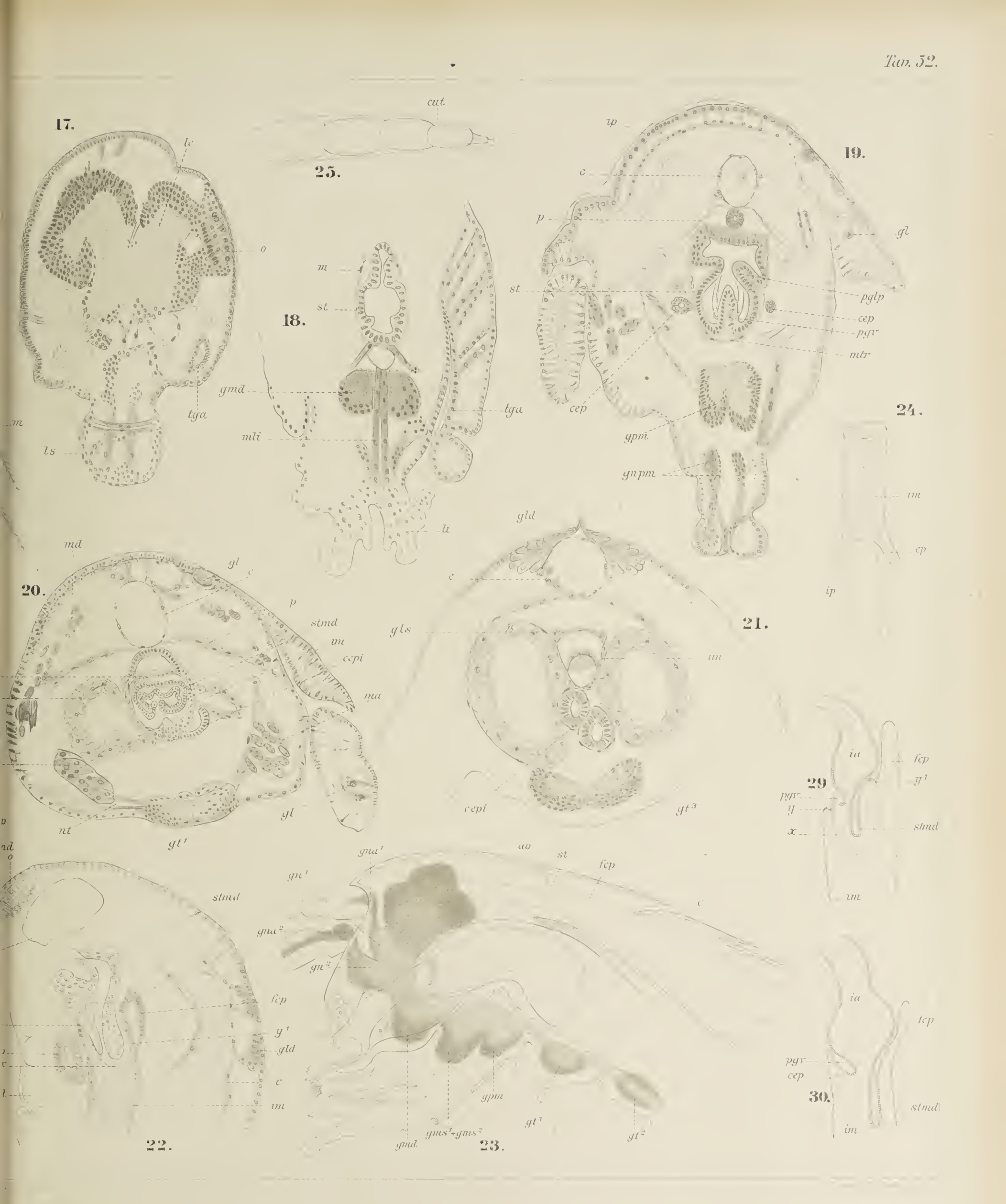
17.
lc
o
tga
ls
18.
m
st
gmd
mli
tga
li
19.
ip
c
p
gl
st
pglp
cep
pgv
mb
cep
gpm
gnpm
24.
im
cp
ip
gld
c
21.
gls
im
cepi
gt3
20.
md
gl
c
p
stmd
im
cepi
ma
gl
nt
gt1
22.
stmd
fcp
y1
gld
c
im
gna1
ao
st
fcp
gn1
gna2
gn2
gpm
gt1
gt2
gmd
gms1+gms2
23.
29
ia
fcp
g1
pgv
y
x
stmd
im
30.
ia
fcp
pgv
cep
stmd
im

1.

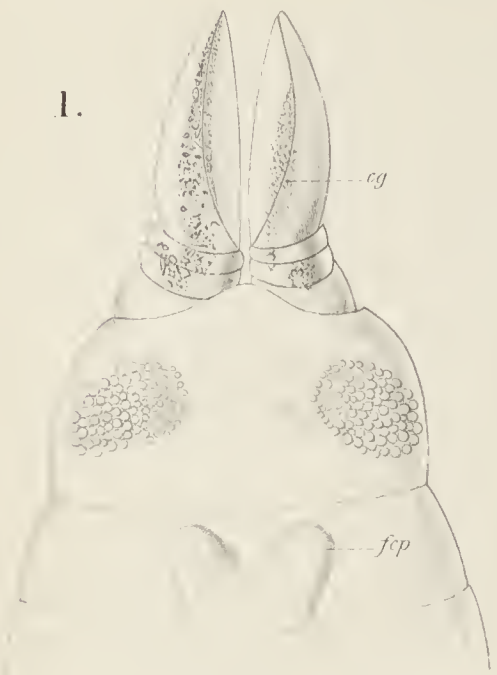

2.

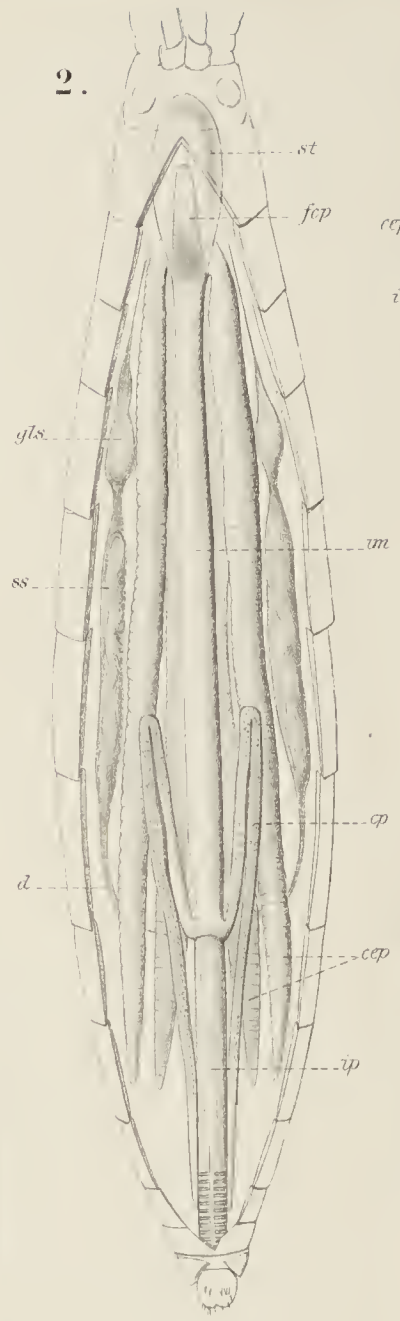

3.

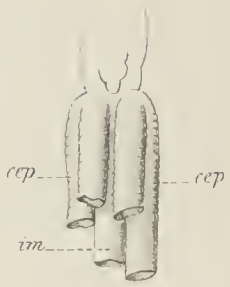

4.

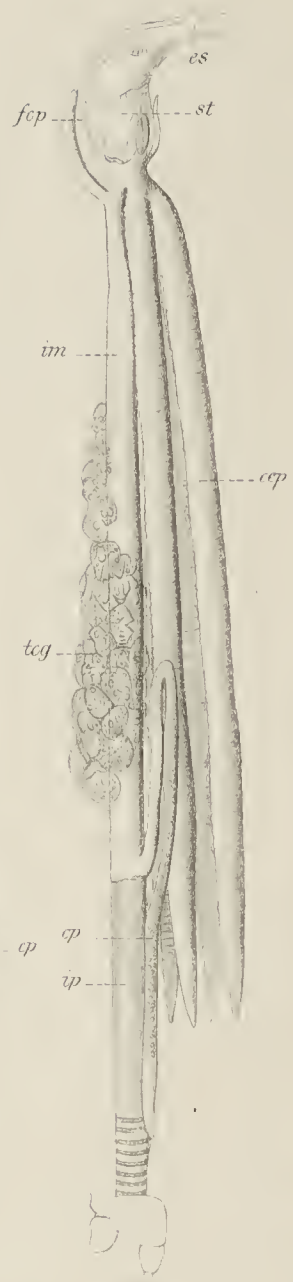

5.

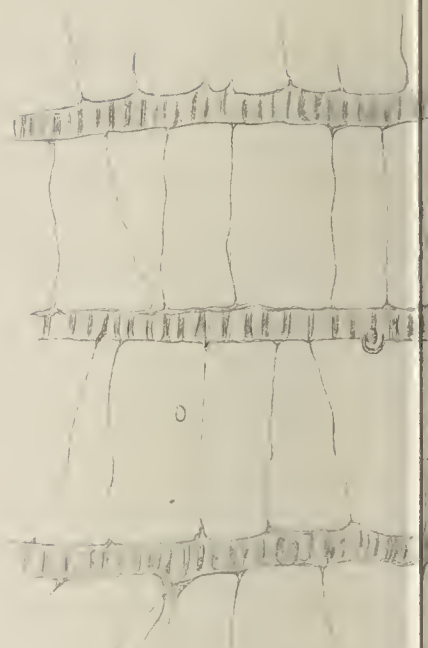

10.

11.

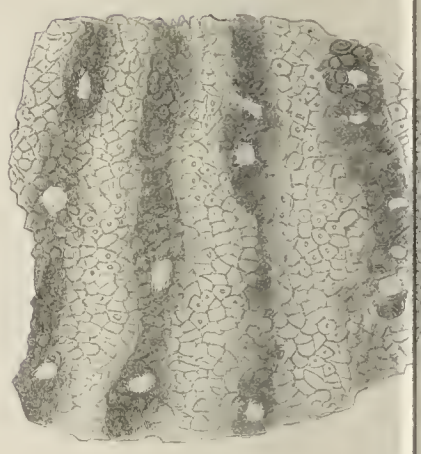

9.

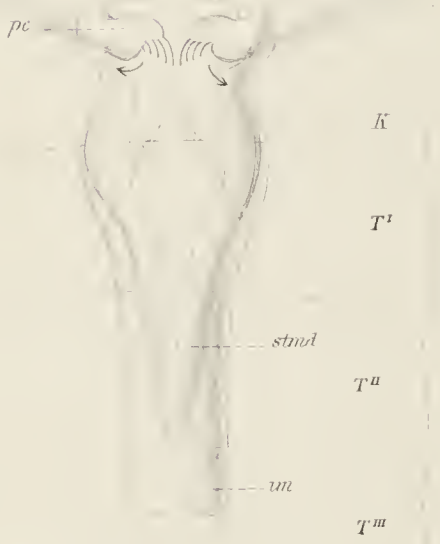

17.

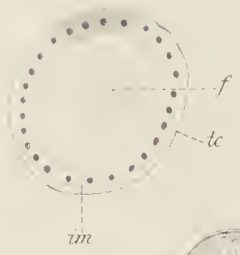

21.

22.

16.

17.*

18.

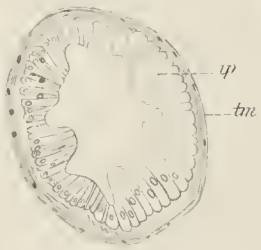

19.

20.

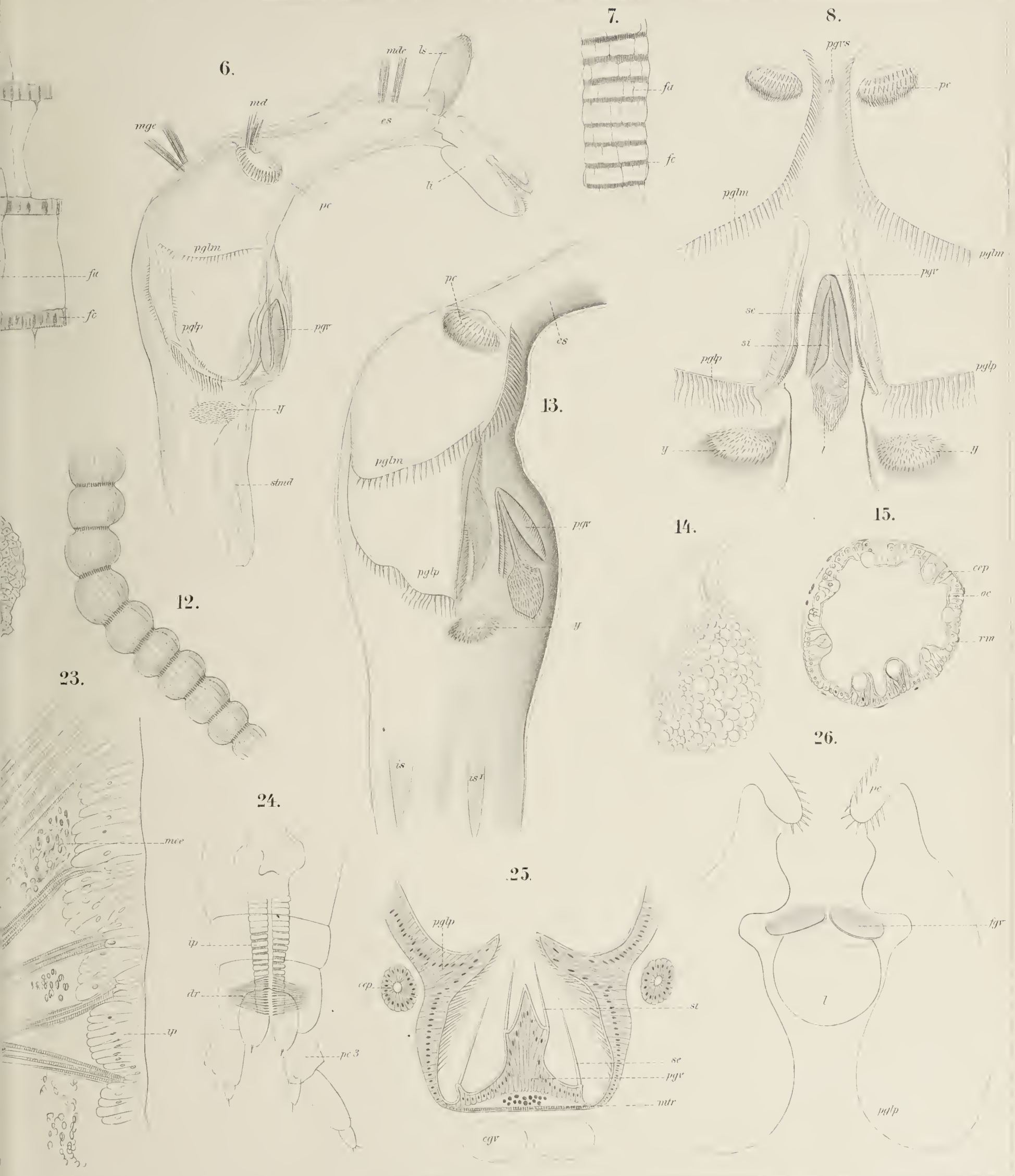

den & Sohn, Berlin

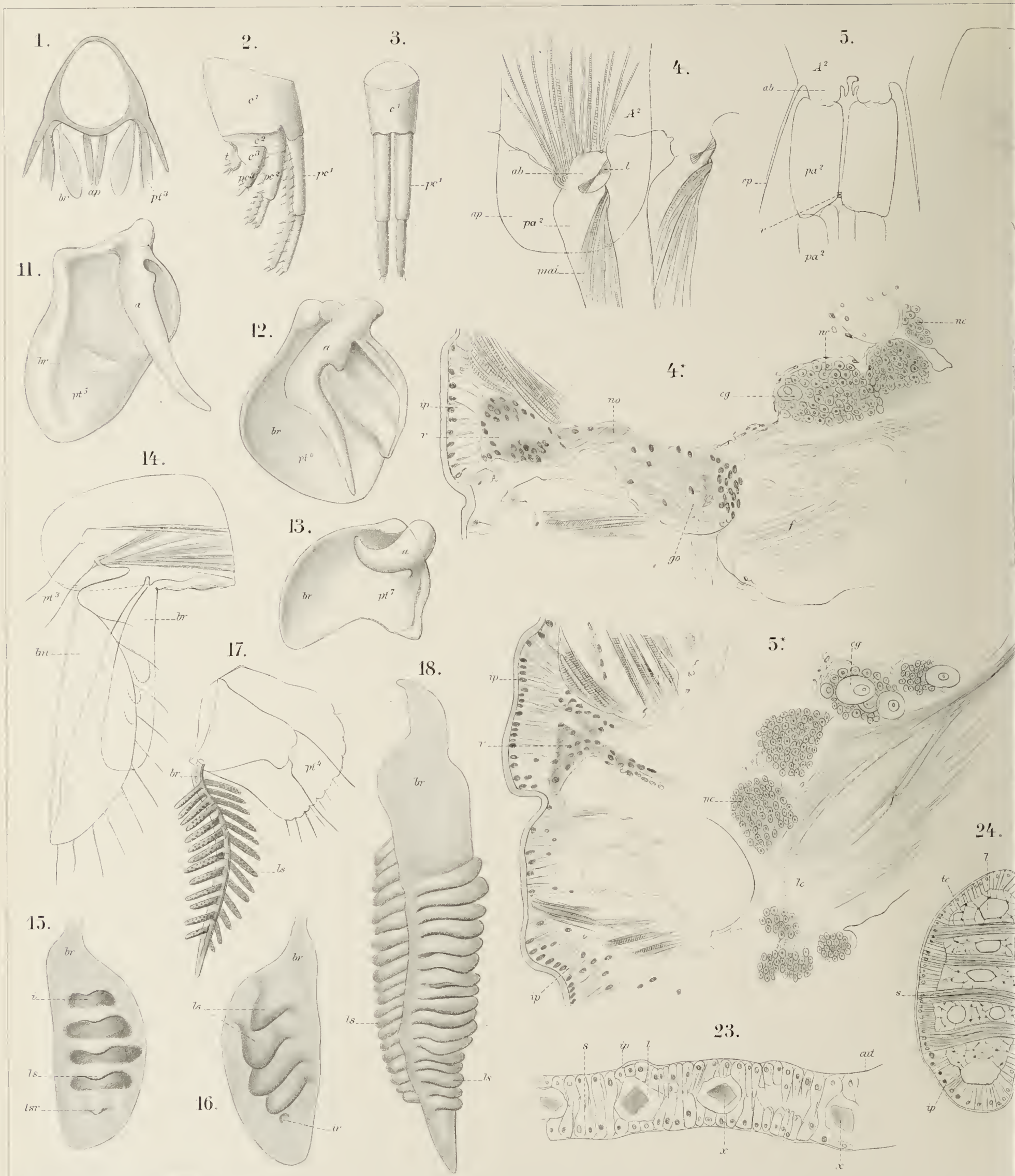
1.
2.
3.
4.
5.
11.
12.
13.
14.
15.
16.
17.
18.
4.*
5.*
23.
24.
br
ap
pt³
c¹
c²
c³
t
pc³
pc²
pc¹
A²
ab
l
pa²
mai
ep
r
a
pt⁵
pt⁶
pt⁷
pt⁴
ip
no
nc
cg
go
f
lc
ls
lsr
i
ir
s
aut
x

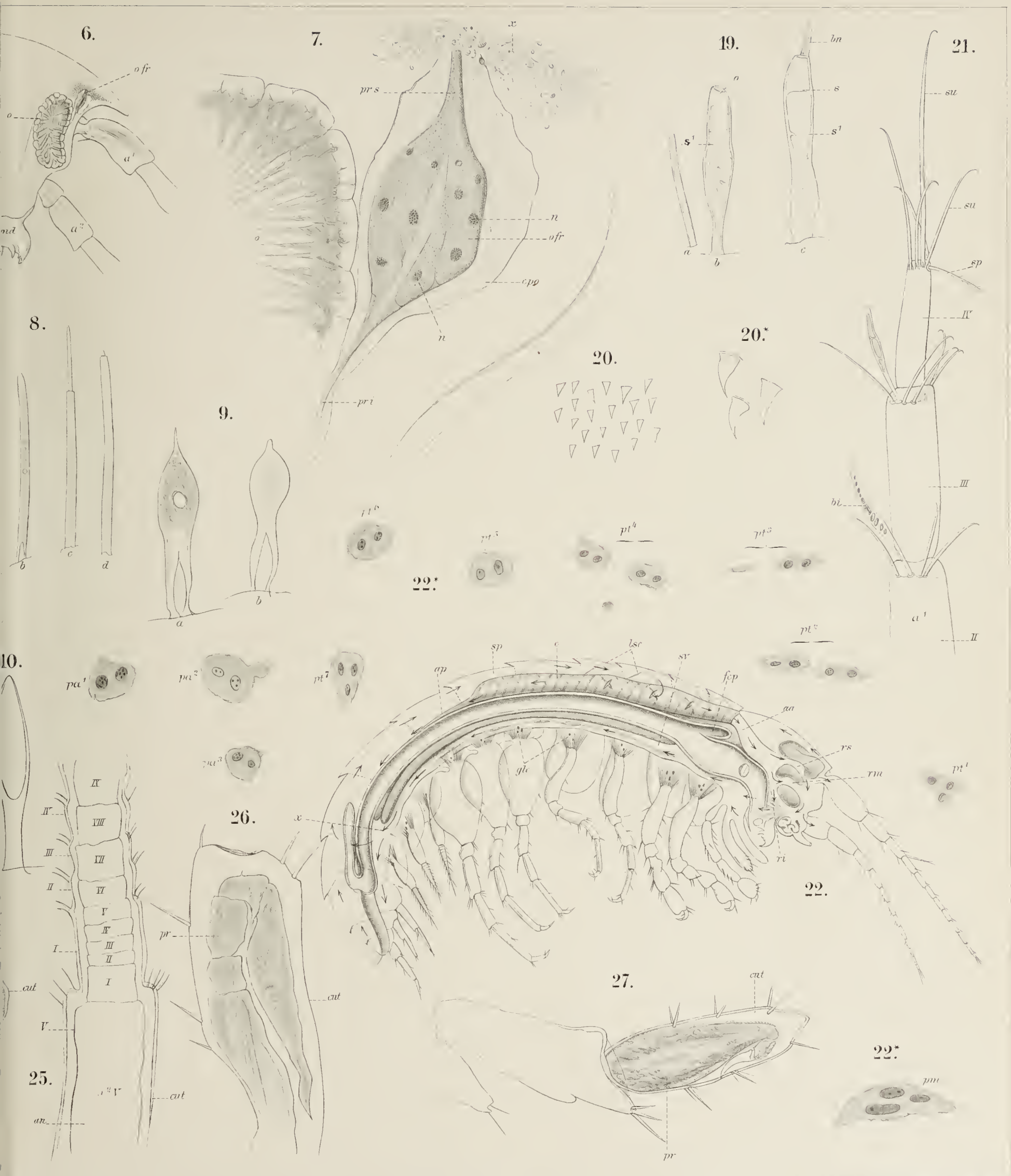

G. Sohn, Berlin.

Lith. An. v. E. A. Funke, Leipzig.

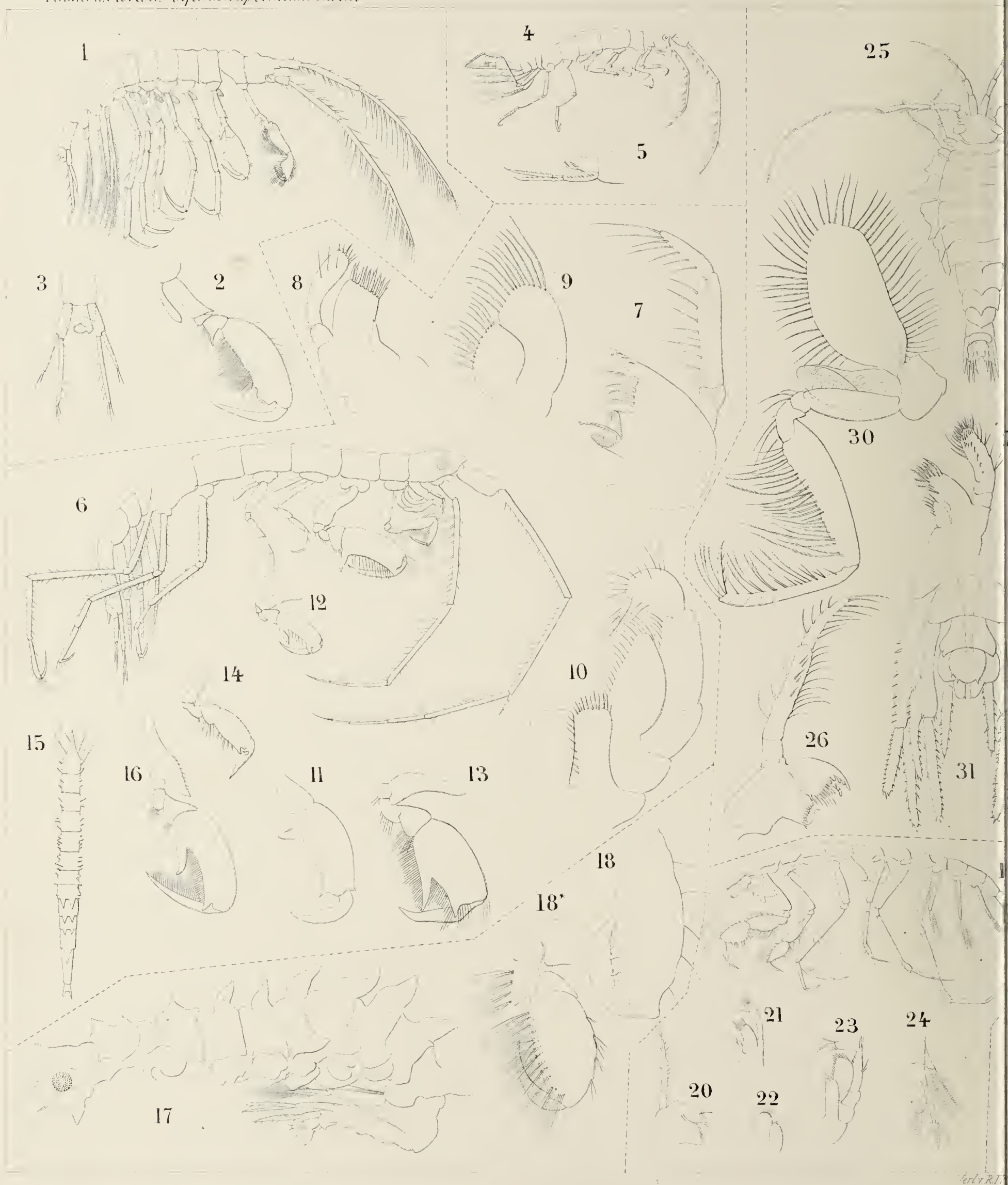

1-3 *Laelmatophilus*
4-5 *Paradulichia*
6-16 *Dulichia*
17-18* *Platophium*
19-24 *Neohela*
25-31 *Ischius*

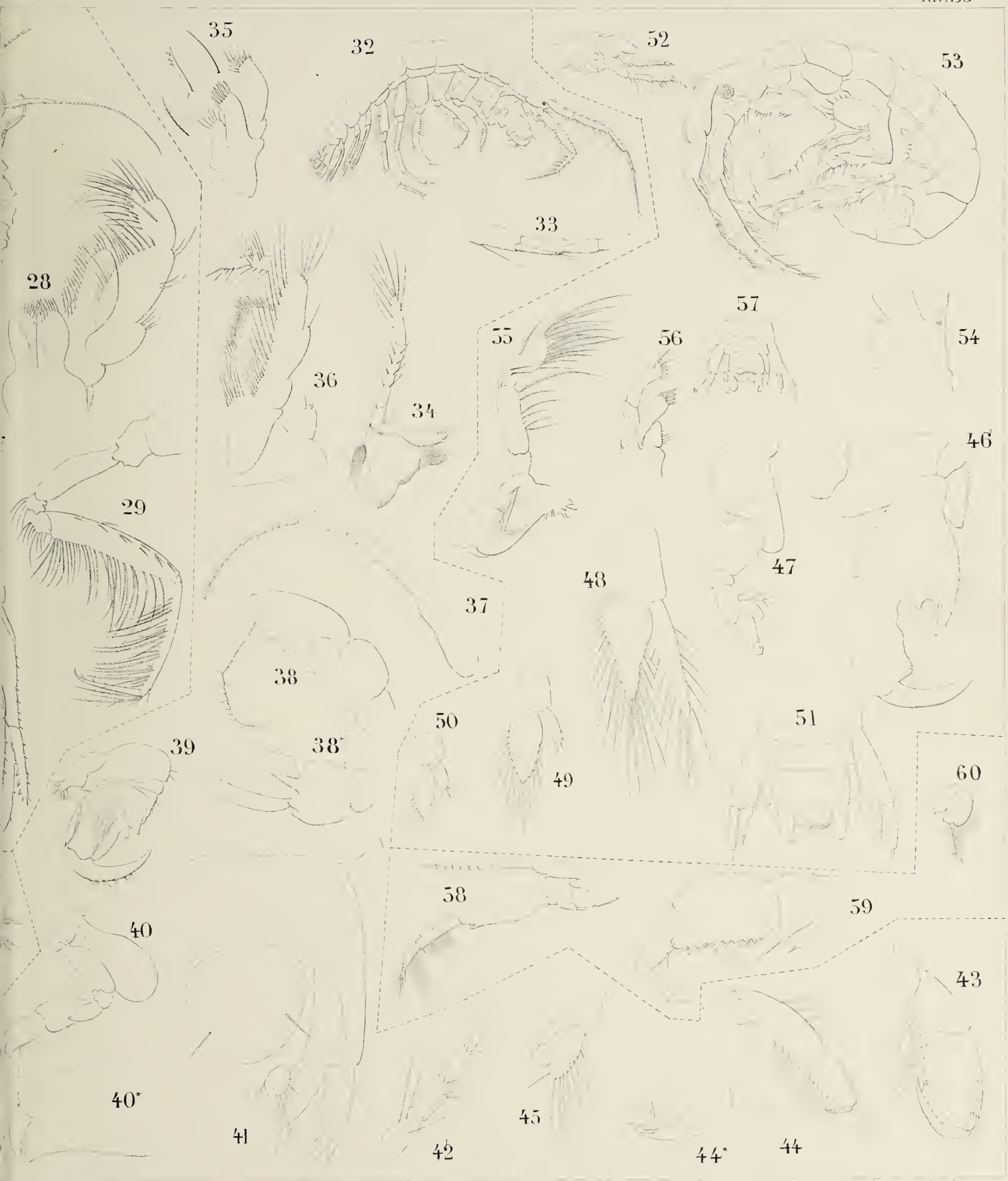

Winder & Sohn Berlin.

32-45 *Uncola*

46-57 *Cerapus*
58-60 *Corophium*

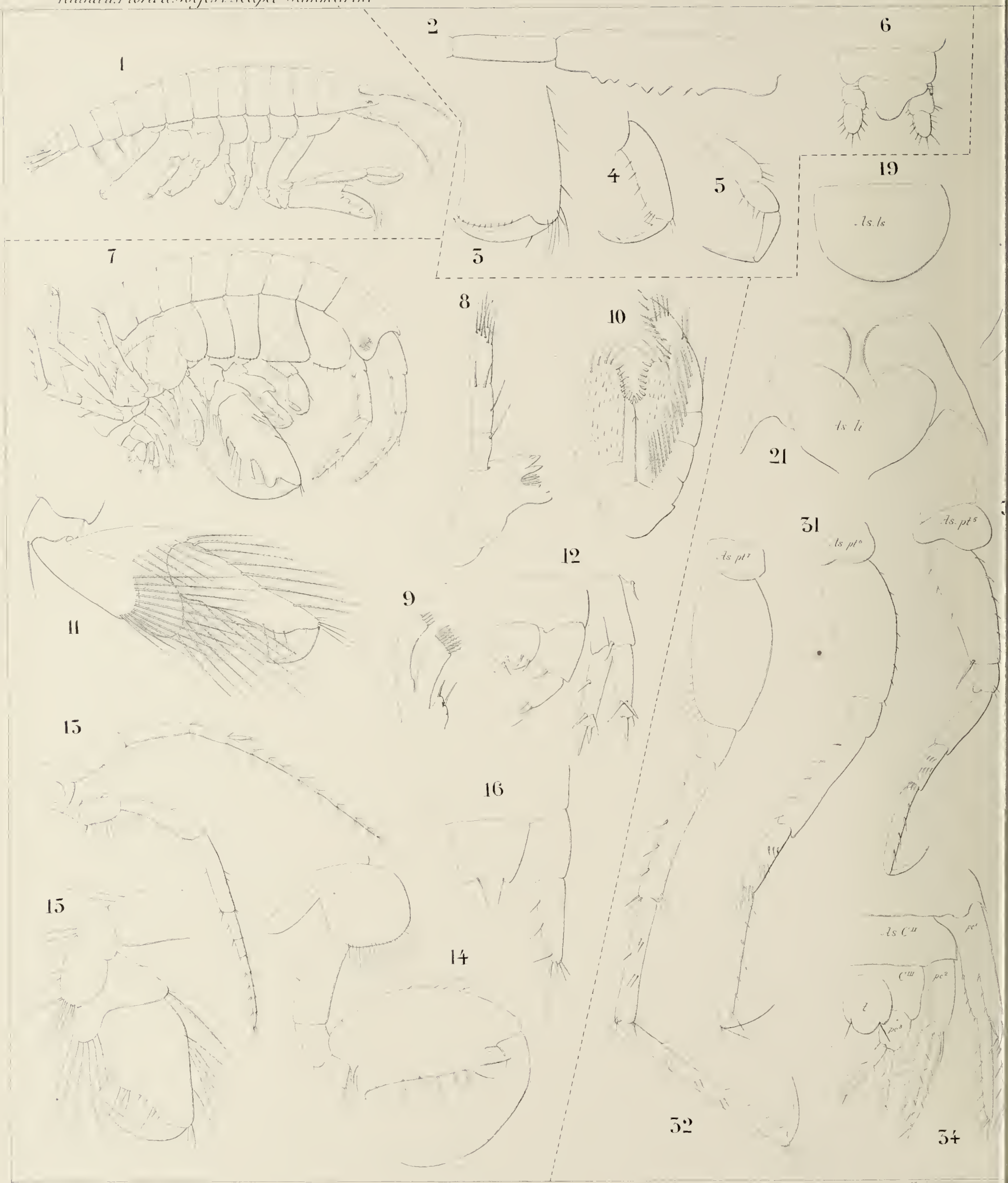

1 *Ceripopsis* 7-16 *Microprotopus* 2-6 *Corophium*

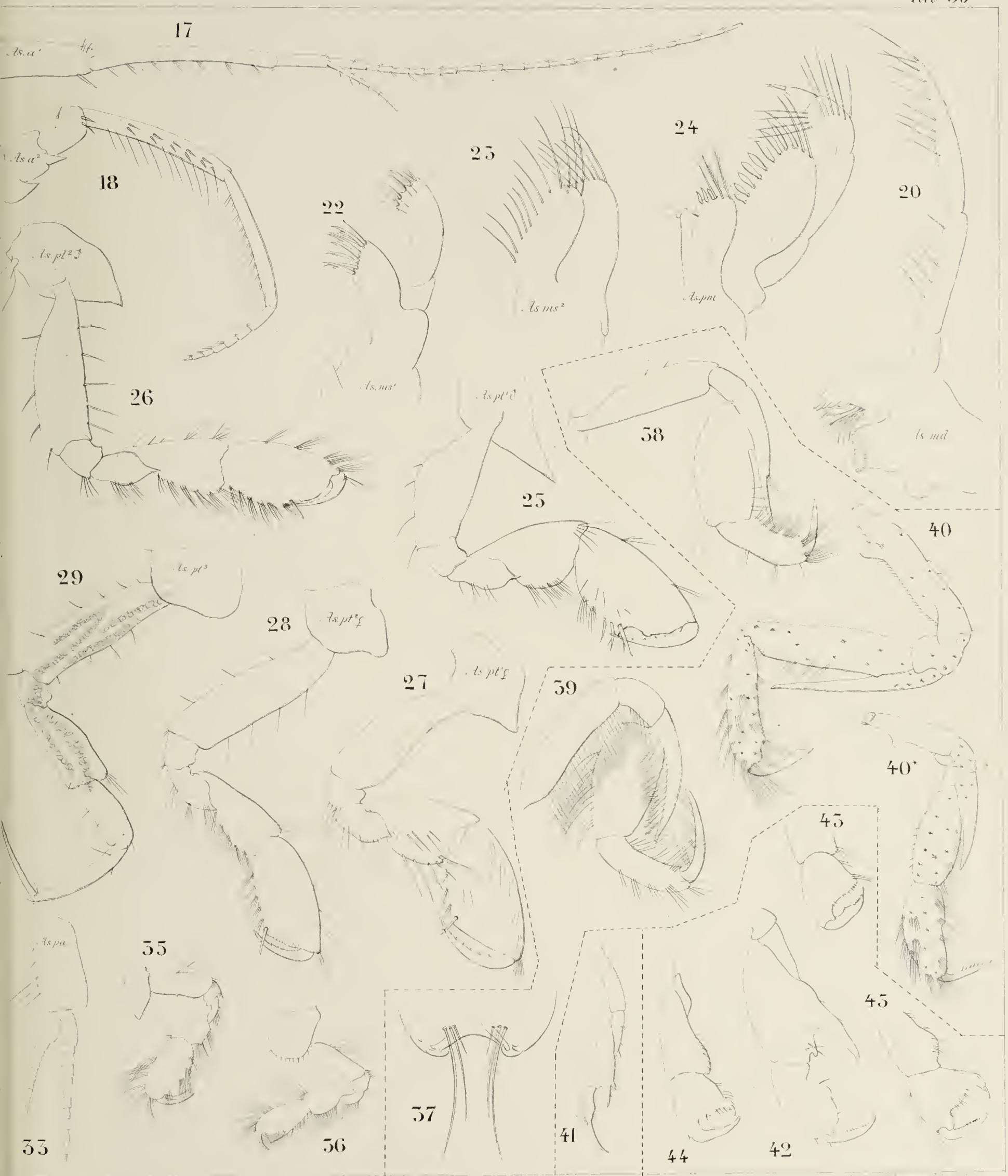

17-36 . *Autonoe* 37-40 . *Aora* 41. *Microdeutopus* 42-45 *Stimpsonella*

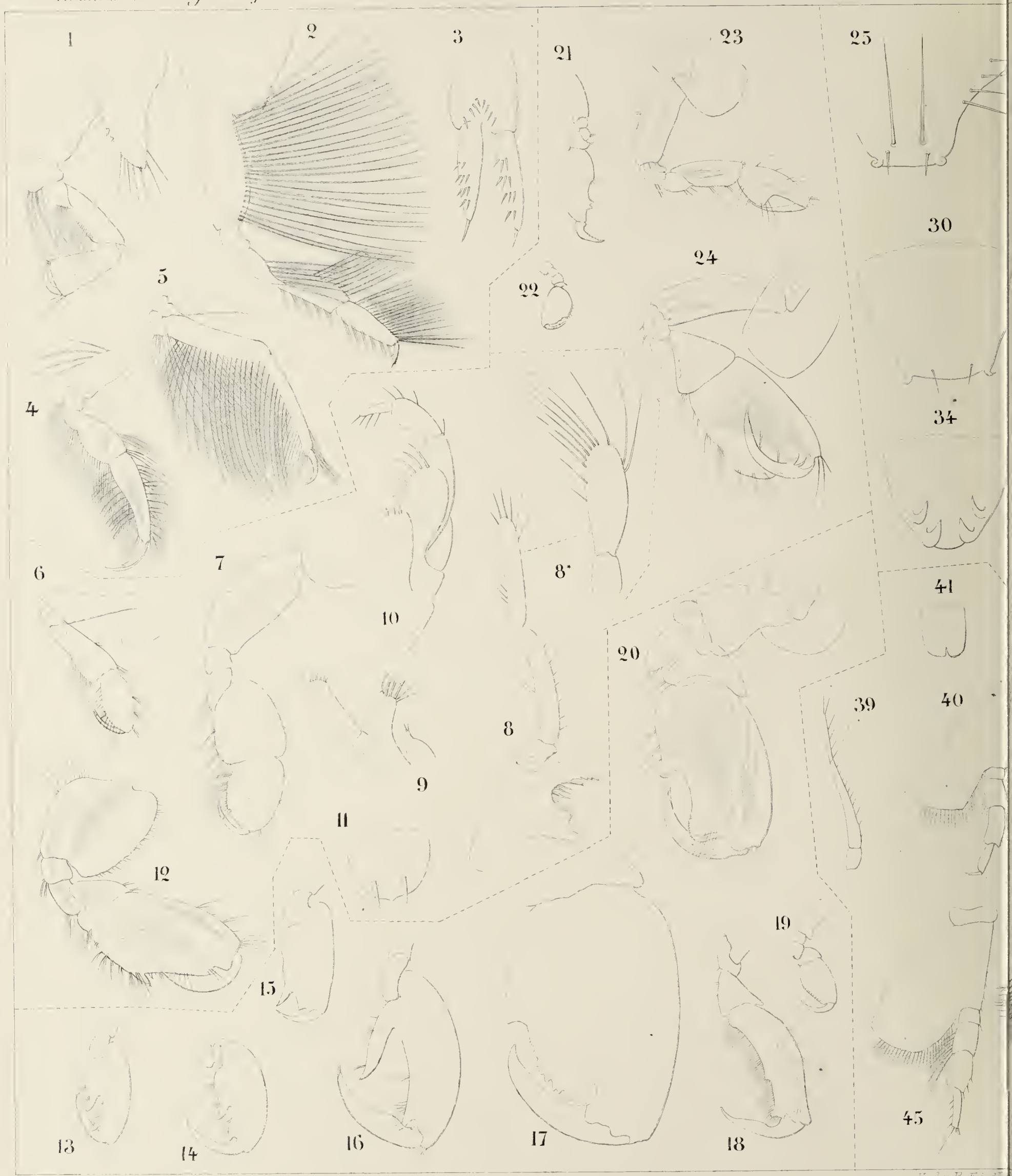

Verl. v. R. Friedländer

1-5 Leptocheirus 6-12 Protomedeia 13-20 Podocerus 21-24 Podoceropsis 25-

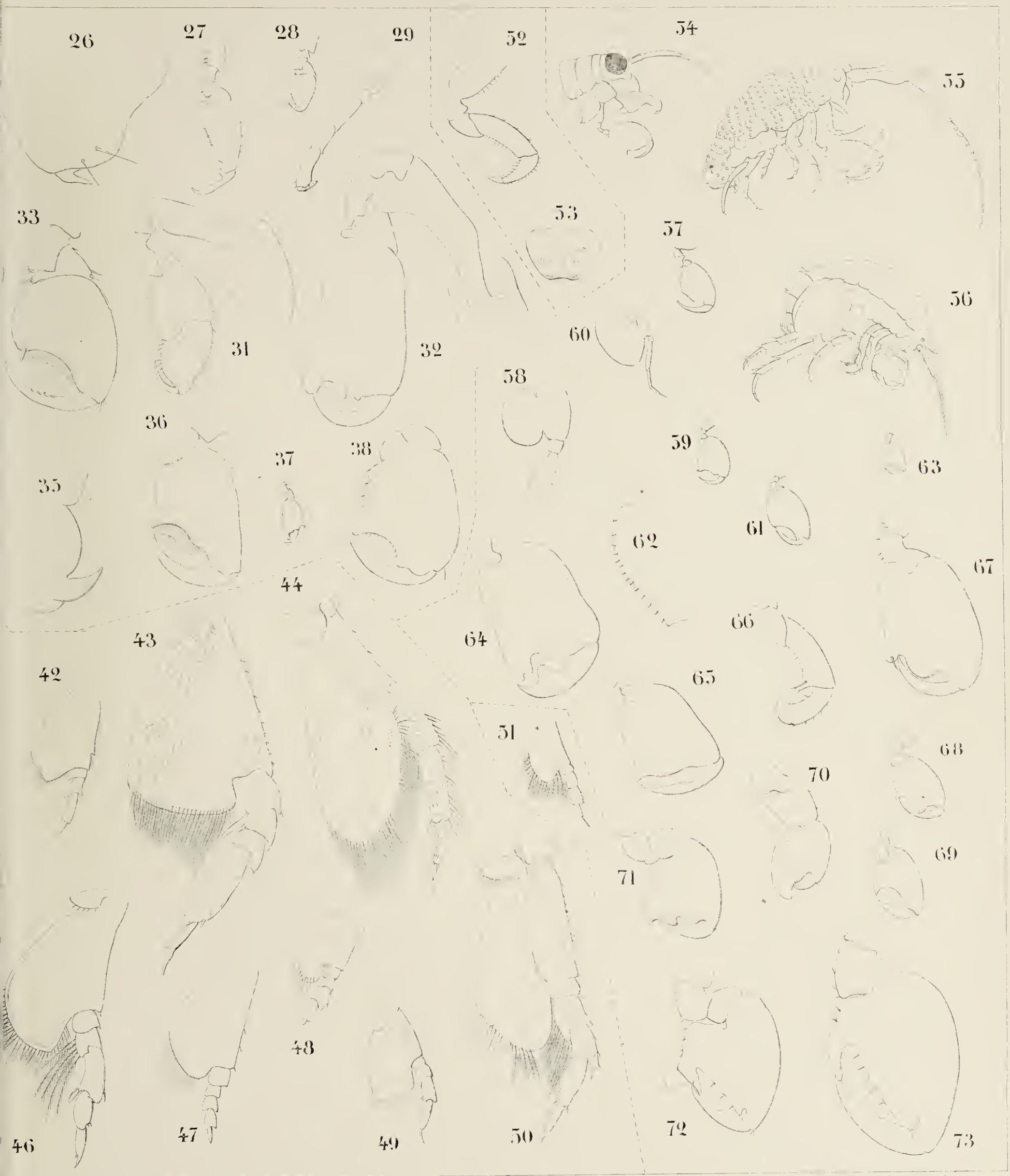

...er & Sohn Berlin

...st. Serrin. Vienna

...Amphithoe

39-50. Ampelisca

51 Haploops

52-53 Talitrus.

54-73 Orchestia

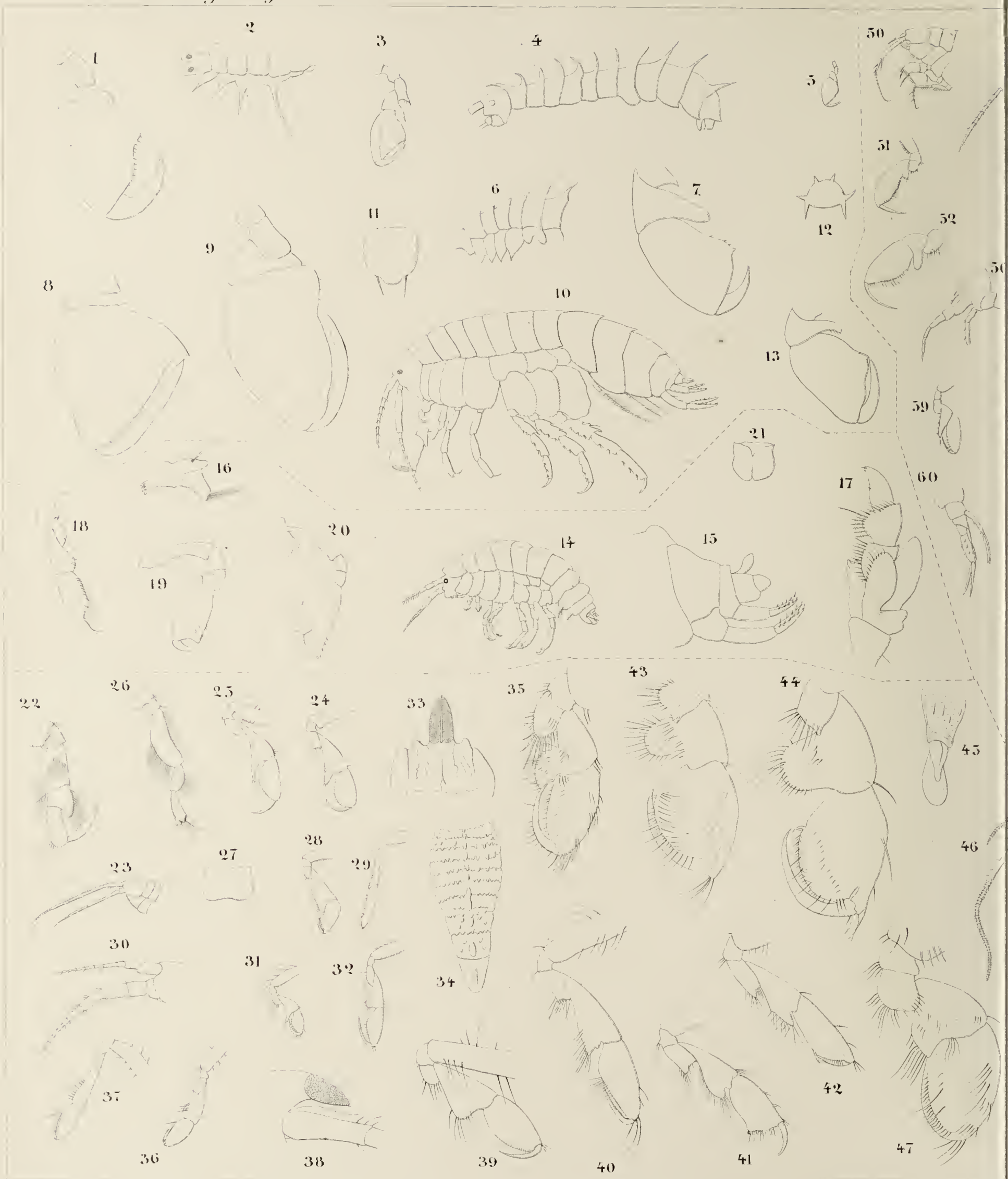

1 – 13 *Hyalella*

14–21 *Ceina*

22–49 *Halimedon*

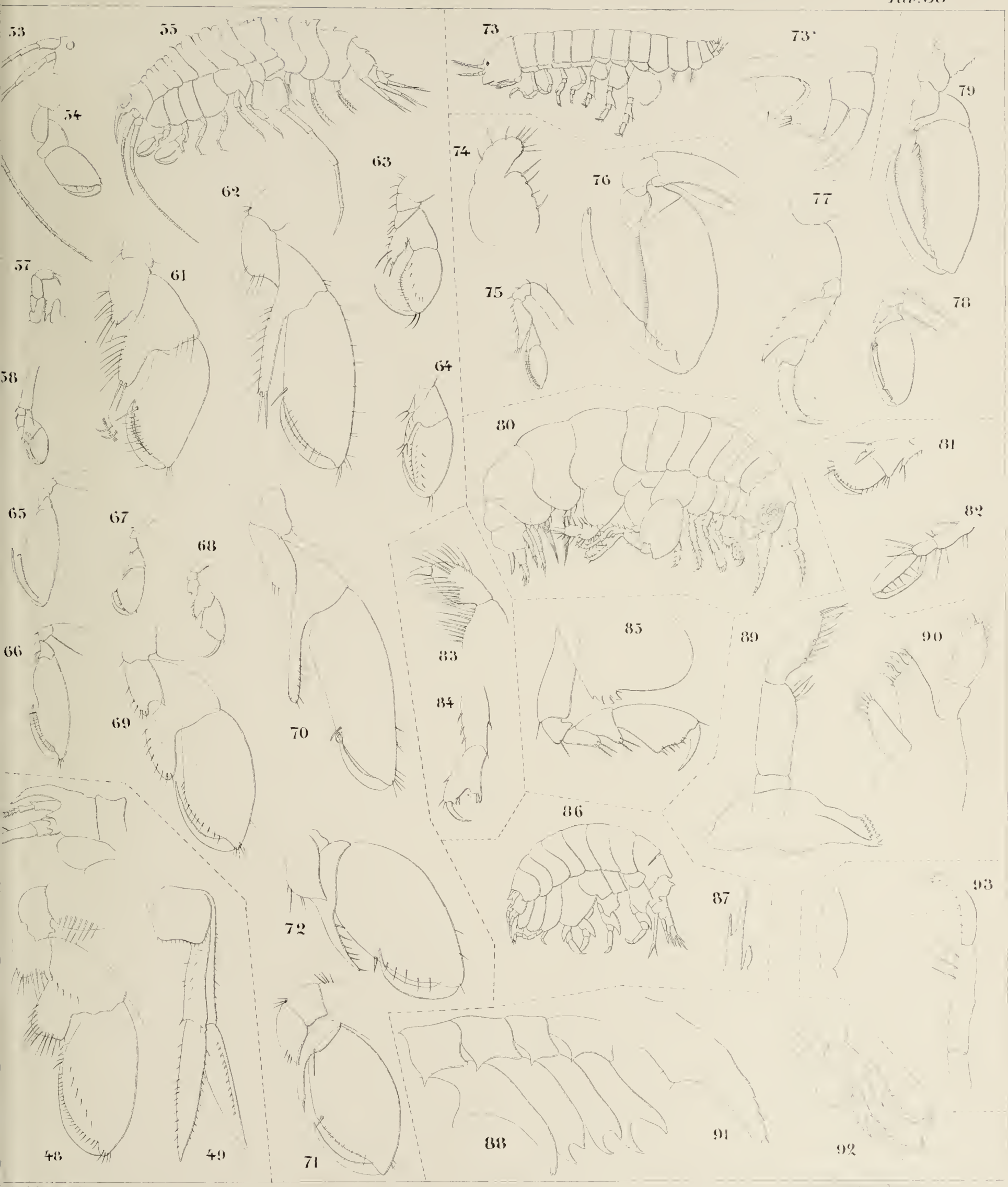

30-72 *Oediceros*

73,73' *Bircenna*
80 *Guernea*
83,84 *Polycheria*
86,87 *Odius*

74,79 *Stenothoe*
81,82 *Dexamine*
85 *Cressa*
88,92 *Iphimedia*

93 *Iphimediopsis*

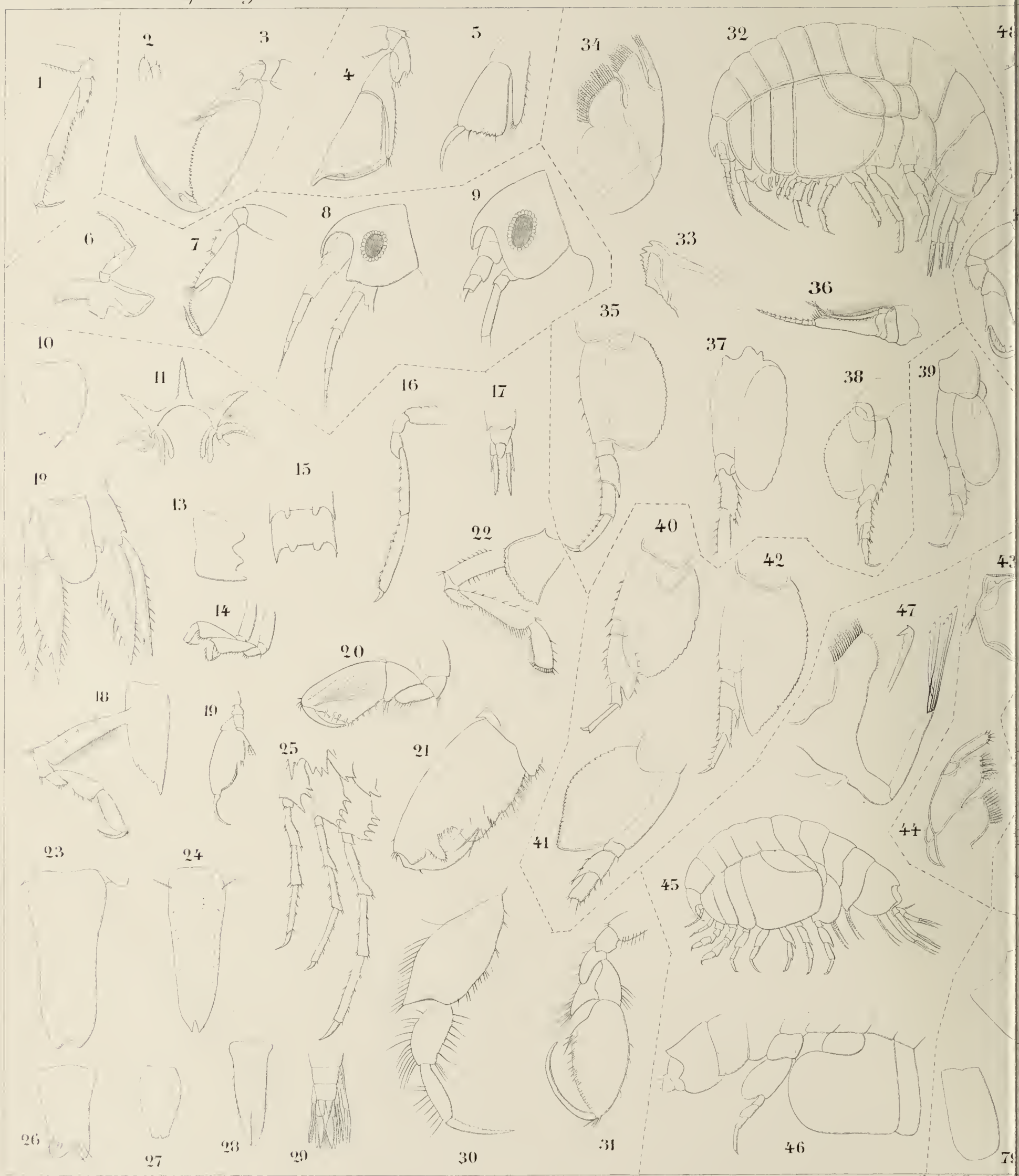

1 Gitana
6-9 Gitanopsis
10-31 Acanthozone
23-25 Amphilochoides
45 Amphilochus
32-38 Stegocephalus
39-42 Stegocephaloides
45-47 Aspidopleurus
43, 44 Indania

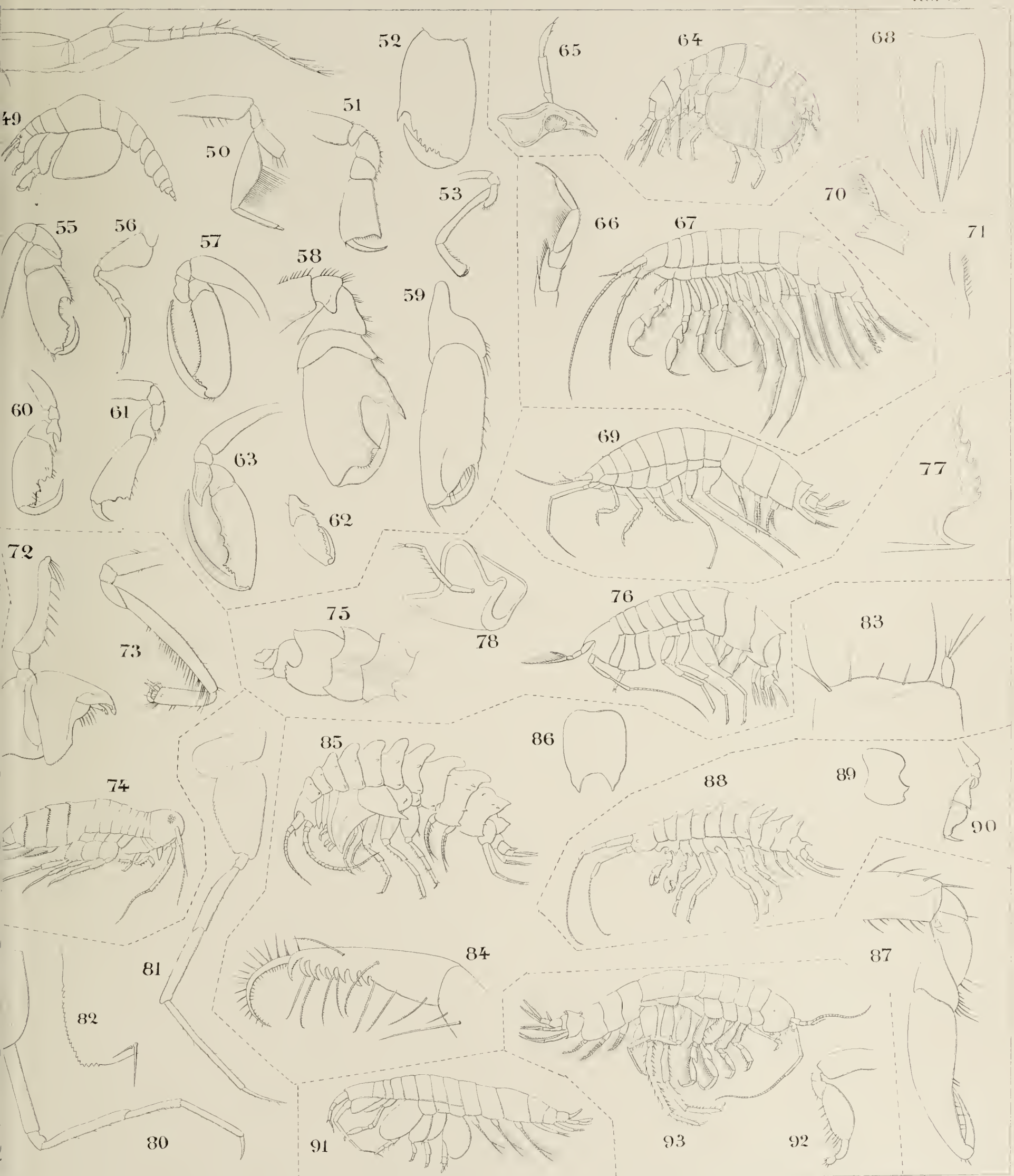

Lith. v. Schn-Berlin

Lith. v. Schn. Berlin.

48-63. *Metopa*
72-74 *Syrrhoe*
79-82 *Eusirus*

64,65 *Pelloceira*
75-78 *Bruzelia*
83-87. *Acanthonothosoma*
91 . *Argissa*

66-68. *Nicippe*
69-71 *Halice*
88-90. *Amathilla*
92,93 *Pardaliscea*

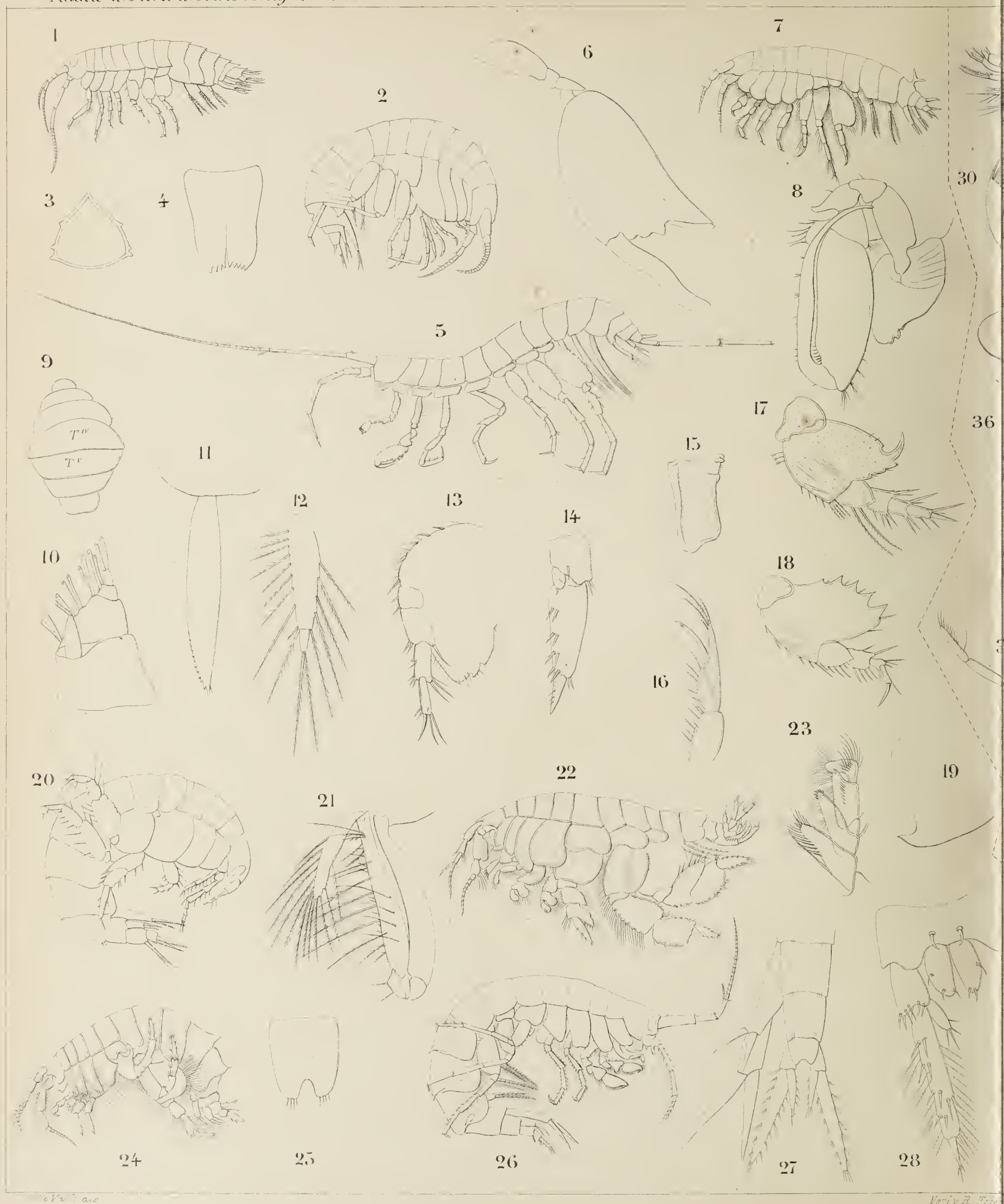

1-28. Gammaridi

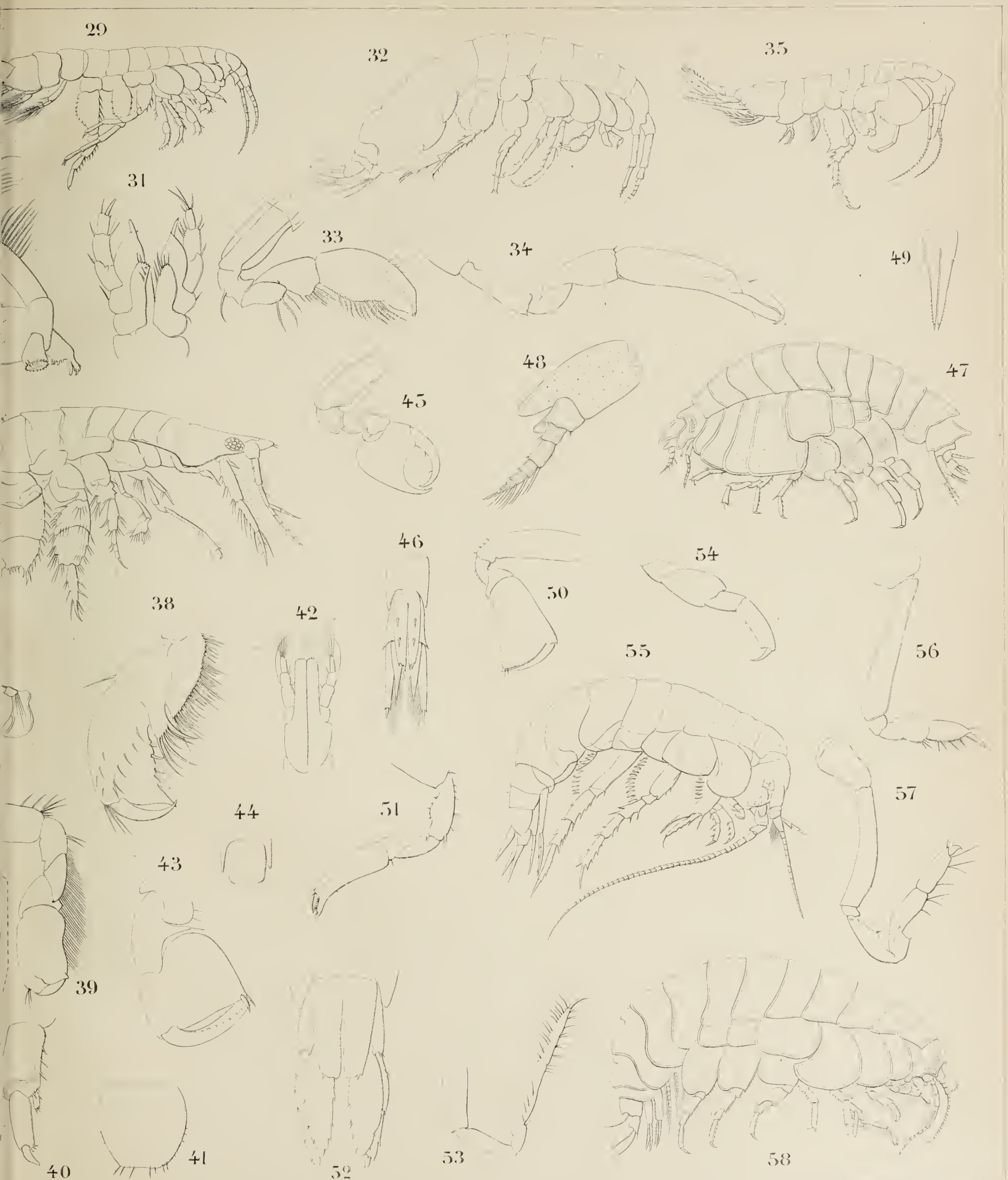

nder & Sohn-Berlin.

29-58 Lisianassidi

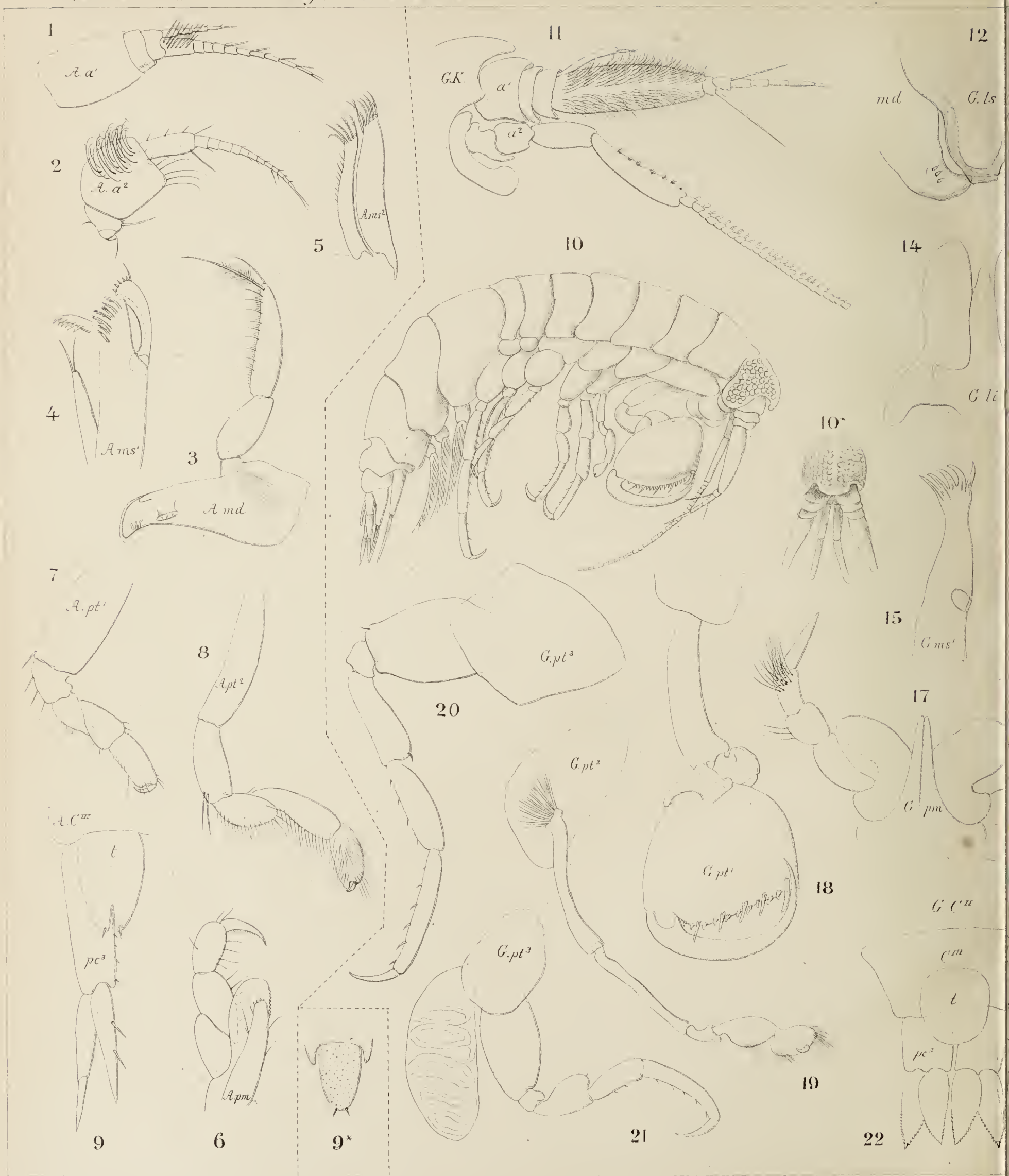

Nicculiano e Della Valle dis.

1-9. Anonyx petalocerus

10-22 Guerina nicaensis

9* Lysianella petalocera

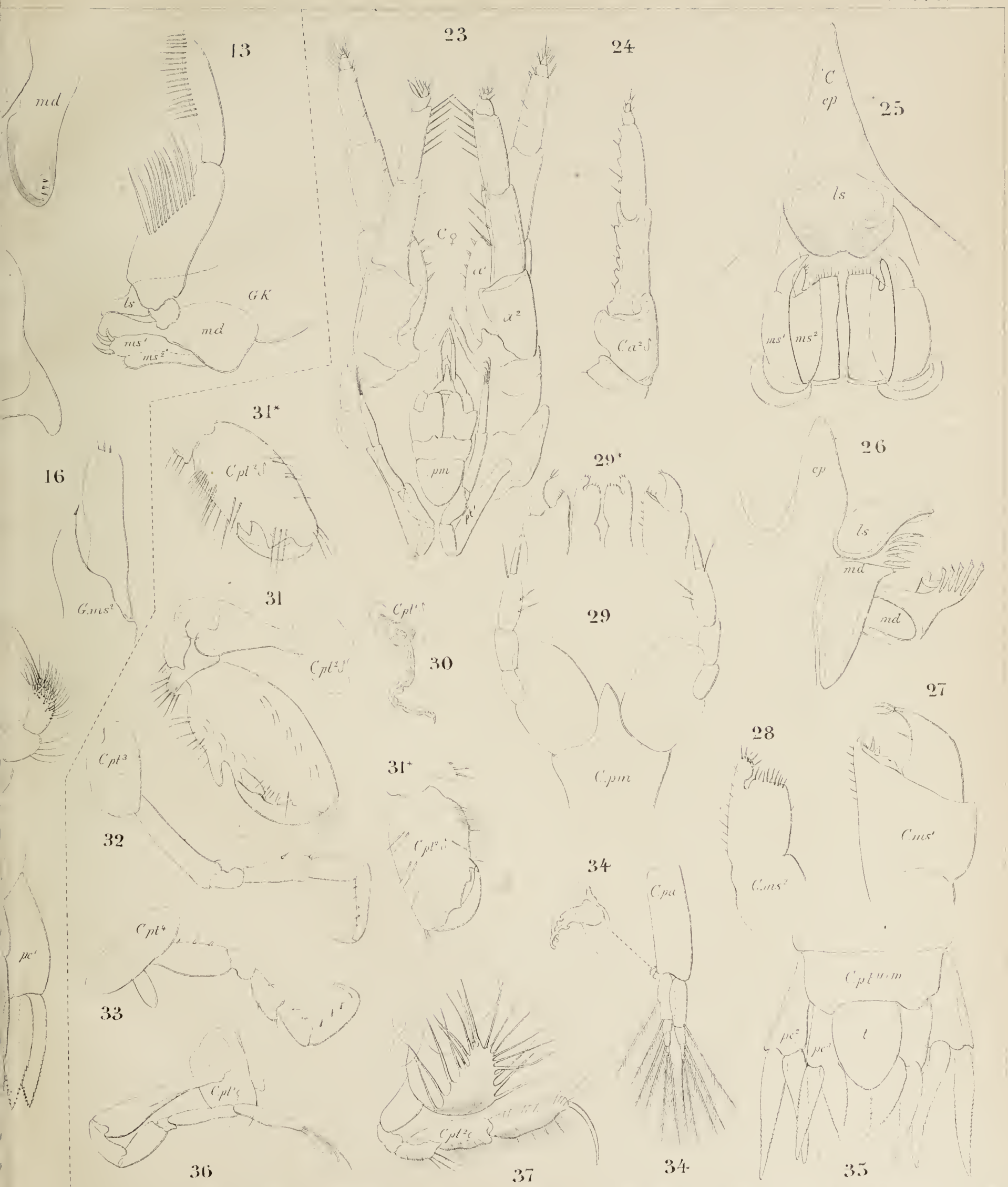

23-37. *Colomastix pusilla*

UNIVERSITY OF ILLINOIS-URBANA
3 0112 105711920
3 0112 053915796